

COMPUTERGRAFIK IN HOUDINI

Oliver Gross *TU Berlin*

TechTalks der Freitagsrunde
Berlin, Dezember 2023

WER BIN ICH? UND WAS MACHE ICH HIER?

- Doktorand in der Mathematik (4. Jahr)
 - Betreut durch Prof. Pinkall (TU Berlin) & Prof. Schröder (Caltech)
- Angewandte Differentialgeometrie
 - “Geometrische Fluidmechanik”
 - Physiksimulation
- Es war einmal...

... eine Vorlesung “*Mathematische Visualisierung*”

→ Einblick wie Side FX’ Houdini als einfaches Werkzeug für wissenschaftliche Visualisierung eingesetzt werden kann

KONZEPT

→ Einblick wie Side FX' Houdini als einfaches Werkzeug für wissenschaftliche Visualisierung eingesetzt werden kann

- Erstellen von Abbildungen
- “rapid prototyping”
- Rendering
- Simulation

KONZEPT

→ Einblick wie Side FX' Houdini als einfaches Werkzeug für wissenschaftliche Visualisierung eingesetzt werden kann

Bemerkung: Es gibt viele Alternativen welche ähnliche Workflows erlauben. Zum Beispiel:

- LibIGL
- Geometry Central
- Polyscope
- Gpytoolbox, Pyddg + Blender
- Penrose...

KONZEPT

Ziel ist ein grundlegendes Verständnis für das:

- User-Interface und Datenstrukturen
- Erzeugen und Manipulieren von Geometrie
- Rendern von Figuren und Animationen für z.B. Hausarbeiten, oder Vorträge

KONZEPT

Ziel ist ein grundlegendes Verständnis für das:

- User-Interface und Datenstrukturen
- Erzeugen und Manipulieren von Geometrie
- Rendern von Figuren und Animationen für z.B. Hausarbeiten, oder Vorträge

Parametrization [edit]

Boy's surface can be parametrized in several ways. One parametrization, discovered by Hoo Kusner and Robert Bryant,^[4] is the following: given a complex number w whose magnitude is less than or equal to one ($\|w\| \leq 1$), let

$$g_1 = -\frac{3}{2} \operatorname{Im} \left[\frac{w(1-w^4)}{w^6 + \sqrt{5}w^3 - 1} \right]$$
$$g_2 = -\frac{3}{2} \operatorname{Re} \left[\frac{w(1+w^4)}{w^6 + \sqrt{5}w^3 - 1} \right]$$
$$g_3 = \operatorname{Im} \left[\frac{1+w^6}{w^6 + \sqrt{5}w^3 - 1} \right] - \frac{1}{2}$$

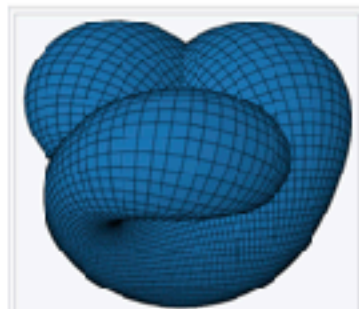
and then set

$$\begin{pmatrix} x \\ y \\ z \end{pmatrix} = \frac{1}{g_1^2 + g_2^2 + g_3^2} \begin{pmatrix} g_1 \\ g_2 \\ g_3 \end{pmatrix}$$

we then obtain the Cartesian coordinates x , y and z of a point on the Boy's surface.

If one performs an inversion of this parametrization centered on the triple point, one obtains a complete minimal surface with three ends (that's how this parametrization was discovered naturally). This implies that the Bryant-Kusner parametrization of Boy's surfaces is "optimal" in the sense that it is the "least tent" immersion of a projective plane into three-space.

An animation of Boy's surface



A view of the Kusner-Bryant parametrization of the Boy's surface

KONZEPT

Ziel ist ein grundlegendes Verständnis für das:

- User-Interface und Datenstrukturen
- Erzeugen und Manipulieren von Geometrie
- Rendern von Figuren und Animationen für z.B. Hausarbeiten, oder Vorträge

Parametrization [edit]

Boy's surface can be parametrized in several ways. One parametrization, discovered by Hoo Kusner and Robert Bryant,^[4] is the following: given a complex number w whose magnitude is less than or equal to one ($\|w\| \leq 1$), let

$$g_1 = -\frac{3}{2} \operatorname{Im} \left[\frac{w(1-w^4)}{w^6 + \sqrt{5}w^3 - 1} \right]$$
$$g_2 = -\frac{3}{2} \operatorname{Re} \left[\frac{w(1+w^4)}{w^6 + \sqrt{5}w^3 - 1} \right]$$
$$g_3 = \operatorname{Im} \left[\frac{1+w^6}{w^6 + \sqrt{5}w^3 - 1} \right] - \frac{1}{2}$$

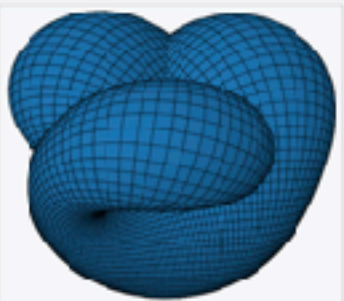
and then set

$$\begin{pmatrix} x \\ y \\ z \end{pmatrix} = \frac{1}{g_1^2 + g_2^2 + g_3^2} \begin{pmatrix} g_1 \\ g_2 \\ g_3 \end{pmatrix}$$

we then obtain the Cartesian coordinates x , y and z of a point on the Boy's surface.

If one performs an inversion of this parametrization centered on the triple point, one obtains a complete minimal surface with three ends (that's how this parametrization was discovered naturally). This implies that the Bryant-Kusner parametrization of Boy's surfaces is "optimal" in the sense that it is the "least tent" immersion of a projective plane into three-space.

An animation of Boy's surface



A view of the Kusner-Bryant parametrization of the Boy's surface



KONZEPT

Ziel ist ein grundlegendes Verständnis für das:

- User-Interface und Datenstrukturen
- Erzeugen und Manipulieren von Geometrie
- Rendern von Figuren und Animationen für z.B. Hausarbeiten, oder Vorträge

Parametrization [edit]

Boy's surface can be parametrized in several ways. One parametrization, discovered by Hoo Kusner and Robert Bryant,^[4] is the following: given a complex number w whose magnitude is less than or equal to one ($\|w\| \leq 1$), let

$$g_1 = -\frac{3}{2} \operatorname{Im} \left[\frac{w(1-w^4)}{w^6 + \sqrt{5}w^3 - 1} \right]$$
$$g_2 = -\frac{3}{2} \operatorname{Re} \left[\frac{w(1+w^4)}{w^6 + \sqrt{5}w^3 - 1} \right]$$
$$g_3 = \operatorname{Im} \left[\frac{1+w^6}{w^6 + \sqrt{5}w^3 - 1} \right] - \frac{1}{2}$$

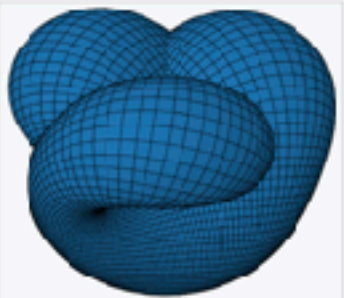
and then set

$$\begin{pmatrix} x \\ y \\ z \end{pmatrix} = \frac{1}{g_1^2 + g_2^2 + g_3^2} \begin{pmatrix} g_1 \\ g_2 \\ g_3 \end{pmatrix}$$

we then obtain the Cartesian coordinates x , y and z of a point on the Boy's surface.

If one performs an inversion of this parametrization centered on the triple point, one obtains a complete minimal surface with three ends (that's how this parametrization was discovered naturally). This implies that the Bryant-Kusner parametrization of Boy's surfaces is "optimal" in the sense that it is the "least tent" immersion of a projective plane into three-space.

An animation of Boy's surface

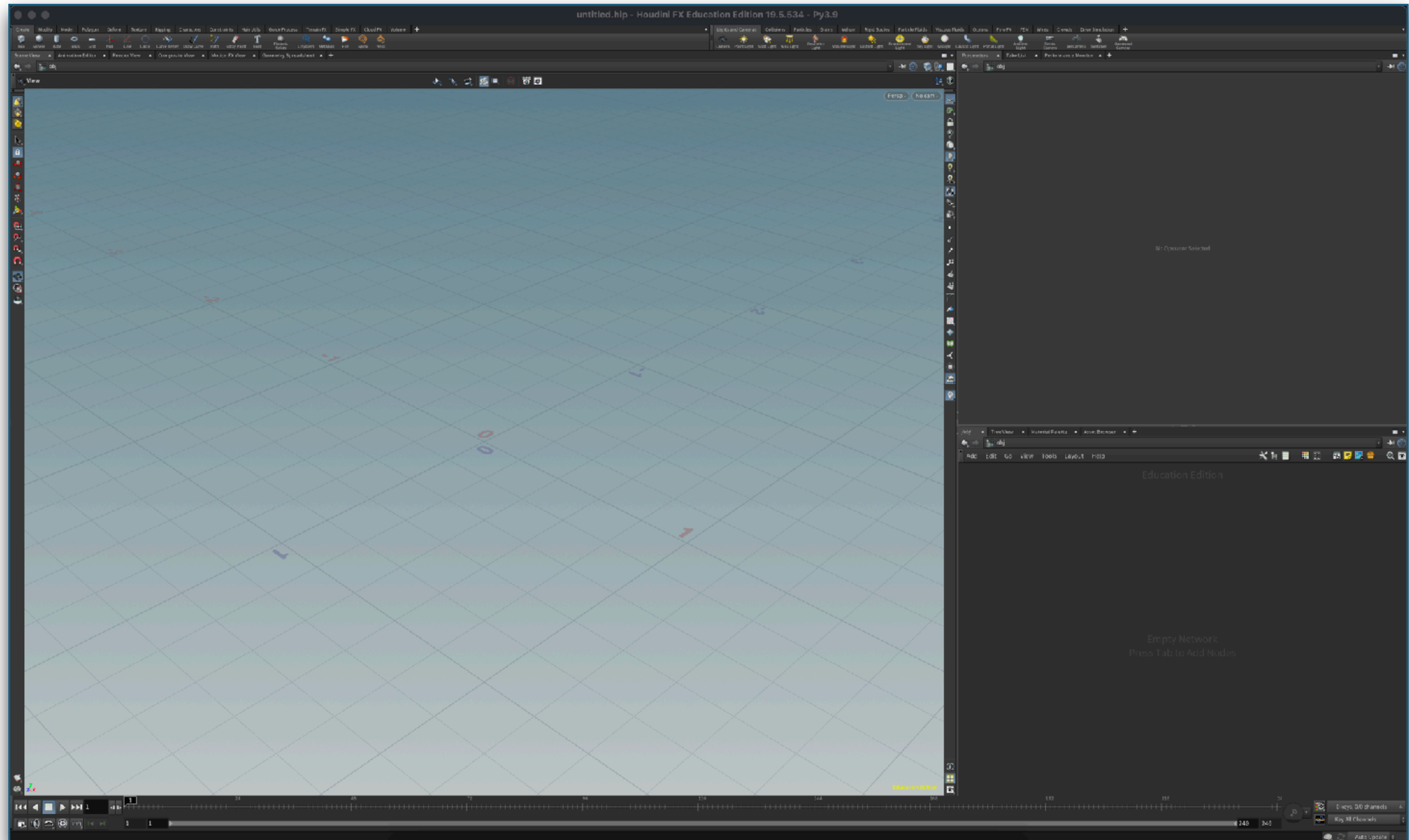


A view of the Kusner-Bryant parametrization of the Boy's surface

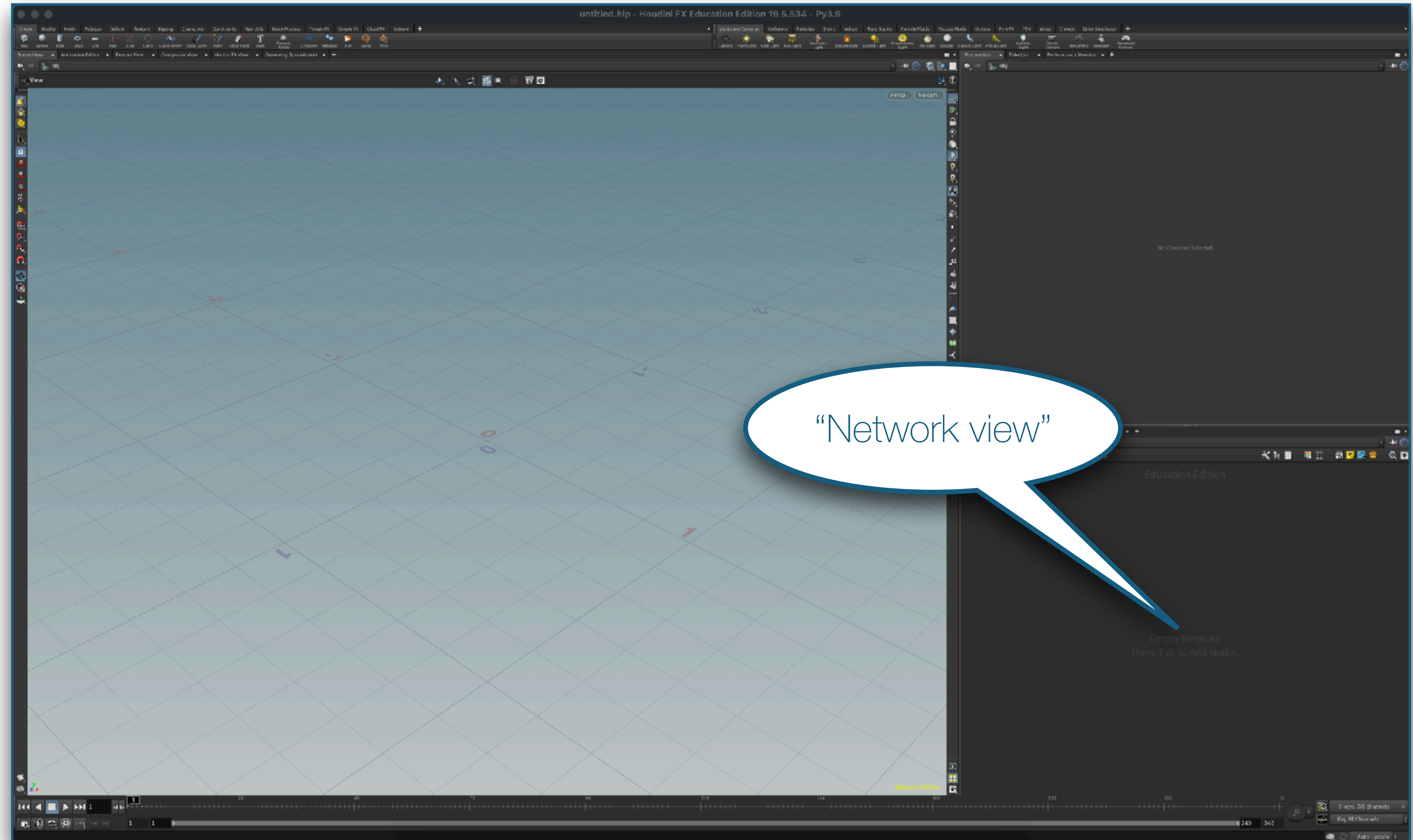


ERSTE SCHRITTE

DER STARTBILDSCHIRM

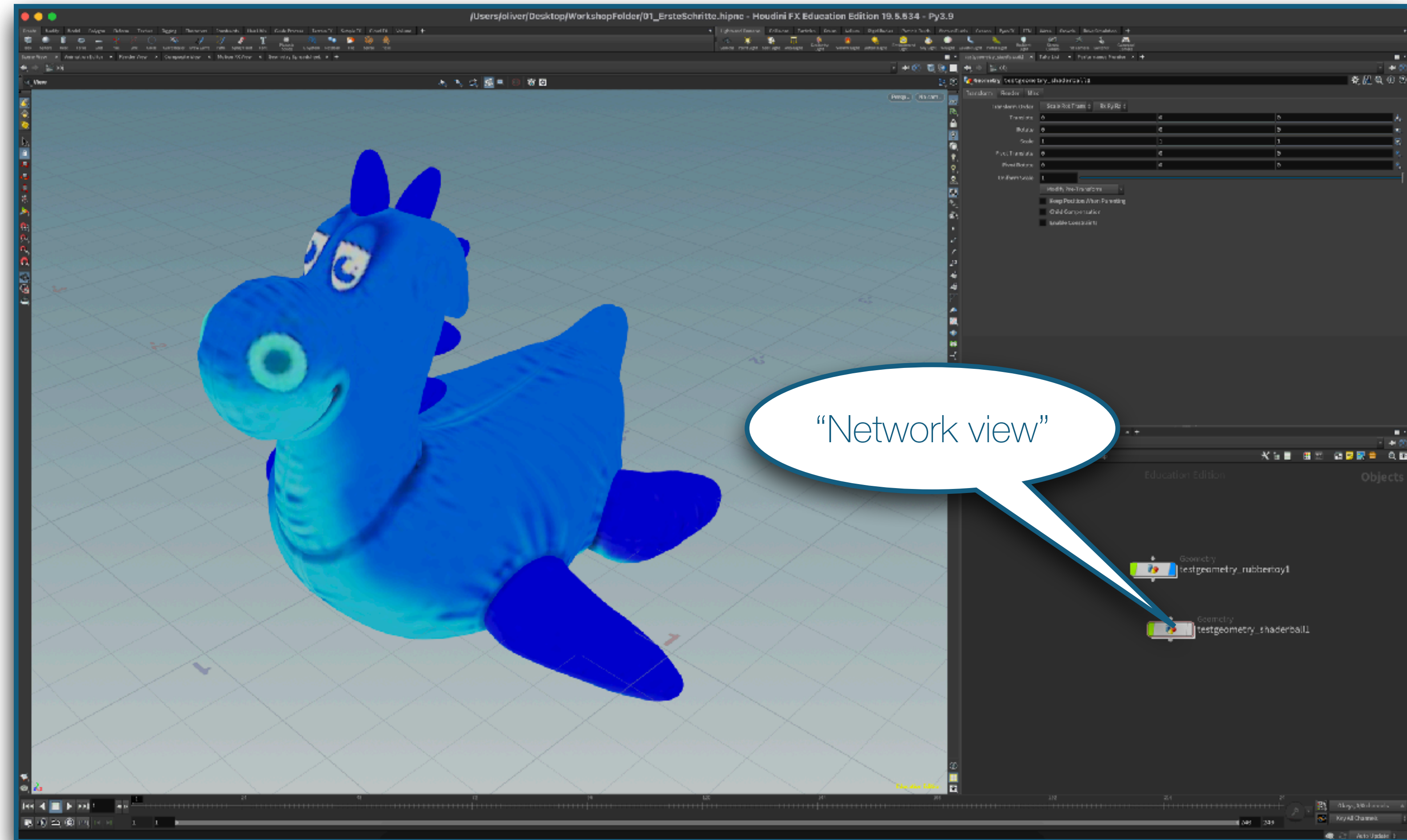


DER STARTBILDSCHIRM



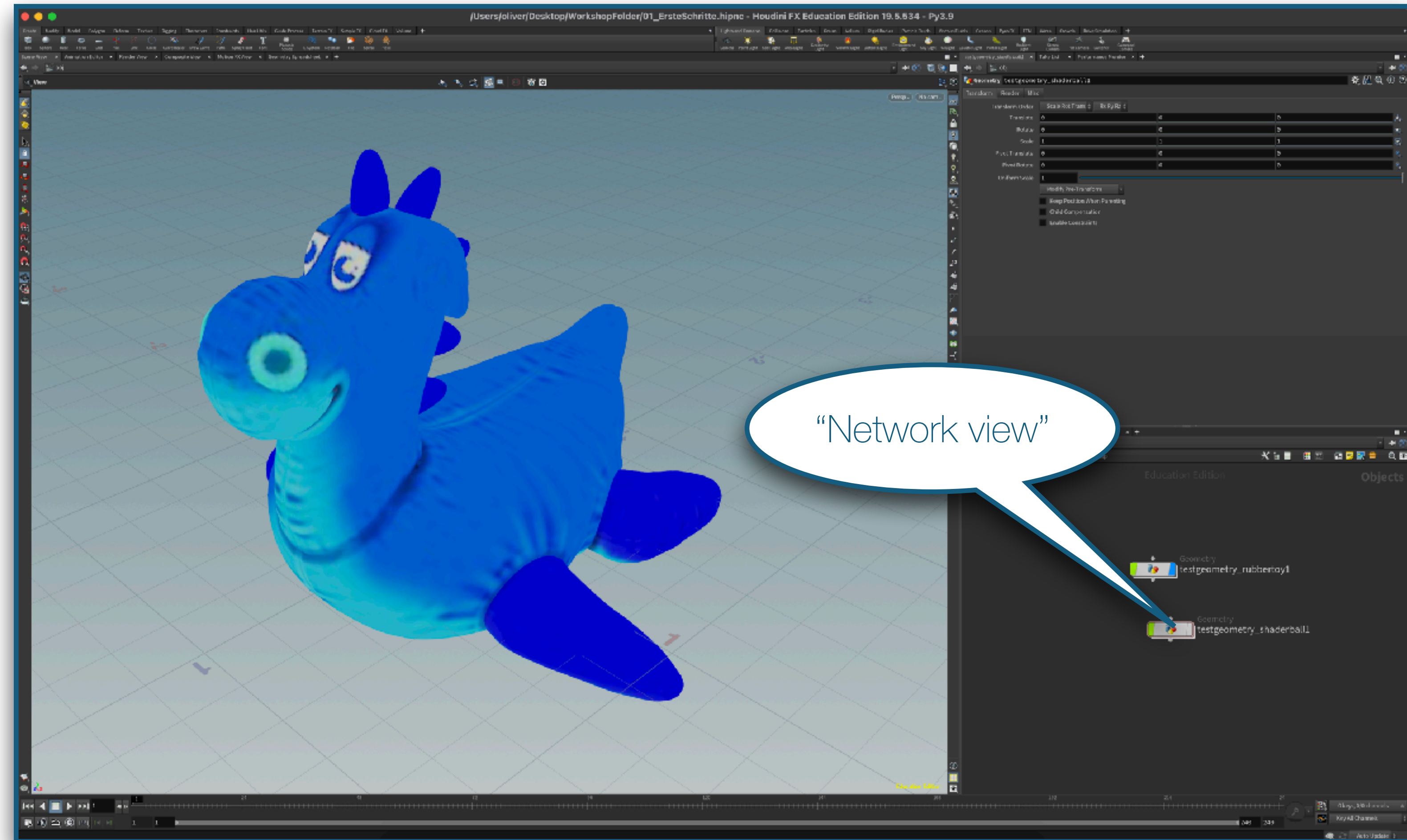
DER STARTBILDSCHIRM

- Übersicht über das file



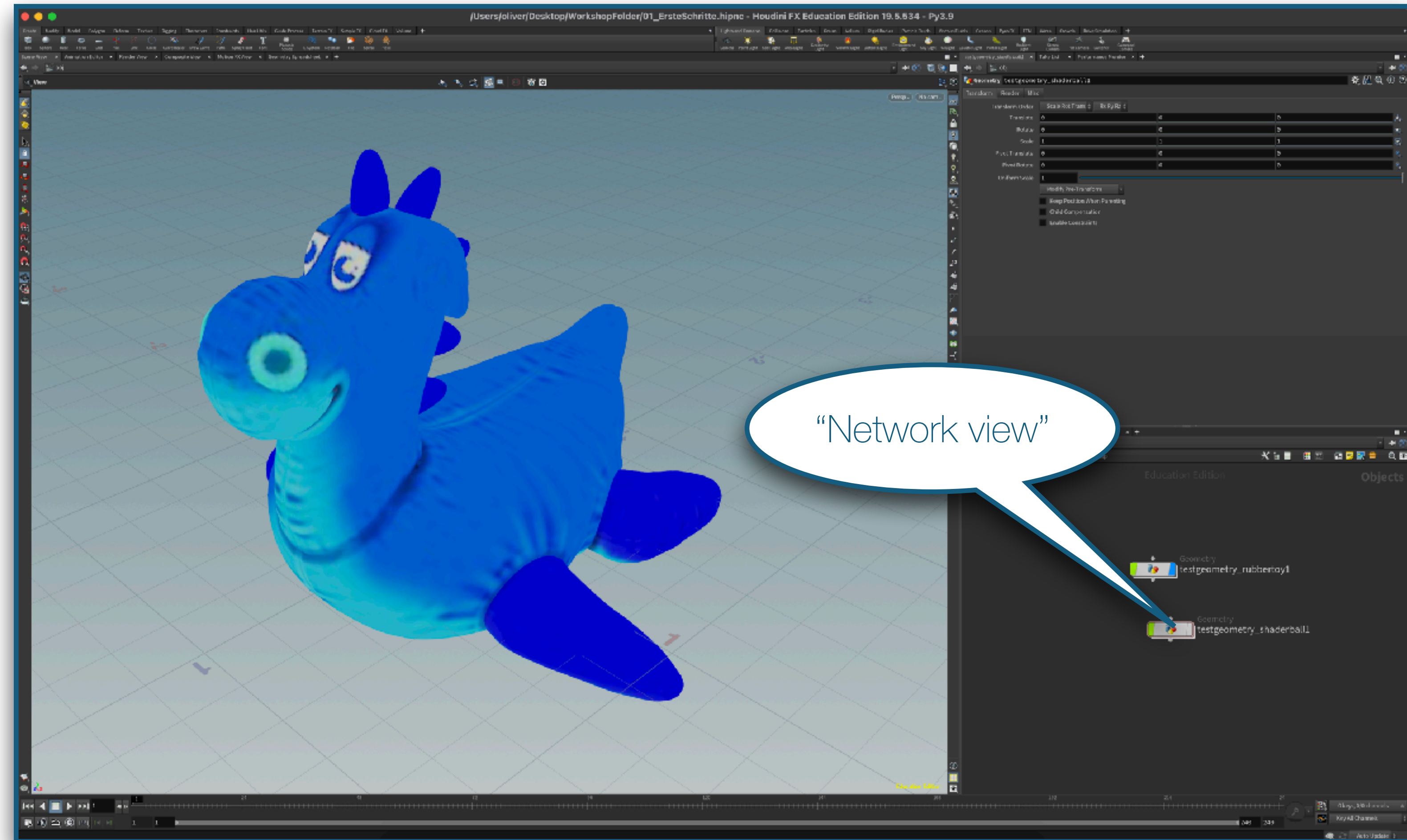
DER STARTBILDSCHIRM

- Übersicht über das file
- Später finden wir hier neben Geometrie auch z.B. Licht und Kameras

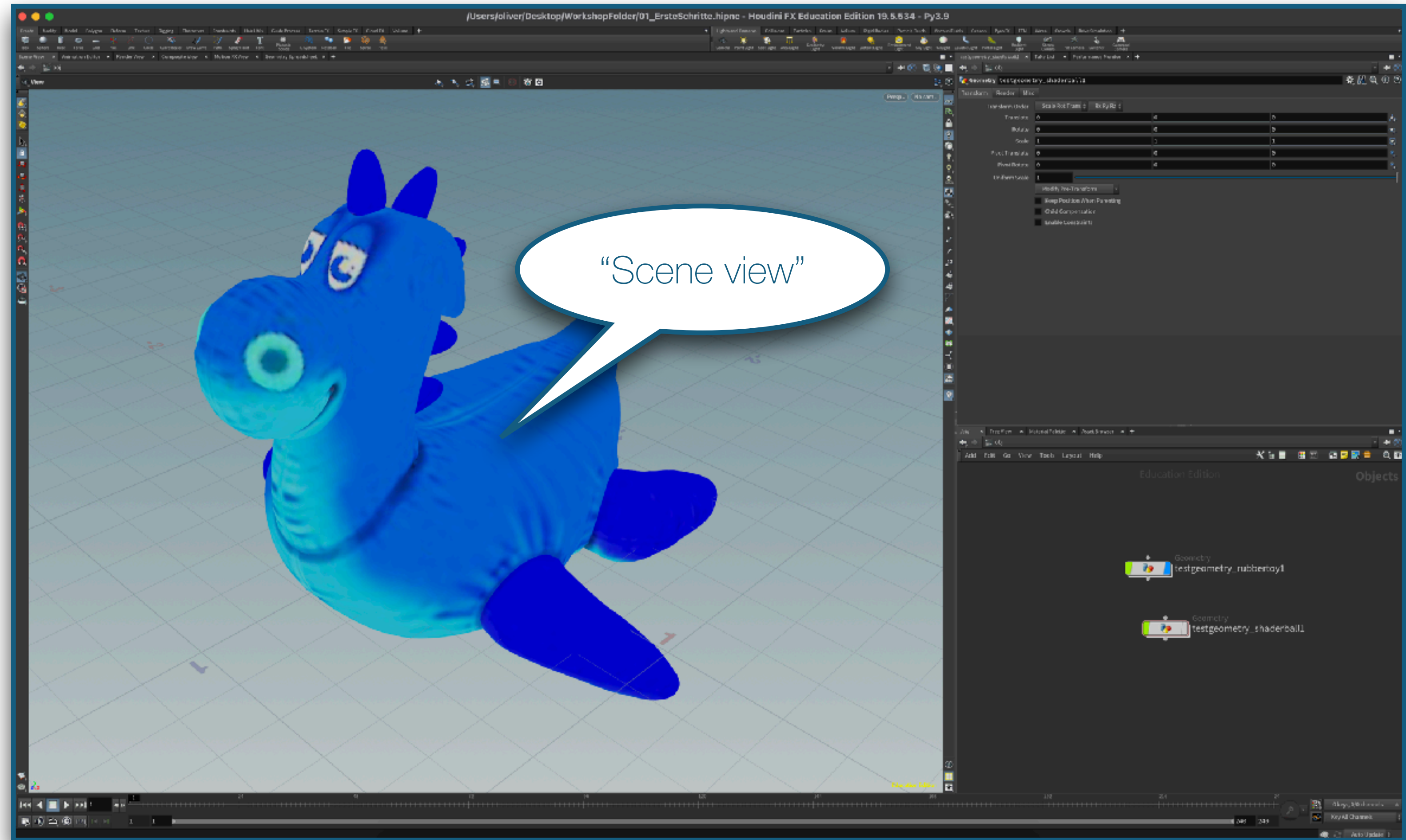


DER STARTBILDSCHIRM

- Übersicht über das file
- Später finden wir hier z.B. Geometrie, Licht und Kameras
- “Geometry” Knoten sind zentraler Ort des Geschehens

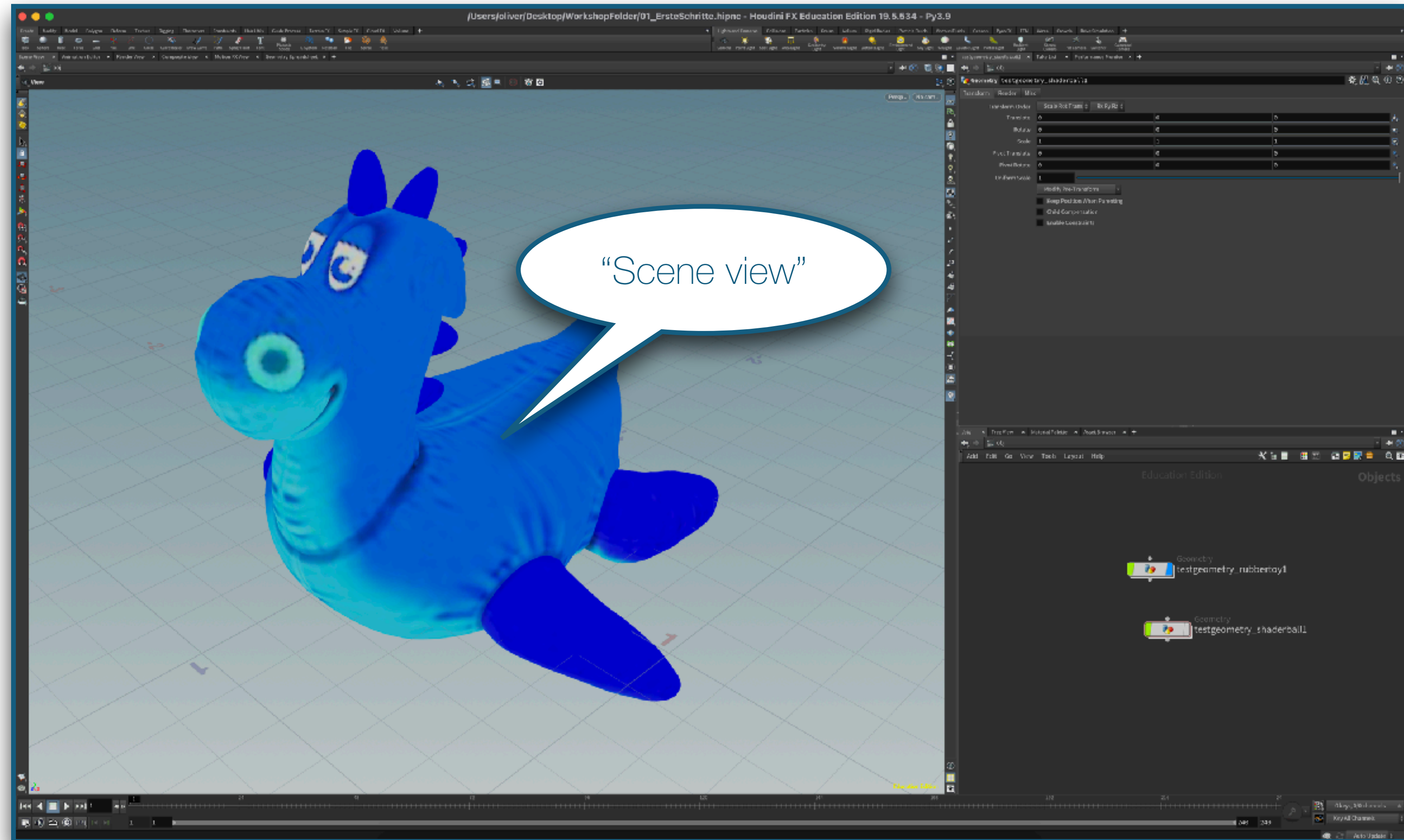


DER STARTBILDSCHIRM



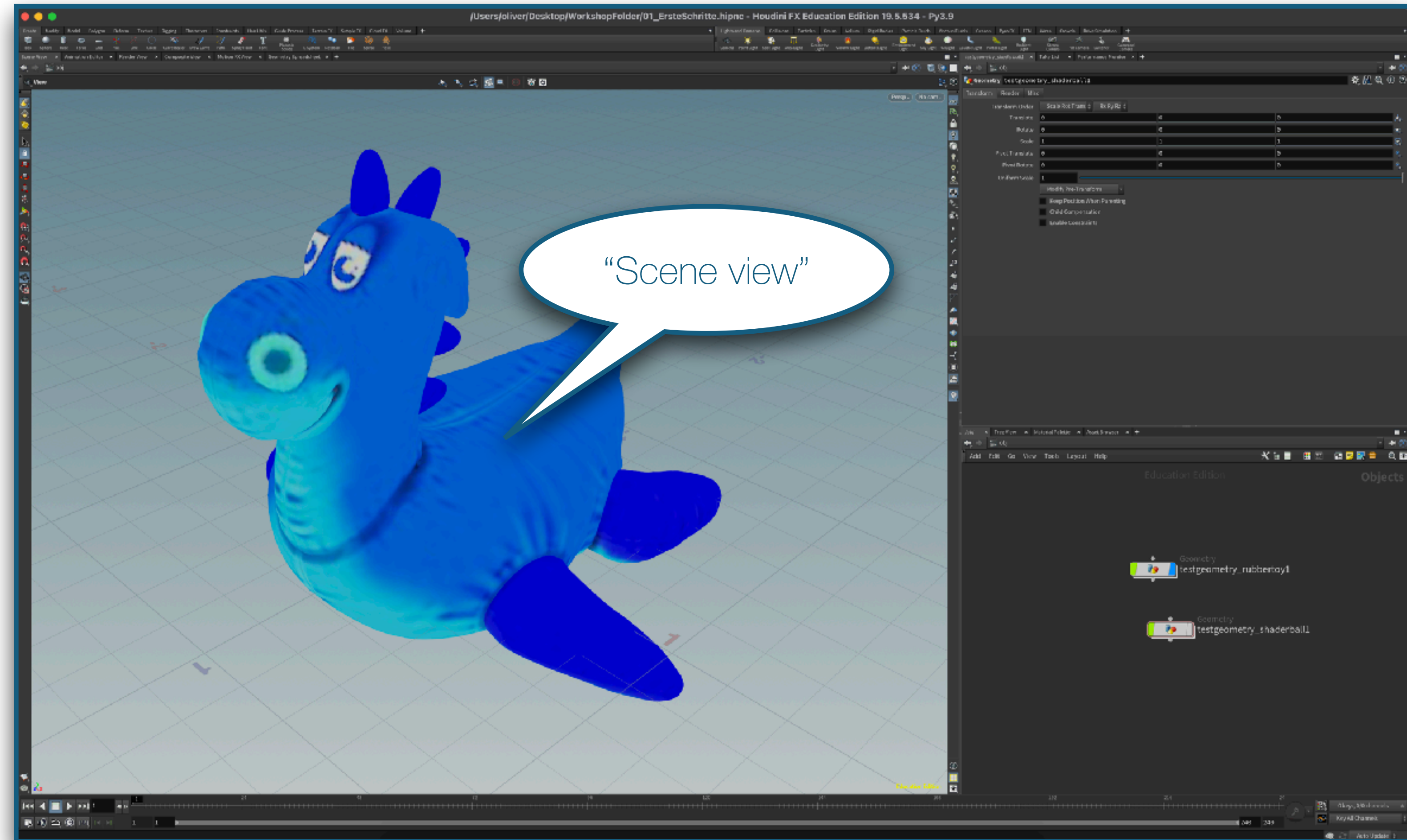
DER STARTBILDSCHIRM

- zeigt ausgewählte Szene



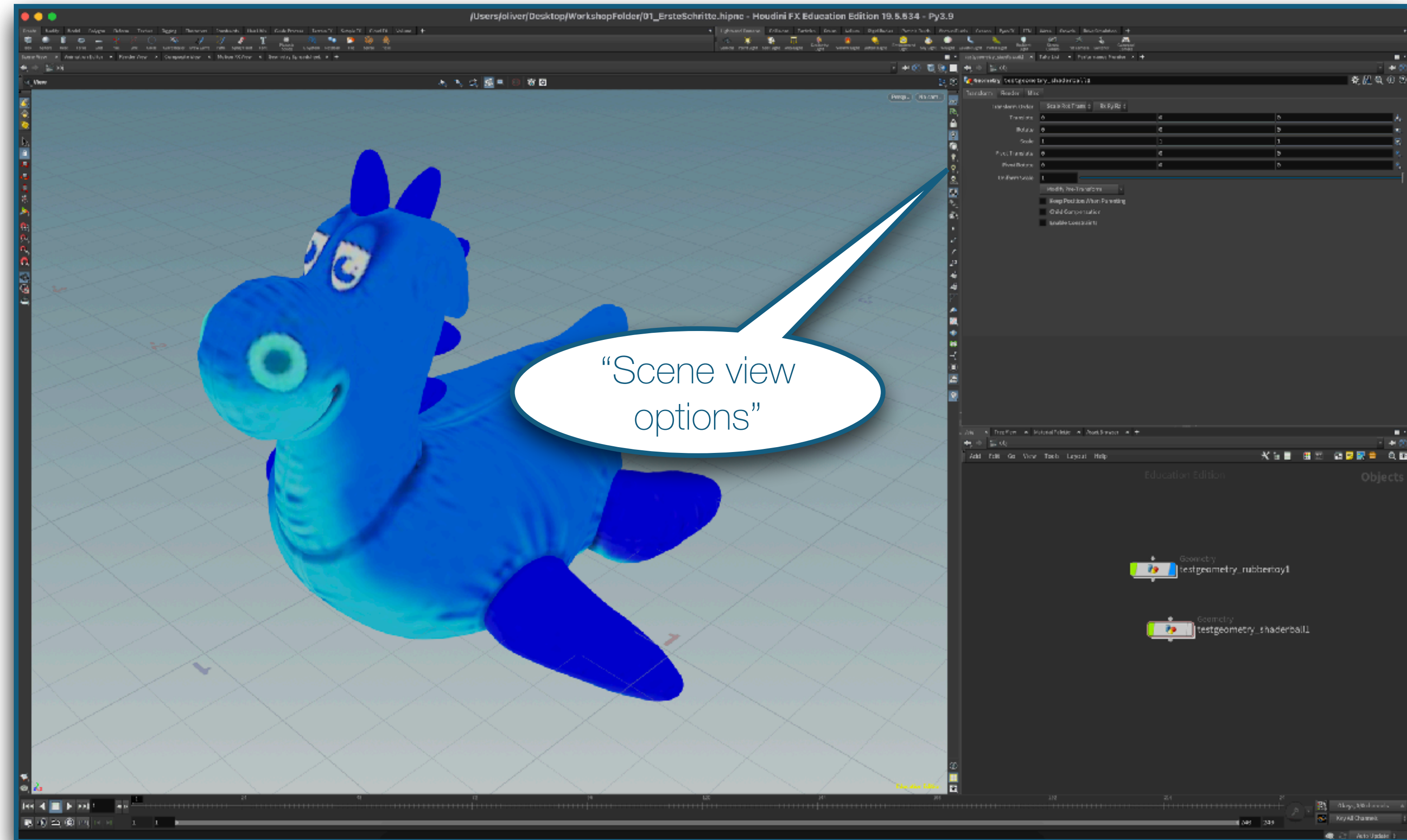
DER STARTBILDSCHIRM

- zeigt ausgewählte Szene
- Auswahl der Szene durch den blauen Marker an den Knoten

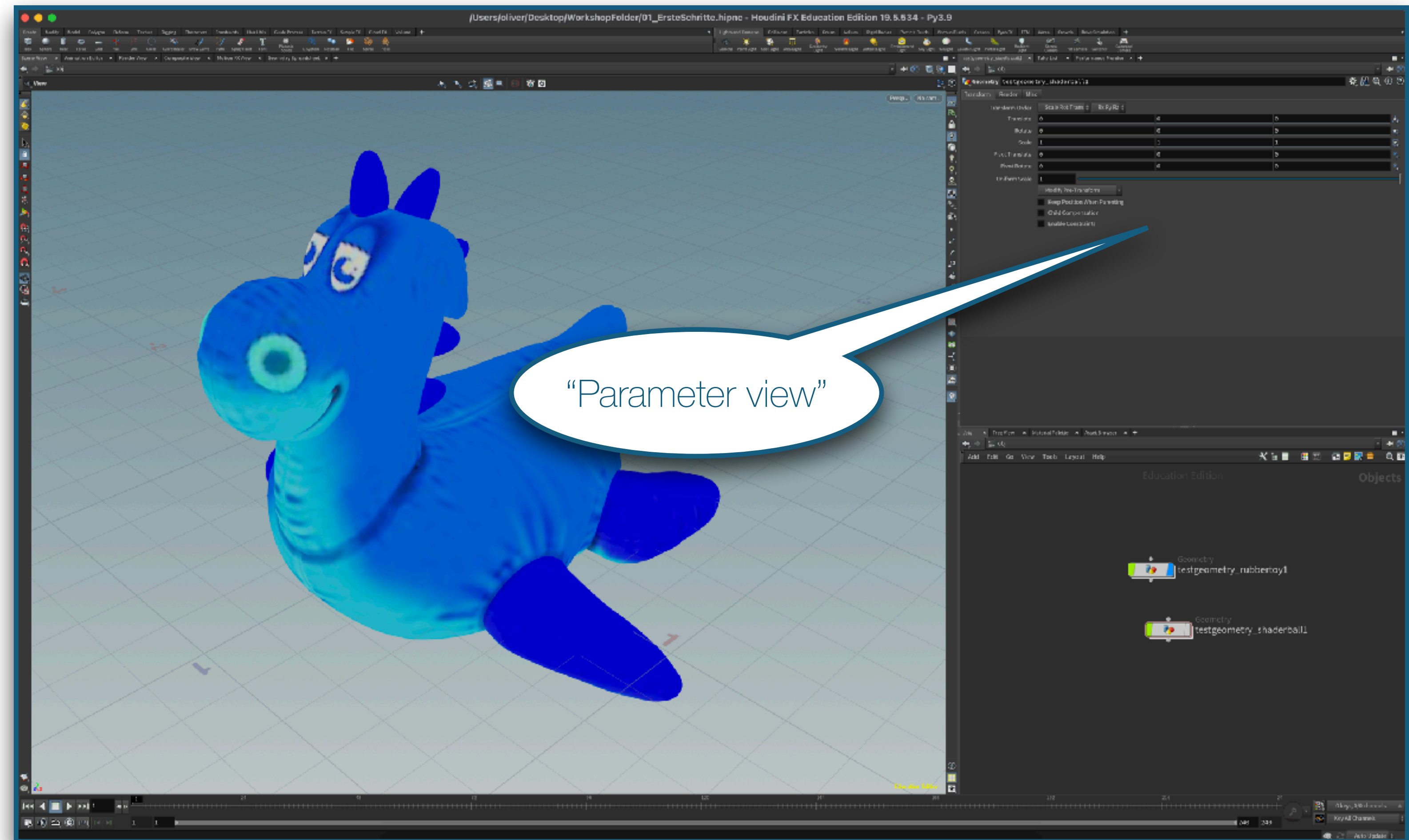


DER STARTBILDSCHIRM

verschiedene
Darstellungsoptionen für den
Scene view

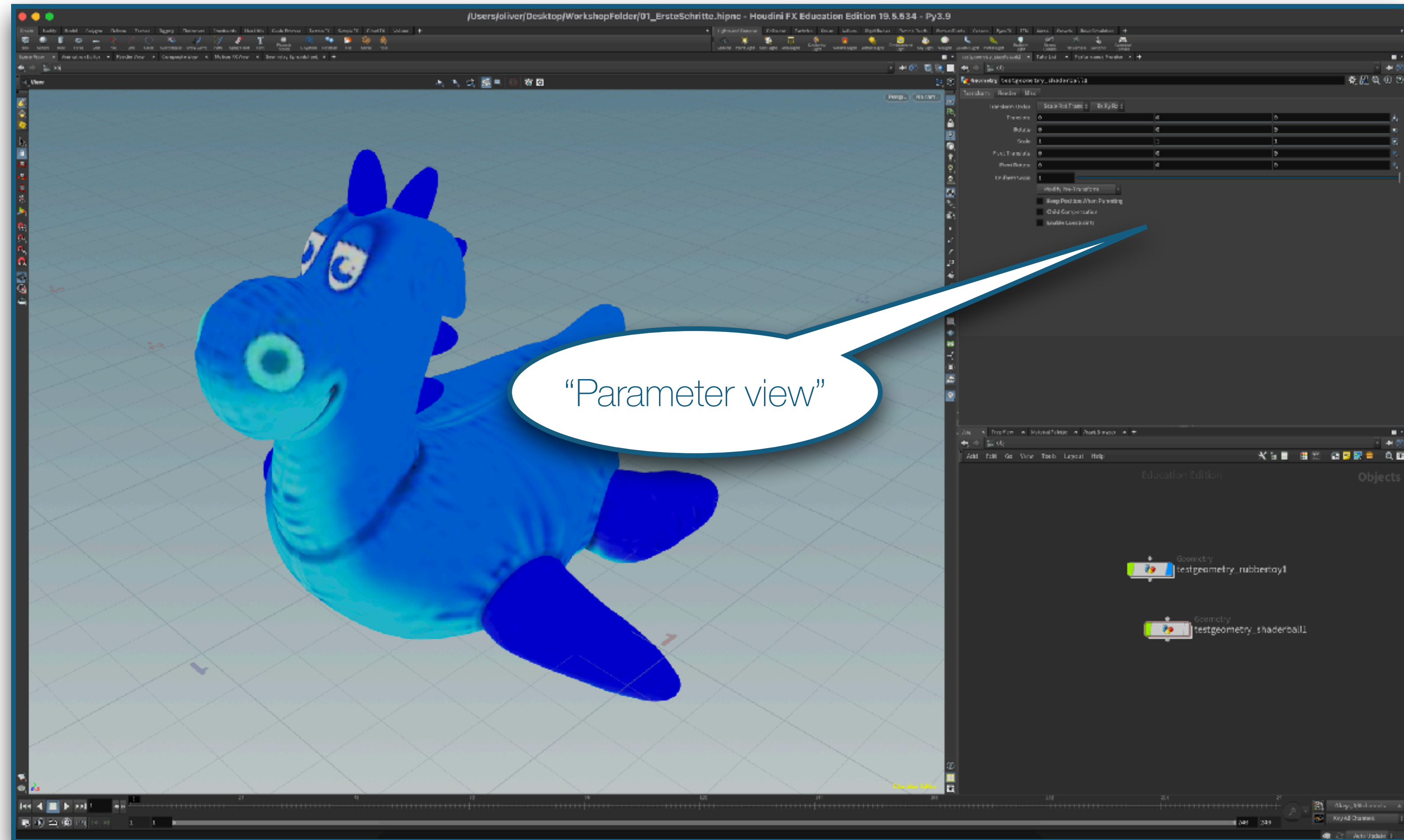


DER STARTBILDSCHIRM



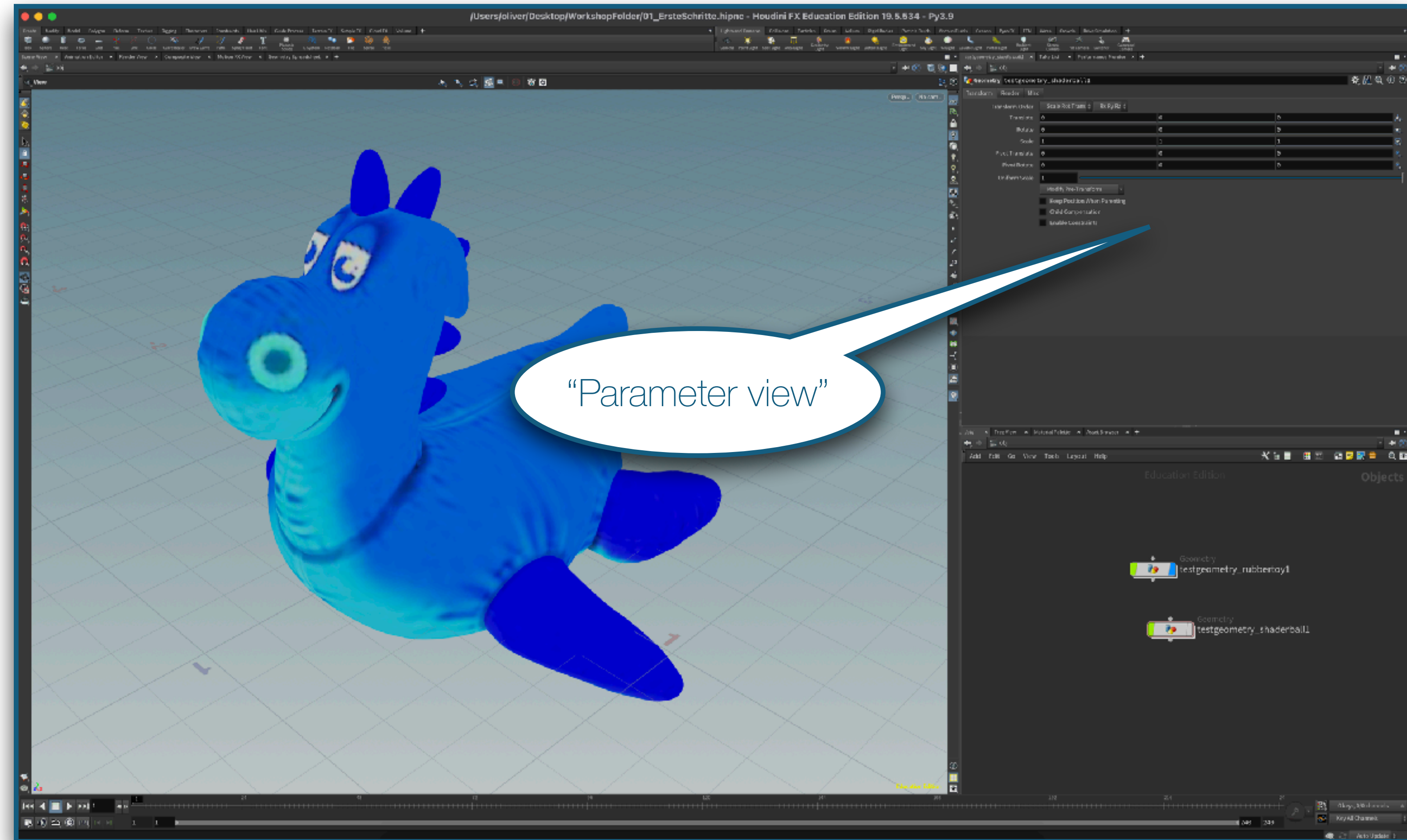
DER STARTBILDSCHIRM

- zeigt "Optionen" eines ausgewählten Knotens



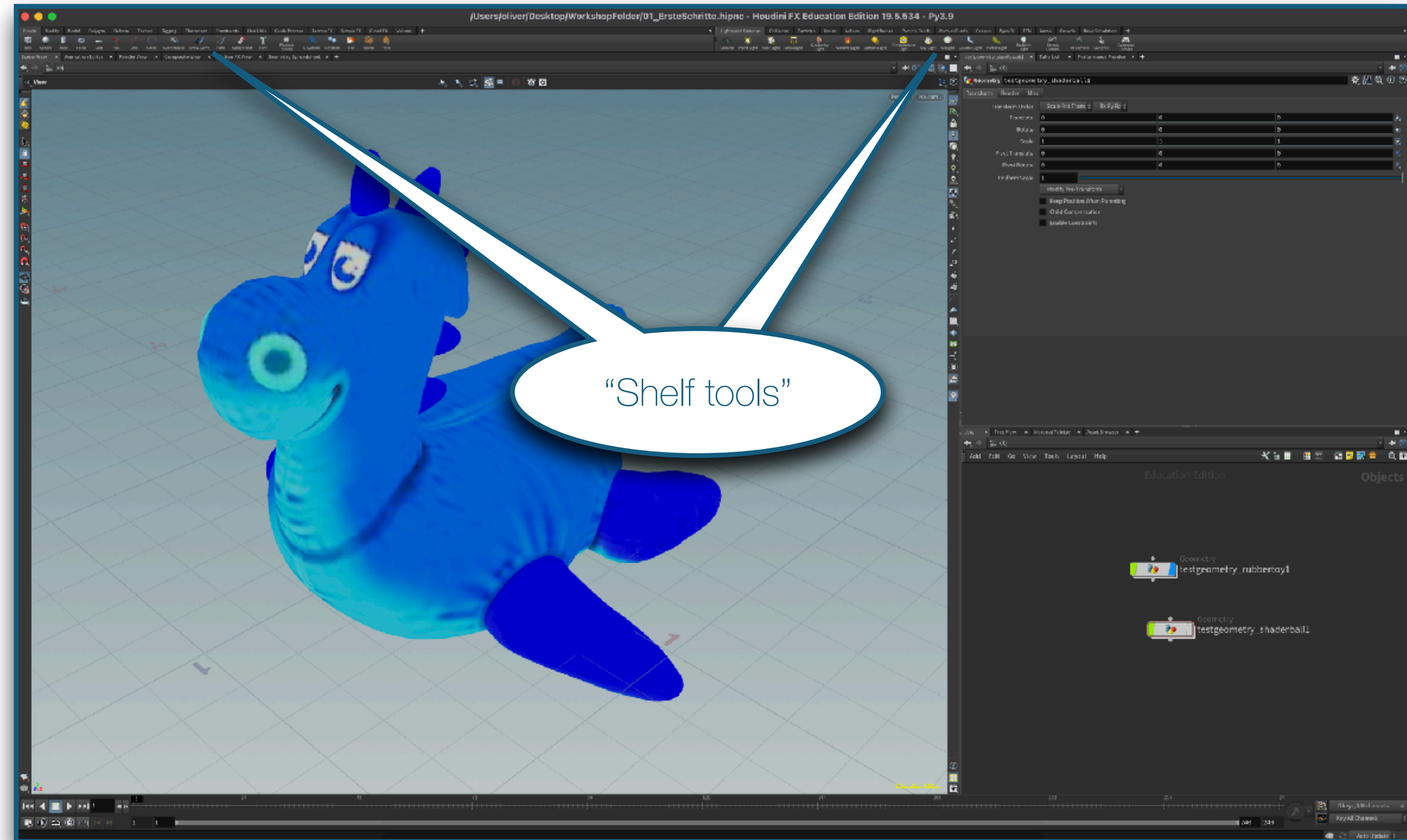
DER STARTBILDSCHIRM

- zeigt "Optionen" eines ausgewählten Knotens
- später erlauben uns "Wrangle"-Knoten erlauben uns lokale Codeschnipsel zu schreiben



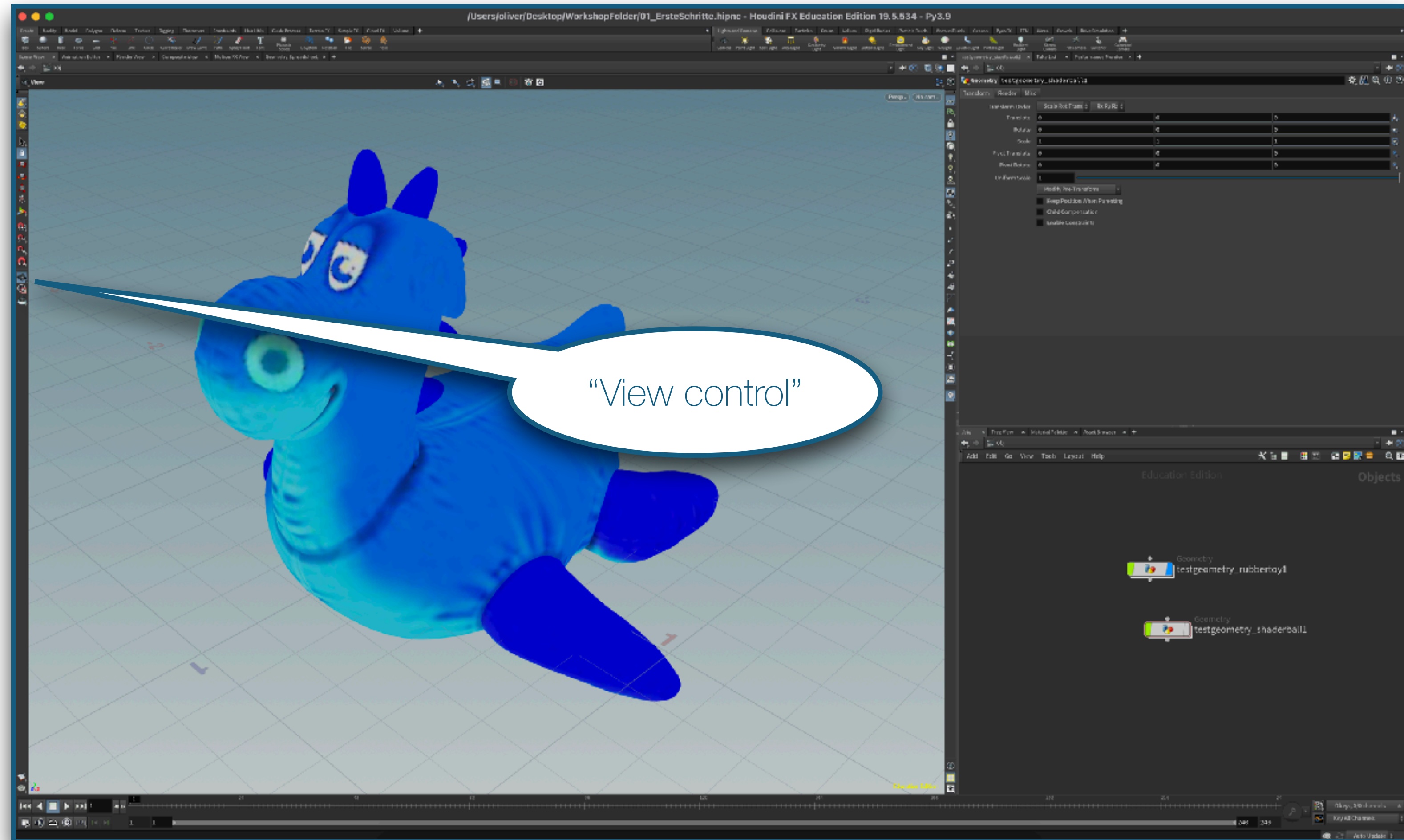
DER STARTBILDSCHIRM

- Sammlungen von Template-Netwerken



DER STARTBILDSCHIRM

- Markiere die Kamera um im Szene view zu navigieren

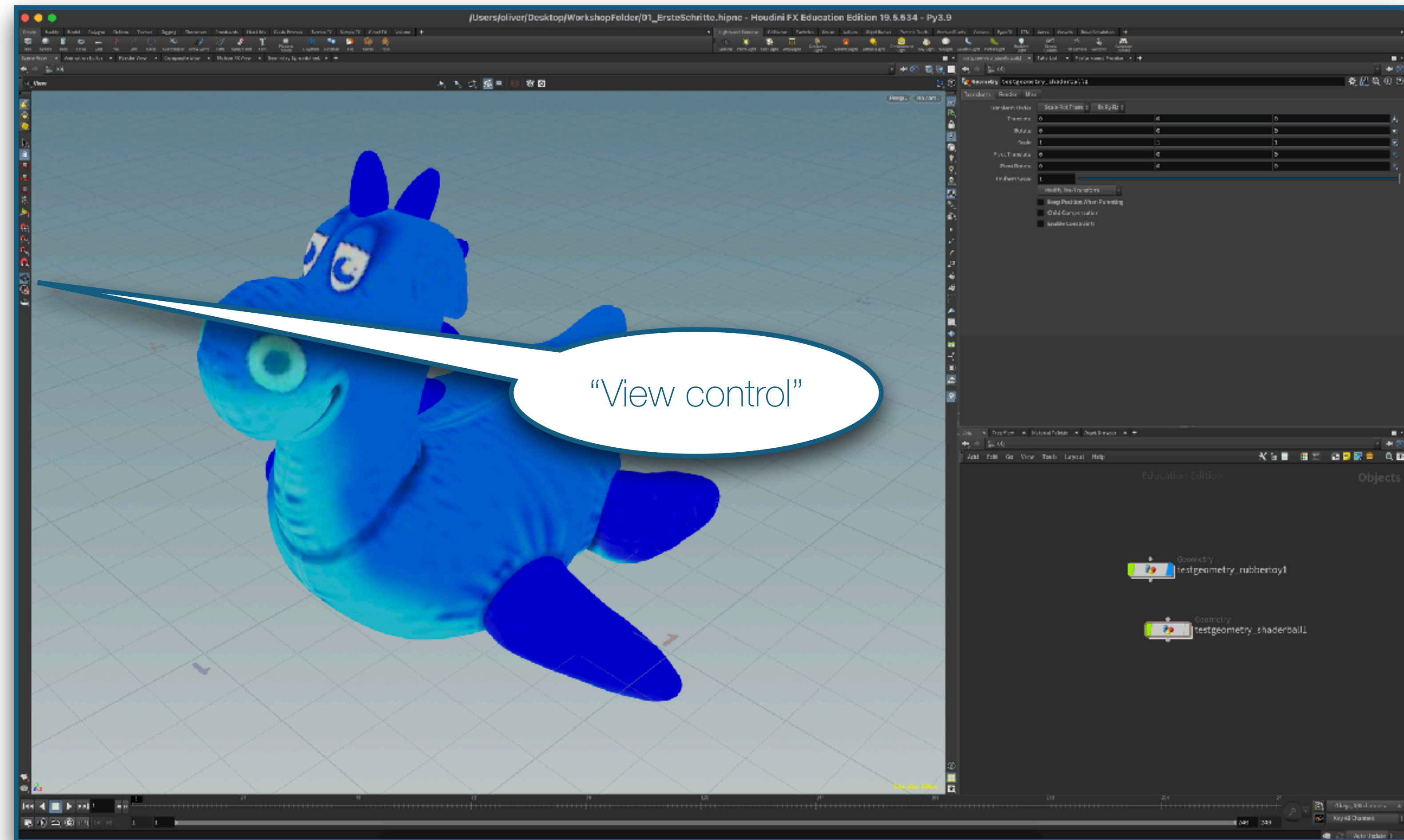


DER STARTBILDSCHIRM

- Markiere die Kamera um im Szene view zu navigieren

Nützliche Shortcuts:

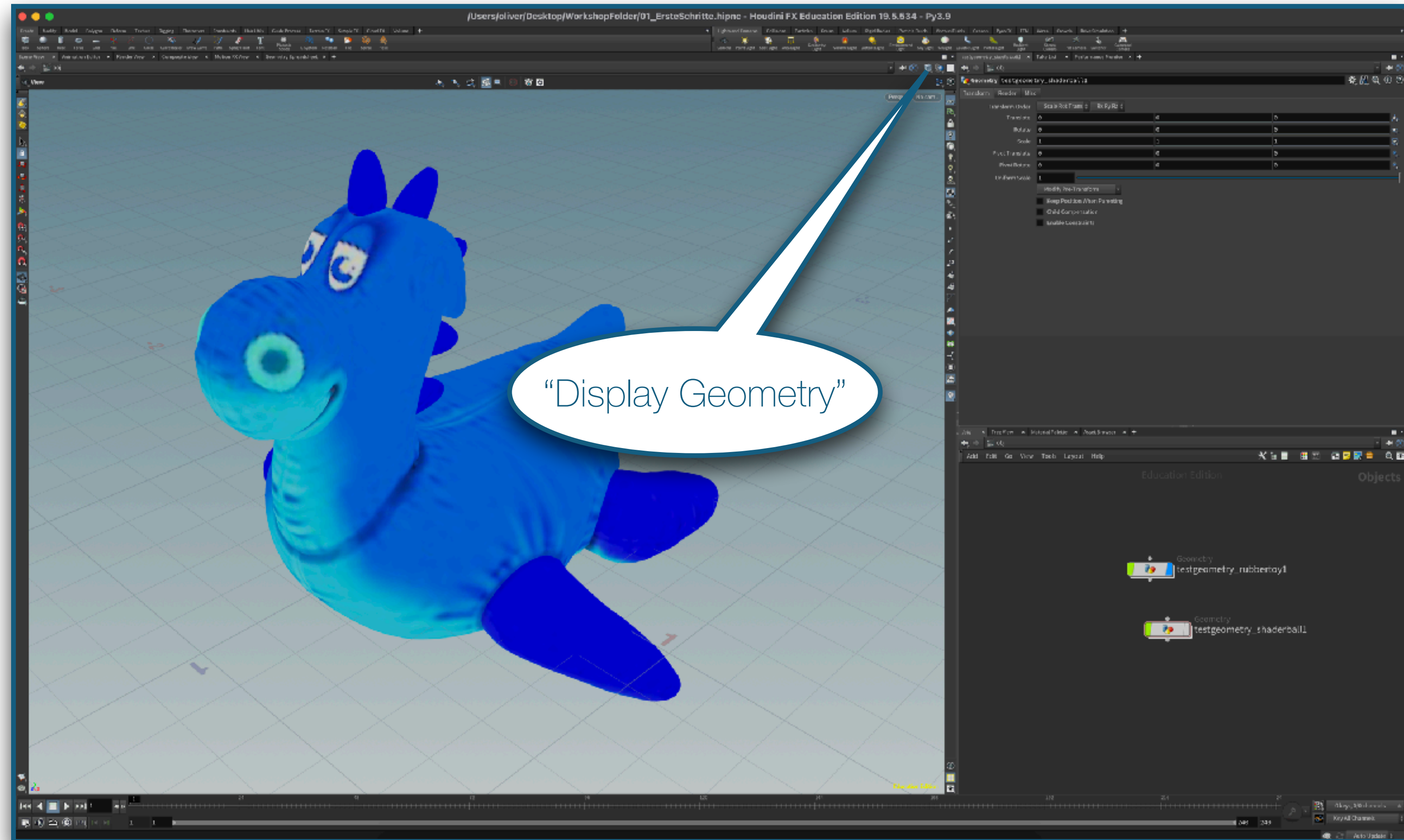
- “H”-Taste zum zentrieren der Szene im Szene view
- “1”, “2”, “3”, “4” für eine orthografische Sicht auf die Szene entlang der jeweiligen Koordinatenachse



DER STARTBILDSCHIRM

verschiedene Darstellungsoptionen für Geometrien, z.B.

- “smooth shading”
- “flat shading”,
- Jeweils mit oder ohne “wireframe”



DER STARTBILDSCHIRM

Übung:

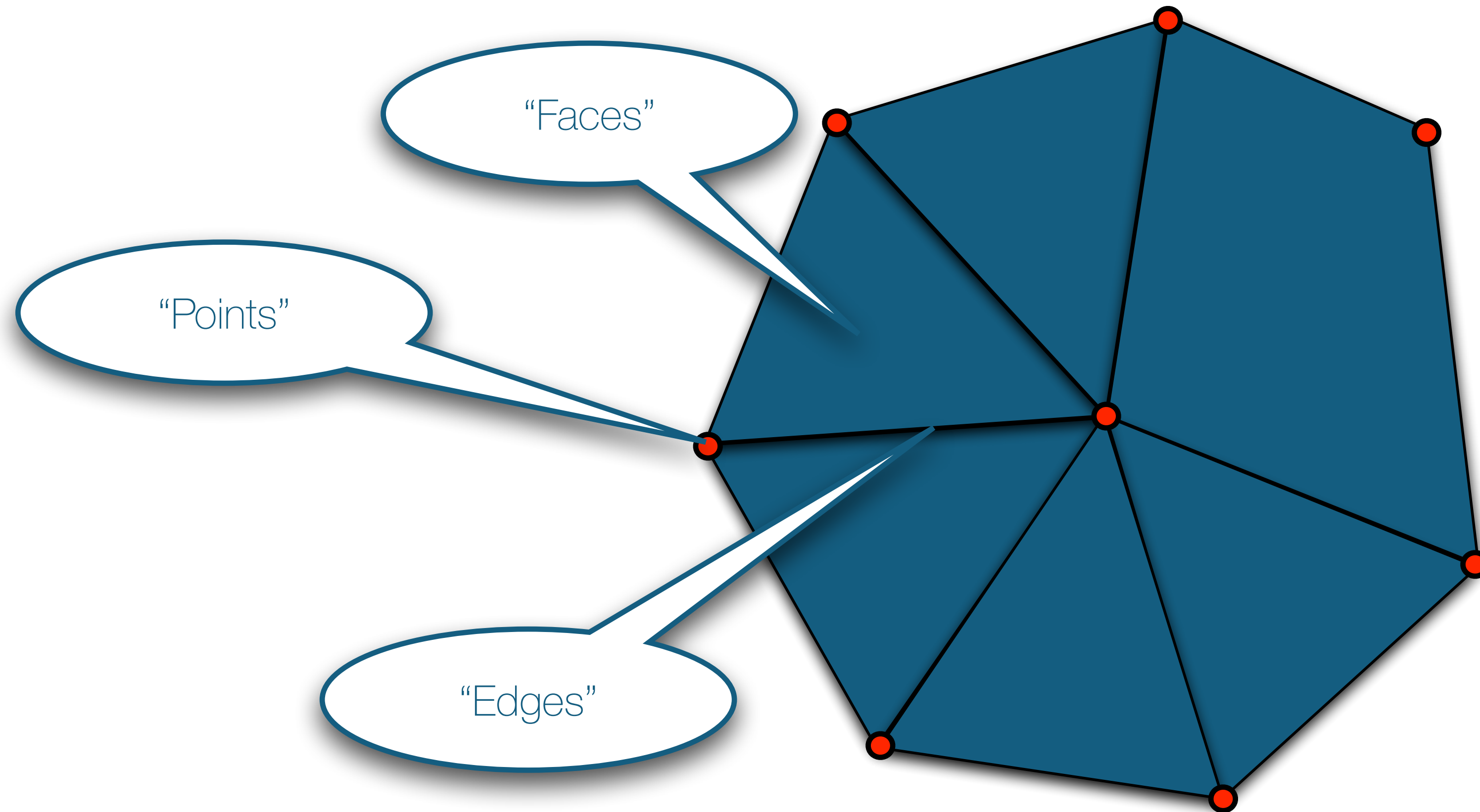
- a) Erzeuge eine “rubbertoy” und eine “shader ball” Testgeometrie.
- b) Nutze die blauen Marker um sie einzeln und zusammen anzuzeigen.
- c) Zeige die Geometrie nur als Wireframe an
- d) Zeige die Geometrie “smooth shaded” and und vergleiche die “Lighting” Optionen

ALLES KLAR?

DATENSTRUKTUR UND ATTRIBUTE

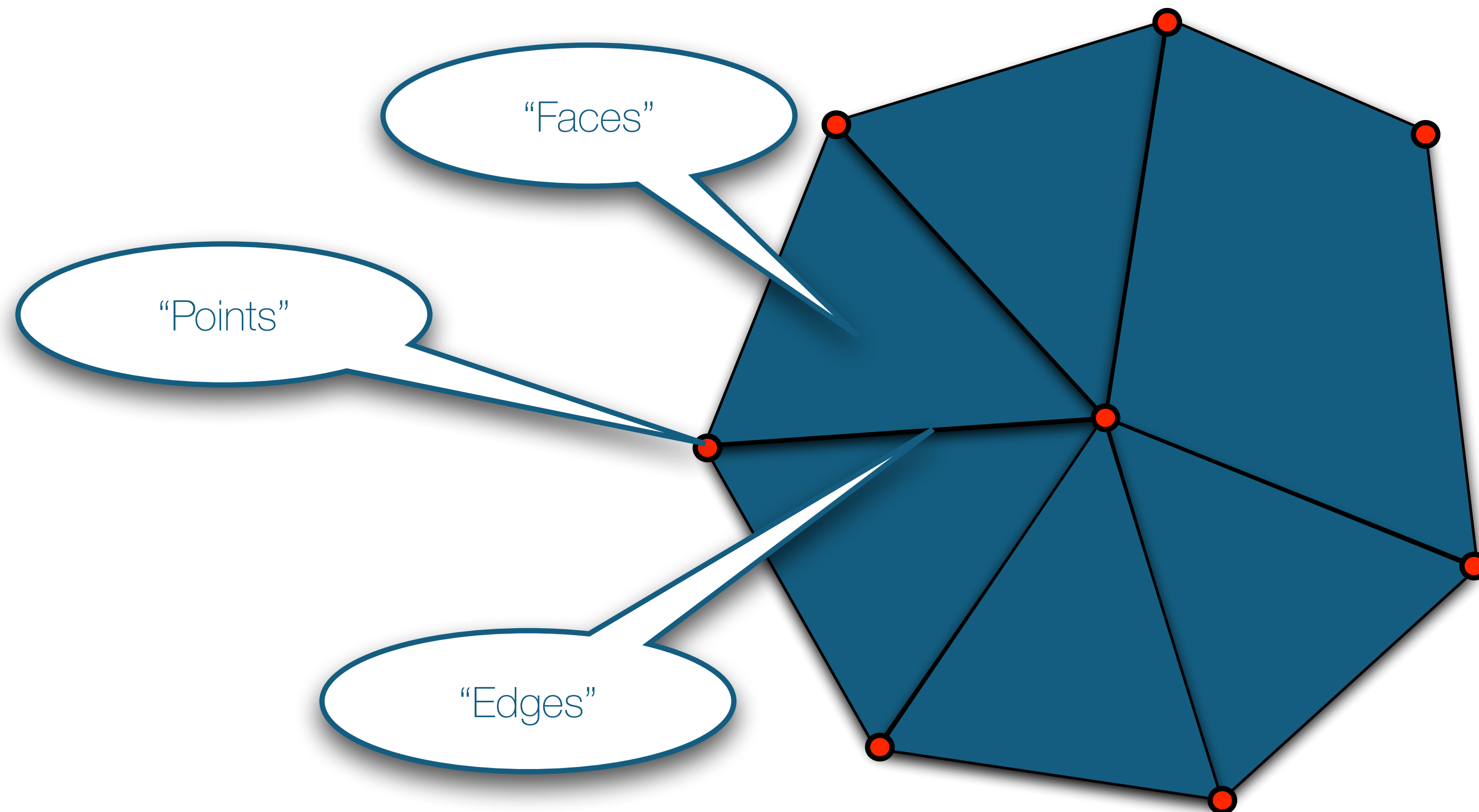
HALF-EDGE DATENSTRUKTUR

- Wir betrachten ein Polygonales mesh



HALF-EDGE DATENSTRUKTUR

- Wir betrachten ein Polygonales mesh

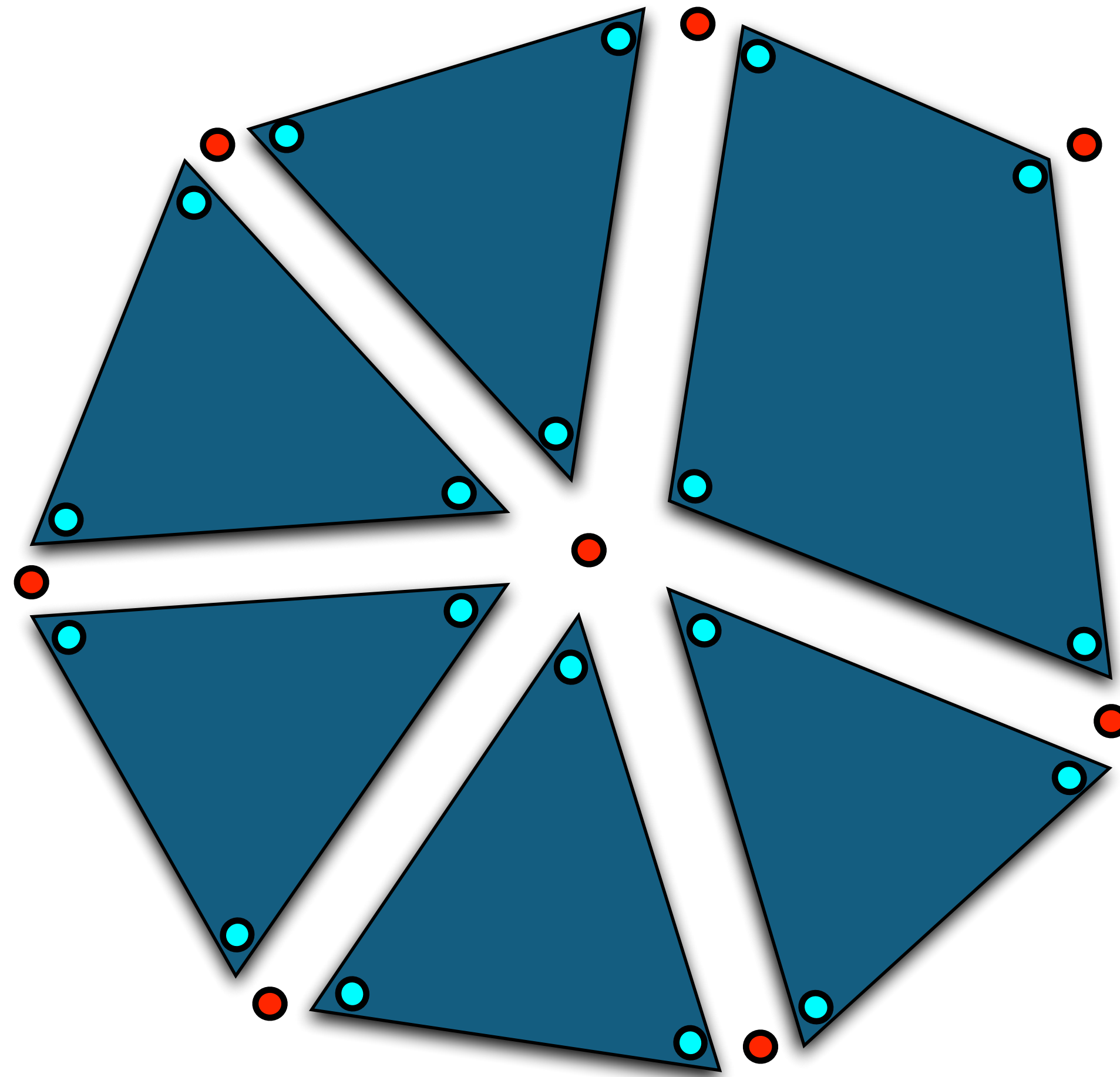


In Houdini's half-edge
Datenstruktur gilt:

Point \neq Vertex

HALF-EDGE DATENSTRUKTUR

- Wir betrachten ein Polygonales mesh

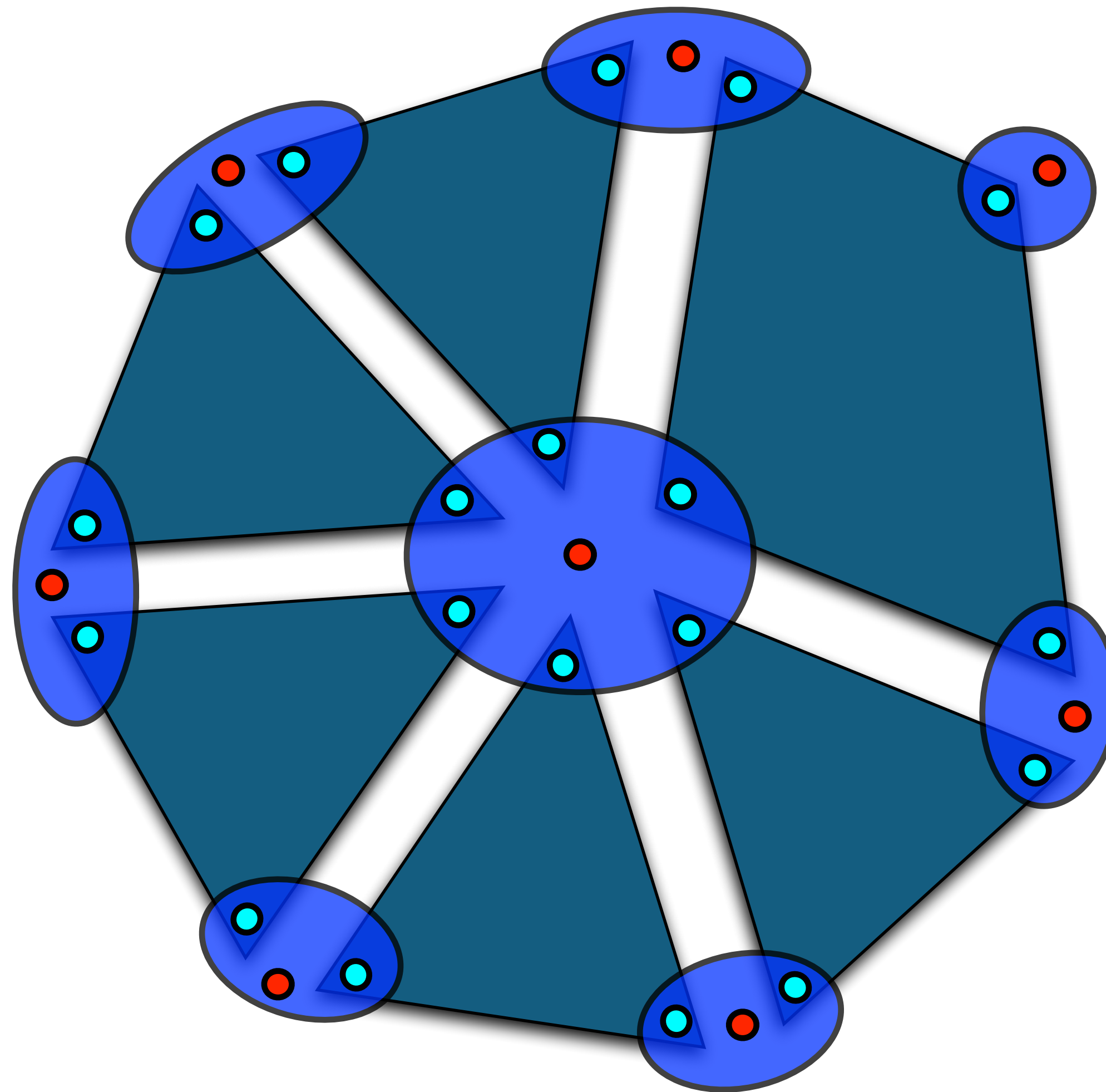


In Houdini's half-edge
Datenstruktur gilt:

Point \neq **Vertex**

HALF-EDGE DATENSTRUKTUR

- Wir betrachten ein Polygonales mesh

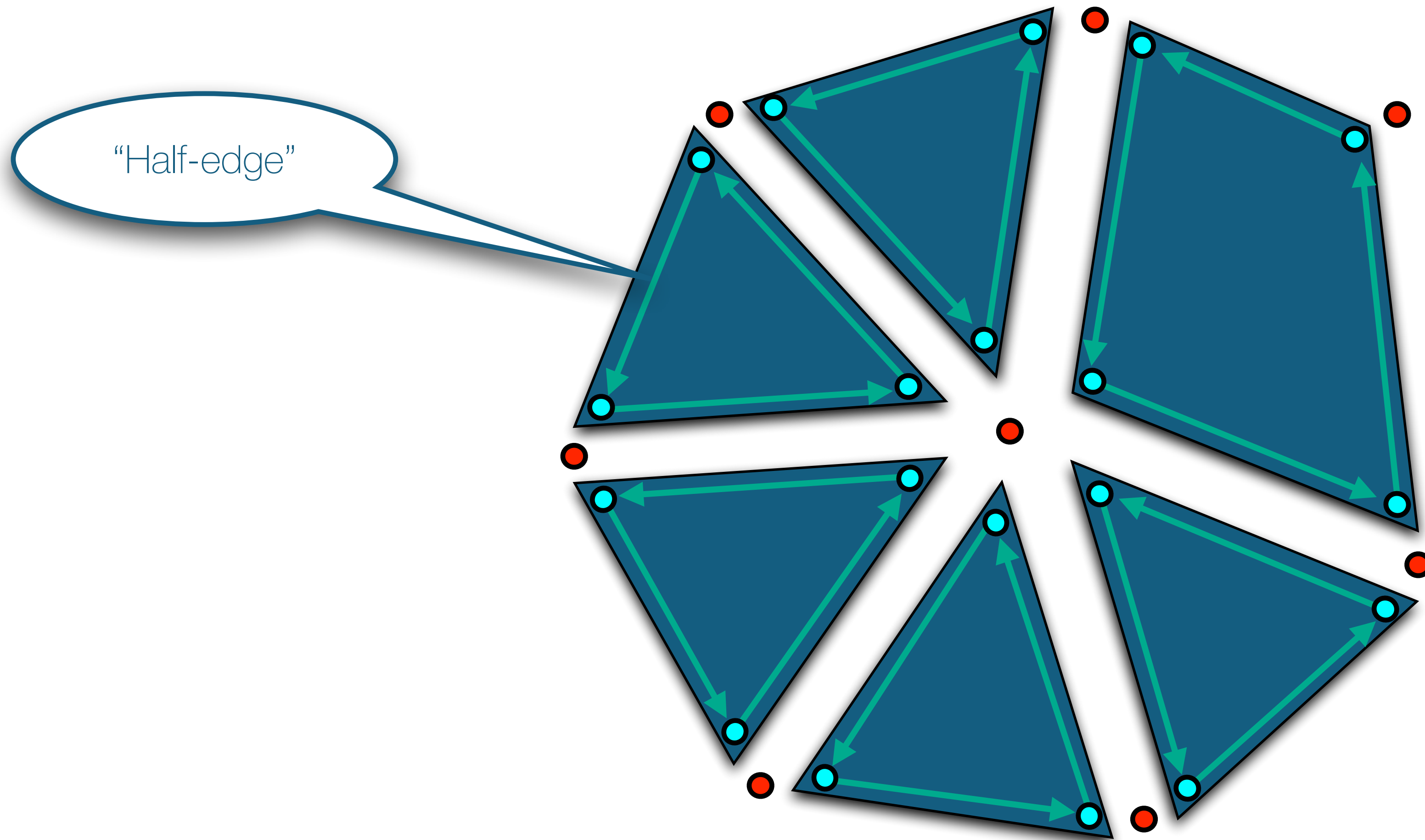


In Houdini's half-edge
Datenstruktur gilt:

Point \neq **Vertex**

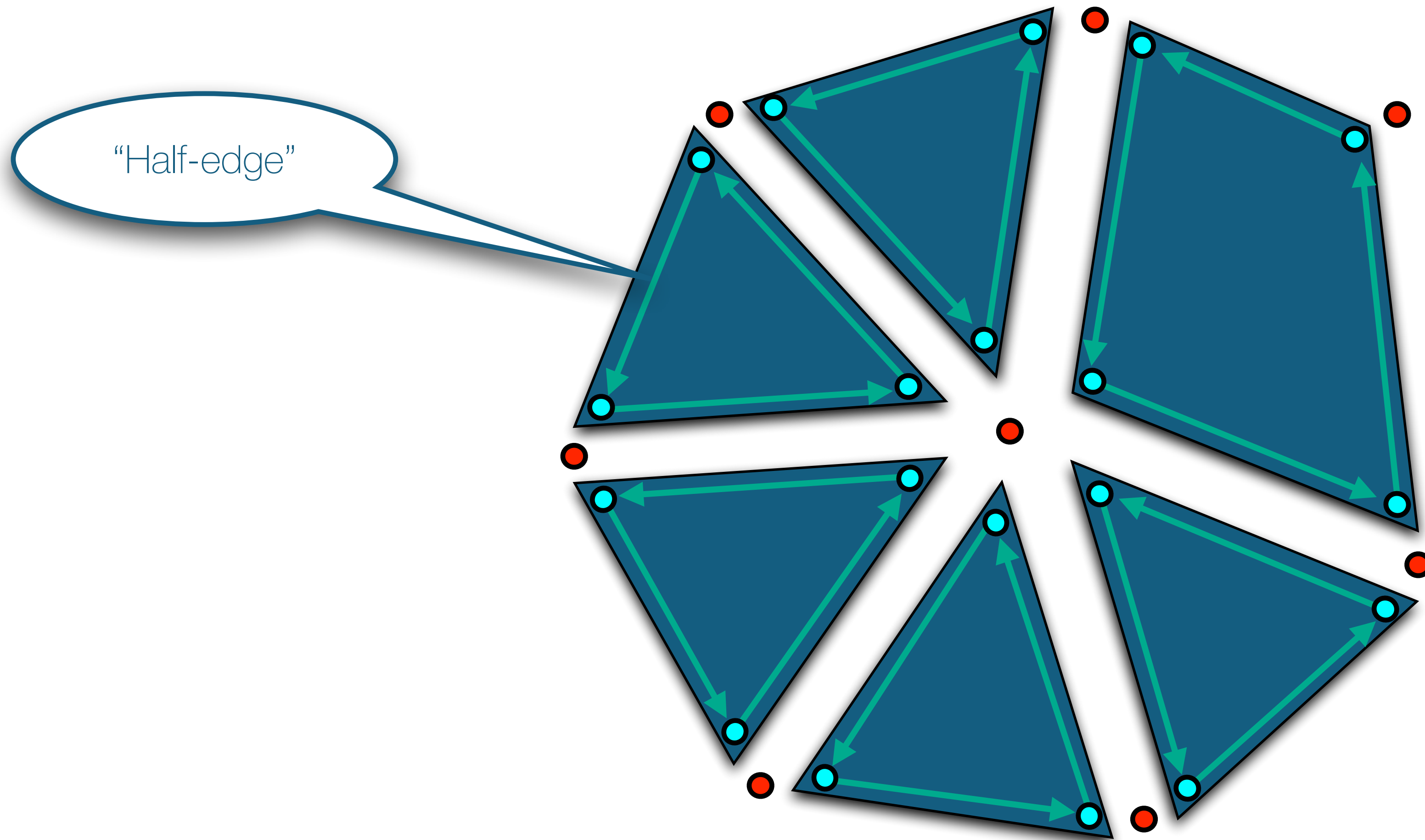
HALF-EDGE DATENSTRUKTUR

- Wir betrachten ein Polygonales mesh



HALF-EDGE DATENSTRUKTUR

- Wir betrachten ein Polygonales mesh

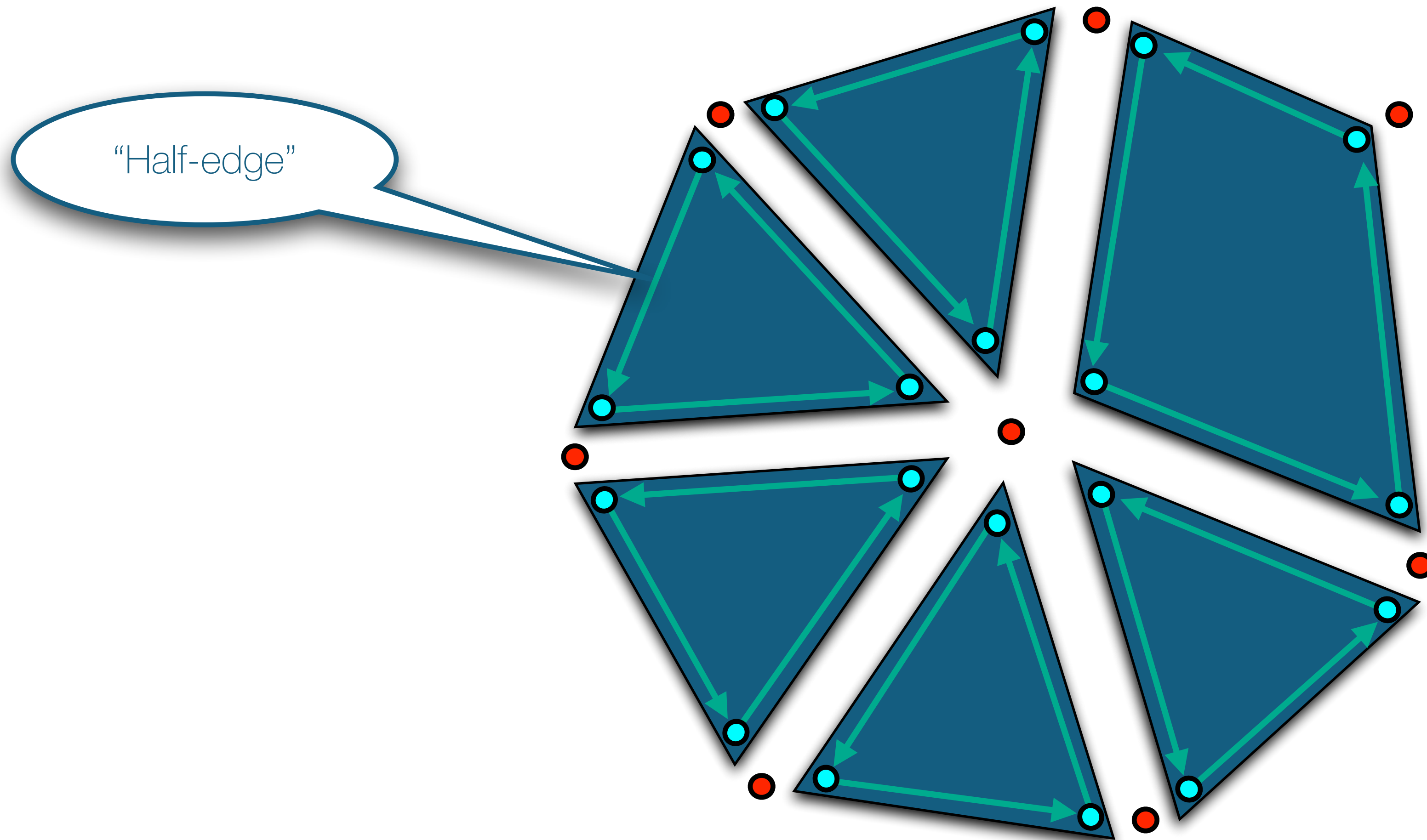


Wir können über folgende Objekte iterieren:

- Faces
- Punkte
- Vertices

HALF-EDGE DATENSTRUKTUR

- Wir betrachten ein Polygonales mesh

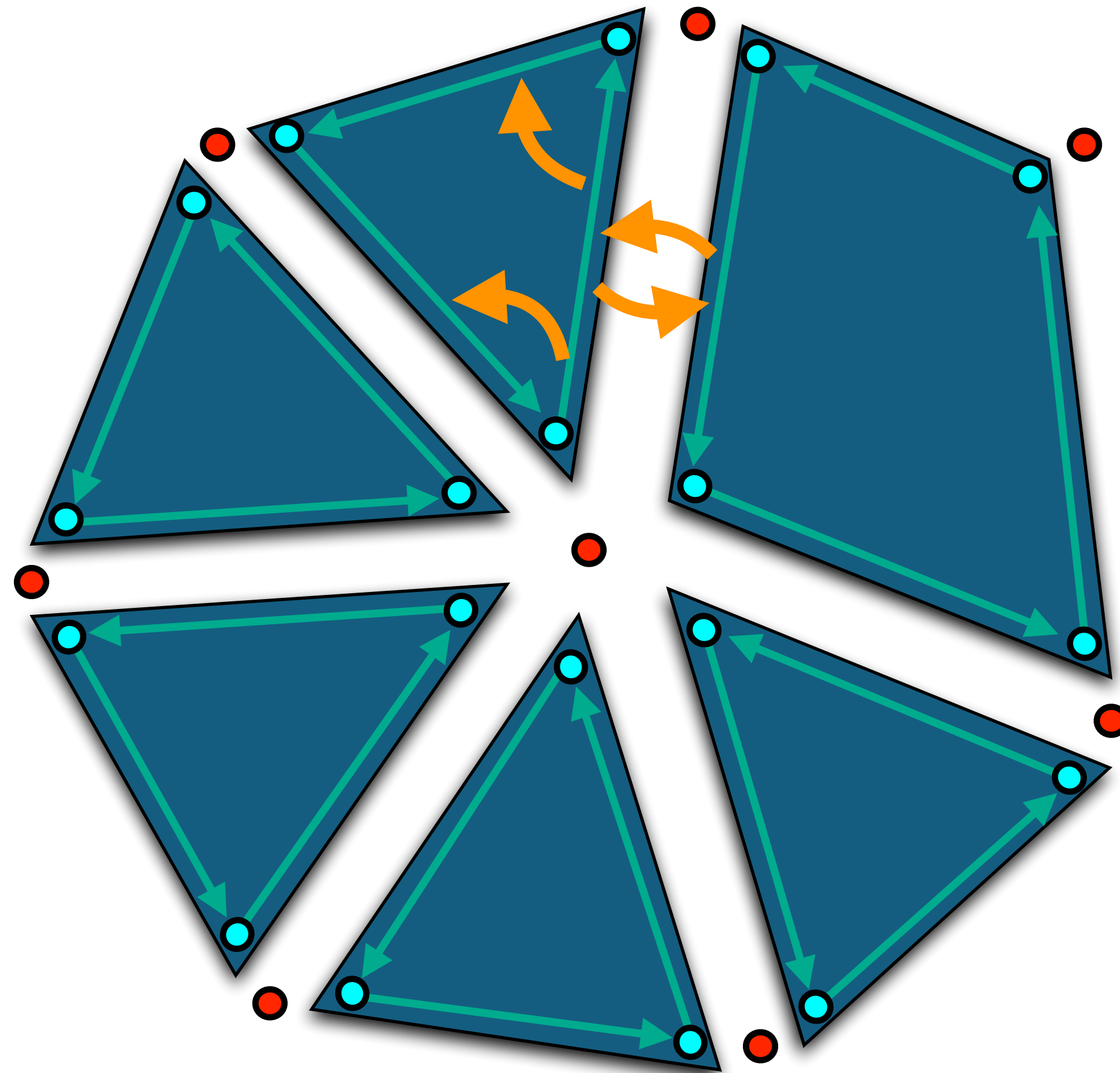


Wir können über folgende Objekte iterieren:

- Faces
- Punkte
- Vertices
- Half-edges sind nicht iterierbar, aber gehören zum source-vertex

HALF-EDGE DATENSTRUKTUR

- Wir betrachten ein Polygonales mesh

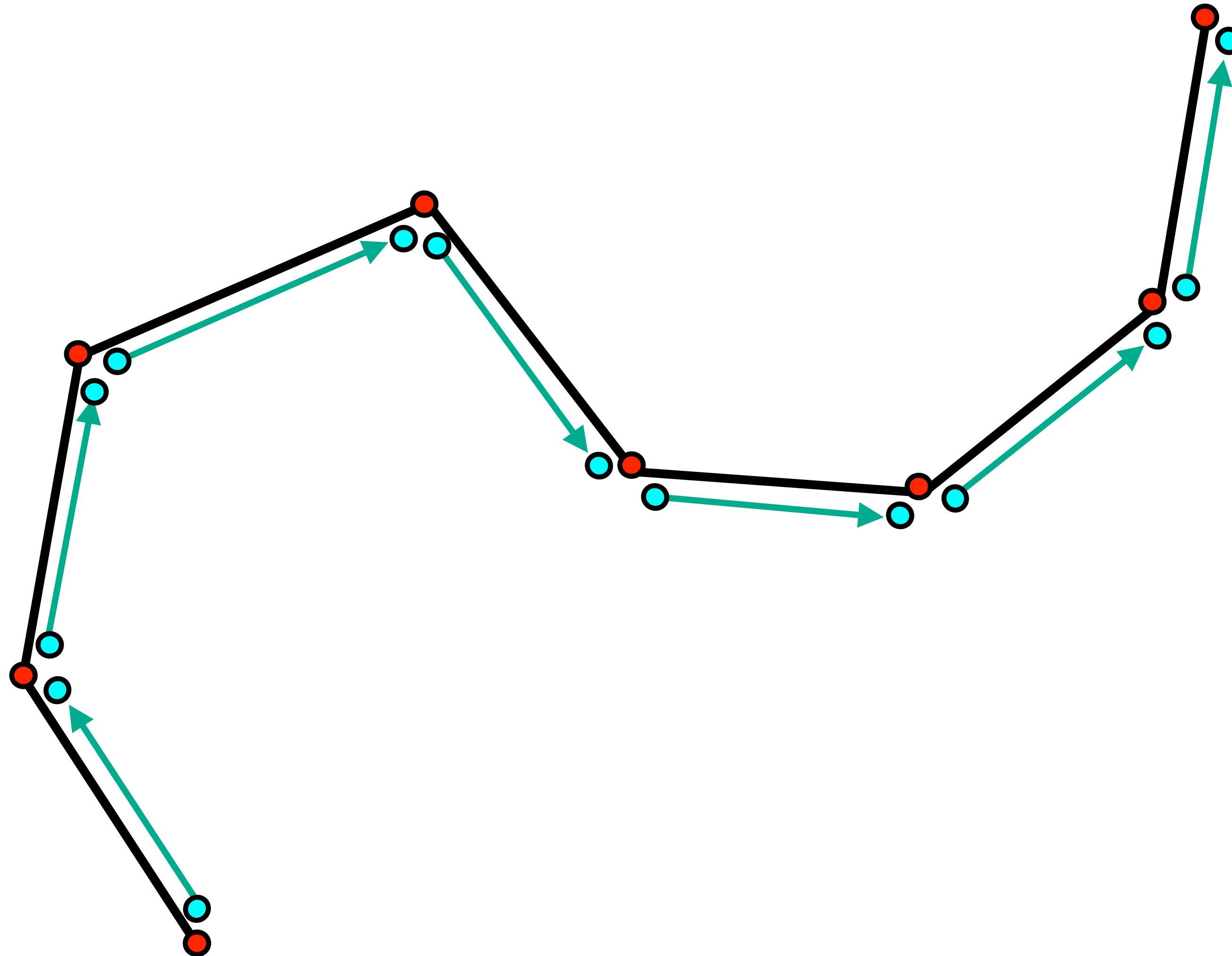


Wir können über folgende Objekte iterieren:

- Faces (Primitives)
- Punkte
- Vertices
- Half-edges sind nicht iterierbar, aber gehören zum source-vertex

HALF-EDGE DATENSTRUKTUR

- Kurven sind “polyline” primitives

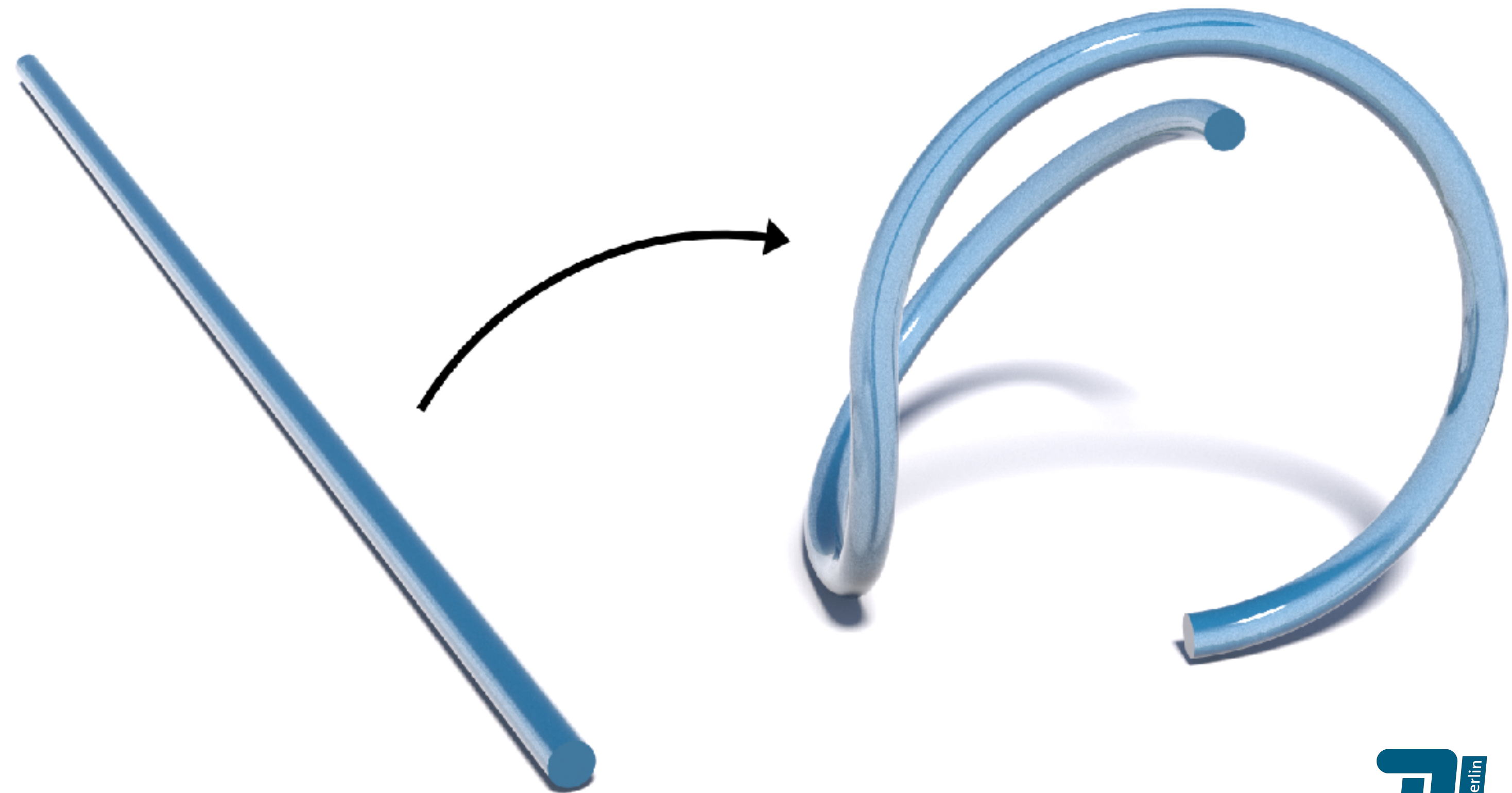


TEMPLATE GEOMETRIEN

Oft starten wir mit dem Erzeuger einer Template Geometrie, z.B.:

- Circle
- Grid
- Line
- Sphere
- Torus
- Tube

→ Später manipulieren wir diese lokal



TEMPLATE GEOMETRIEN

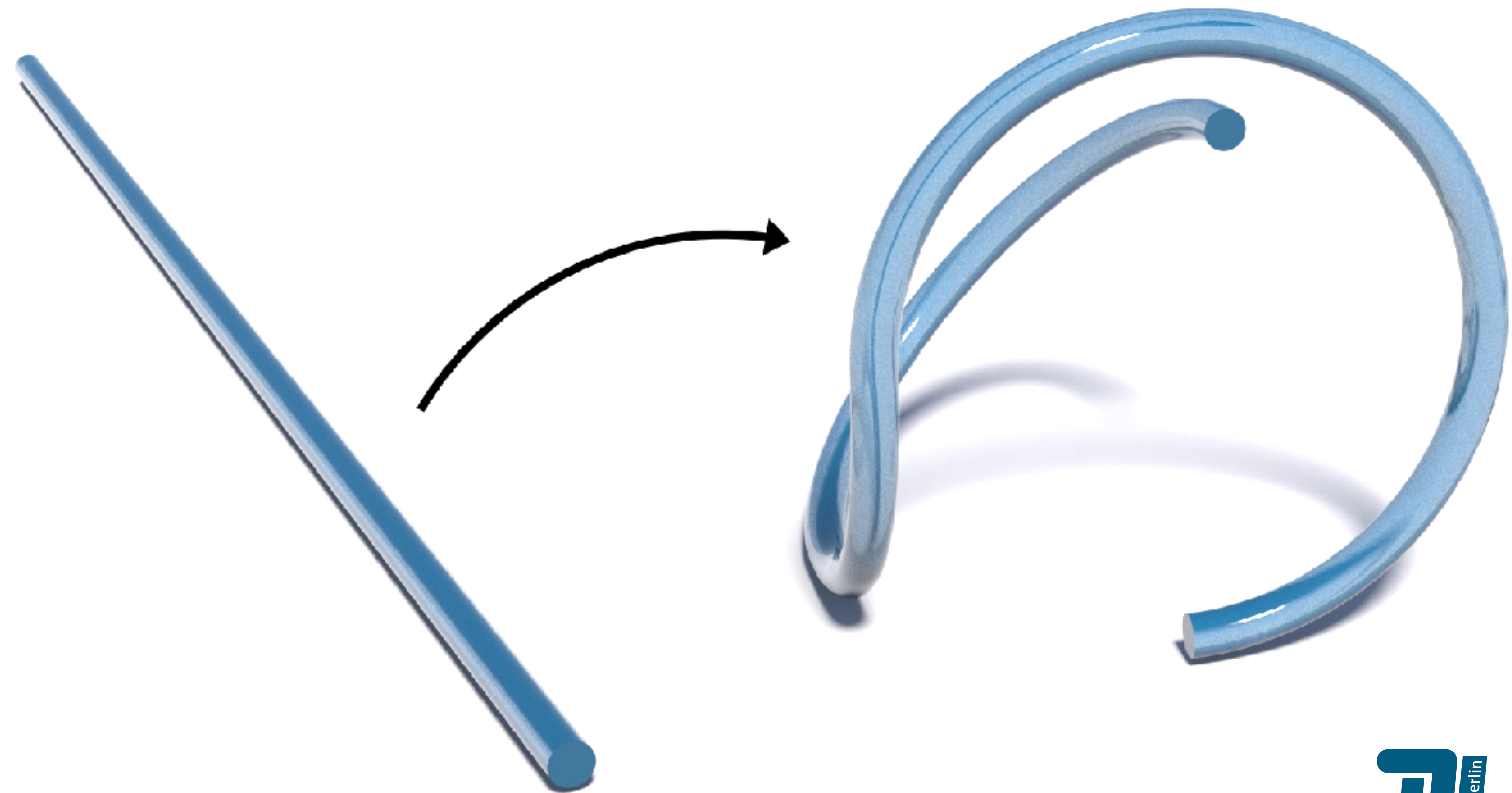
Oft starten wir mit dem Erzeuger einer Template Geometrie, z.B.:

- Circle
- Grid
- Line
- Sphere
- Torus
- Tube

→ Später manipulieren wir diese lokal

Zuerst: ein paar sehr nützliche Knoten

- Resample
- Remesh
- Normal
- Divide
- Polyreduce
- Polywire
- Transform
- Copy Transform
- Copy to Points
- Merge
- ⋮



TEMPLATE GEOMETRIEN

Übung:

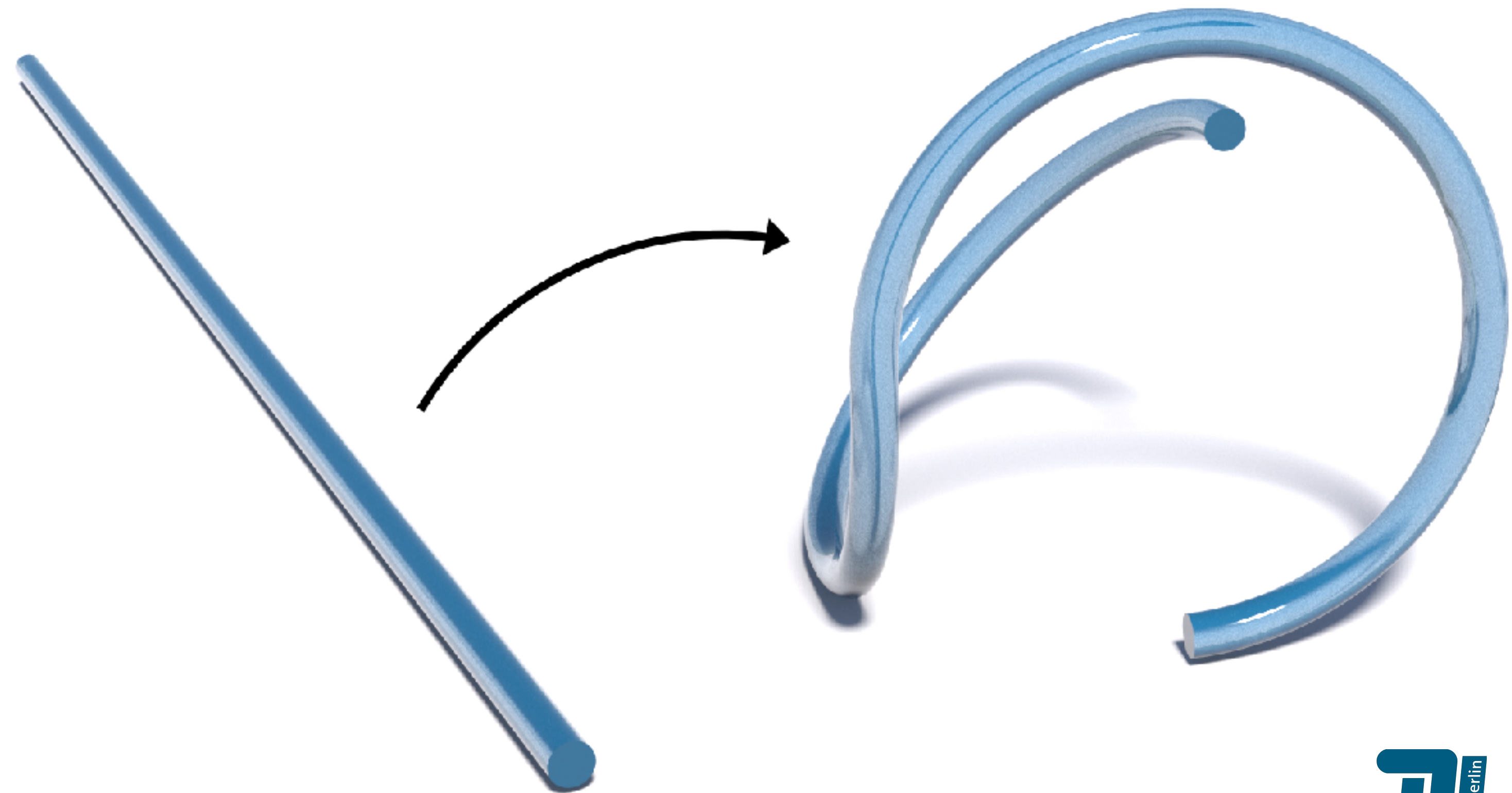
- a) Erzeuge einen Torus mit Radienverhältnis $\frac{R}{r} = \sqrt{2}$.
- b) Nutze einen “Remesh” Knoten um ein Delaunay Mesh zu erzeugen
- c) Nutze “Copy to Points” und “Polywire” Knoten für eine “Ball and Stick” Visualisierung

WRANGLE-KNOTEN

HOUDINI

Der Workflow ist oft nah an “mathematischer Denkweise”

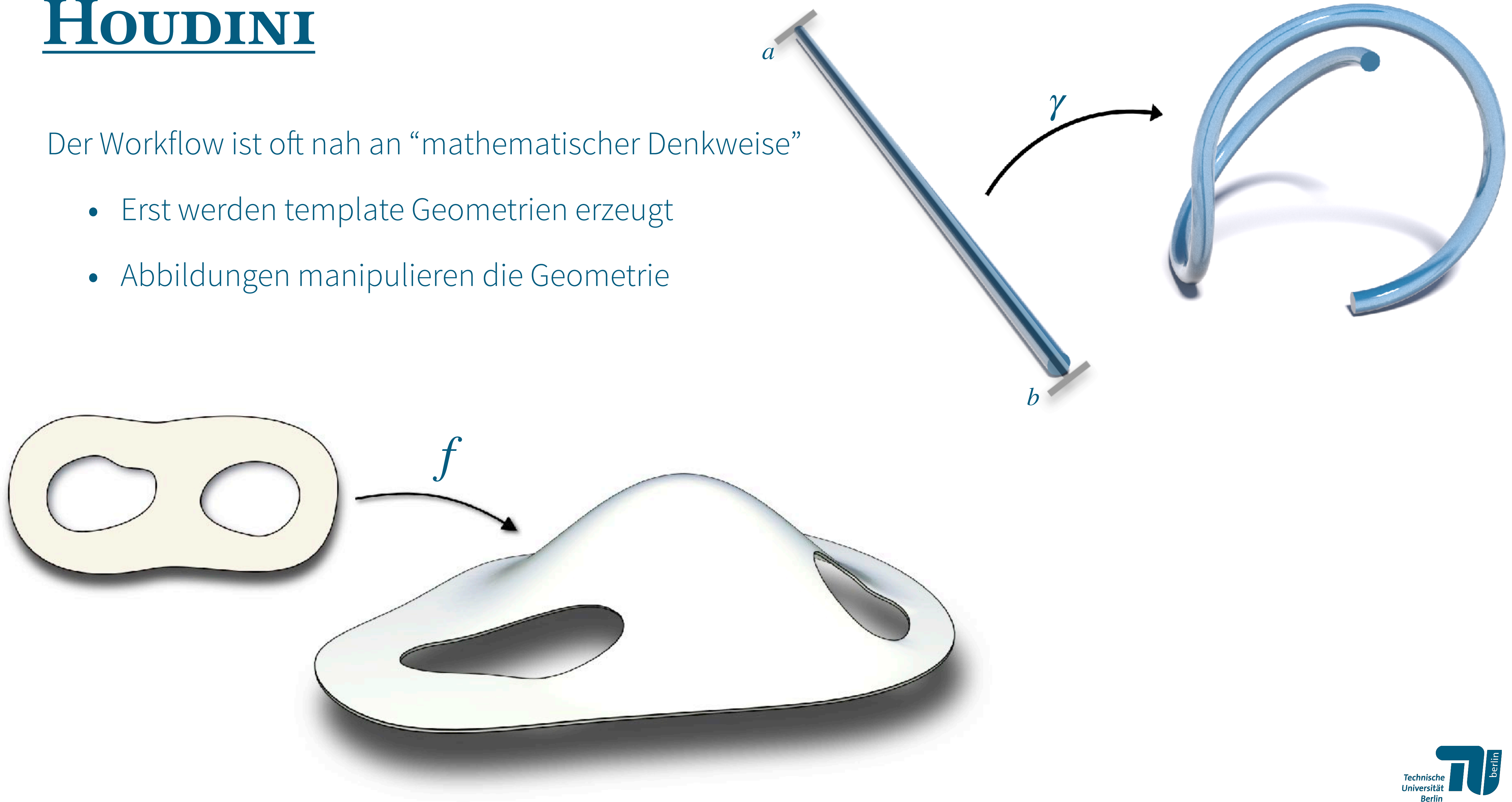
- Erst werden template Geometrien erzeugt
- Abbildungen manipulieren die Geometrie



HOUDINI

Der Workflow ist oft nah an “mathematischer Denkweise”

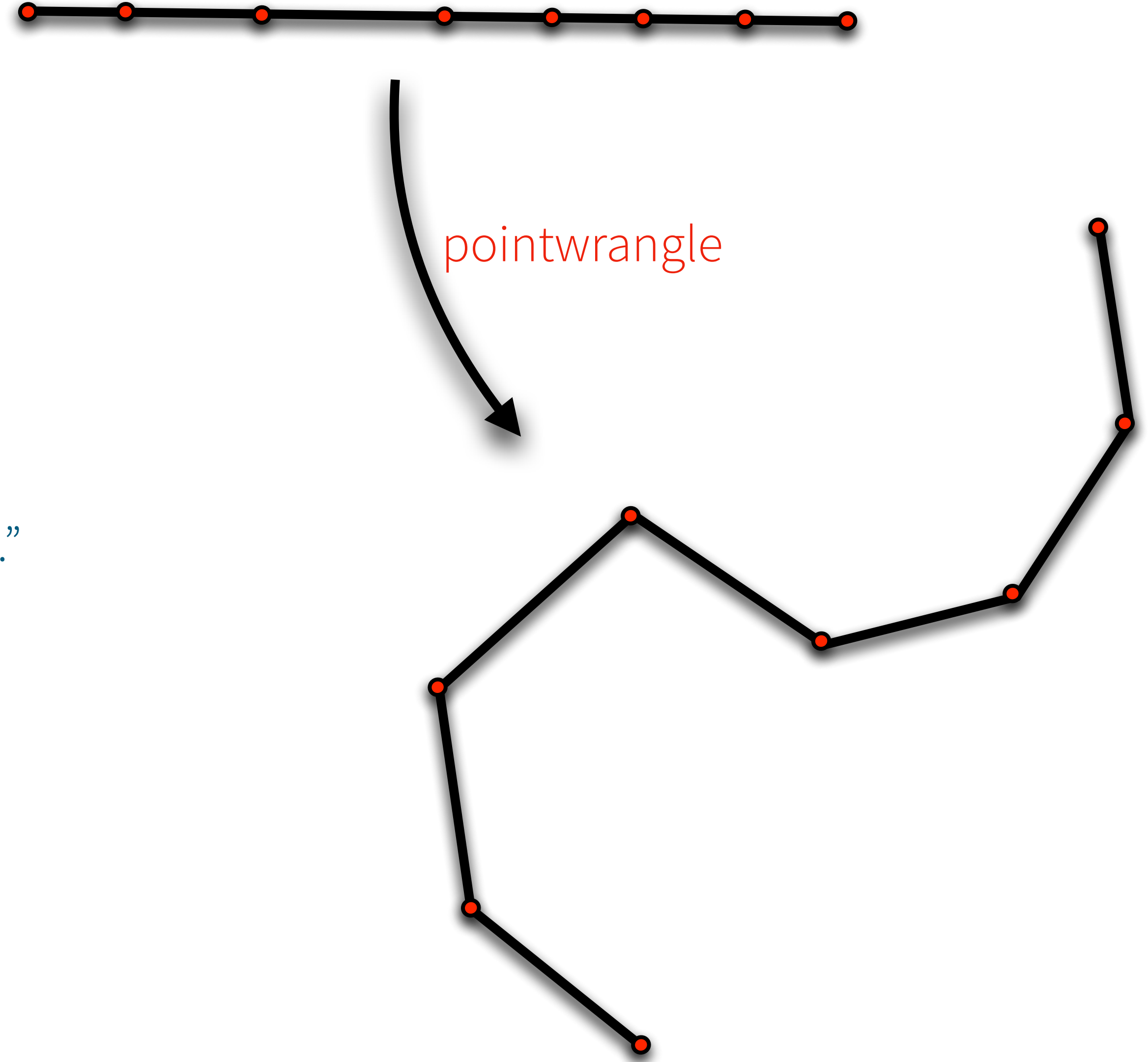
- Erst werden template Geometrien erzeugt
- Abbildungen manipulieren die Geometrie



WRANGLE KNOTEN

Mit Hilfe von “Attribute Wrangle” Knoten können wir über Geometrie iterieren

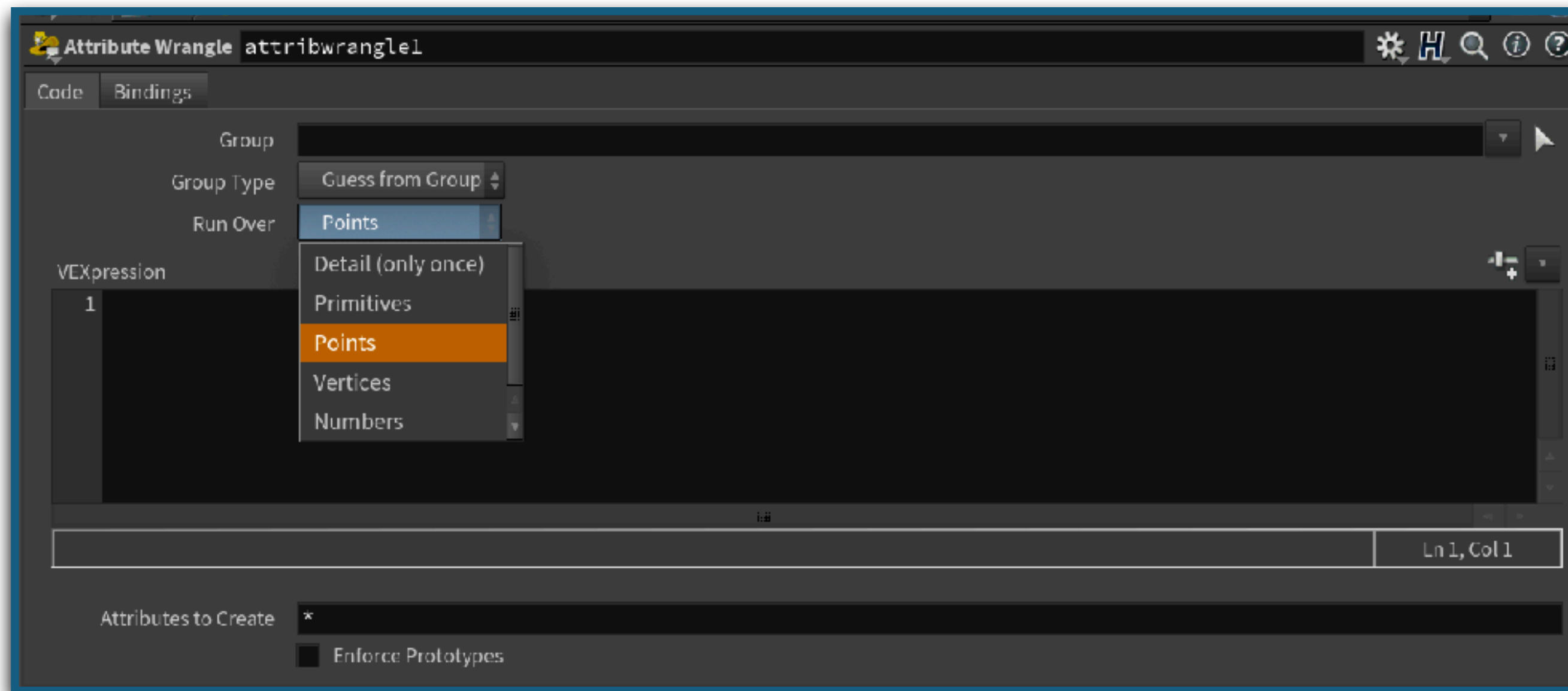
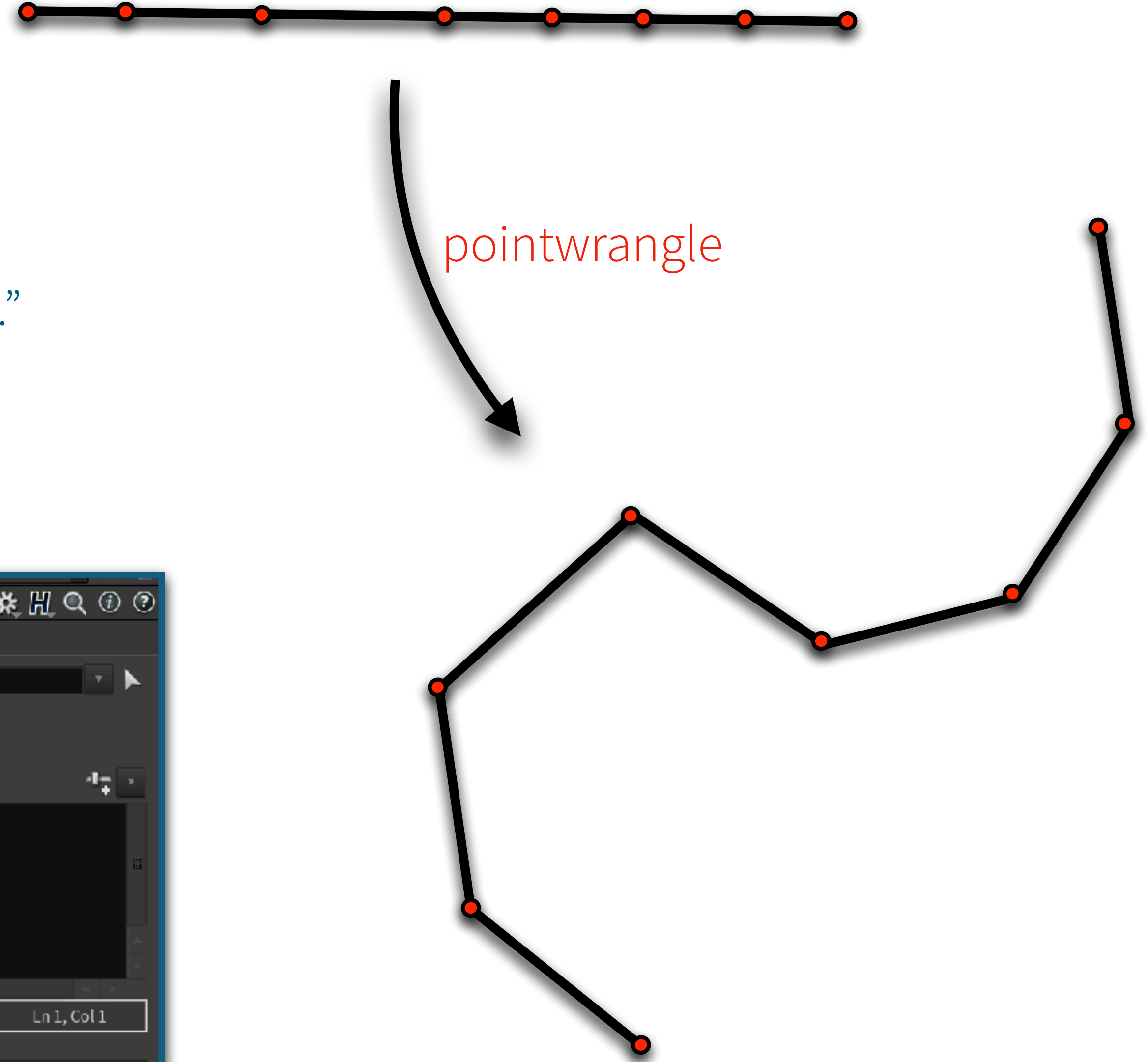
- Detail → globale Operation (kein loop)
- Primitive → “for each primitive in the geometry do: ...”
- Point → “for each point in the geometry do: ...”
- Vertex → “for each vertex in the geometry do: ...”



WRANGLE KNOTEN

Mit Hilfe von “Attribute Wrangle” Knoten können wir über Geometrie iterieren

- Detail → globale Operation (kein loop)
- Primitive → “for each primitive in the geometry do: ...”
- Point → “for each point in the geometry do: ...”
- Vertex → “for each vertex in the geometry do: ...”

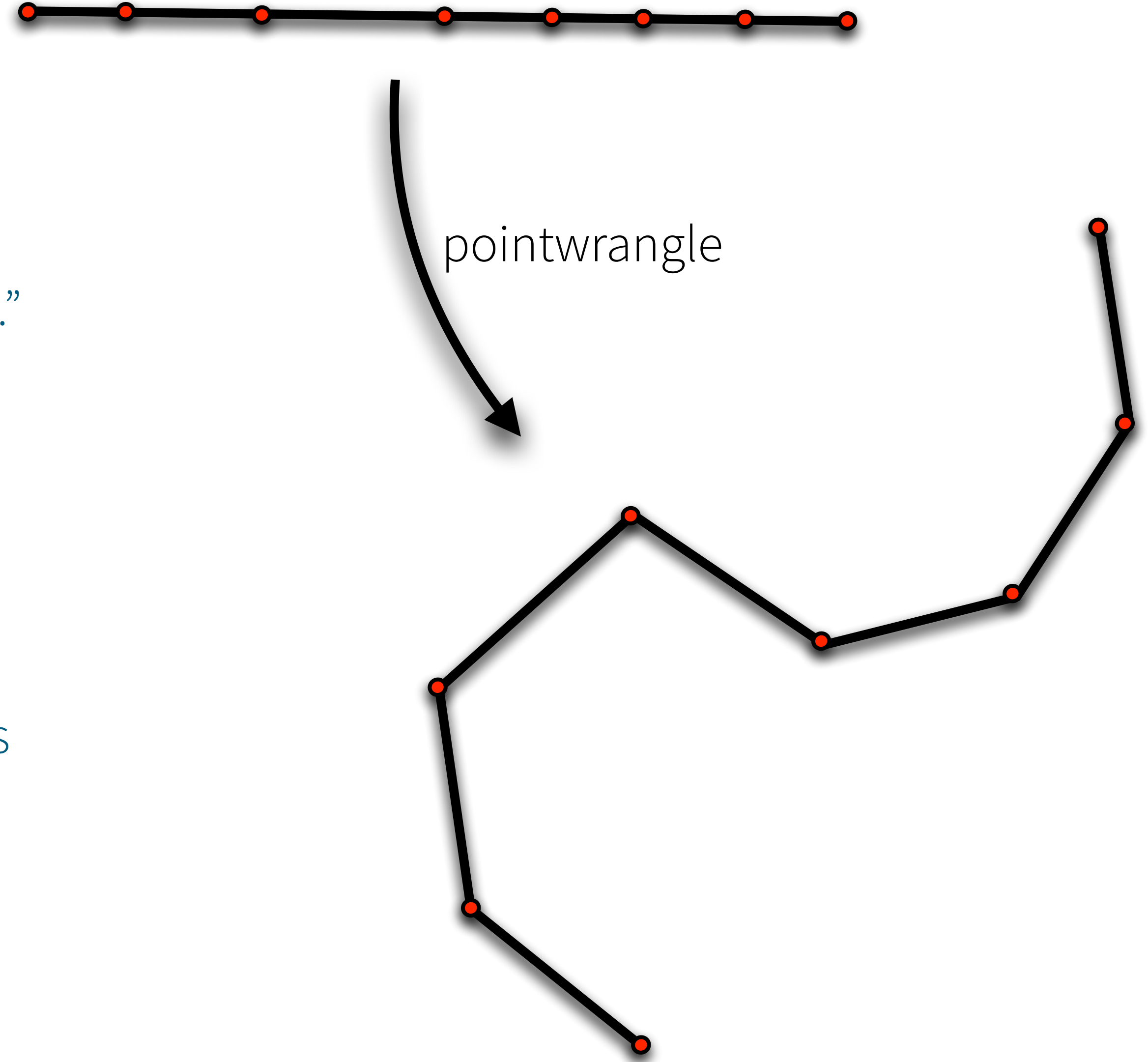


WRANGLE KNOTEN

Mit Hilfe von “Attribute Wrangle” Knoten können wir über Geometrie iterieren

- Detail → globale Operation (kein loop)
- Primitive → “for each primitive in the geometry do: ...”
- Point → “for each point in the geometry do: ...”
- Vertex → “for each vertex in the geometry do: ...”

Houdini hat eine eigene Programmiersprache namens *VEX*, die ähnlich wie Java und C++ ist.



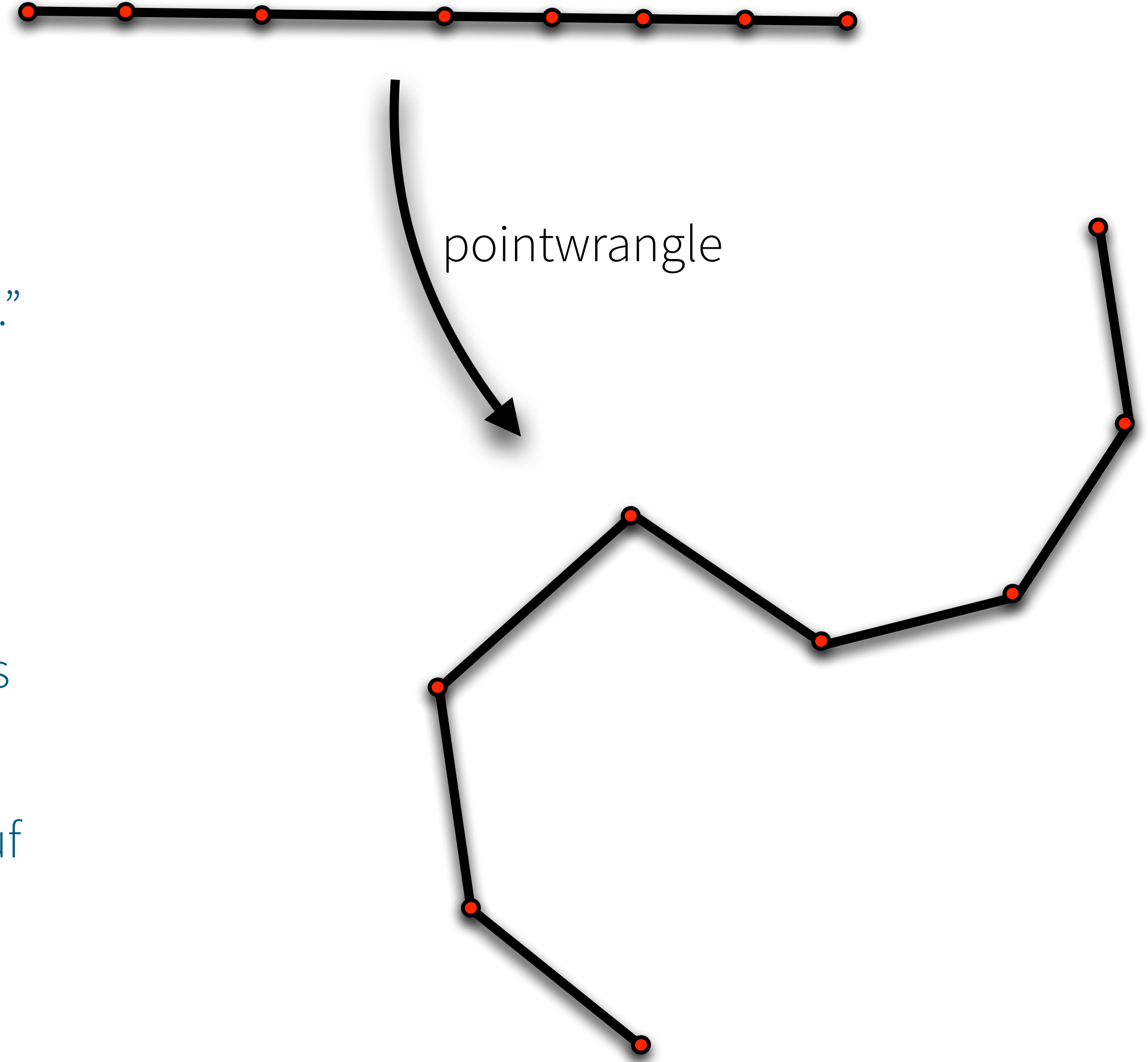
WRANGLE KNOTEN

Mit Hilfe von “Attribute Wrangle” Knoten können wir über Geometrie iterieren

- Detail → globale Operation (kein loop)
- Primitive → “for each primitive in the geometry do: ...”
- Point → “for each point in the geometry do: ...”
- Vertex → “for each vertex in the geometry do: ...”

Houdini hat eine eigene Programmiersprache namens *VEX*, die ähnlich wie Java und C++ ist.

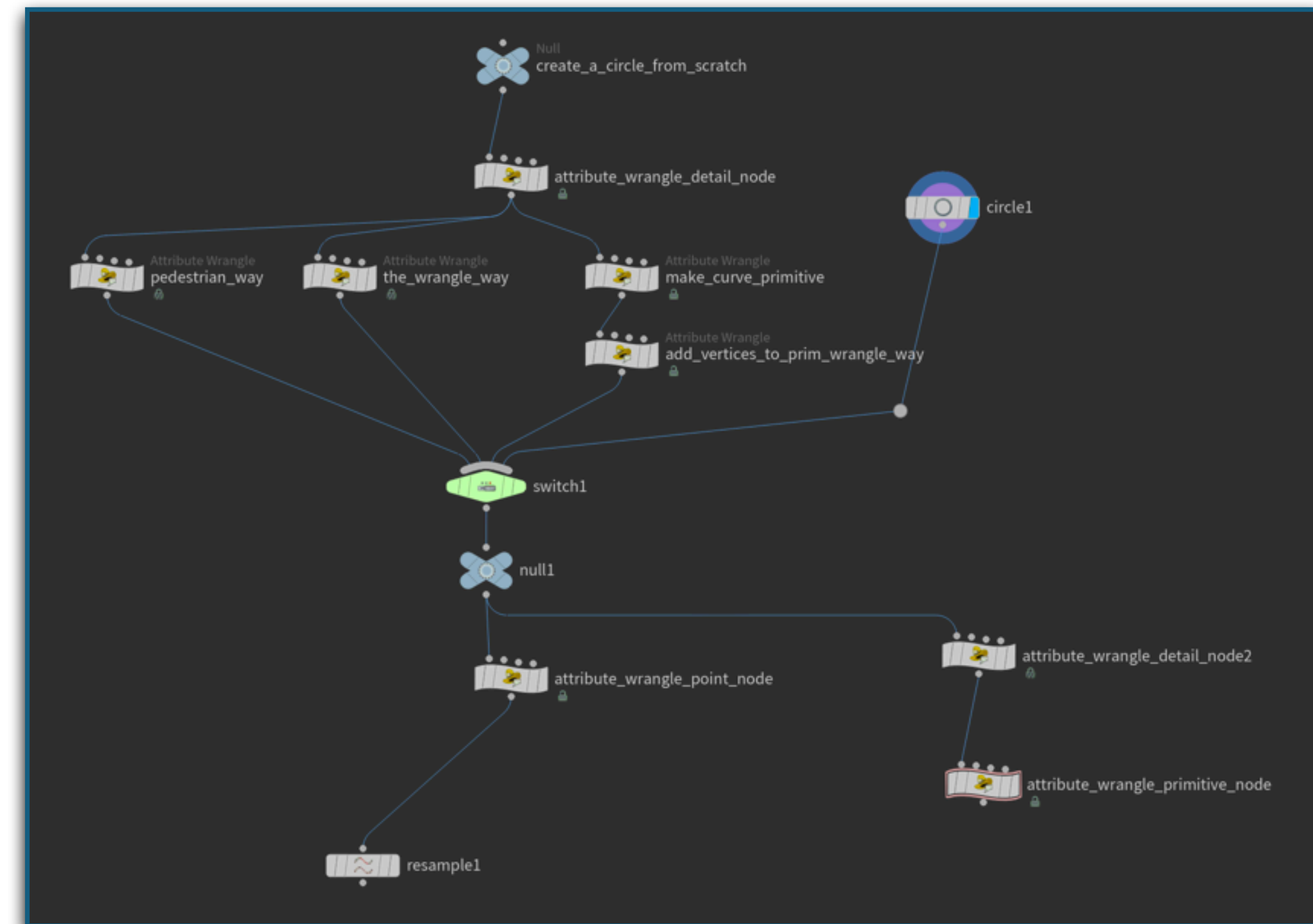
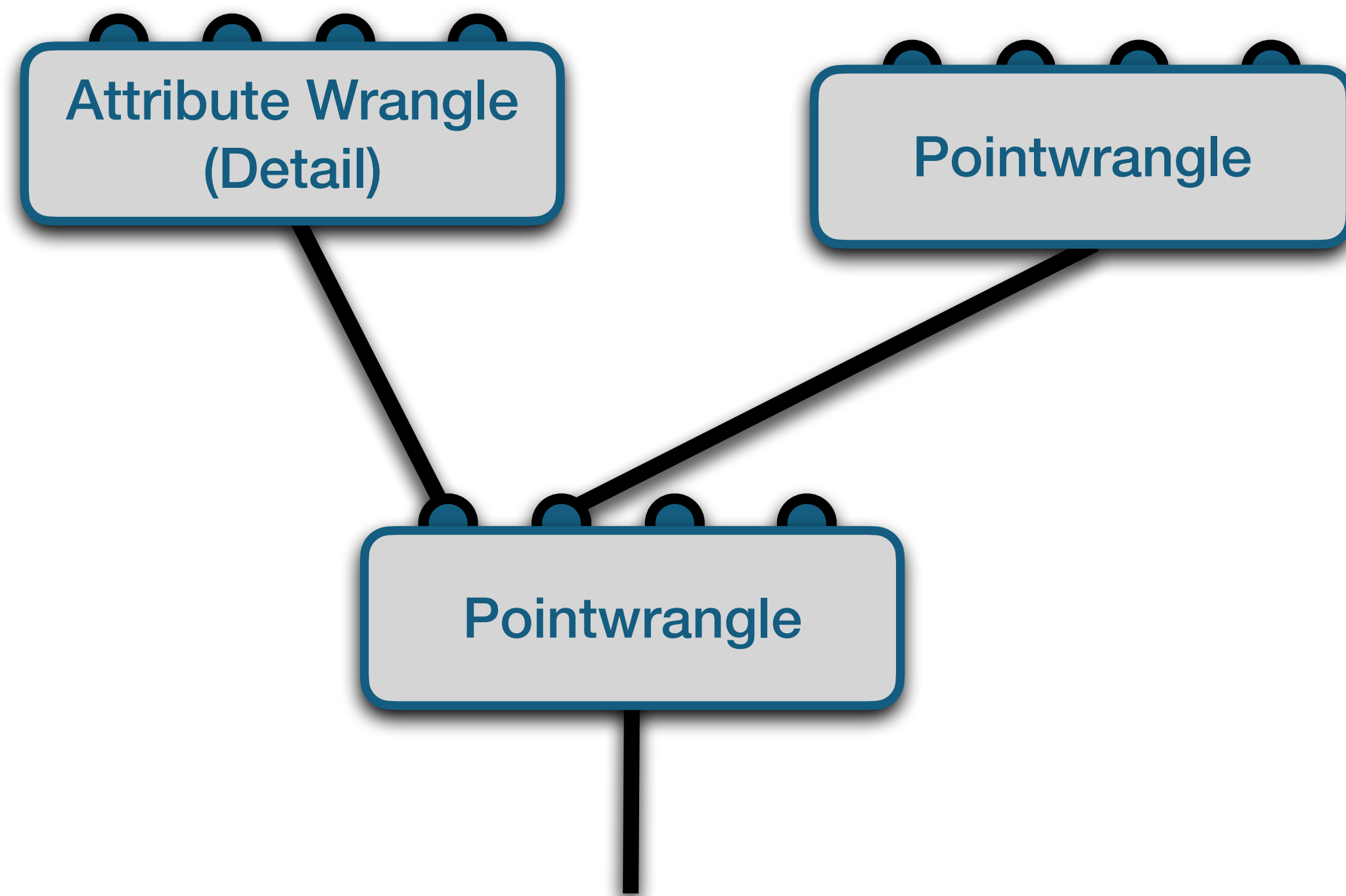
→ für die parallele Verarbeitung von Operationen auf allen Punkten, Primitiven und Vertices optimiert



WRANGLE KNOTEN

Houdini hat eine eigene Programmiersprache namens VEX, die ähnlich wie Java und C++ ist.

→ für die parallele Verarbeitung von Operationen auf allen Punkten, Primitiven und Vertices optimiert

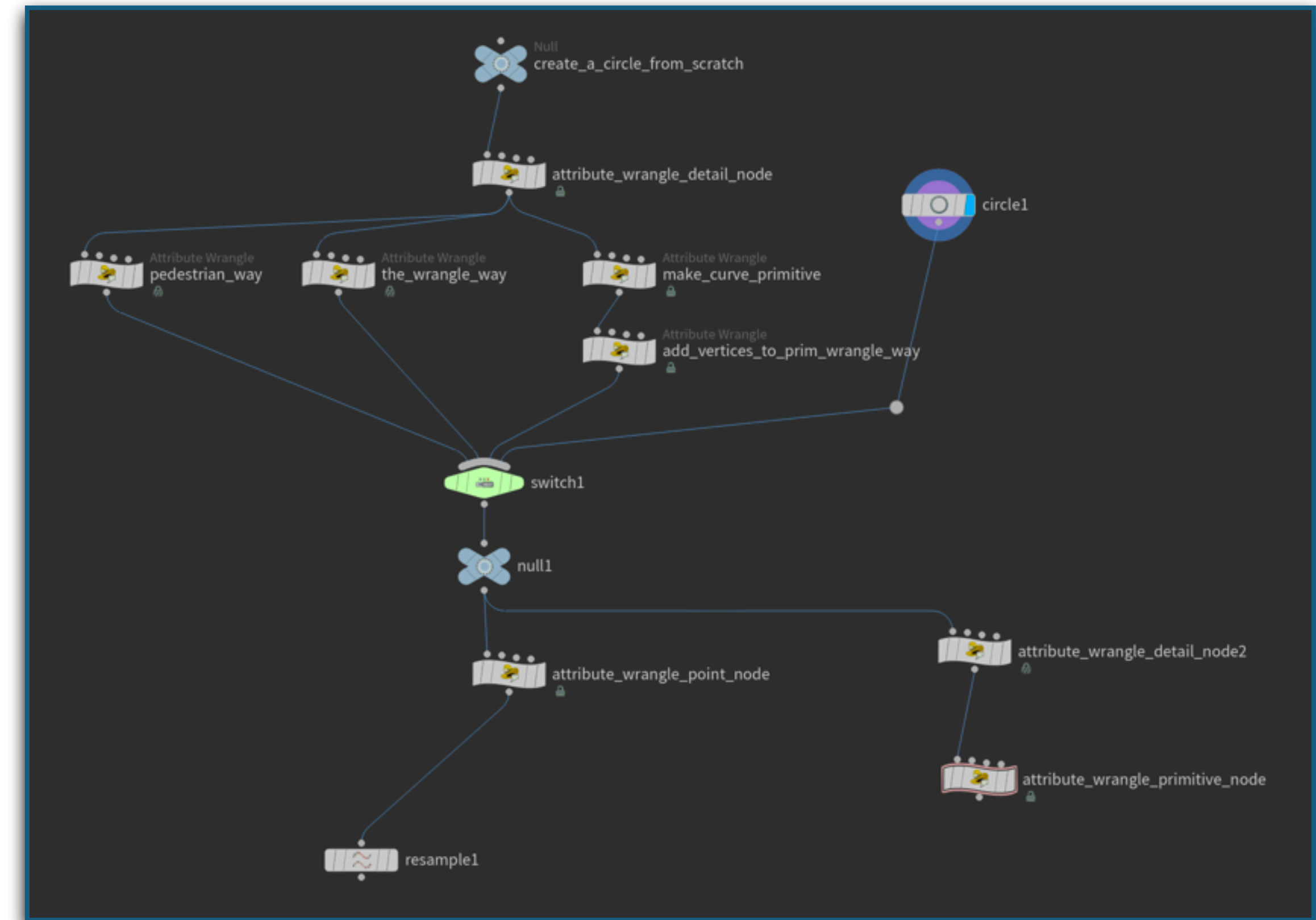
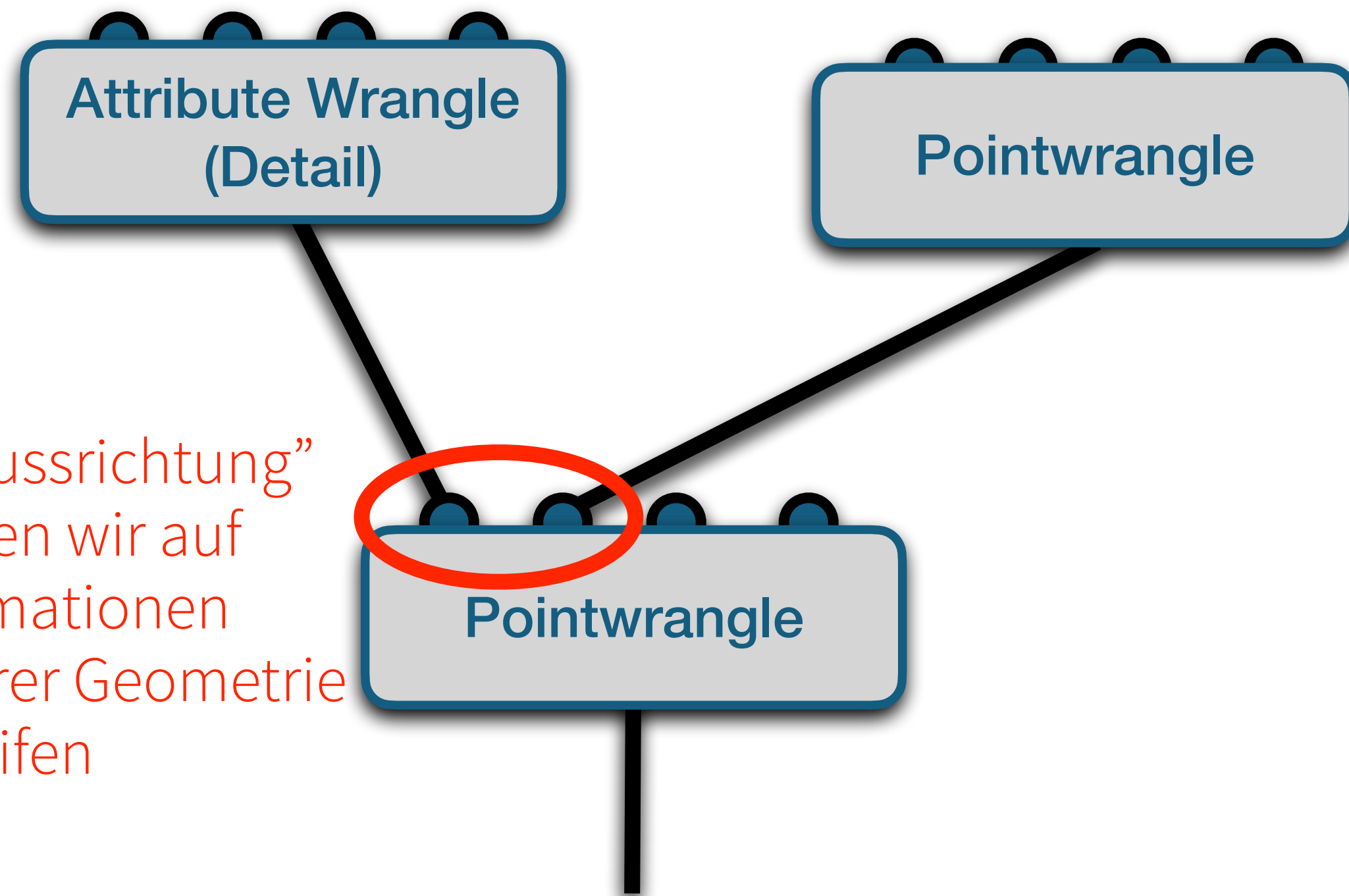


WRANGLE KNOTEN

Houdini hat eine eigene Programmiersprache namens VEX, die ähnlich wie Java und C++ ist.

→ für die parallele Verarbeitung von Operationen auf allen Punkten, Primitiven und Vertices optimiert

In “Flussrichtung”
können wir auf
Informationen
anderer Geometrie
zugreifen

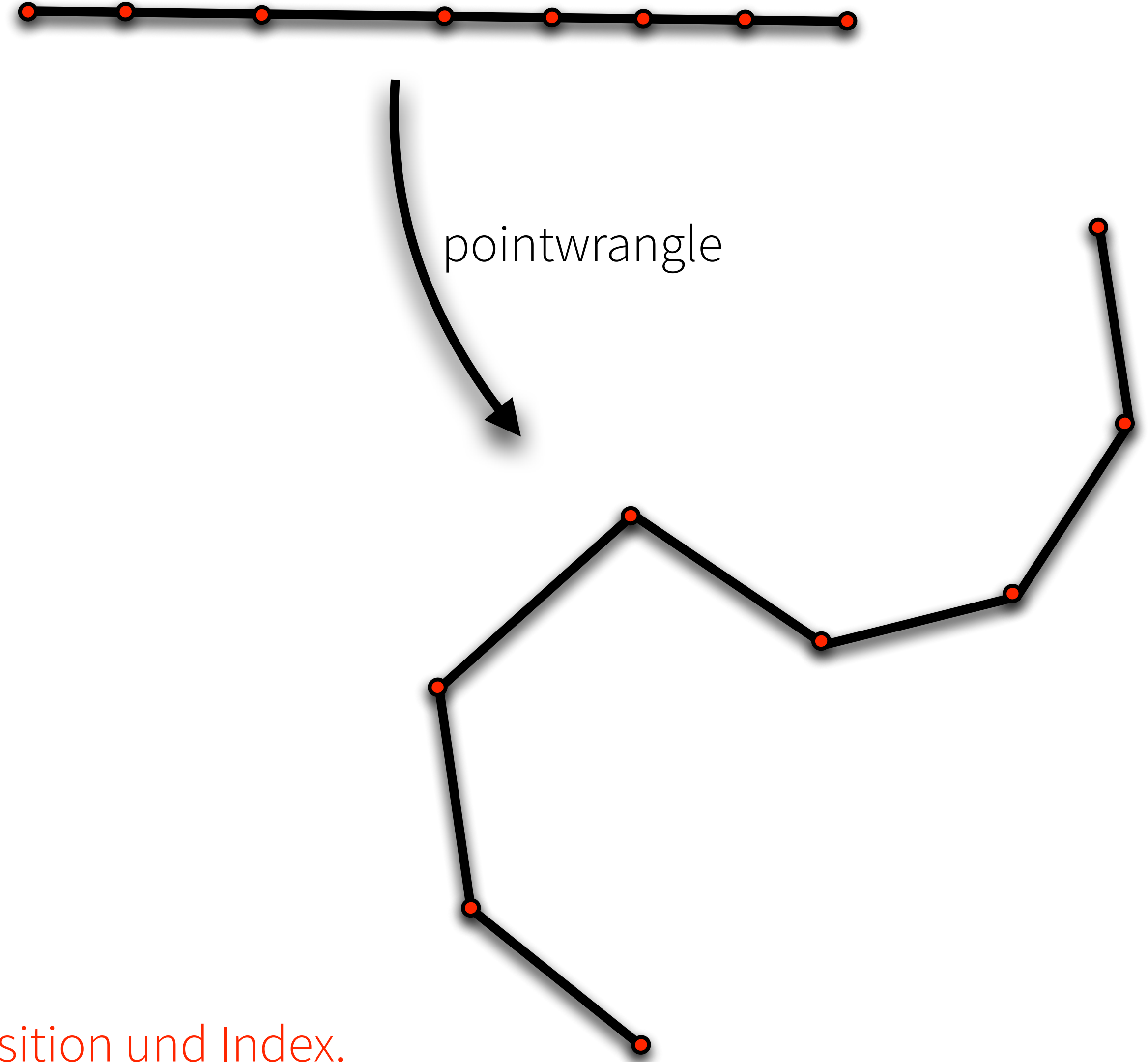


WRANGLE KNOTEN

Relevante Informationen werden als Attribute gespeichert, z.B.

- Position **P**
- Normalenvektor **N**
- Farbe **Cd**
- Transparenz **Alpha**
- UV-Texturkoordinate **uv**
- sowie Index, Arrays, Matrizen usw.

Jeder Punkt kennt seine Position und Index.



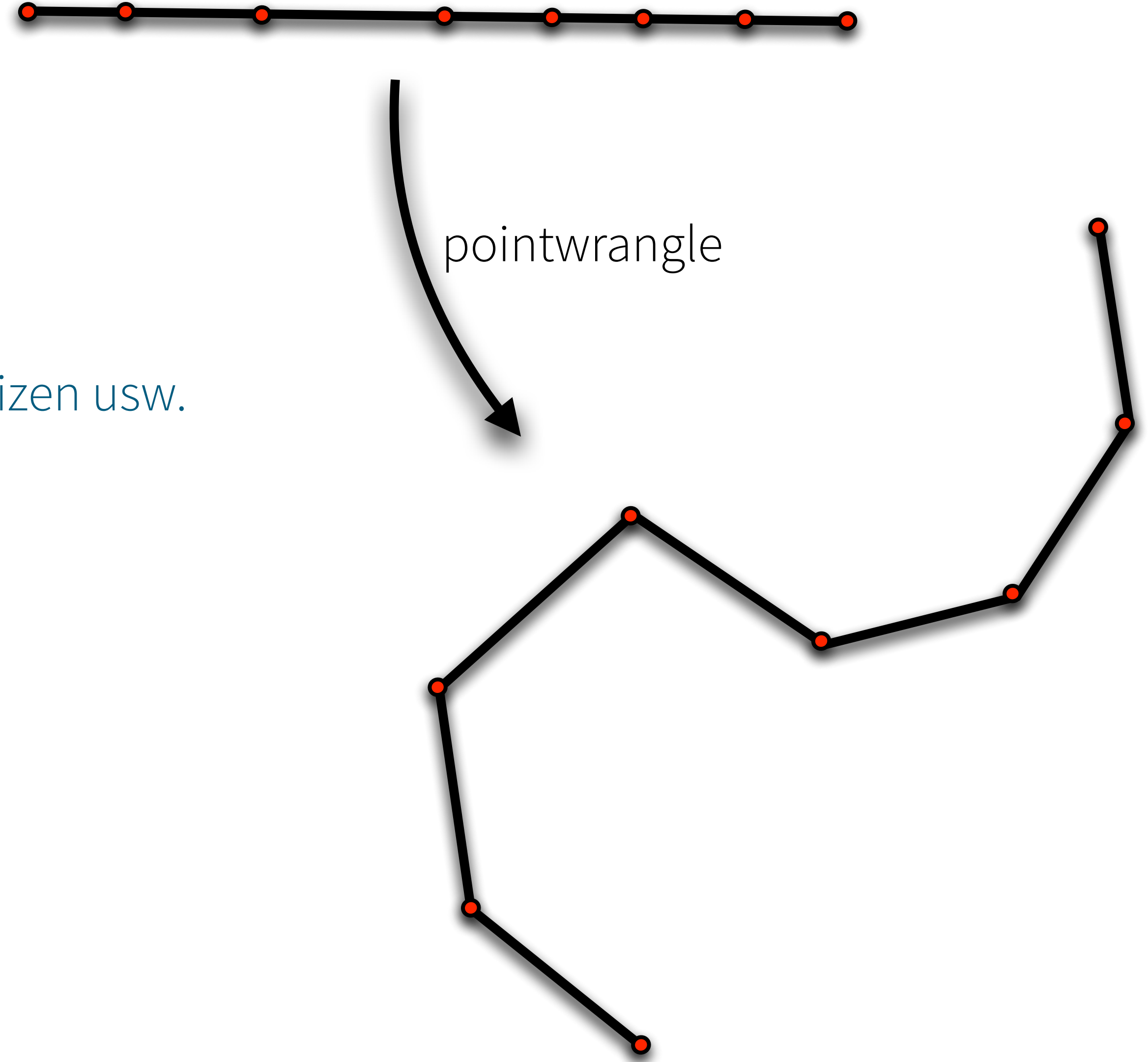
WRANGLE KNOTEN

Relevante Informationen werden als Attribute gespeichert, z.B.

- Position **P**
- Normalenvektor **N**
- Farbe **Cd**
- Transparenz **Alpha**
- UV-Texturkoordinate **uv**
- sowie Index, Arrays, Matrizen usw.

Attribute werden adressiert über

type@name



WRANGLE KNOTEN

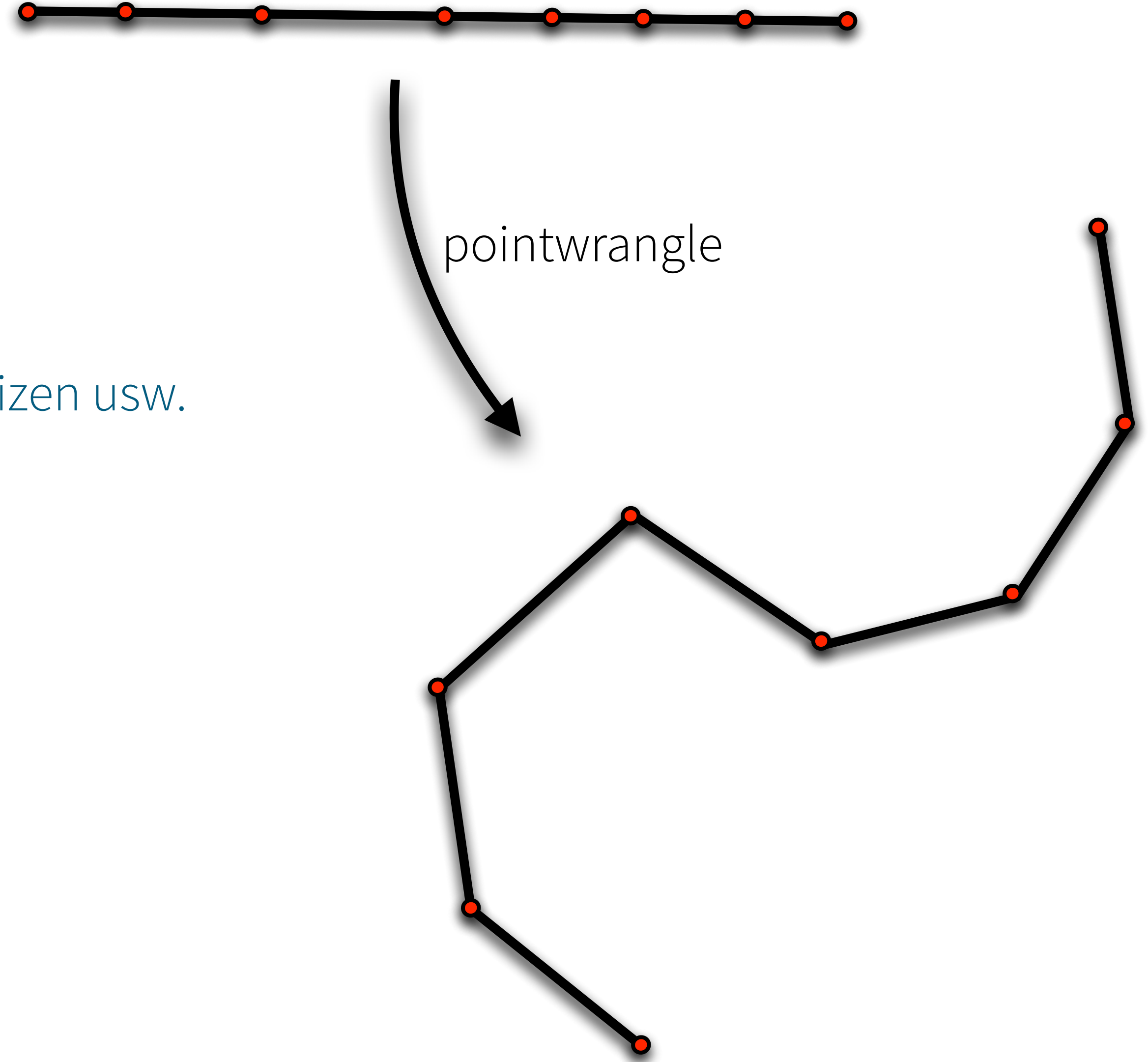
Relevante Informationen werden als Attribute gespeichert, z.B.

- Position **P**
- Normalenvektor **N**
- Farbe **Cd**
- Transparenz **Alpha**
- UV-Texturkoordinate **uv**
- sowie Index, Arrays, Matrizen usw.

Attribute werden adressiert über

type@name

- i@... integer
- f@... float
- u@... 2D vector
- v@... 3D vector
- p@... 4D vector
- 2@... 2D matrix
- 3@... 3D matrix
- 4@... 4D matrix
- s@... string



WRANGLE KNOTEN

Relevante Informationen werden als Attribute gespeichert, z.B.

- Position **P**
- Normalenvektor **N**
- Farbe **Cd**
- Transparenz **Alpha**
- UV-Texturkoordinate **uv**
- sowie Index, Arrays, Matrizen usw.

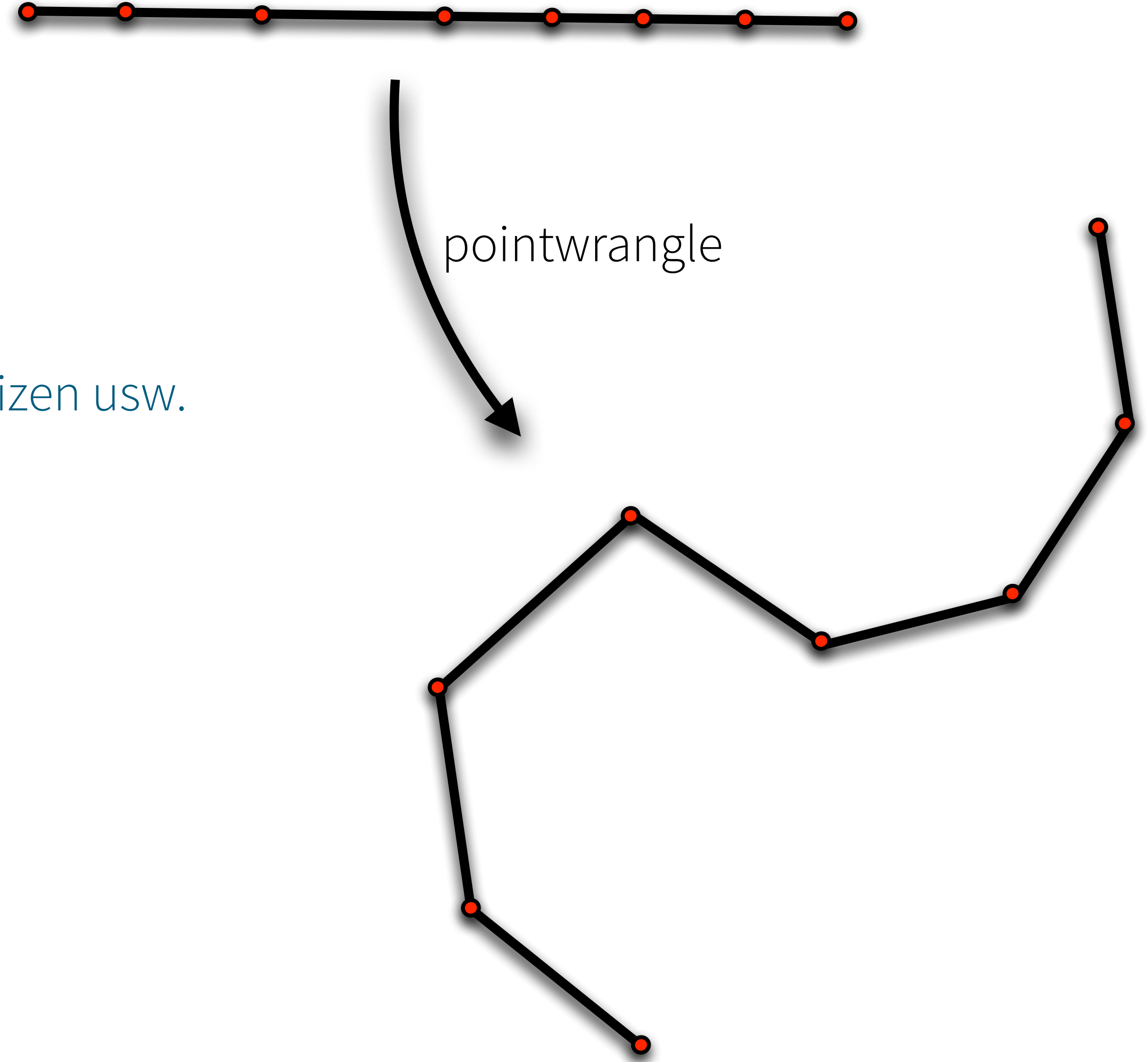
Attribute werden adressiert über

type@name

- i@... integer
- f@... float
- u@... 2D vector
- v@... 3D vector
- p@... 4D vector

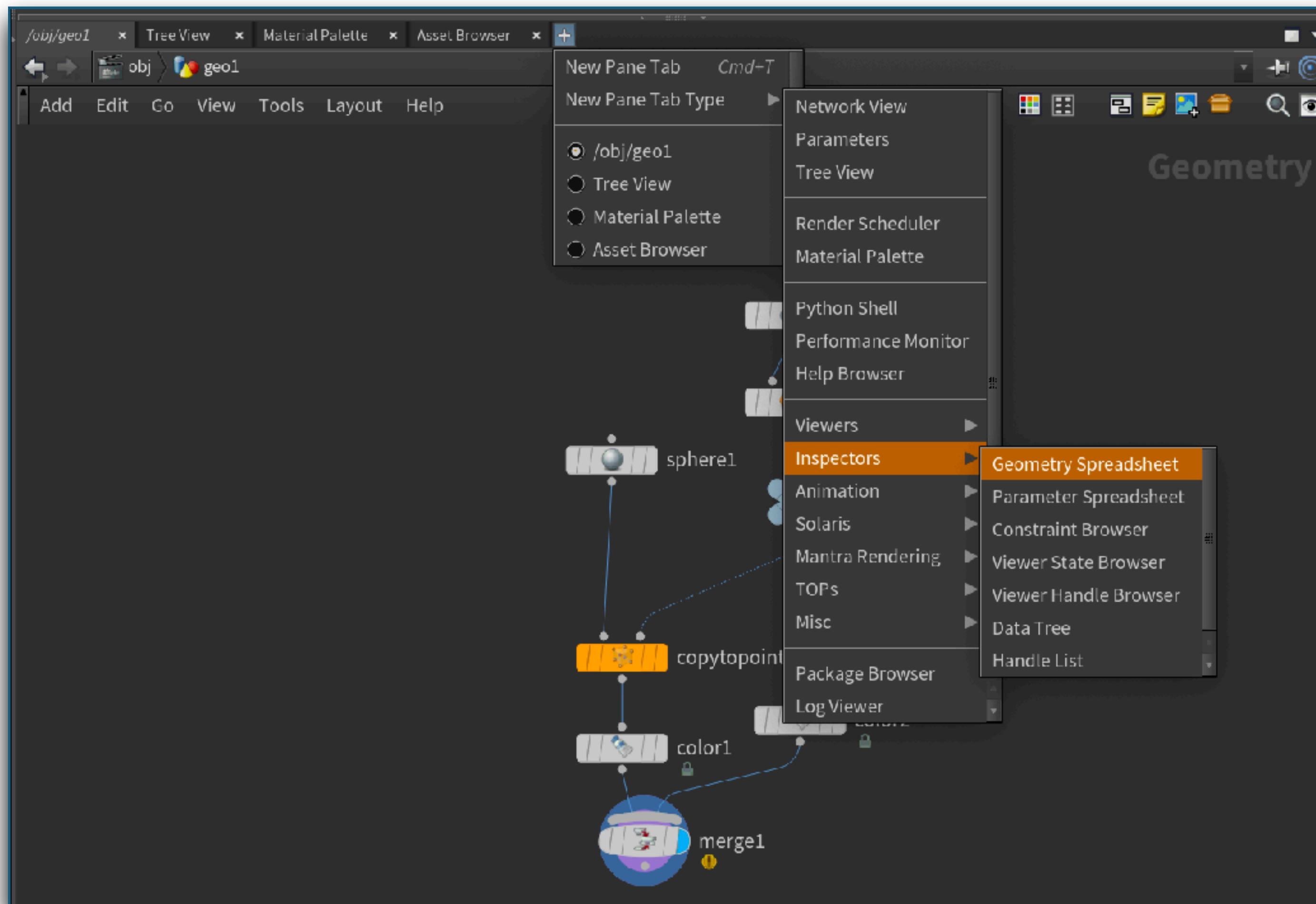
- 2@... 2D matrix
- 3@... 3D matrix
- 4@... 4D matrix
- s@... string

→ array Version über
type[]@name

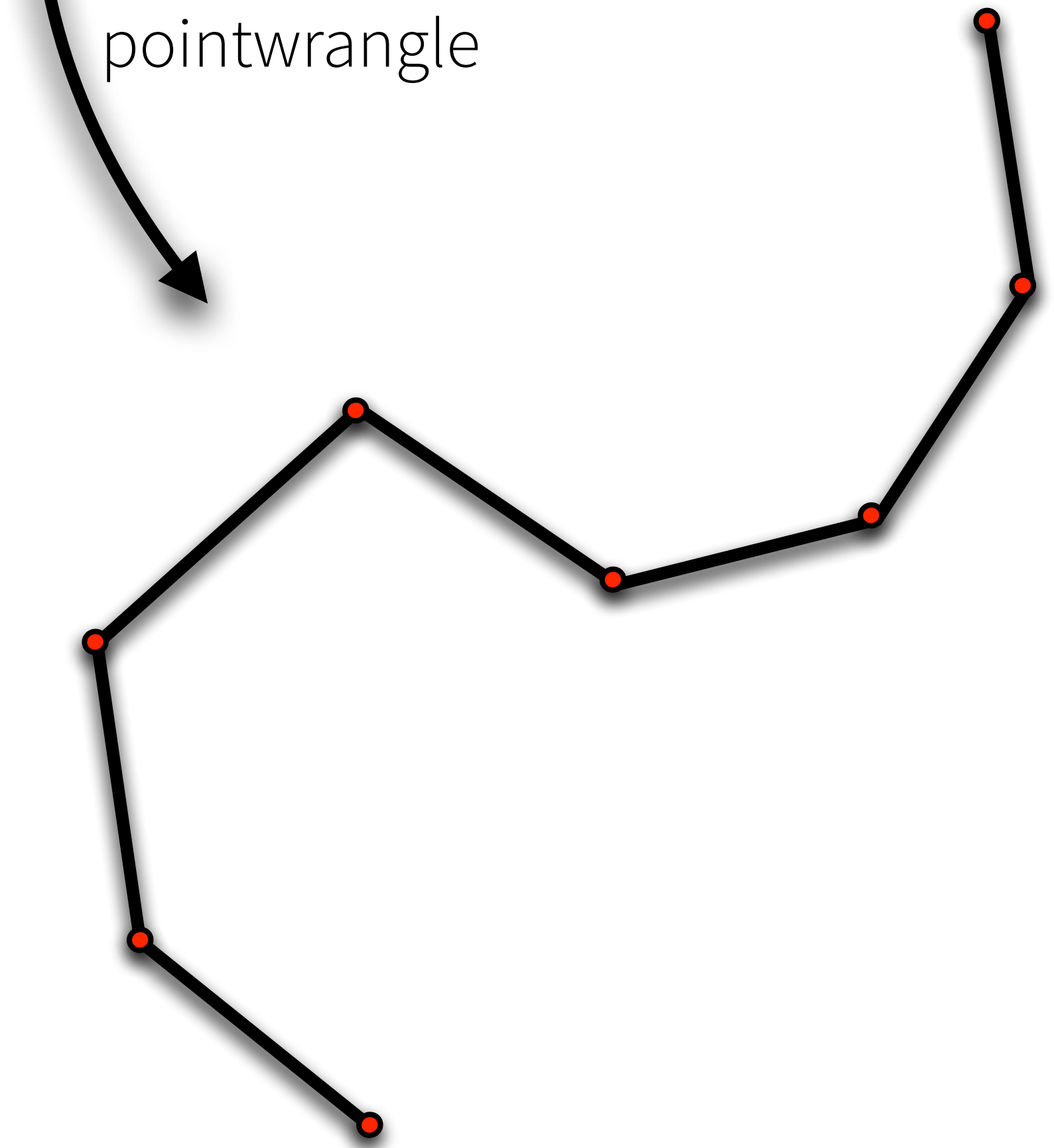


WRANGLE KNOTEN

Welche Attribute existieren und welche Werte sie haben könnt ihr im “Geometry Spreadsheet” ansehen

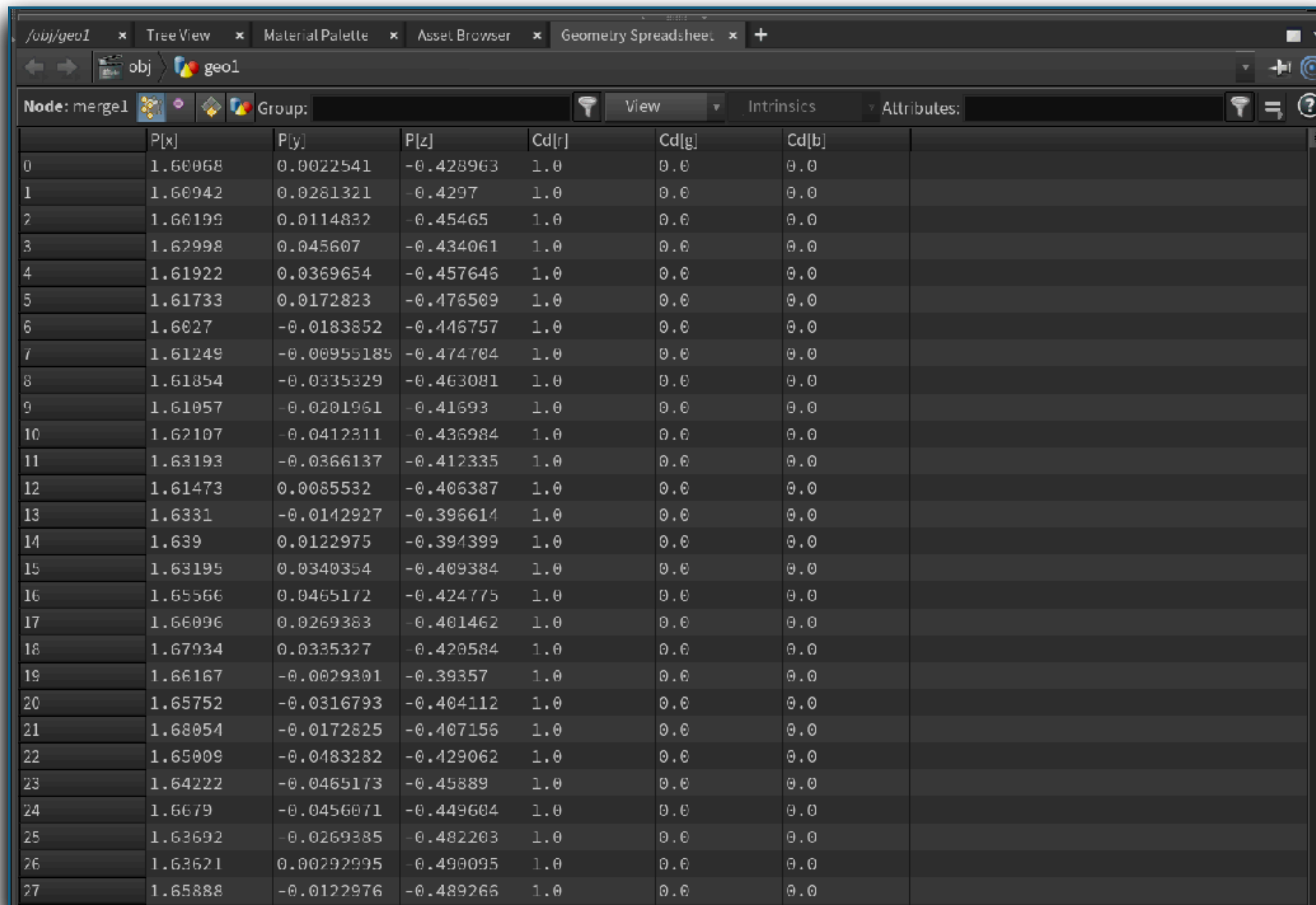


pointwrangle

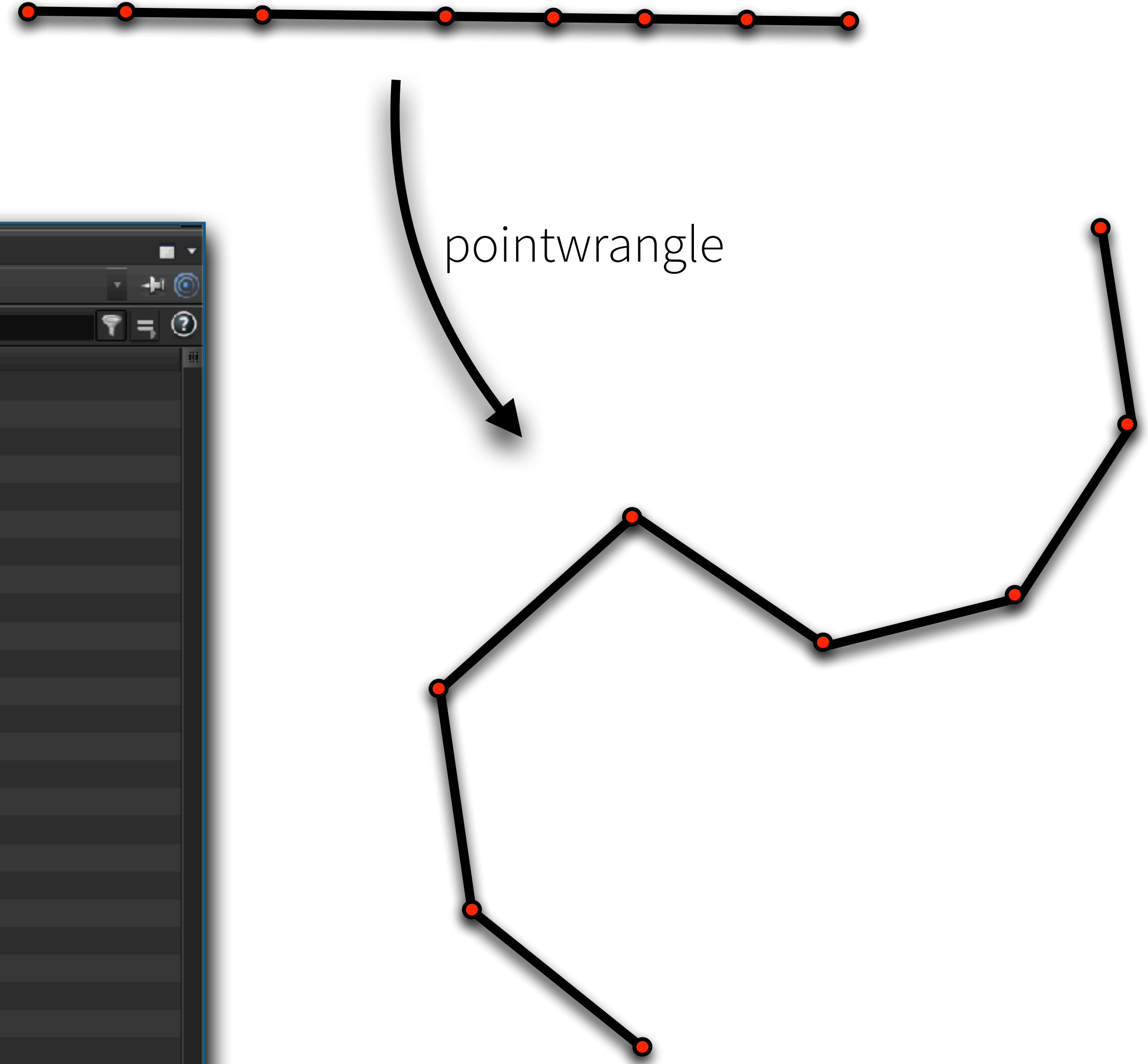


WRANGLE KNOTEN

Welche Attribute existieren und welche Werte sie haben könnt ihr im “Geometry Spreadsheet” ansehen

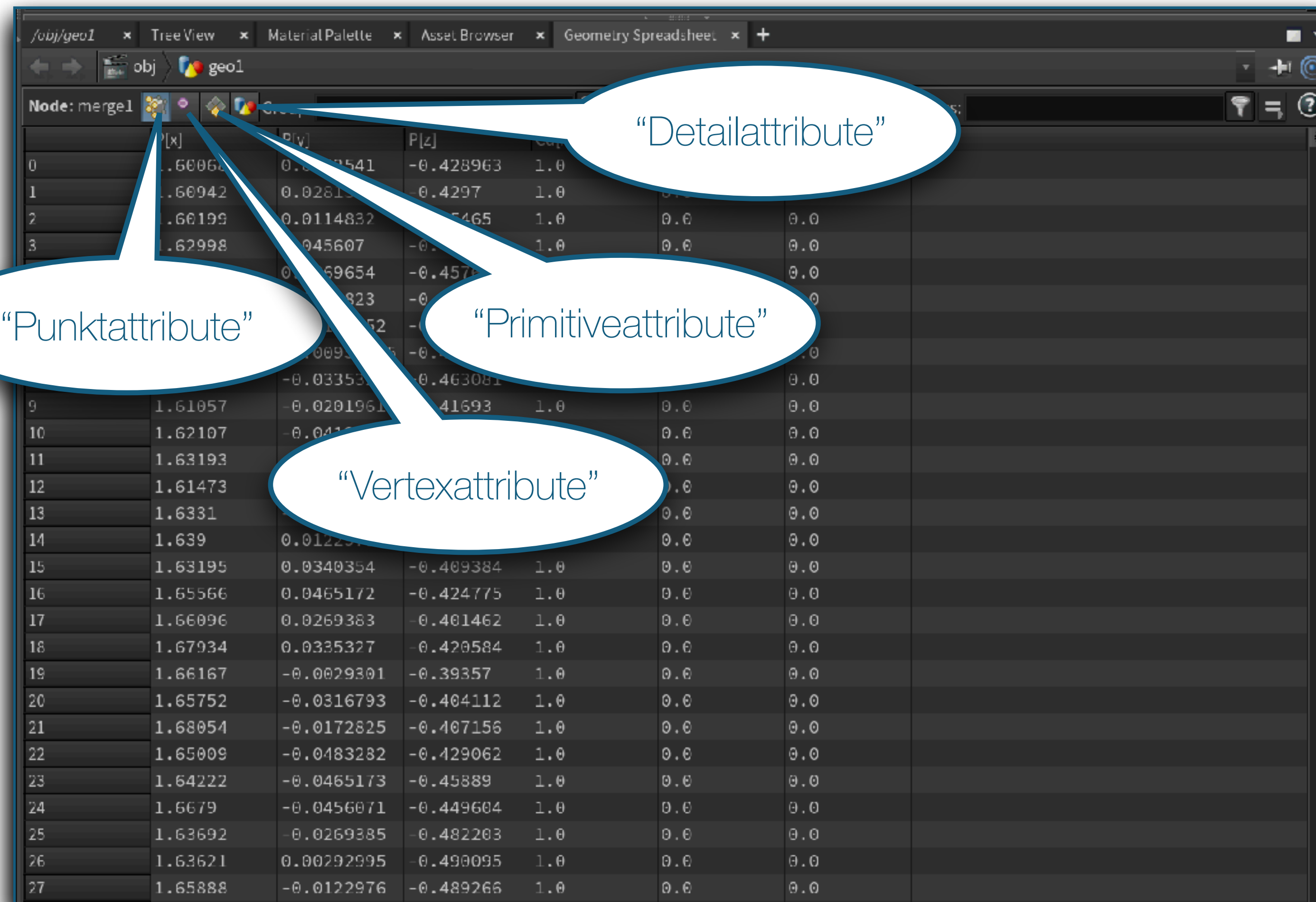


	P[x]	P[y]	P[z]	Cd[r]	Cd[g]	Cd[b]
0	1.60068	0.0022541	-0.428963	1.0	0.0	0.0
1	1.60942	0.0281321	-0.4297	1.0	0.0	0.0
2	1.60199	0.0114832	-0.45465	1.0	0.0	0.0
3	1.62998	0.045607	-0.434061	1.0	0.0	0.0
4	1.61922	0.0369654	-0.457646	1.0	0.0	0.0
5	1.61733	0.0172823	-0.476509	1.0	0.0	0.0
6	1.6027	-0.0183852	-0.446757	1.0	0.0	0.0
7	1.61249	-0.00955185	-0.474704	1.0	0.0	0.0
8	1.61854	-0.0335329	-0.463081	1.0	0.0	0.0
9	1.61057	-0.0201961	-0.41693	1.0	0.0	0.0
10	1.62107	-0.0412311	-0.436984	1.0	0.0	0.0
11	1.63193	-0.0366137	-0.412335	1.0	0.0	0.0
12	1.61473	0.0085532	-0.406387	1.0	0.0	0.0
13	1.6331	-0.0142927	-0.396614	1.0	0.0	0.0
14	1.639	0.0122975	-0.394399	1.0	0.0	0.0
15	1.63195	0.0340354	-0.409384	1.0	0.0	0.0
16	1.65566	0.0465172	-0.424775	1.0	0.0	0.0
17	1.66096	0.0269383	-0.401462	1.0	0.0	0.0
18	1.67934	0.0335327	-0.420584	1.0	0.0	0.0
19	1.66167	-0.0029301	-0.39357	1.0	0.0	0.0
20	1.65752	-0.0316793	-0.404112	1.0	0.0	0.0
21	1.68054	-0.0172825	-0.407156	1.0	0.0	0.0
22	1.65009	-0.0483282	-0.429062	1.0	0.0	0.0
23	1.64222	-0.0465173	-0.45889	1.0	0.0	0.0
24	1.6679	-0.0456071	-0.449604	1.0	0.0	0.0
25	1.63692	-0.0269385	-0.482203	1.0	0.0	0.0
26	1.63621	0.00292995	-0.490095	1.0	0.0	0.0
27	1.65888	-0.0122976	-0.489266	1.0	0.0	0.0



WRANGLE KNOTEN

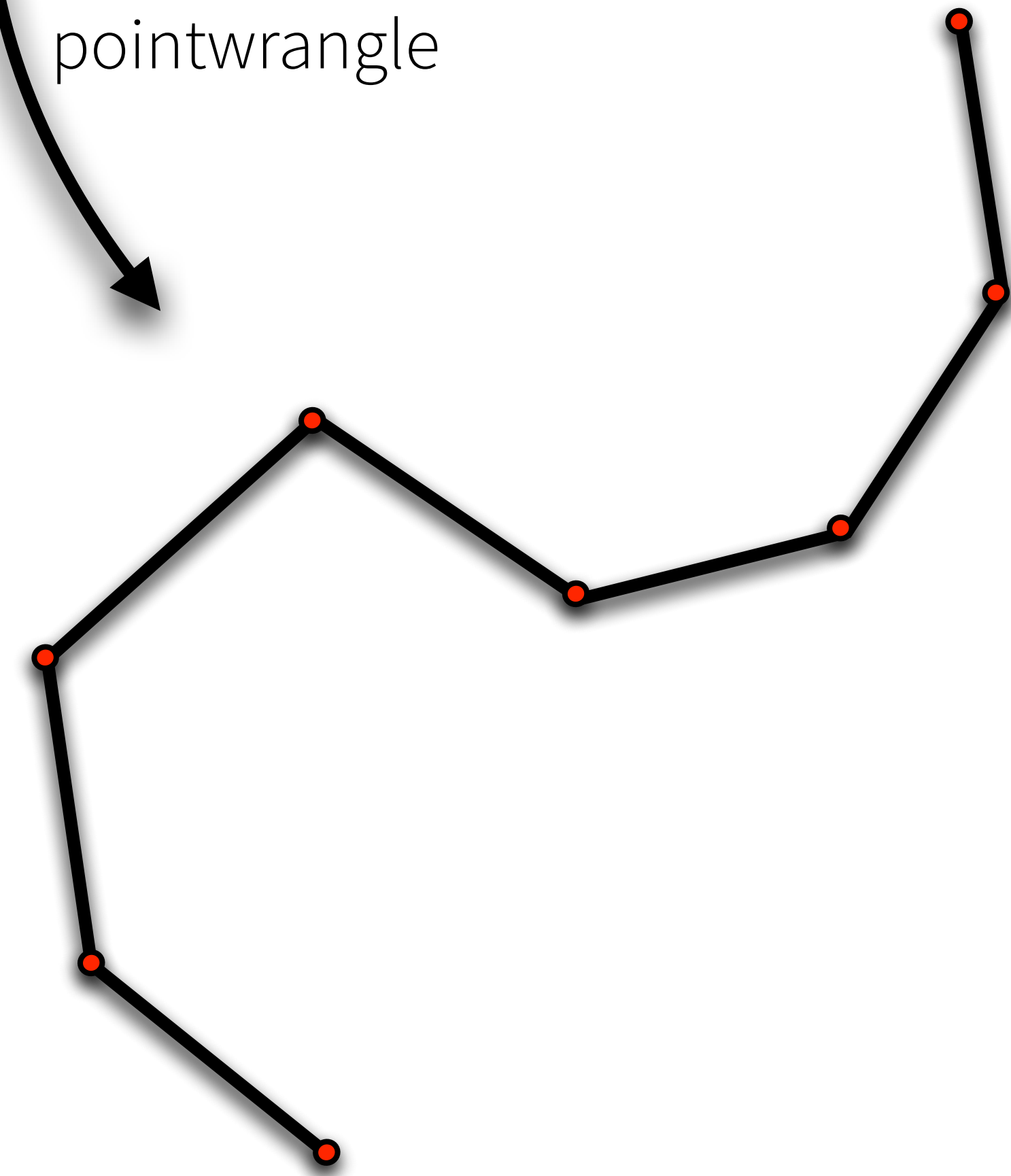
Welche Attribute existieren und welche Werte sie haben könnt ihr im “Geometry Spreadsheet” ansehen



	P[x]	P[y]	P[z]	Color	Detail	Primitive
0	1.60060	0.02815	-0.428963	1.0	0.0	0.0
1	1.60942	0.02815	0.4297	1.0	0.0	0.0
2	1.60199	0.0114832	-0.465	1.0	0.0	0.0
3	1.62998	0.045607	-0.457	1.0	0.0	0.0
4	1.60965	0.02815	-0.428963	1.0	0.0	0.0
5	1.62107	0.02815	0.4297	1.0	0.0	0.0
6	1.63193	0.0114832	-0.465	1.0	0.0	0.0
7	1.61473	0.045607	-0.457	1.0	0.0	0.0
8	1.6331	0.02815	-0.428963	1.0	0.0	0.0
9	1.639	0.02815	0.4297	1.0	0.0	0.0
10	1.63195	0.0201961	-0.41693	1.0	0.0	0.0
11	1.65566	0.0465172	-0.424775	1.0	0.0	0.0
12	1.66096	0.0269383	-0.401462	1.0	0.0	0.0
13	1.67934	0.0335327	-0.420584	1.0	0.0	0.0
14	1.66167	-0.0029301	-0.39357	1.0	0.0	0.0
15	1.65752	-0.0316793	-0.404112	1.0	0.0	0.0
16	1.68054	-0.0172825	-0.407156	1.0	0.0	0.0
17	1.65009	-0.0483282	-0.429062	1.0	0.0	0.0
18	1.64222	-0.0465173	-0.45889	1.0	0.0	0.0
19	1.6679	-0.0456071	-0.449604	1.0	0.0	0.0
20	1.63692	-0.0269385	-0.482203	1.0	0.0	0.0
21	1.63621	0.00292995	-0.490095	1.0	0.0	0.0
22	1.65888	-0.0122976	-0.489266	1.0	0.0	0.0



pointwrangle



WRANGLE KNOTEN

Übung:

- a) Erstelle die Geometrie eines “diskreten” Kreises mit 100 Punkten
 - (1) “Per Hand” mit jeder Kante als einzelne Kurve
 - (2) Mit einem pointwrangle und jeder Kante als einzelne Kurve
 - (3) “Per Hand” mit einer *polyline* welche alle Vertices enthält
 - (4) Als template Geometrie
- b) Bilde den Kreis über eine Abbildung auf eine andere Form ab
- c) Nutze einen *Resample* Knoten um die Kurve zu reparametrisieren

PAUSE

PLANARE ALGEBRAISCHE KURVEN

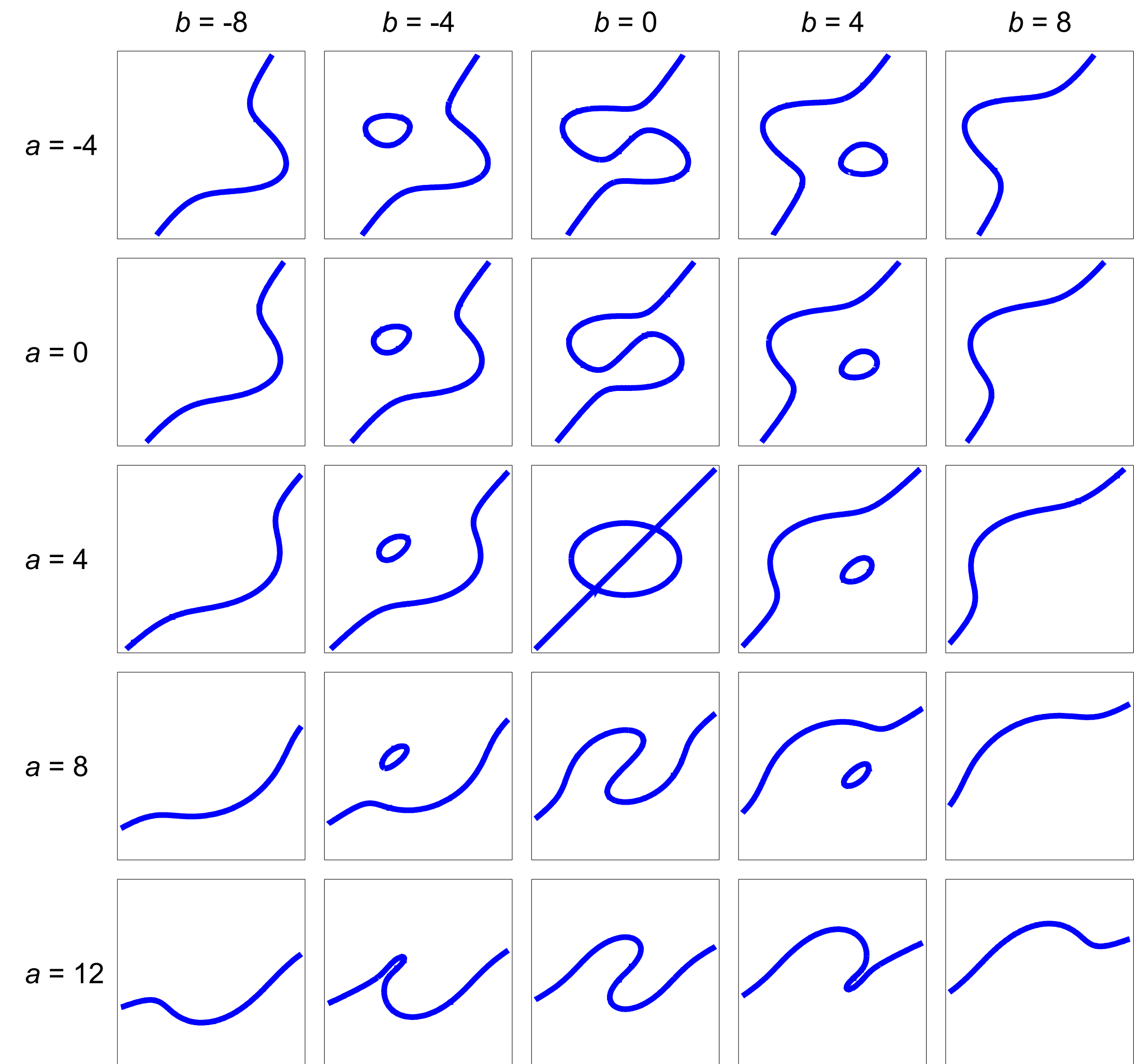
PLANARE ALGEBRAISCHE KURVEN

Planare kubische Kurven sind definiert als die Menge aller Nullstellen einer kubischen Gleichung

$$F(x, y, z) = 0.$$

In homogenen Koordinaten $(x : y : z)$, d.h., eines einer Linearkombination aus dem Monomen

$$x^3, y^3, z^3, x^2y, x^2z, y^2x, y^2z, z^2x, z^2y, xyz.$$



PLANARE ALGEBRAISCHE KURVEN

Planare kubische Kurven sind definiert als die Menge aller Nullstellen einer kubischen Gleichung

$$F(x, y, z) = 0.$$

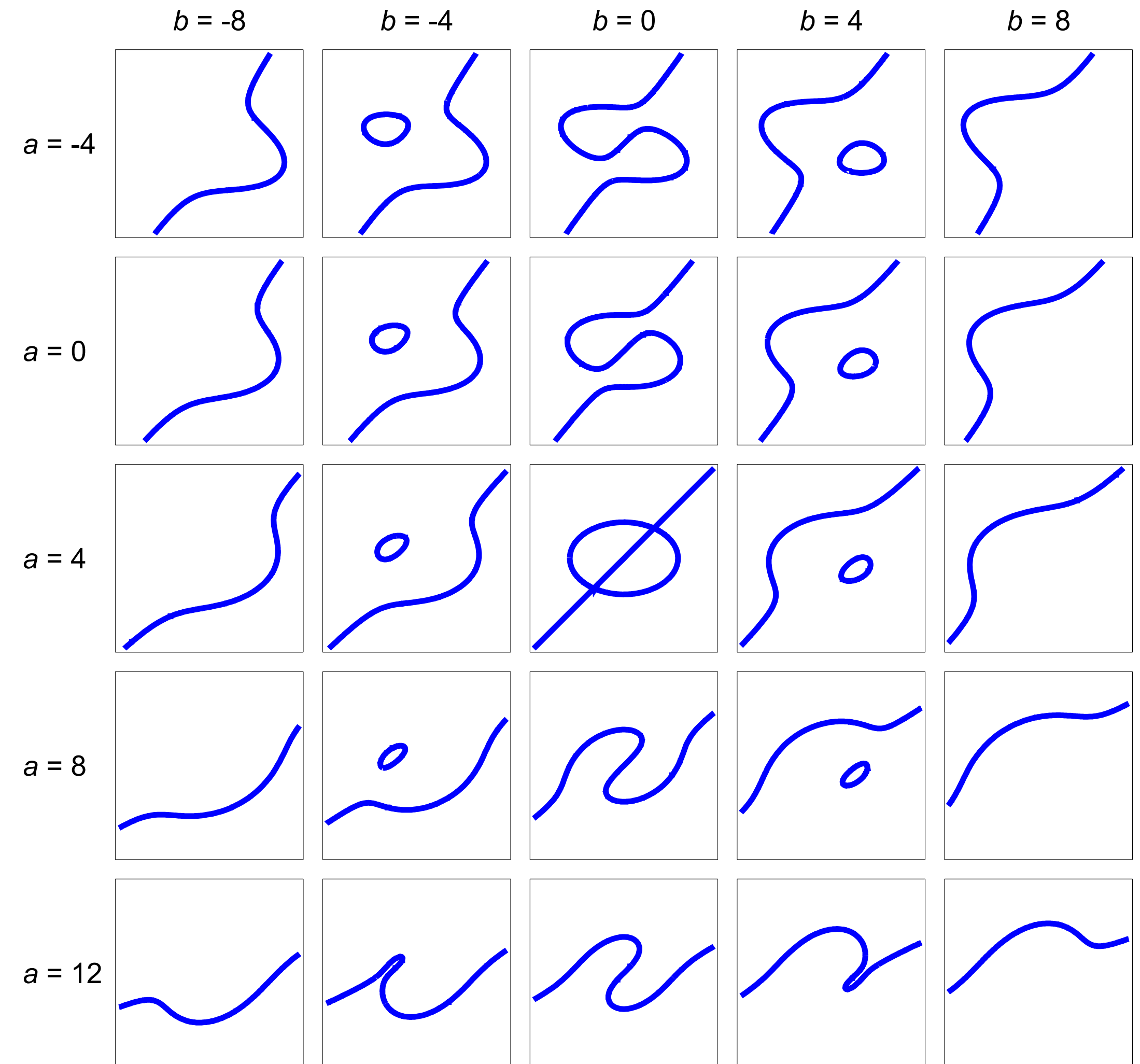
In homogenen Koordinaten $(x : y : z)$, d.h., eines einer Linearkombination aus dem Monomen

$$x^3, y^3, z^3, x^2y, x^2z, y^2x, y^2z, z^2x, z^2y, xyz.$$

Für $\lambda \neq 0$ gilt also

$$F(\lambda x, \lambda y, \lambda z) = \lambda^3 F(x, y, z).$$

→ Wir normalisieren $z = 1$



PLANARE ALGEBRAISCHE KURVEN

Planare kubische Kurven sind definiert als die Menge aller Nullstellen einer kubischen Gleichung

$$F(x, y, z) = 0.$$

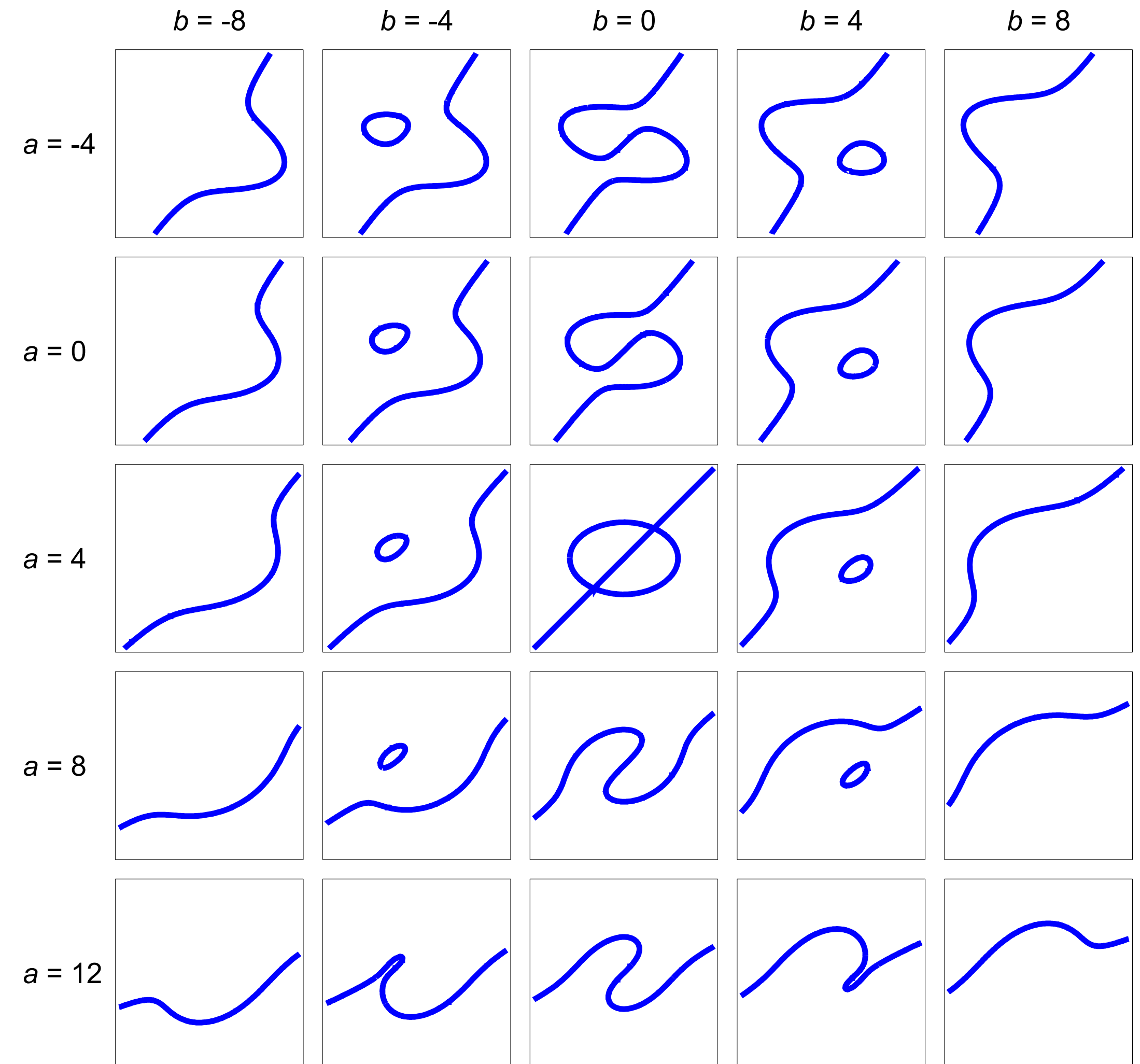
Für $\lambda \neq 0$ gilt also

$$F(\lambda x, \lambda y, \lambda z) = \lambda^3 F(x, y, z).$$

→ Wir normalisieren $z = 1$

Beispiel: Für $a, b \in \mathbb{R}$

$$F(x, y) = 4x^3 - ax^2y + 9xy^2 - 9y^3 - 36x + 36y + 10b$$



PLANARE ALGEBRAISCHE KURVEN

Aufgabe:

- a) Baue ein Houdini Netzwerk welches den Funktionsgraphen von

$$F(x, y) = 4x^3 - ax^2y + 9xy^2 - 9y^3 - 36x + 36y + 10b$$

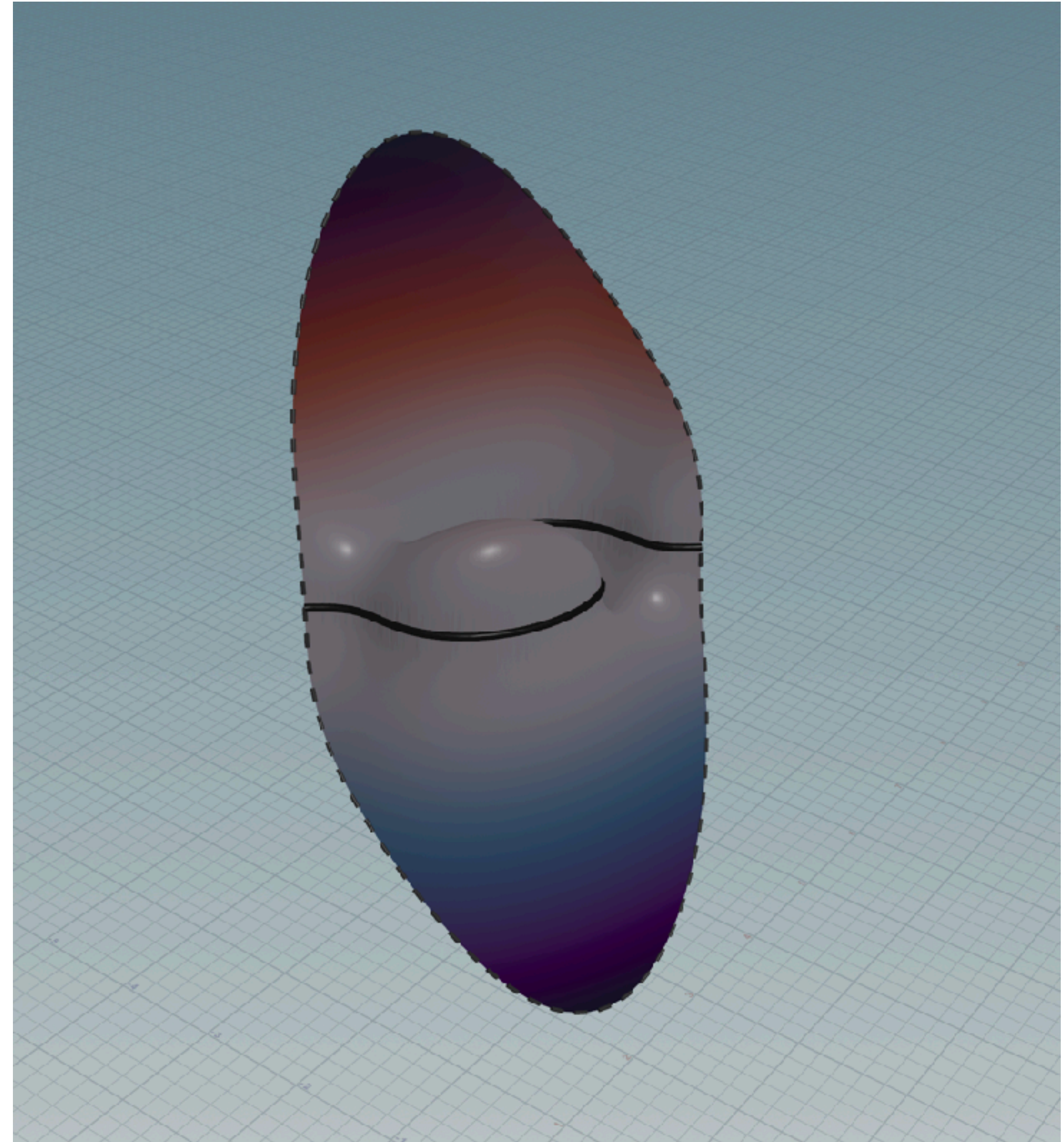
visualisiert.

- b) Visualisiere den die jeweiligen Funktionswerte des Graphen farbig.
- c) Visualisiere die planaren algebraischen Kurven welche durch F definiert werden für verschiedene Werte von $a, b \in \mathbb{R}$.

MATERIALIEN UND RENDERING

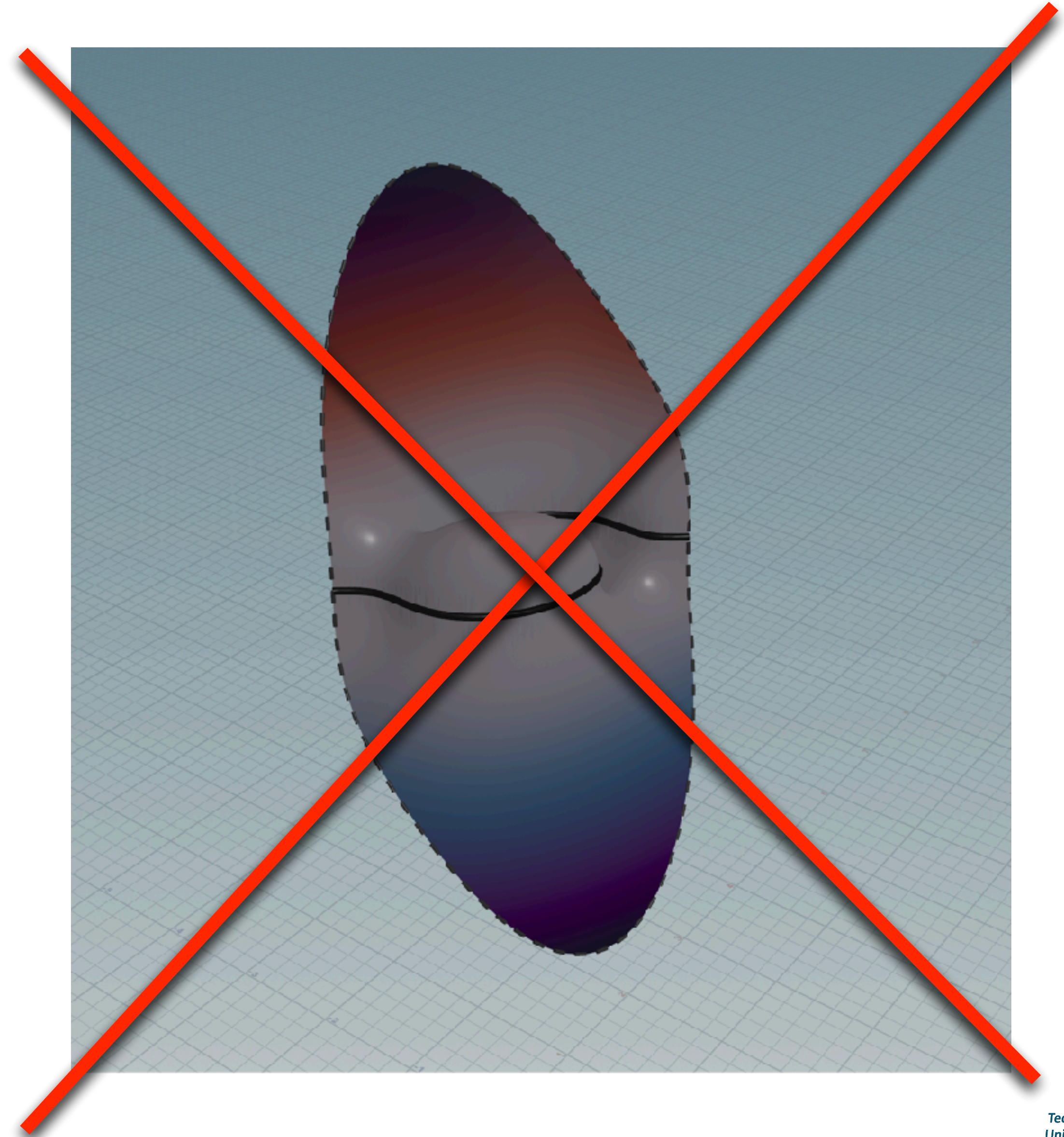
MATERIALIEN UND RENDERING

Unser Ziel ist es die von uns
erstellten Visualisierungen als
“schöne” Bilder zu rendern.

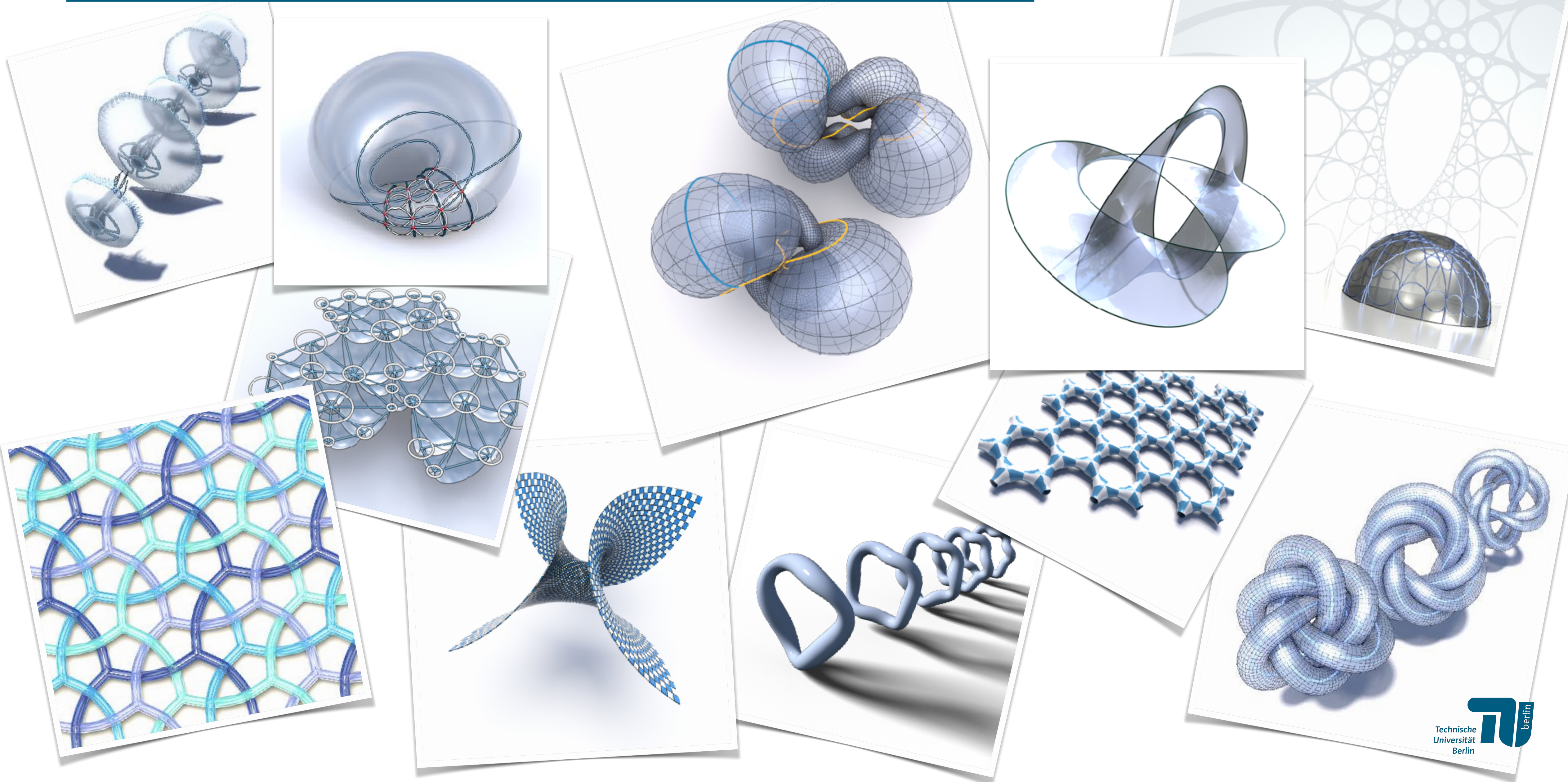


MATERIALIEN UND RENDERING

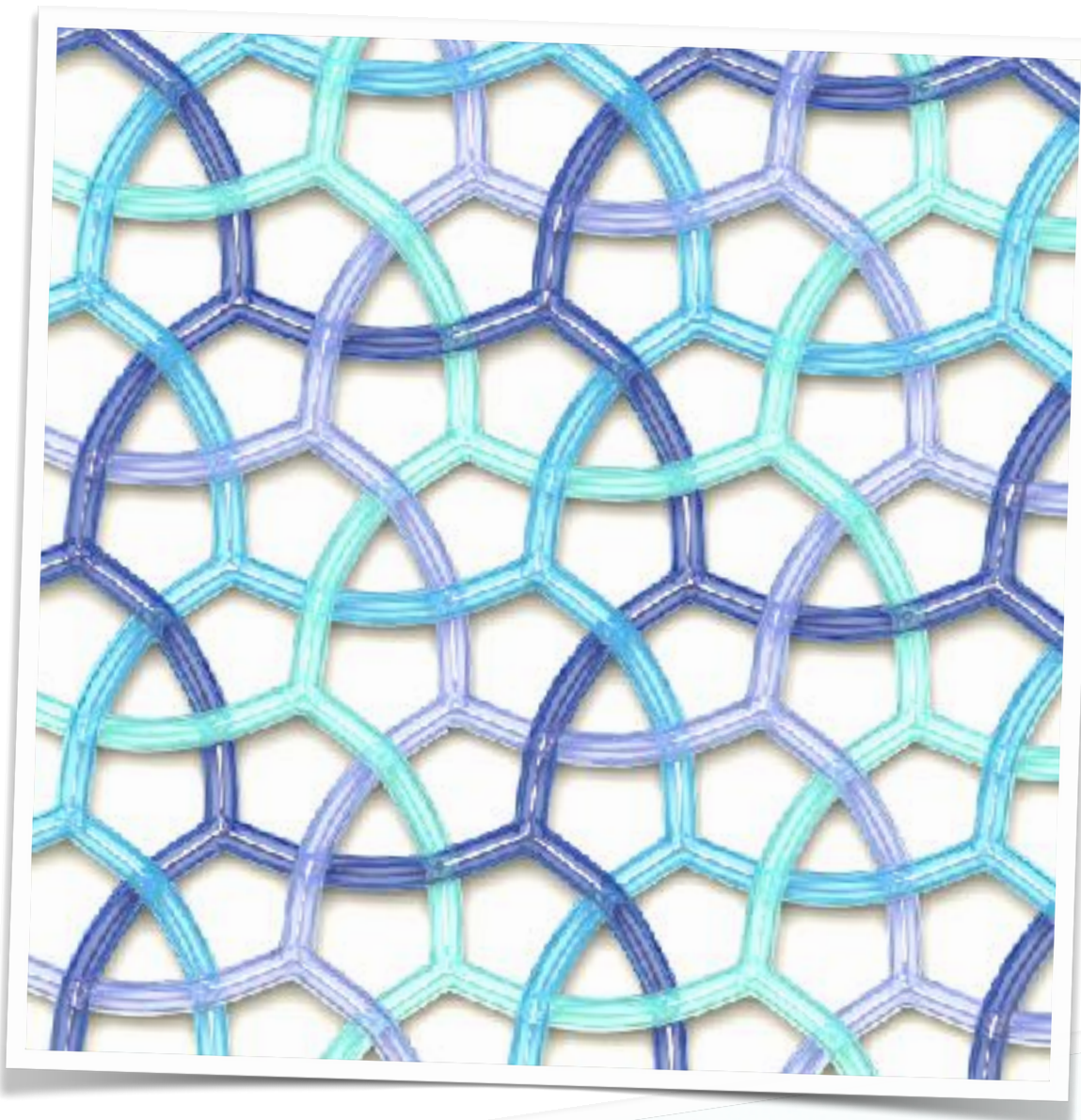
Unser Ziel ist es die von uns
erstellten Visualisierungen als
“schöne” Bilder zu rendern.



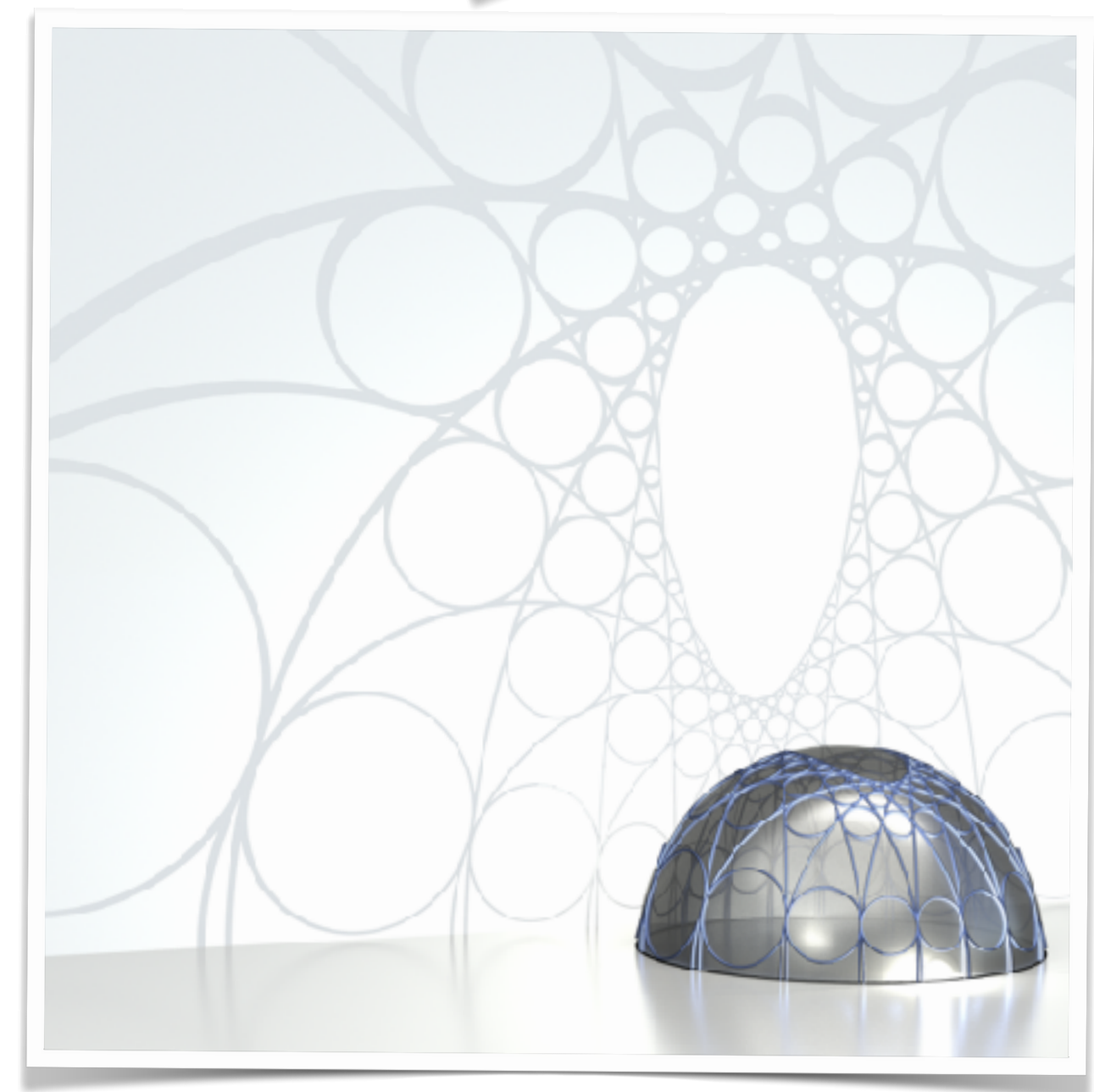
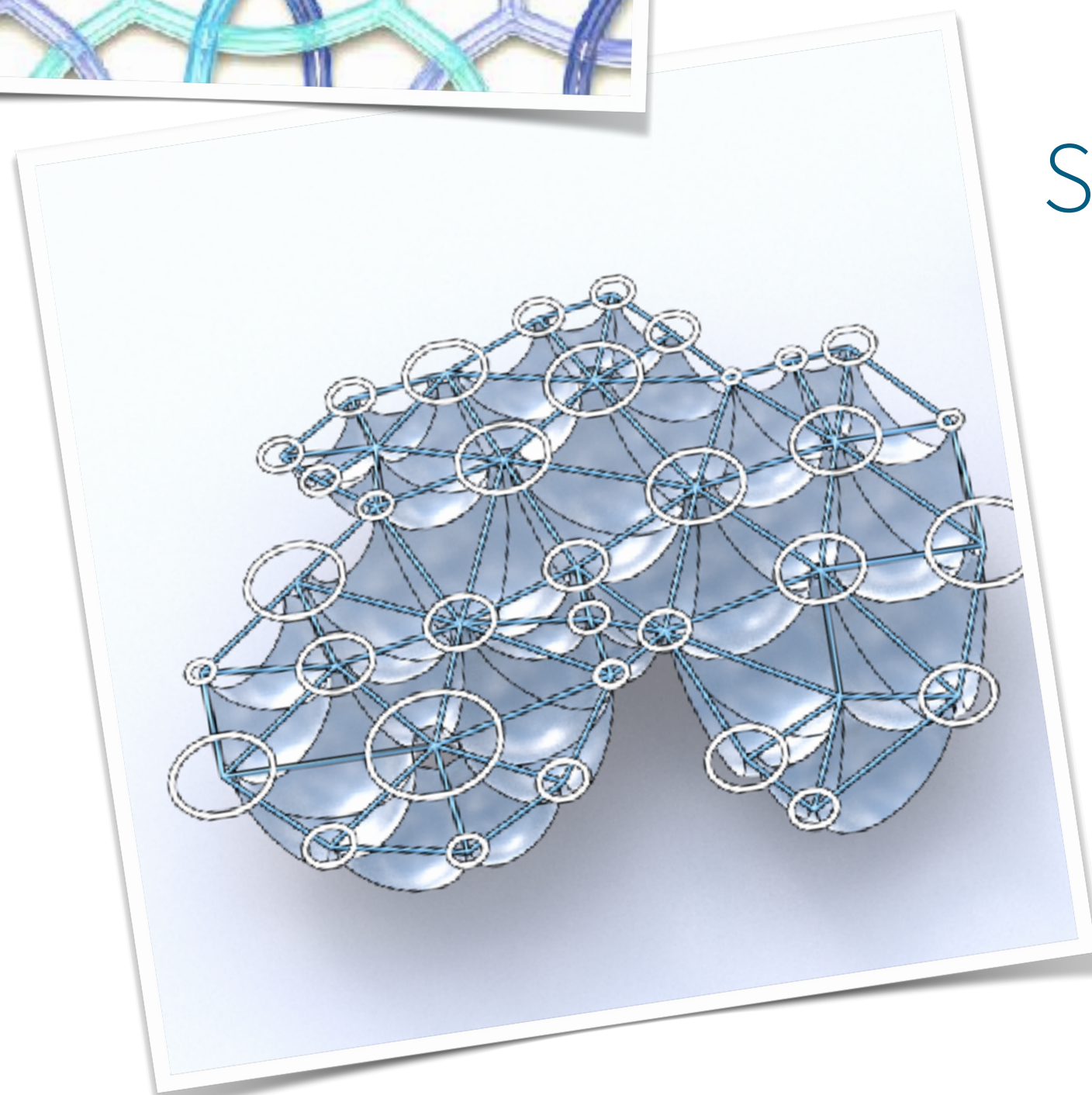
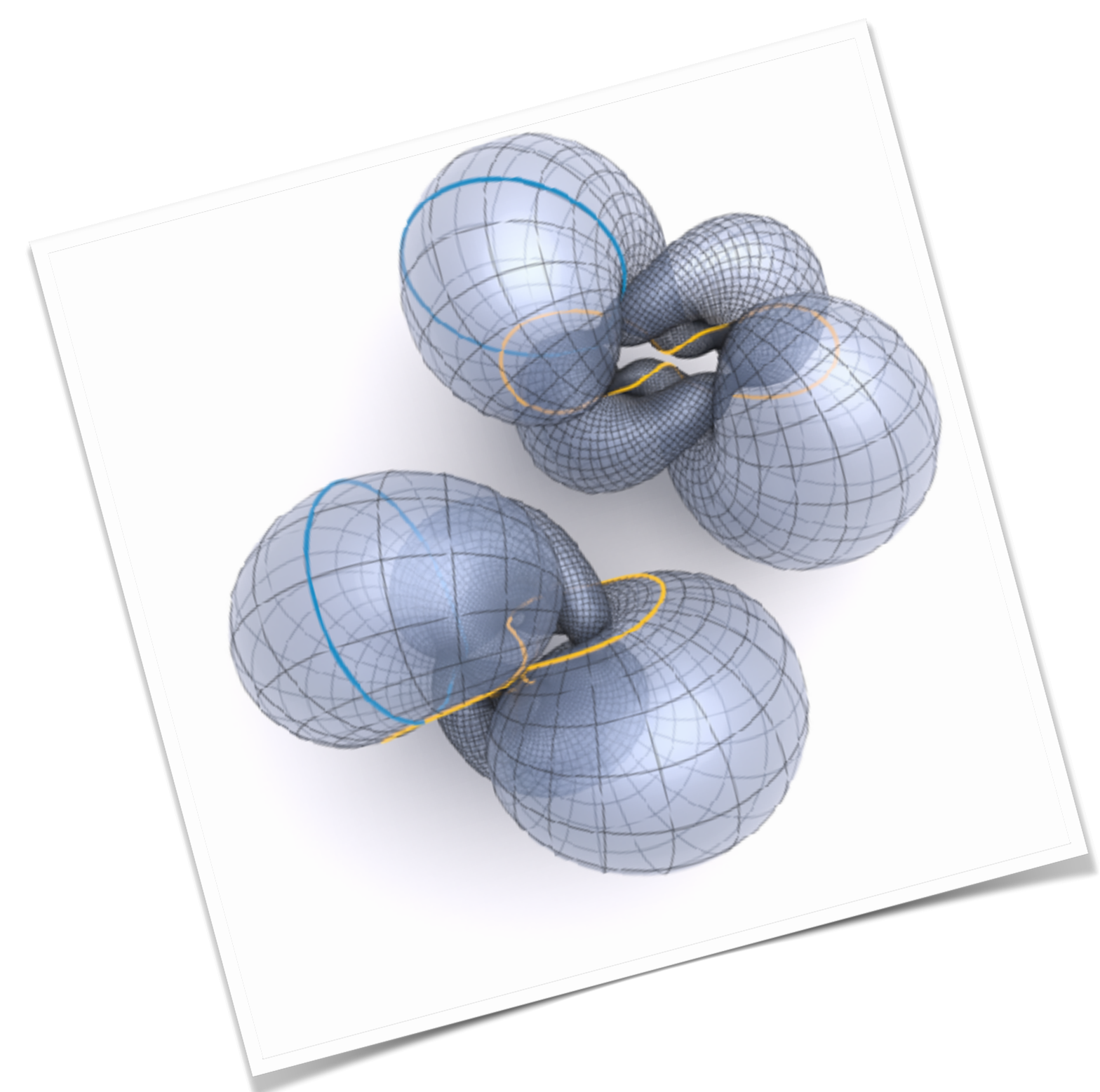
MATERIALIEN UND RENDERING



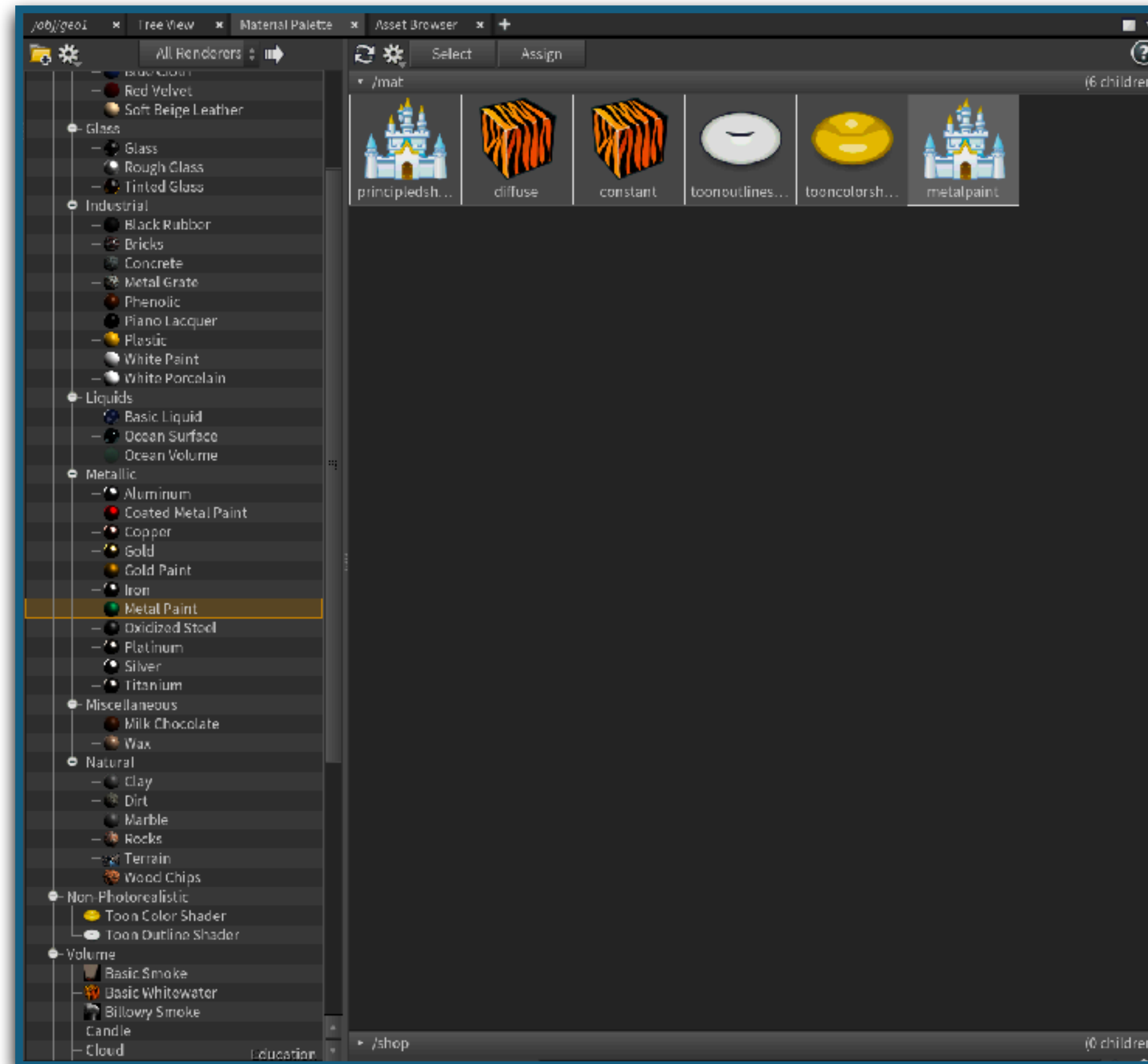
MATERIALIEN UND RENDERING



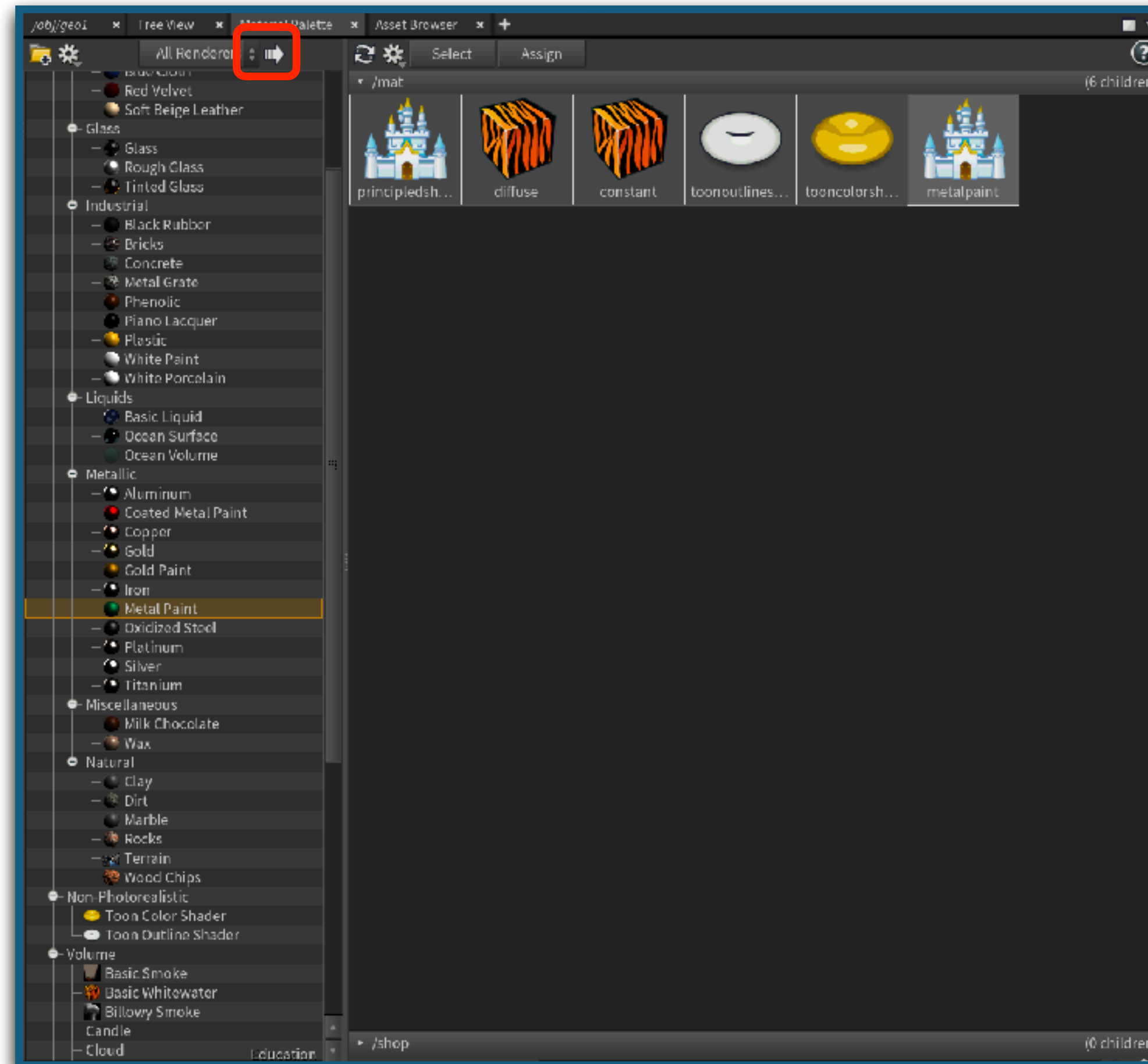
Materialien ermöglichen
uns verschiedene
Stilisierungen von Bildern



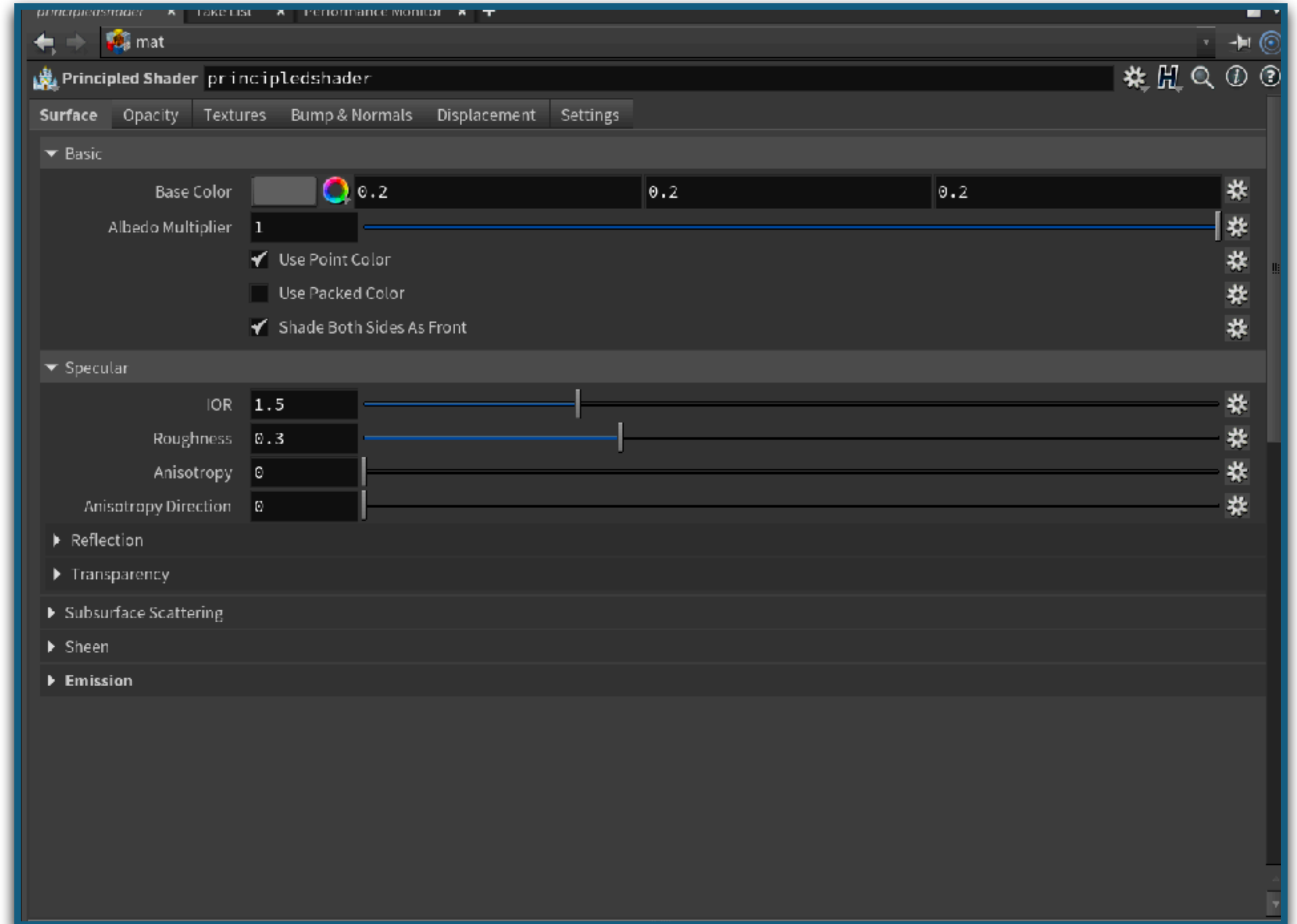
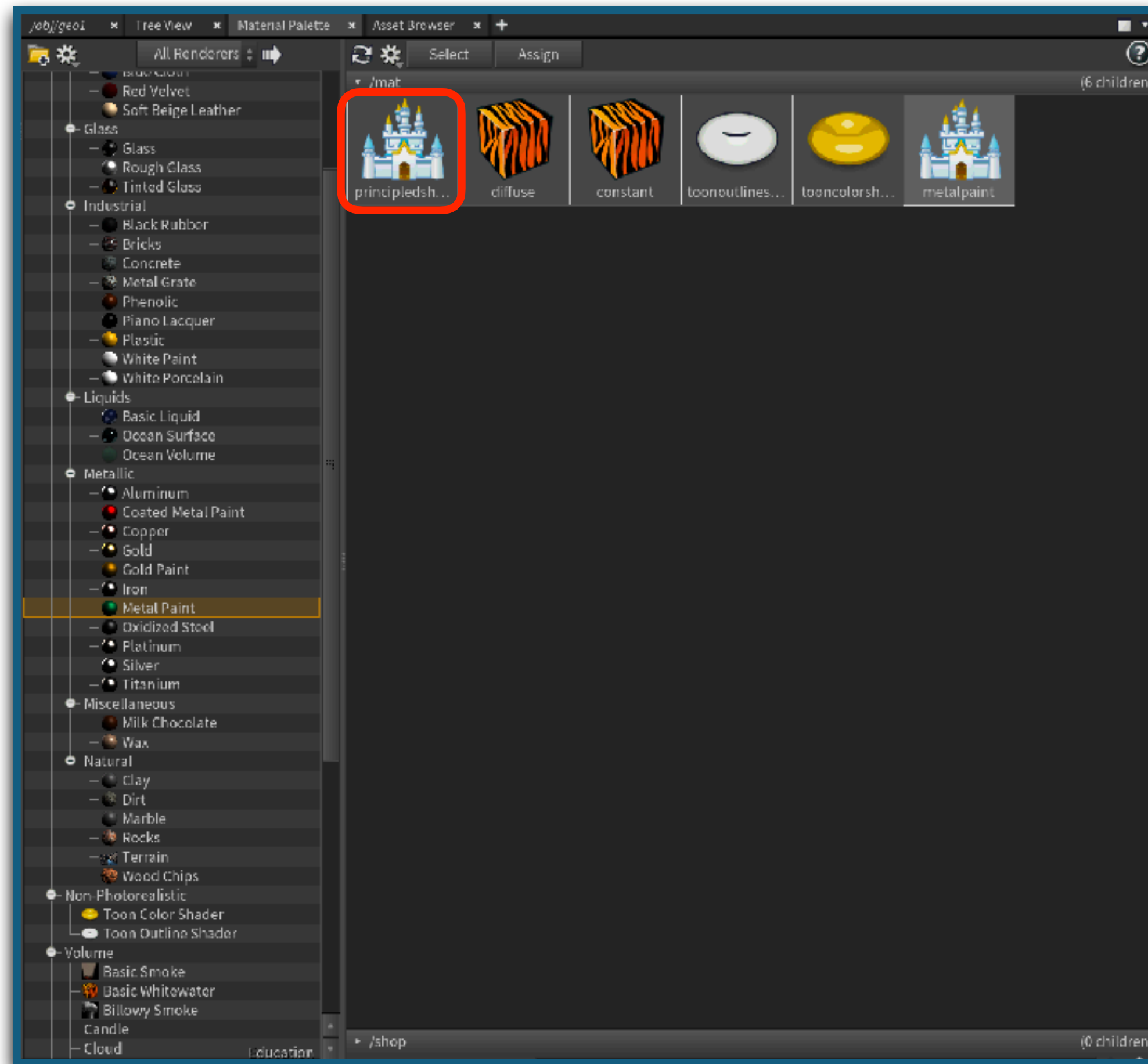
MATERIALIEN



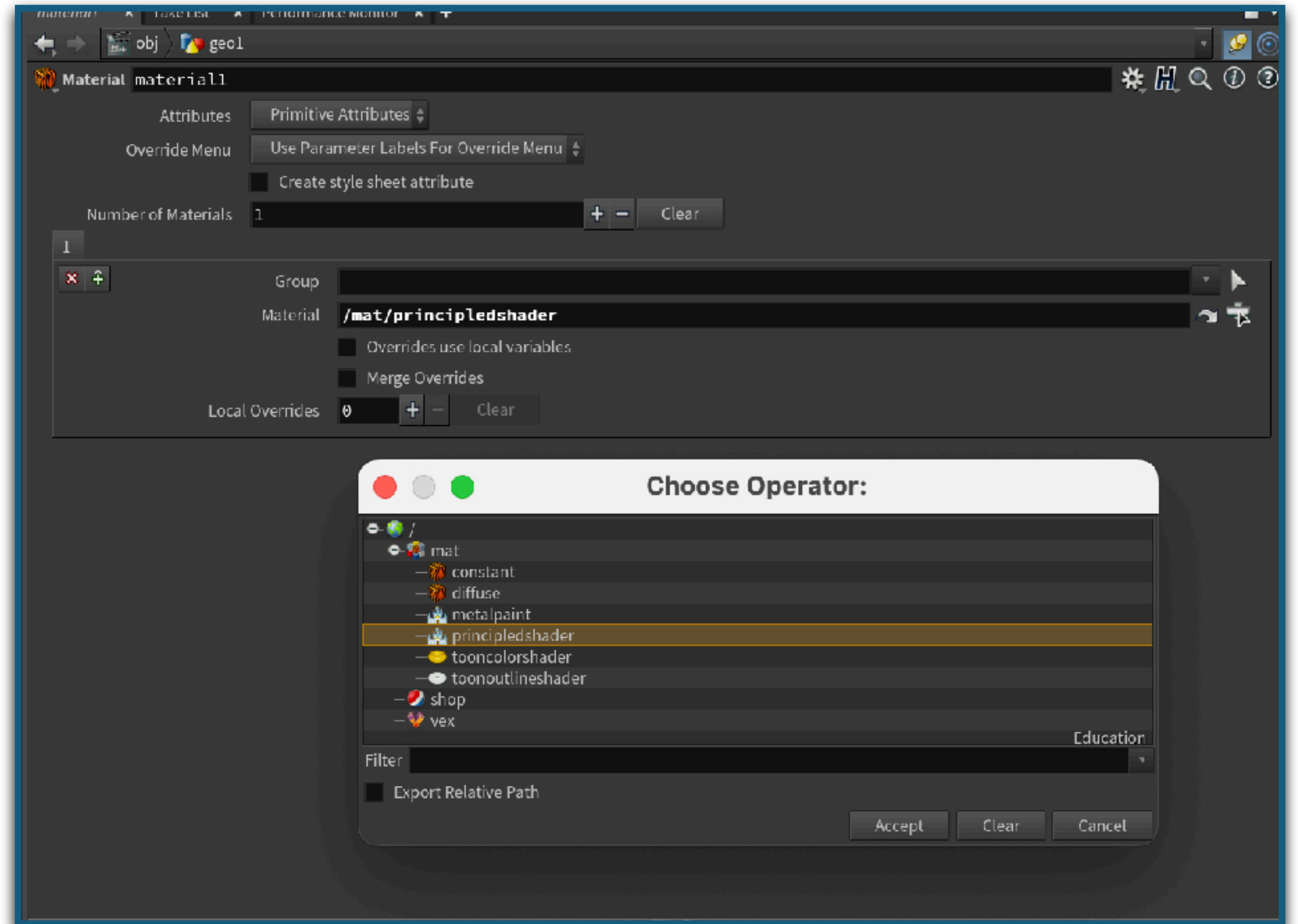
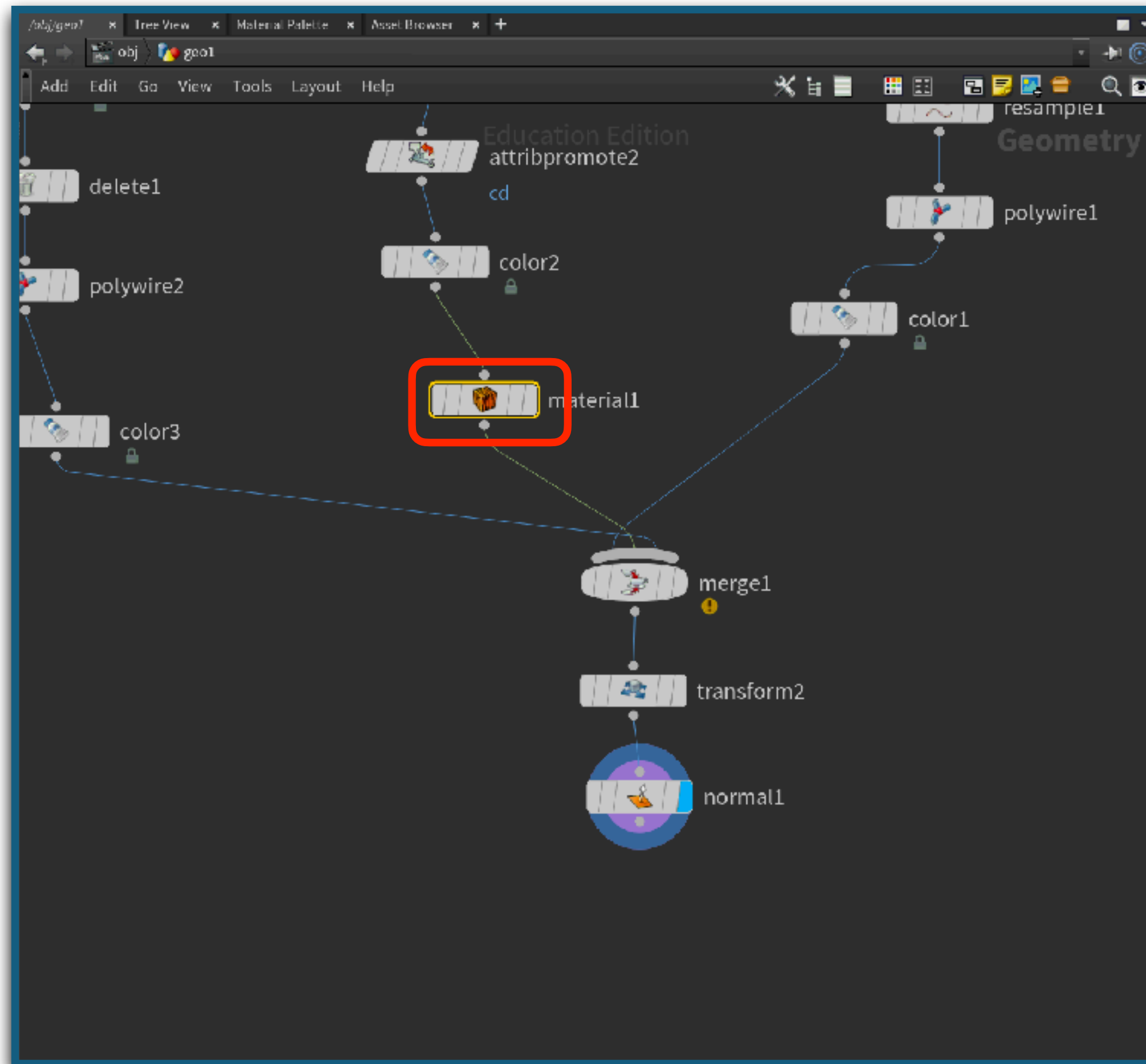
MATERIALIEN



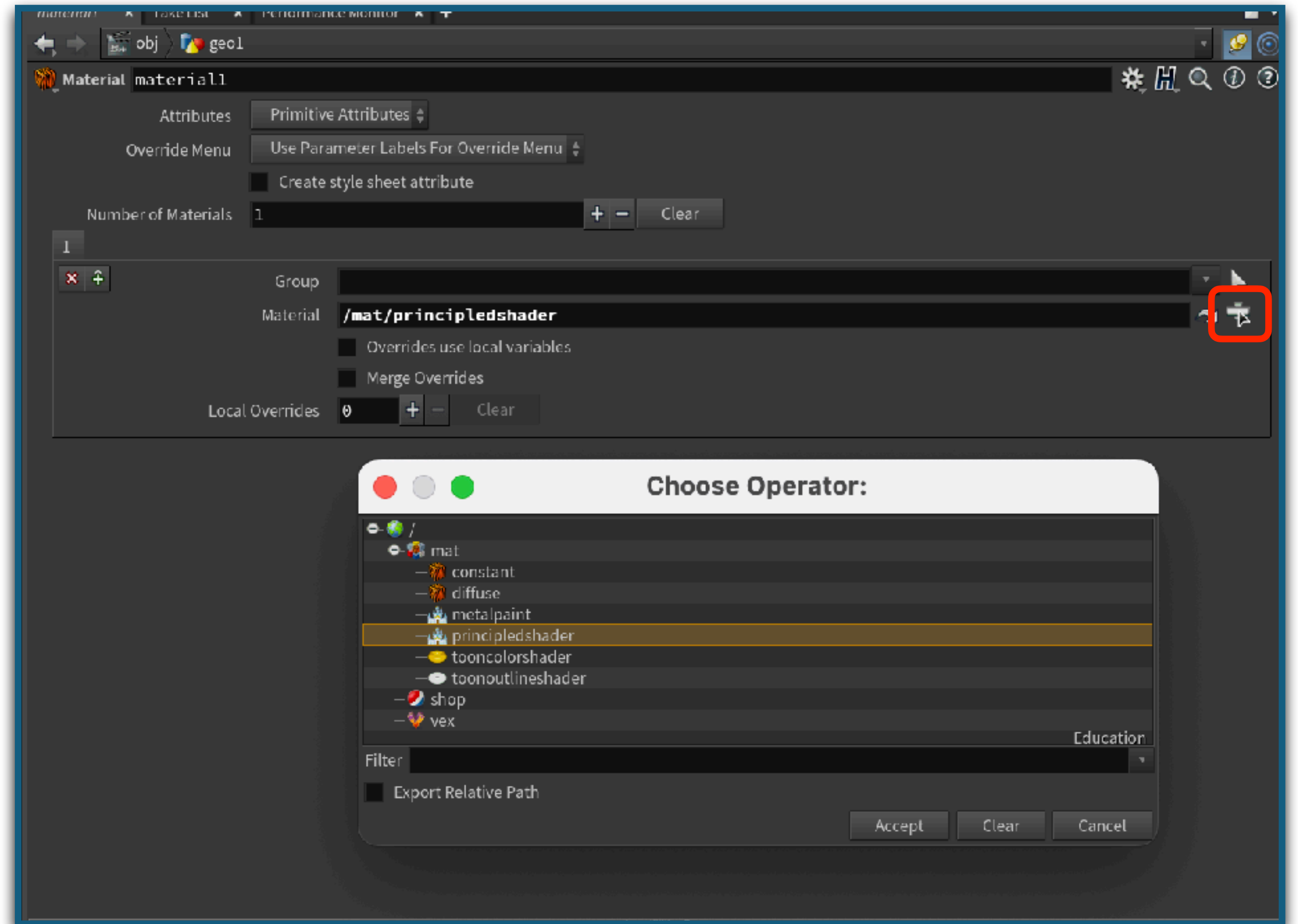
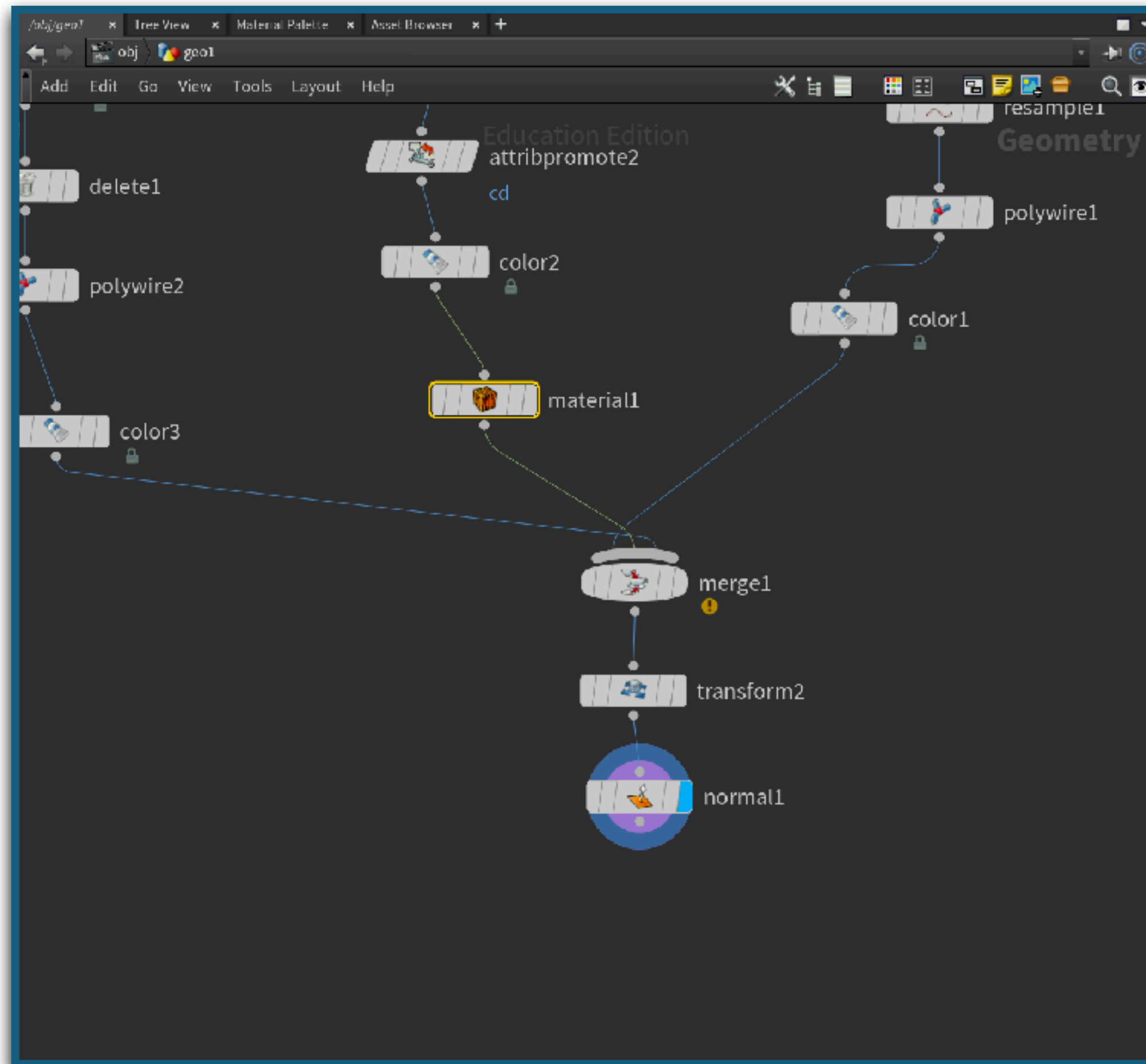
MATERIALIEN



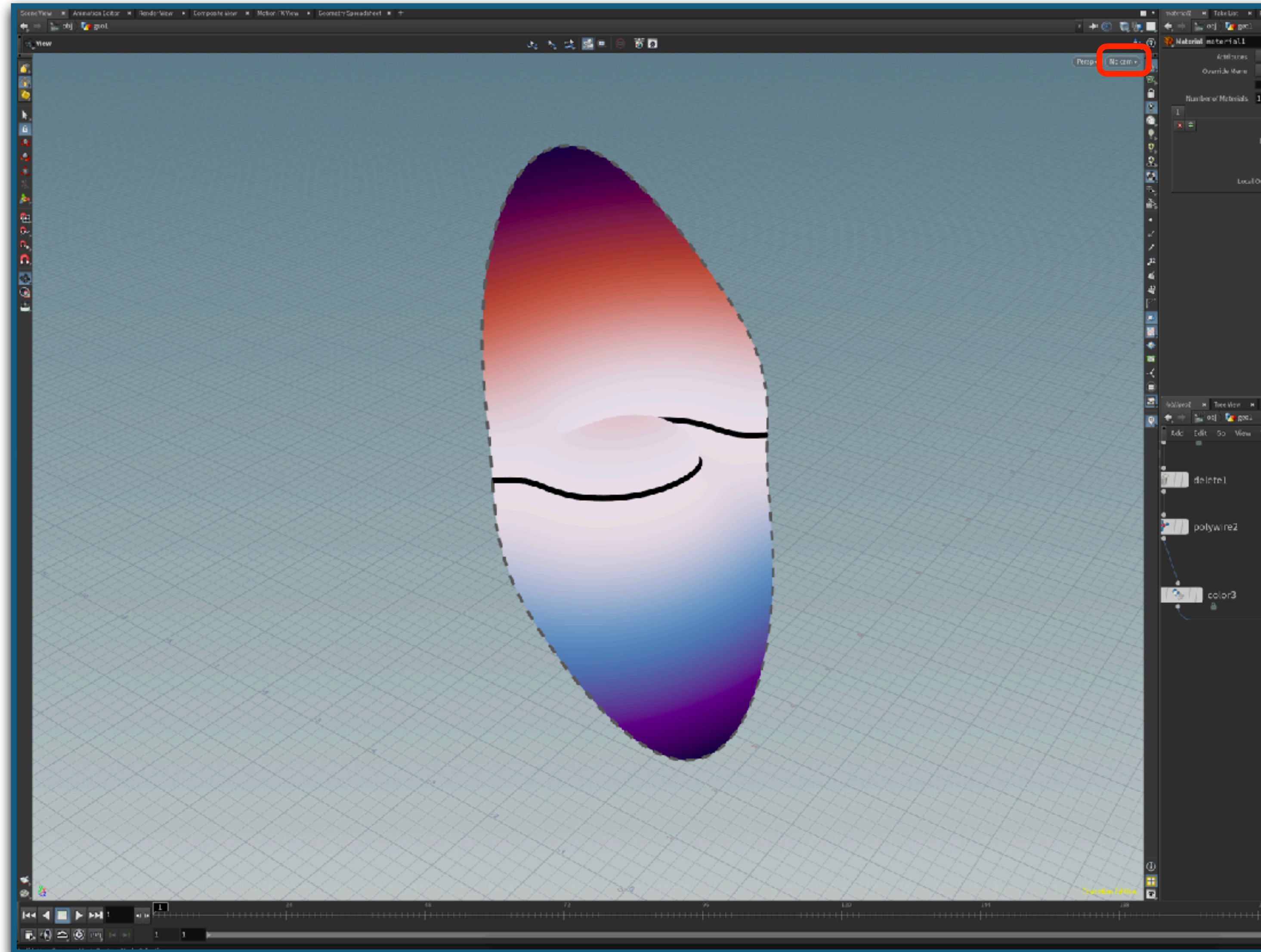
MATERIALIEN



MATERIALIEN

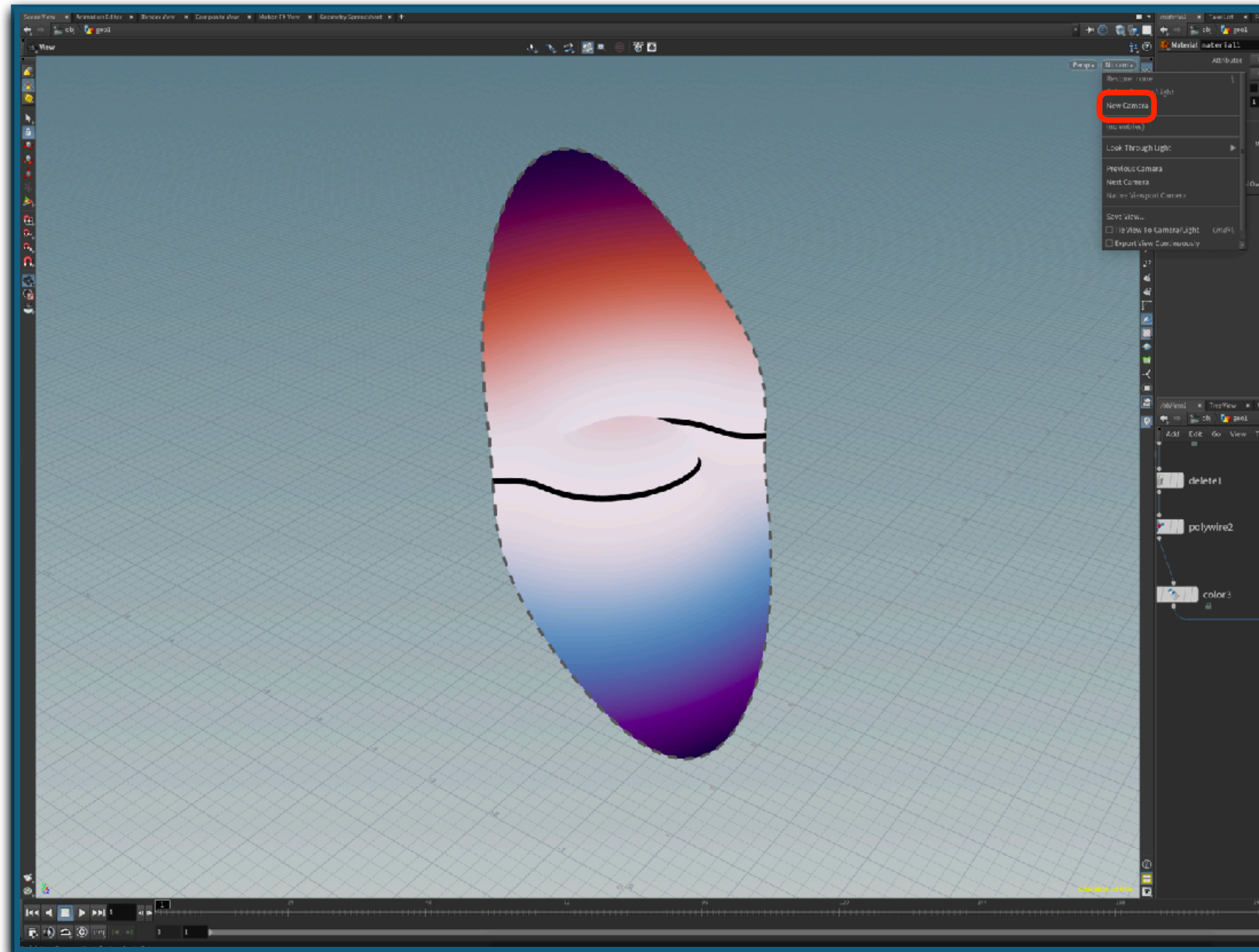


KAMERA



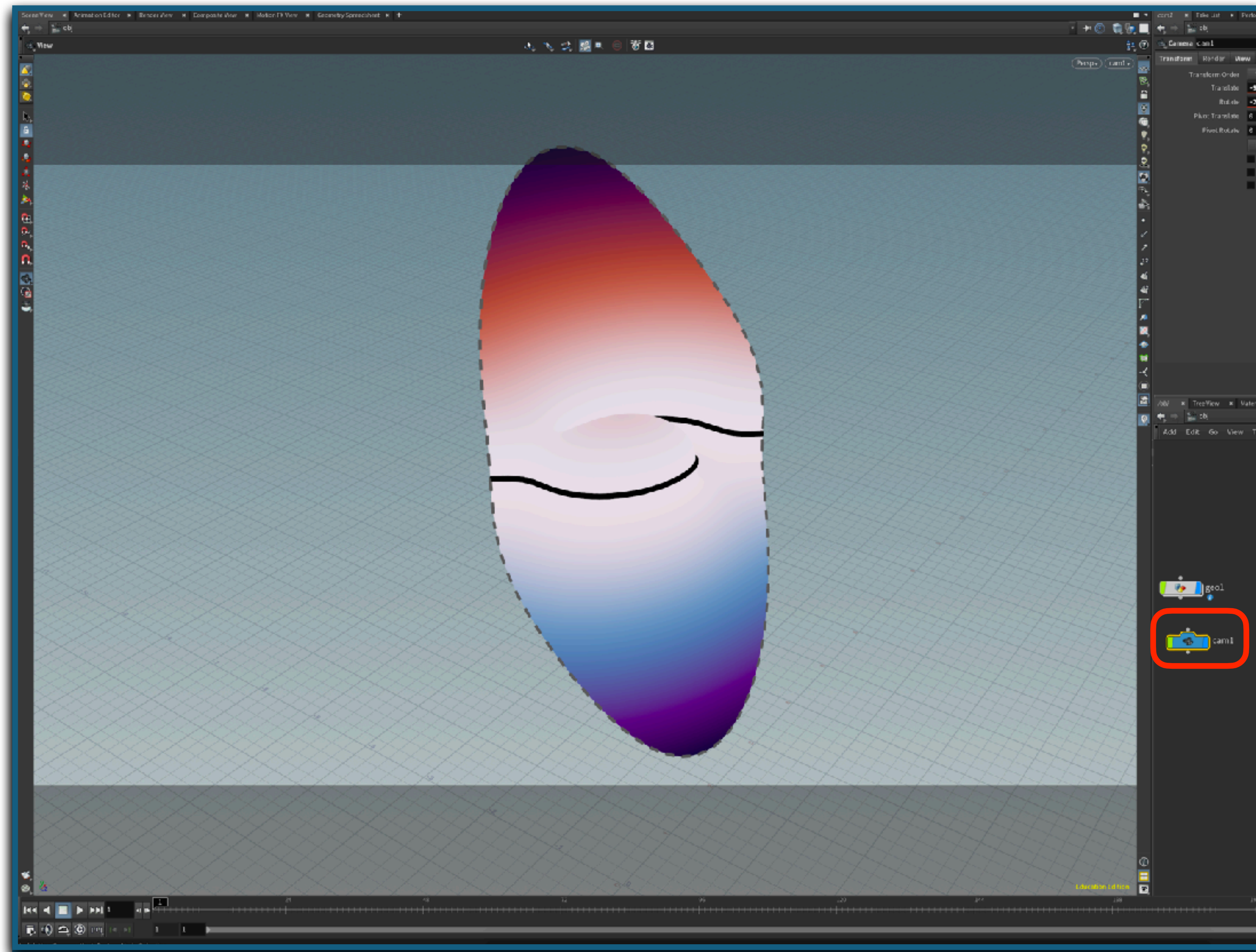
- Kamera Menü

KAMERA



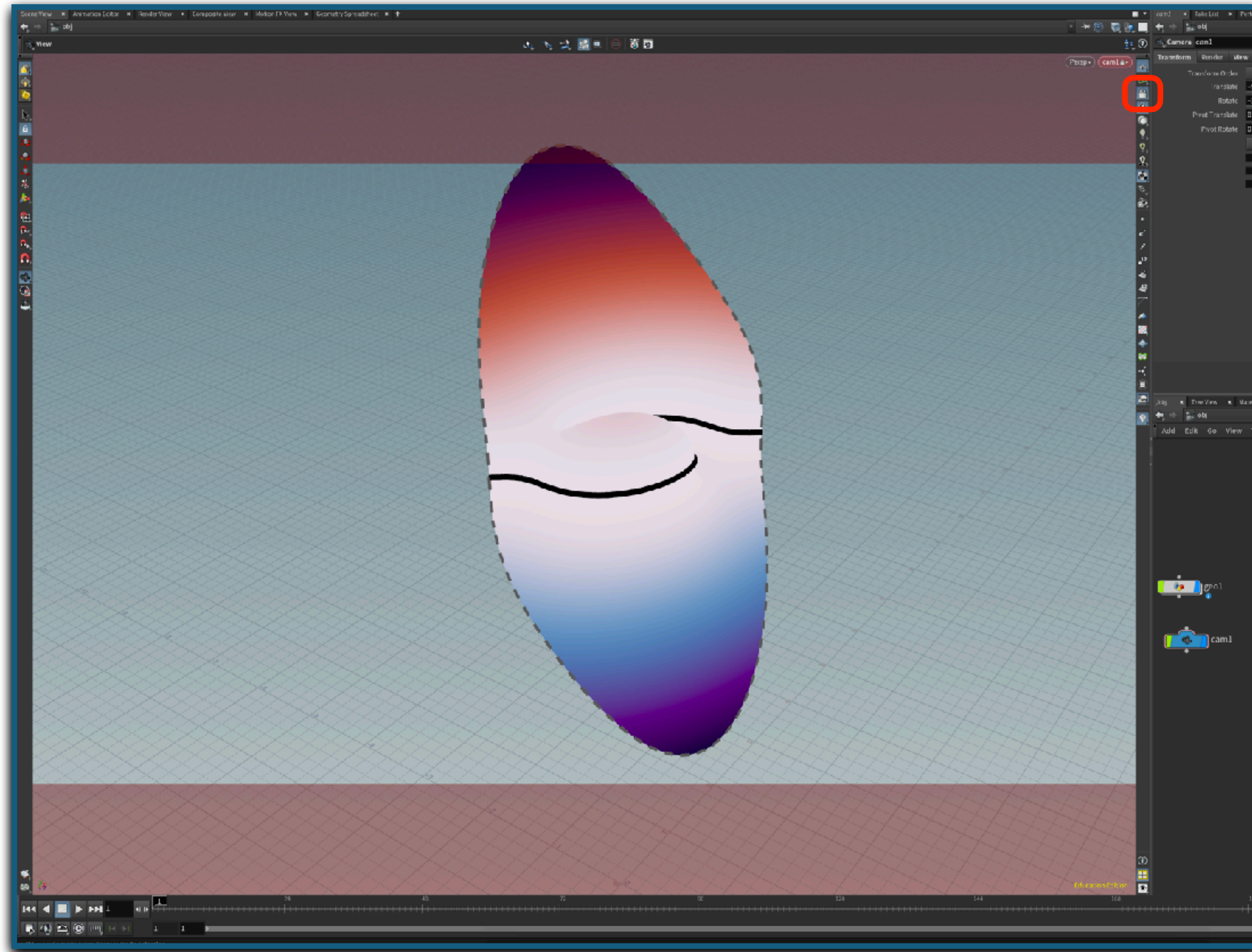
- Kamera Menü
- Neue Kamera erzeugen

KAMERA



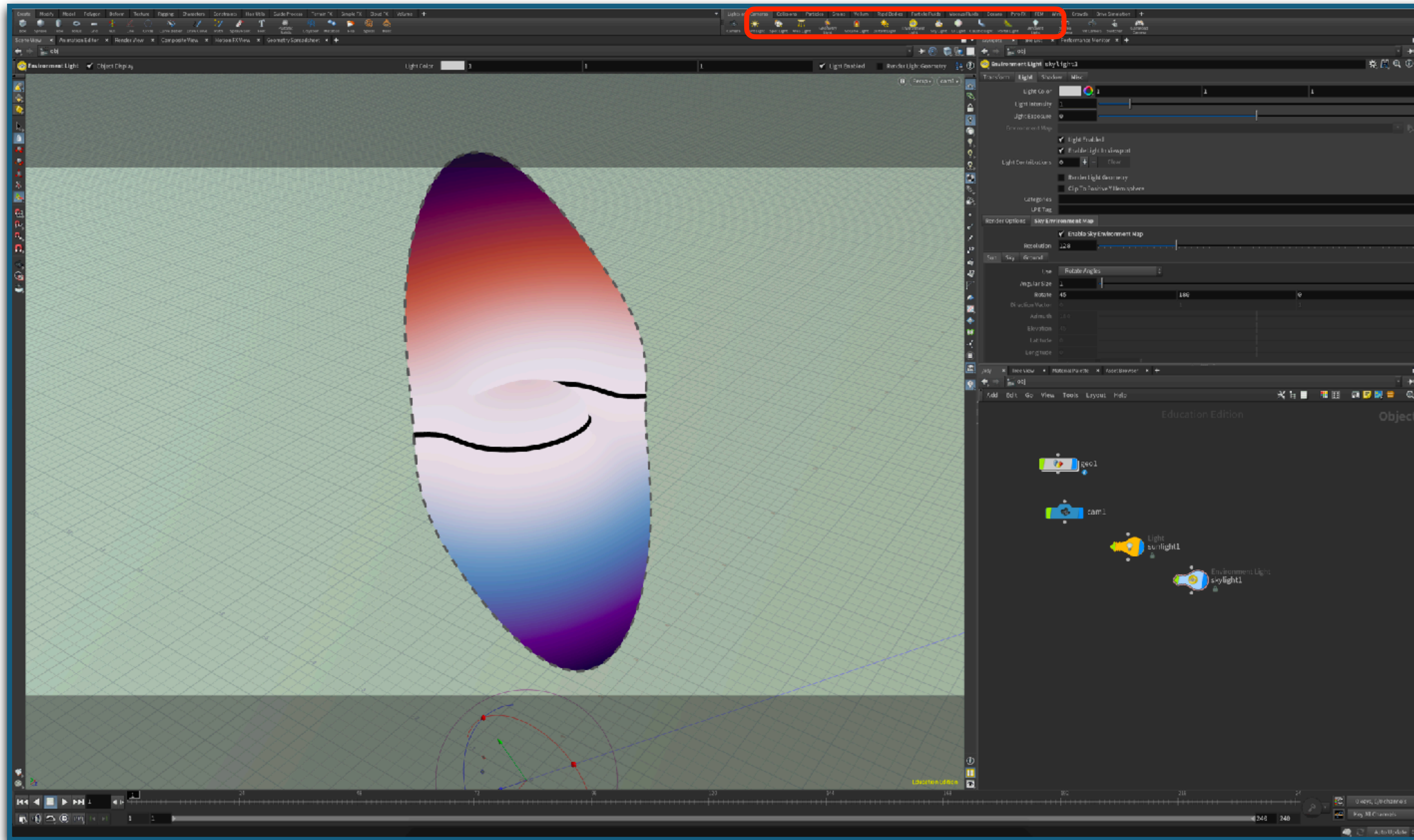
- Kamera Menü
- Neue Kamera erzeugen
- Kamera im Network View

KAMERA

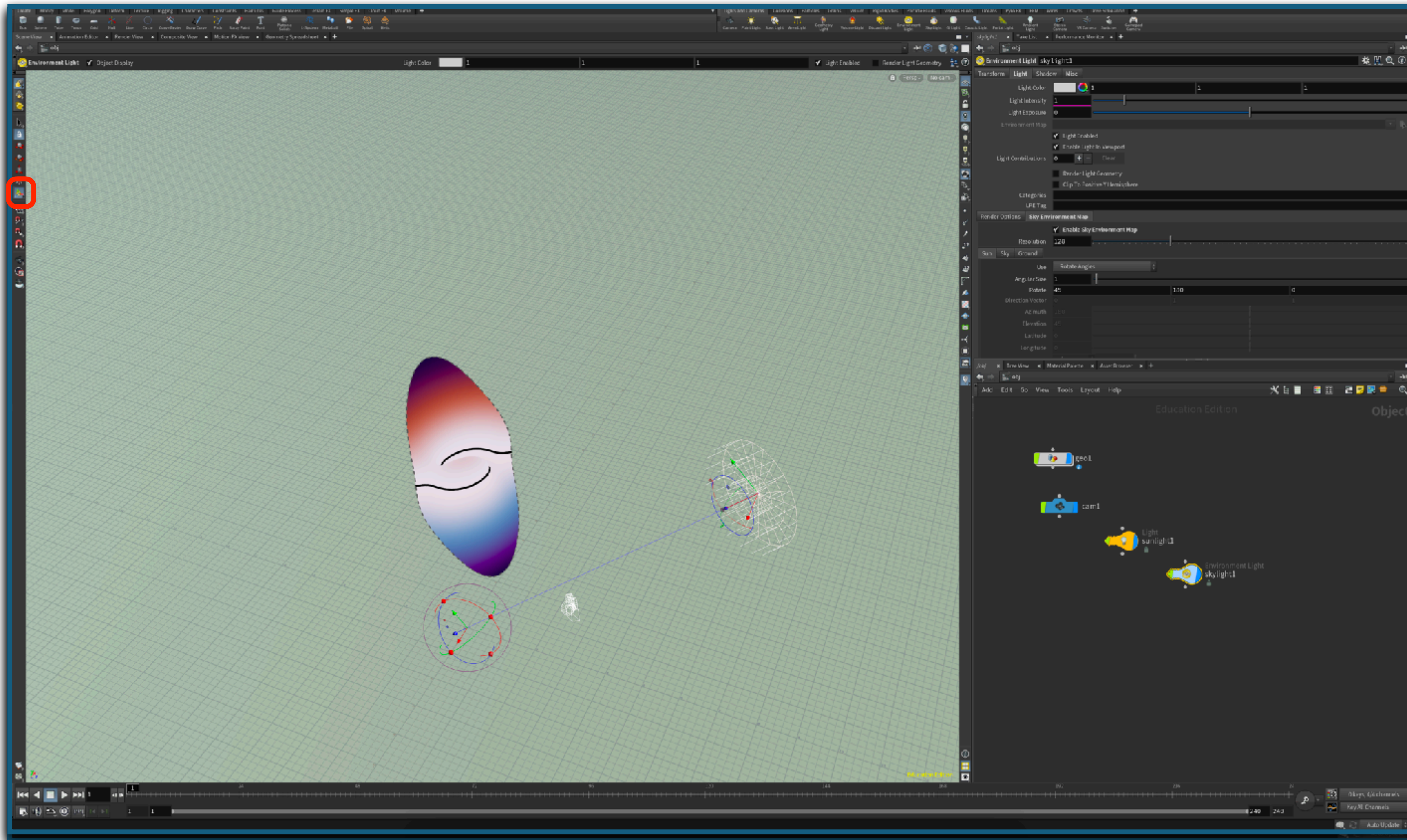


- Kamera Menü
- Neue Kamera erzeugen
- Kamera im Network View
- Neu Positionieren

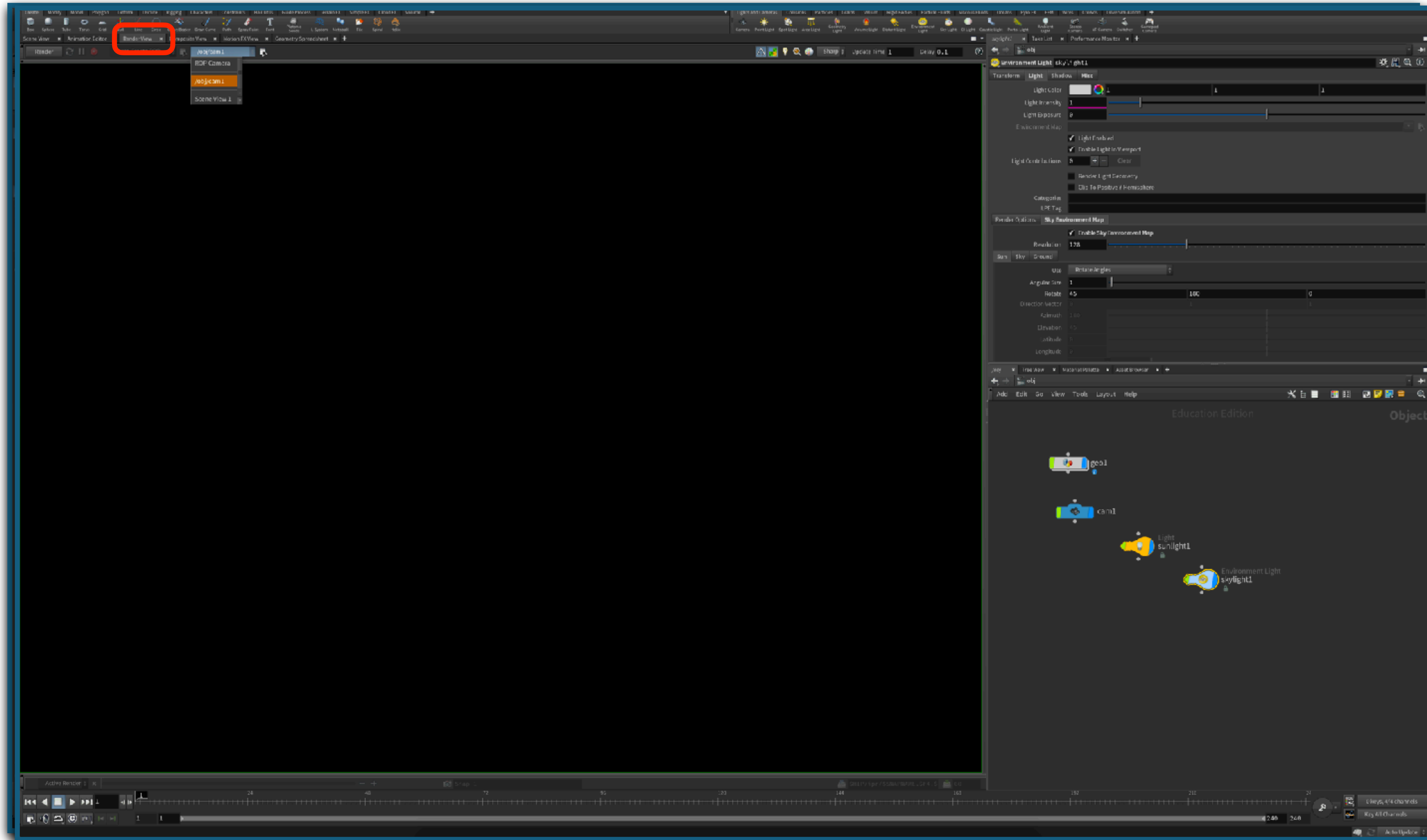
LICHT



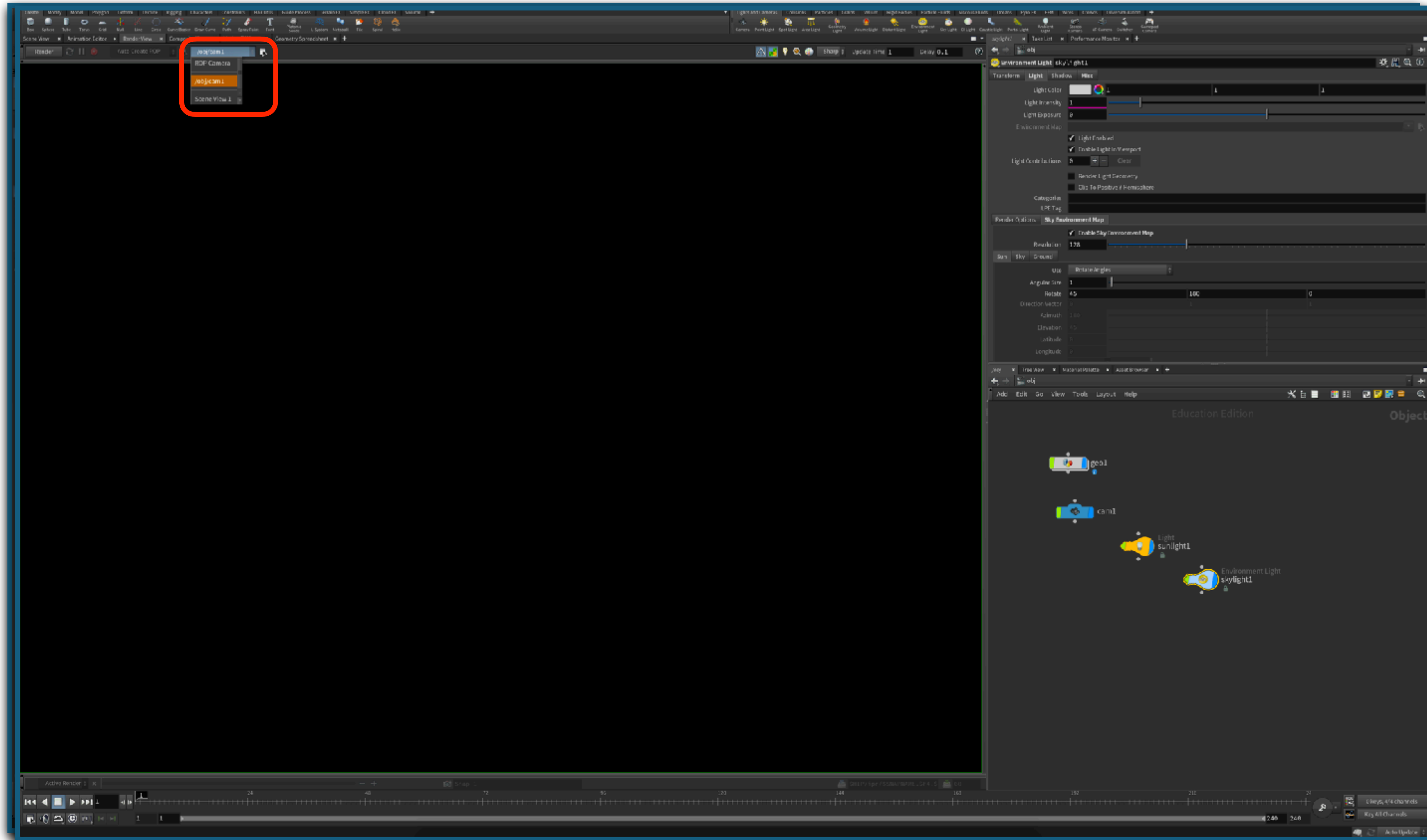
LICHT



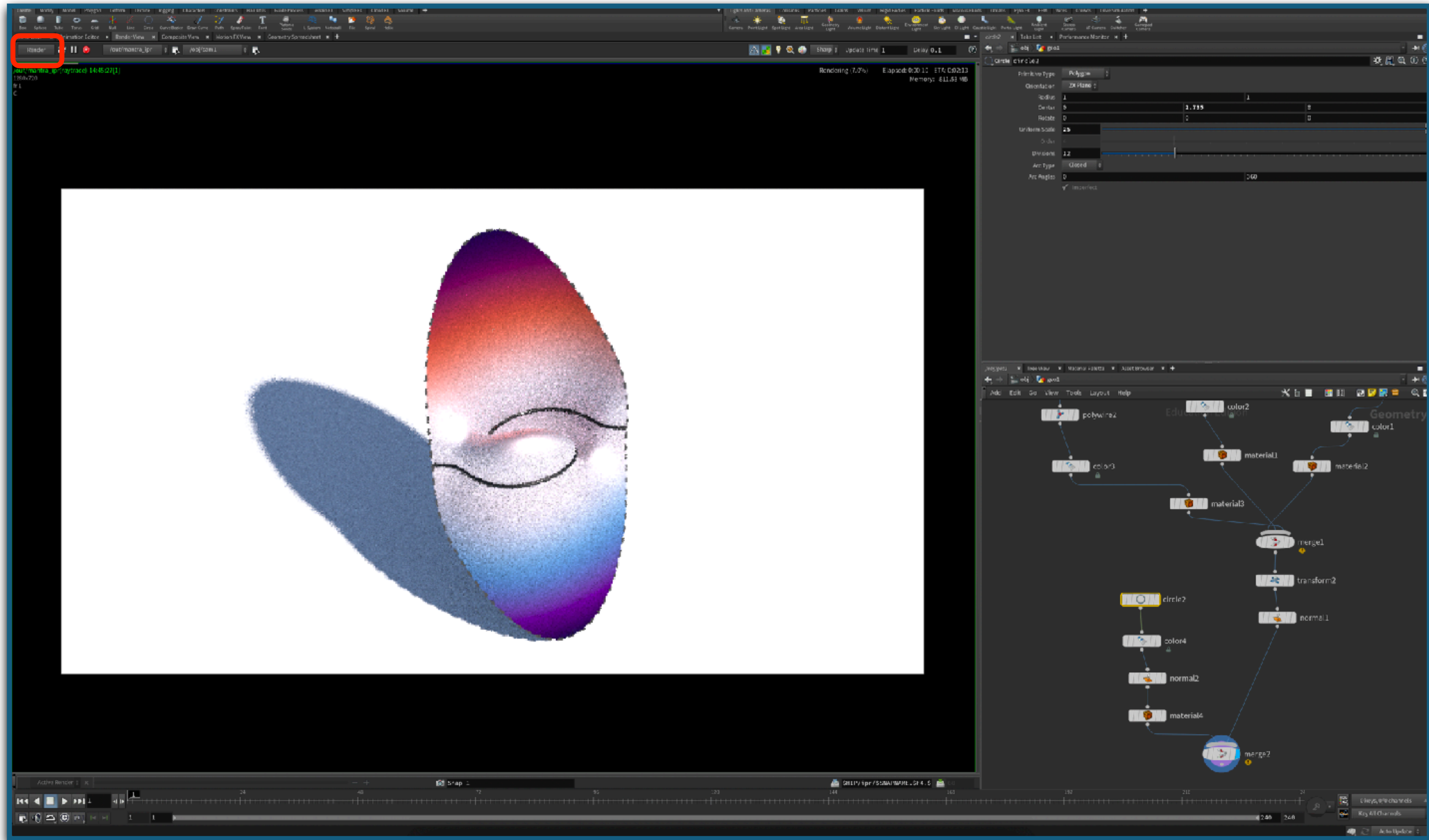
RENDERING



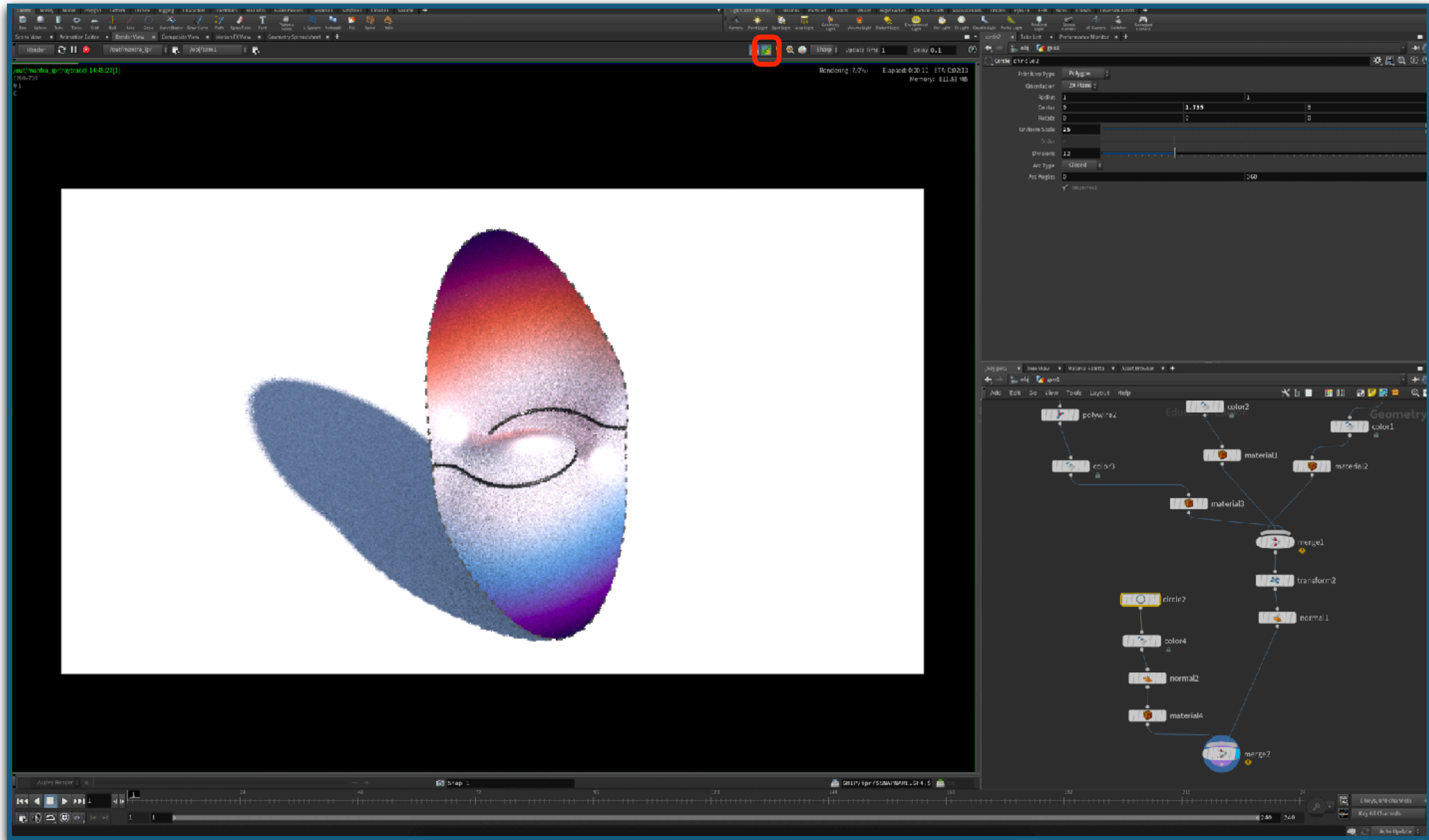
RENDERING



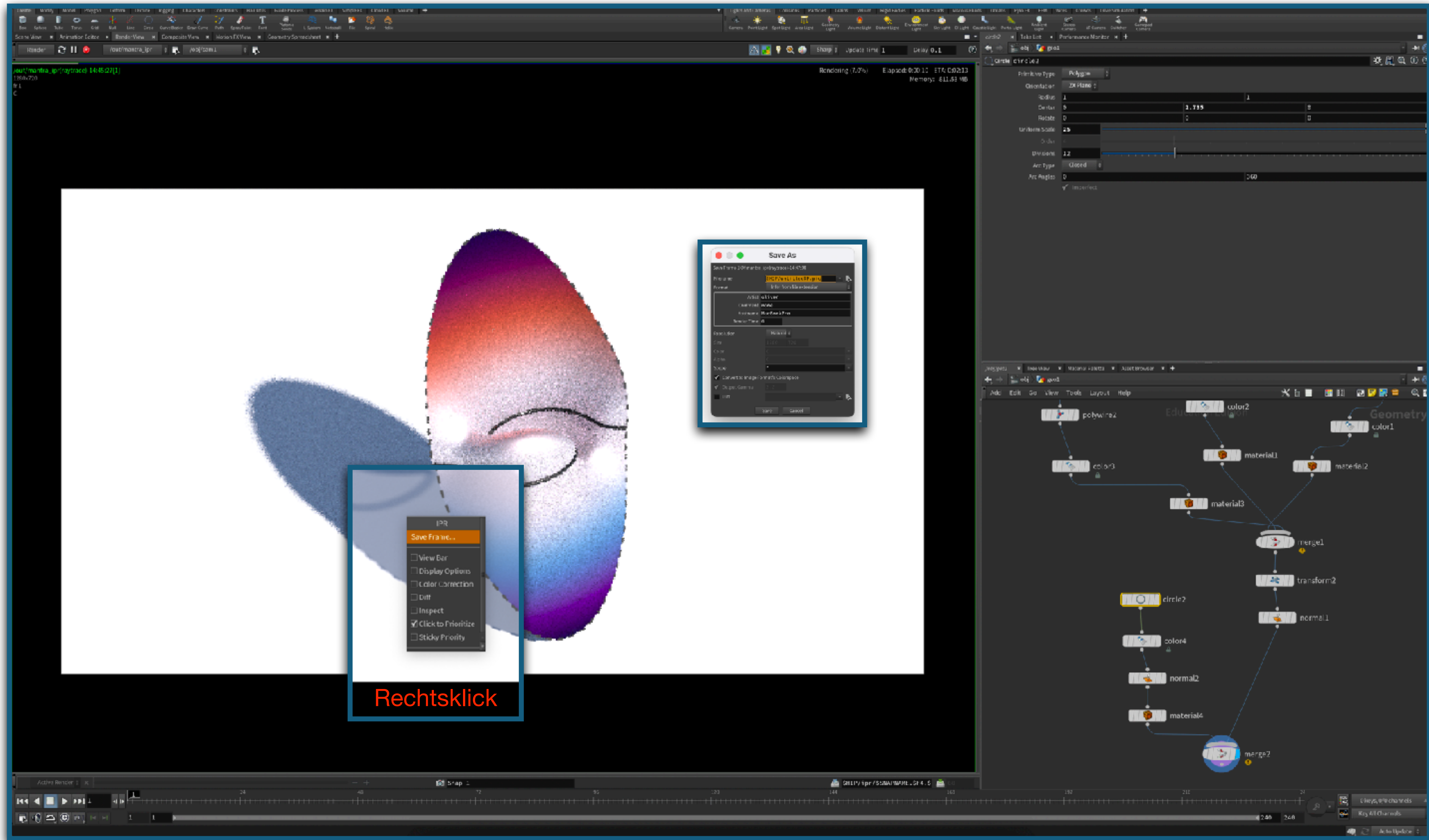
RENDERING



RENDERING



RENDERING



RENDERING

Übung:

a) Wähle Materialien aus, Rendere eine Szene und speichere das Bild ab.

PAUSE

FUNKTIONEN

FUNKTIONEN

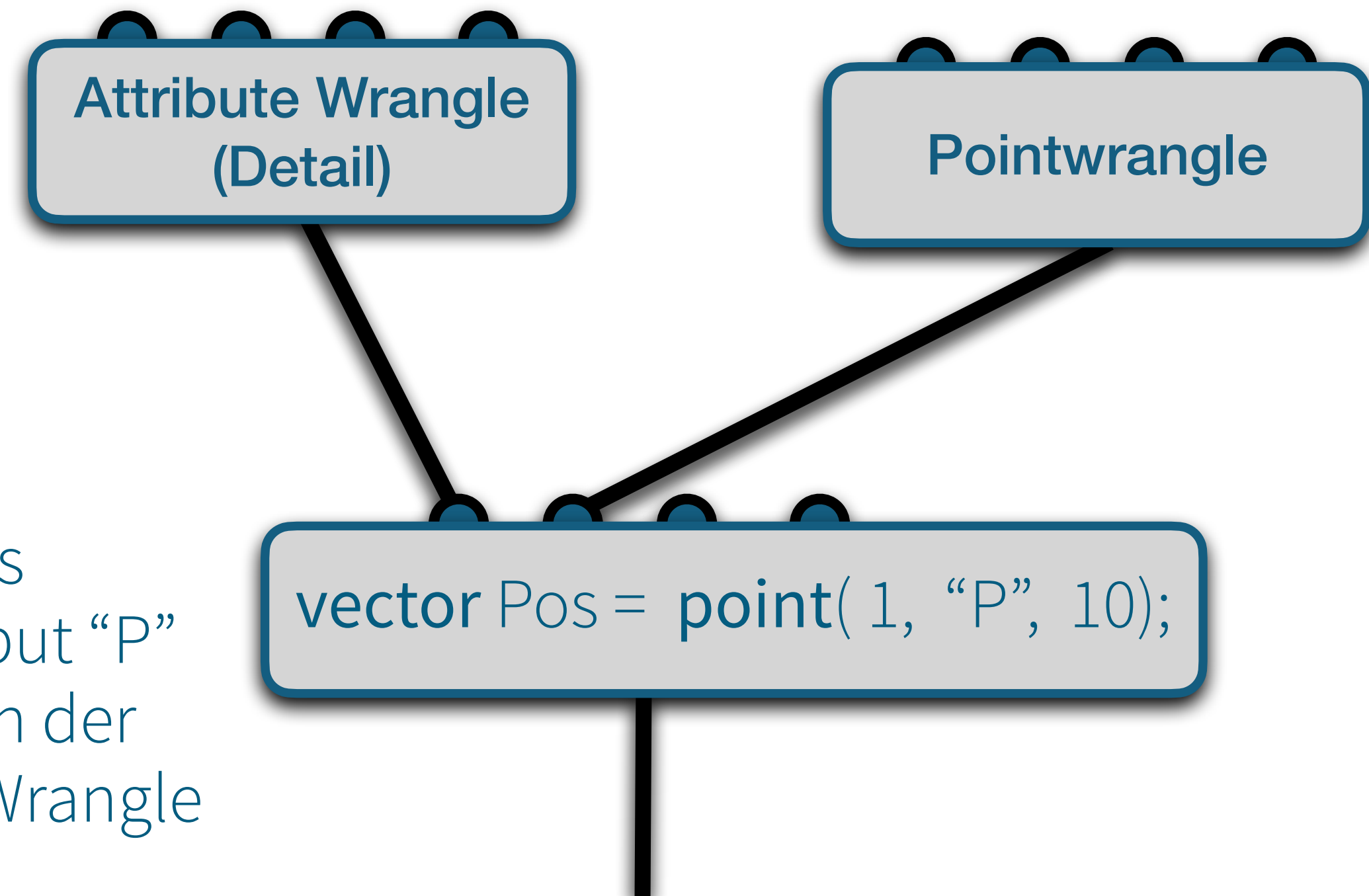
Funktionen folgen einer einfachen (standard) Syntax:

VEX-Funktionen

FunctionName(geohandle, Input1, Input2);

Beispiel:

Gibt uns den Wert des
vektorwertigen Punktattribut "P"
vom Punkt mit Index 10 in der
Geometrie im 1. Input des Wrangle



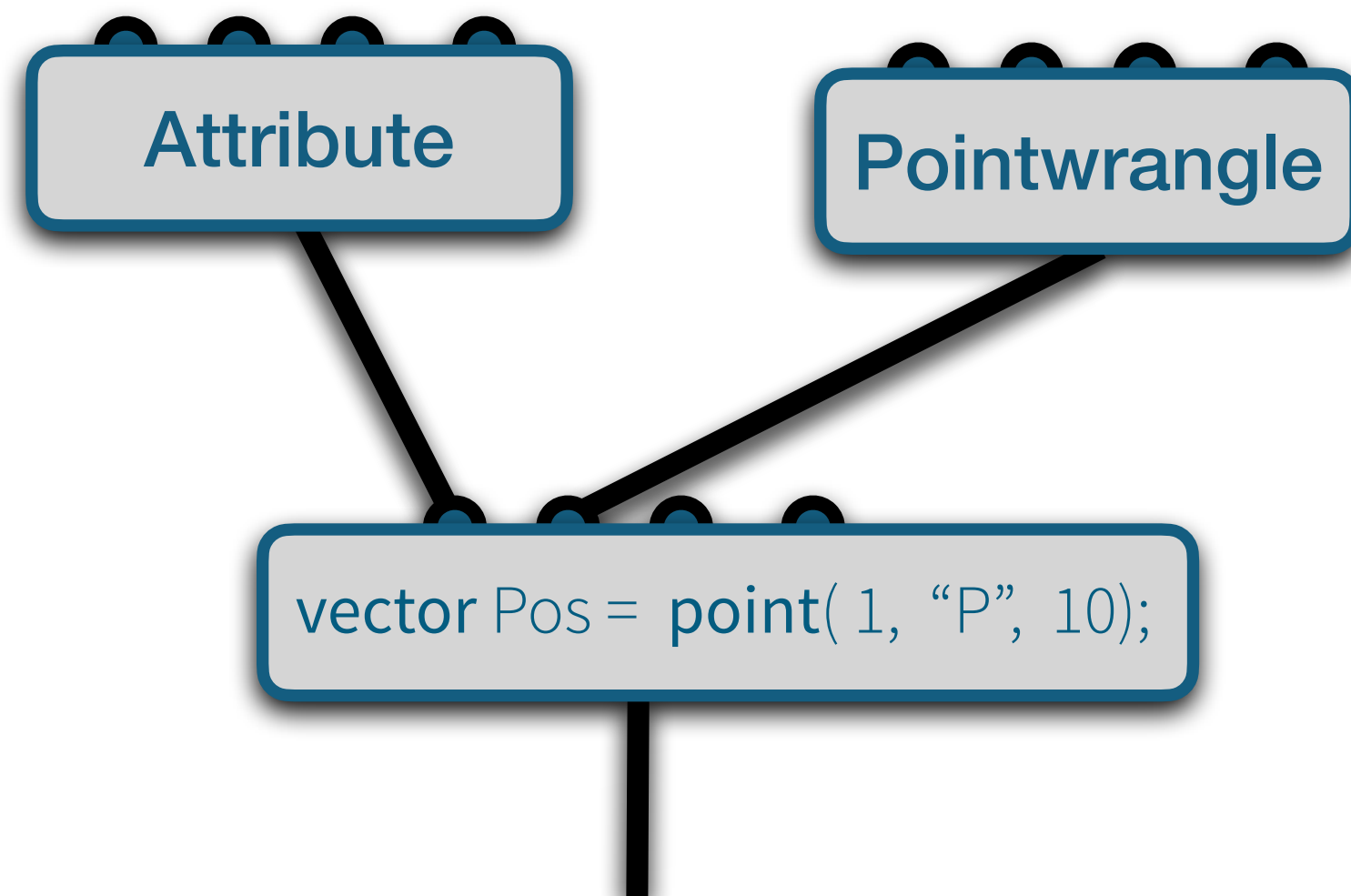
FUNKTIONEN

Funktionen folgen einer einfachen (standard) Syntax:

VEX-Funktionen

FunctionName(geohandle, Input1, Input2);

Beispiel:



Eigene Funktionen

OutputType (InputType1 X, Y ; InputType2 c)

{

VariableType1 Z = X + c*Y ;

VariableType2 W = set(1,0,0) ;

return Z + W ;

}

FUNKTIONEN

Übung:

a) Visualisiere die *Mandelbrot Menge*

Hinweis: Vorschriften, Formeln etc. finden wir oft auf Wikipedia.

FUNKTIONEN

Mandelbrot-Menge

Die **Mandelbrot-Menge**, benannt nach **Benoît Mandelbrot**, ist die **Menge** der **komplexen Zahlen** c , für welche die durch die **iterative** Vorschrift $z_{n+1} = z_n^2 + c$ mit dem Anfangswert $z_0 = 0$ definierte **Folge** $z_0, z_1, z_2, z_3, \dots$ endlich bleibt, d.h. **beschränkt** ist.

Interpretiert man die Mandelbrot-Menge (eine Teilmenge der **Gaußschen Zahlenebenen**) als geometrische Figur, so ergibt sie ein **Fraktal**, das im allgemeinen Sprachgebrauch oft *Apfelmännchen* genannt wird. Bilder berechnet man, indem man jedem Pixel (x, y) eines Bildes eine komplexe Zahl zuordnet ($c = c_0 + a \cdot x + bi \cdot y$) und beginnend mit $z_0 = 0$ untersucht, ob und wann die Iterationen anfangen, zu „explodieren“. Bleiben die Werte klein, wird das Pixel häufig schwarz gefärbt, kommt es zu einer „Explosion“ der Zahlenwerte, wird die Anzahl der dafür notwendigen Iterationen als Farbe kodiert.

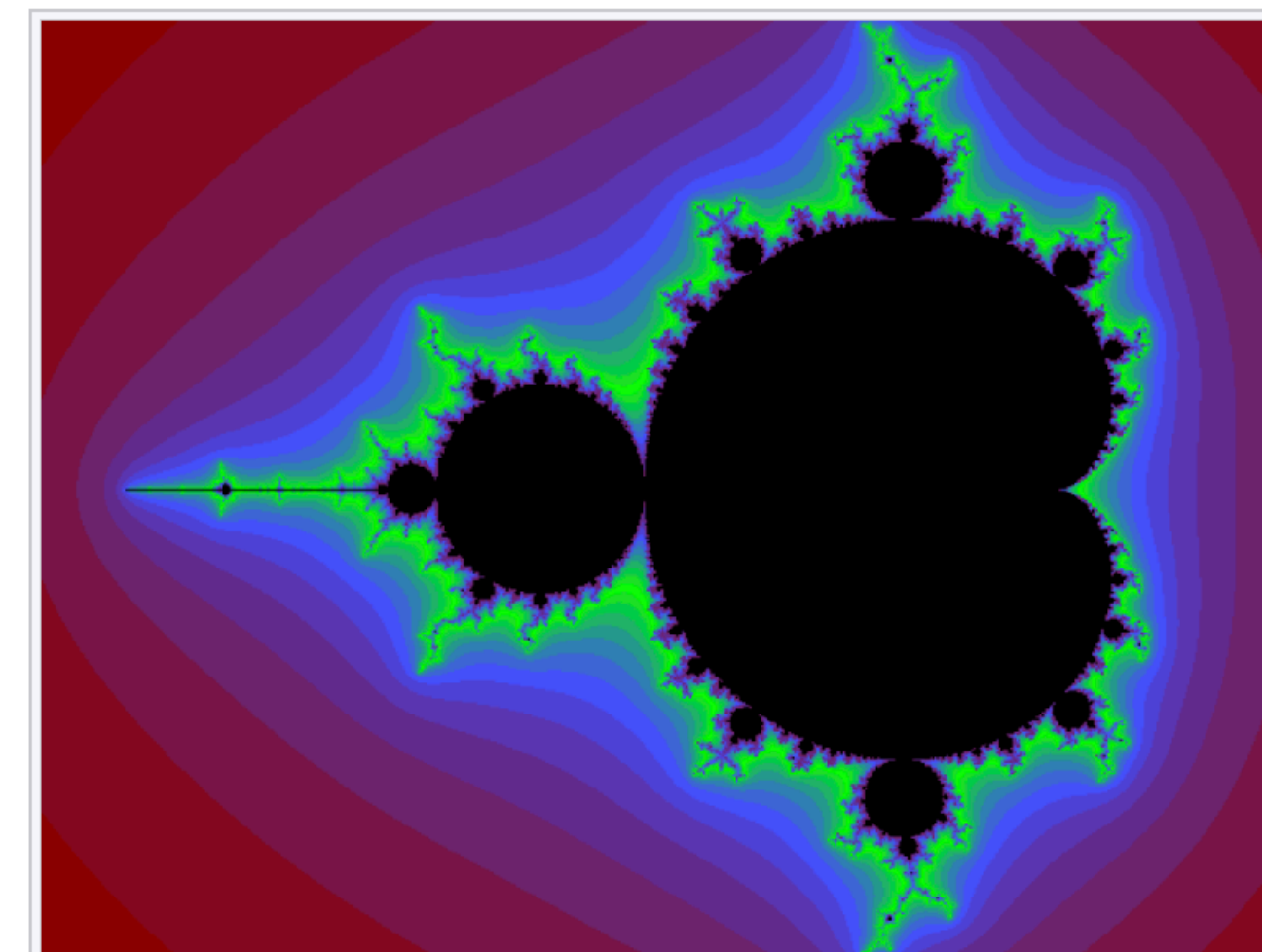
Die ersten mit einem Computer generierten Darstellungen wurden 1978 von **Robert W. Brooks** und **Peter Matelski** vorgestellt.^[1] 1980 veröffentlichte Benoît Mandelbrot eine Arbeit über das Thema.^[2] Später wurde sie von **Adrien Douady** und **John Hamal Hubbard** in einer Reihe grundlegender mathematischer Arbeiten systematisch untersucht.^[3] Die mathematischen Grundlagen dafür wurden bereits 1905 von dem französischen Mathematiker **Pierre Fatou** erarbeitet.

Inhaltsverzeichnis [Verbergen]

1 Definition

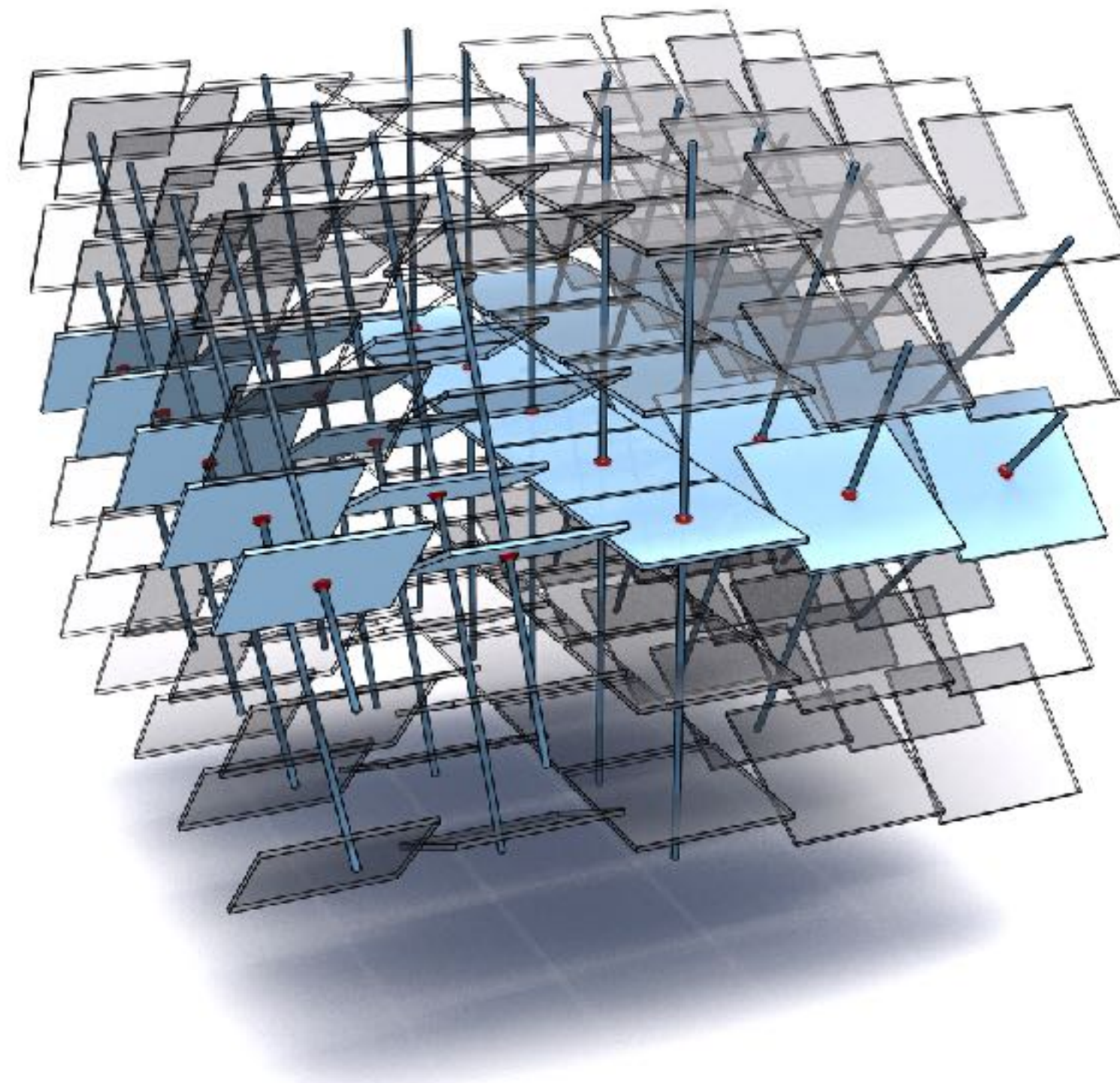
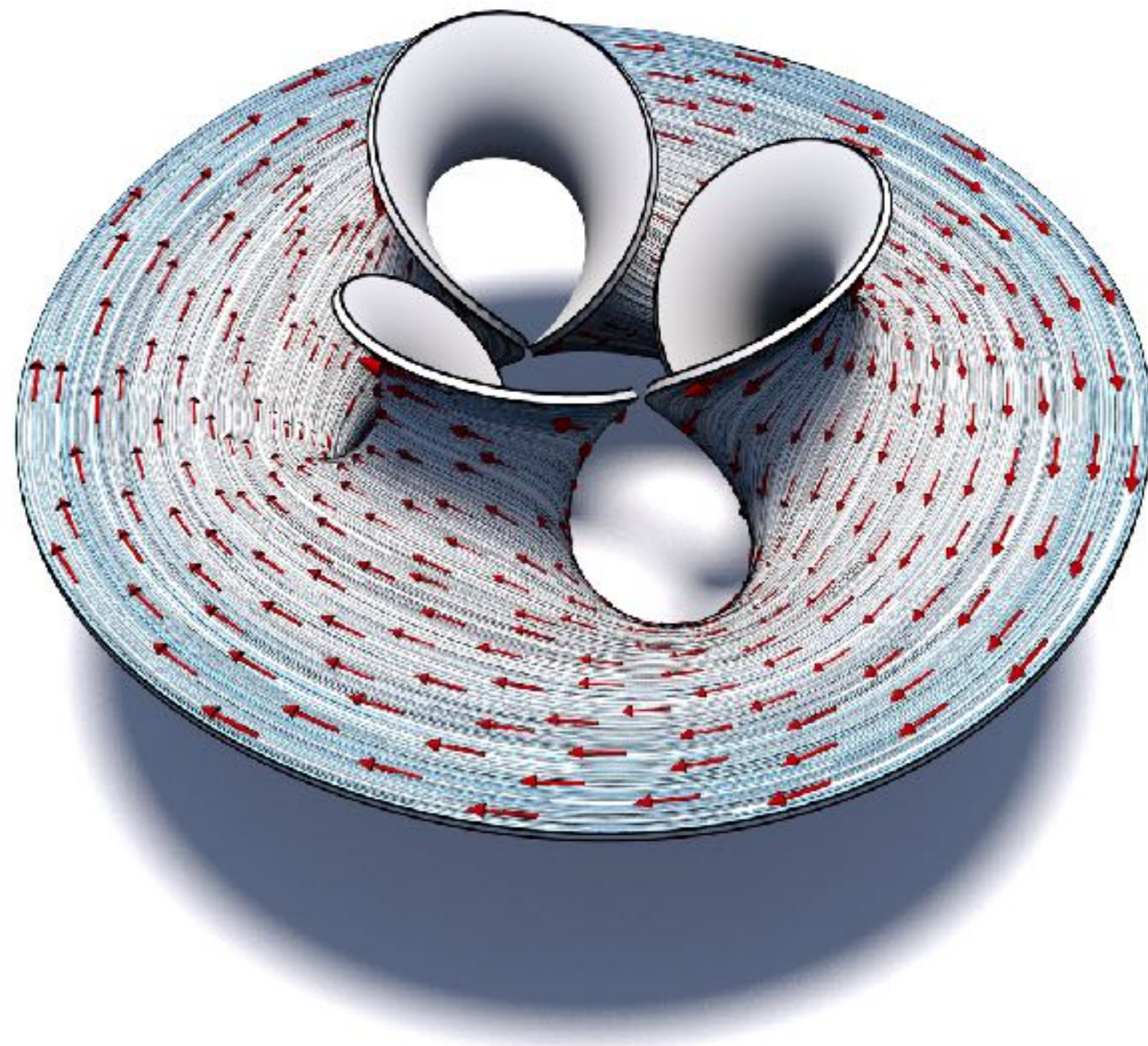
- 1.1 Definition über Rekursion
- 1.2 Definition über komplexe quadratische Polynome
- 1.3 Definition über Julia-Mengen
- 1.4 Bezug zur Chaostheorie
- 1.5 Geometrische und mathematische Eigenschaften

2 Bildergalerie einer Zoomfahrt



COPY TO POINTS KNOTEN

WIE MACHEN WIR SOLCHE ABBILDUNGEN?



ROTATIONEN IN HOUDINI

Rotationen werden in Houdini am besten durch Quaternionen beschrieben.

$$\mathbb{H} = \mathbb{R} \oplus i\mathbb{R} \oplus j\mathbb{R} \oplus k\mathbb{R} \quad \text{mit} \quad i^2 = j^2 = k^2 = -1$$

Eine Rotation um den Winkel α um die Rotationsachse $X \in S^2 \subset \mathbb{R}^3$ ist gegeben durch

$$Y \mapsto \bar{q}Yq \quad \text{wobei} \quad q = \sin\left(\frac{\alpha}{2}\right) + \cos\left(\frac{\alpha}{2}\right)X.$$

Im Gegensatz zu komplexen Zahlen kann Houdini natürlicher Weise mit Quaternionen umgehen.

ROTATIONEN IN HOUDINI

Eine Rotation um den Winkel α um die Rotationsachse $X \in S^2 \subset \mathbb{R}^3$ ist gegeben durch

$$Y \mapsto \bar{q}Yq \quad \text{wobei} \quad q = \sin\left(\frac{\alpha}{2}\right) + \cos\left(\frac{\alpha}{2}\right)X.$$

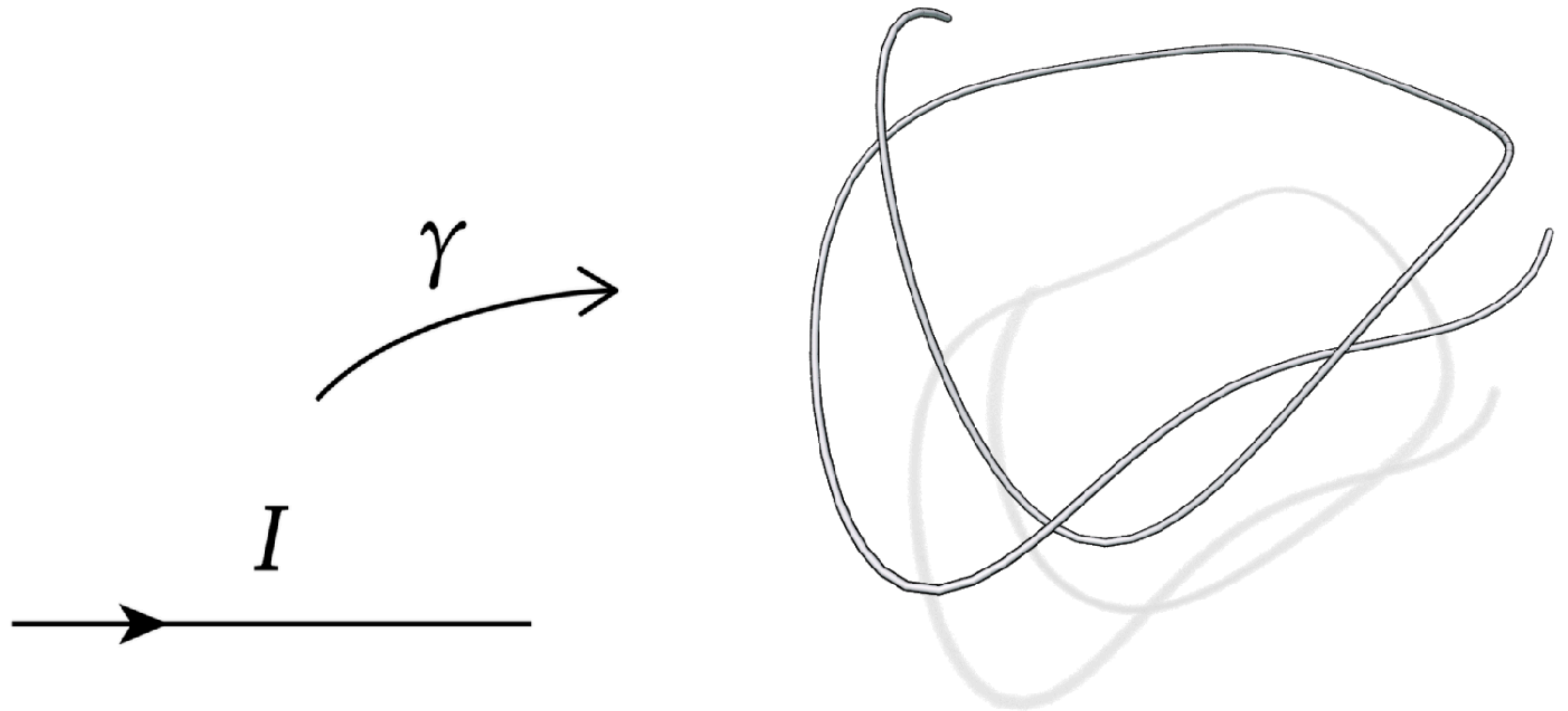
Im Gegensatz zu komplexen Zahlen kann Houdini natürlicher Weise mit Quaternionen umgehen.

Bequeme Funktionen sind z.B.:

- $\text{quaternion}(\alpha, X) \mapsto q$
- $\text{qrotate}(q, X) \mapsto \bar{q}Xq$
- $\text{vector4 } q = \text{dihedral}(X, Y)$ mit $Y = \bar{q}Xq$
 - Das Punktattribut “**p@orient**” wird vom “Copy to Points”-Knoten benutzt

FRENET-RAHMEN FÜR RAUMKURVEN

Eine Raumkurve ist eine Abbildung $\gamma: I \rightarrow \mathbb{R}^3$

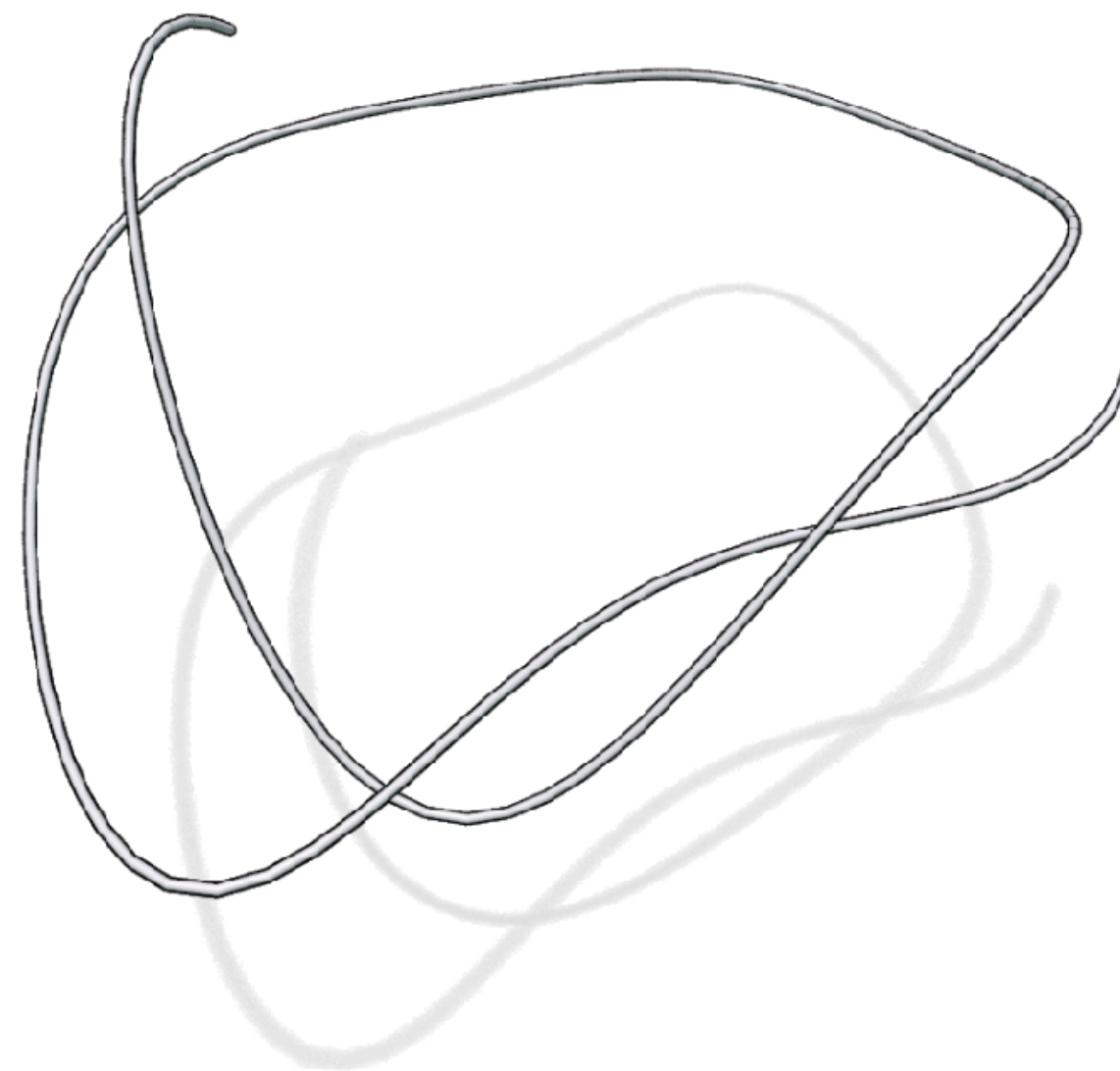


FRENET-RAHMEN FÜR RAUMKURVEN

Eine Raumkurve ist eine Abbildung $\gamma: I \rightarrow \mathbb{R}^3$

Eine *gerahmte Kurve* ist eine Raumkurve zusammen mit einem *Rahmen*, d.h. eine Abbildung

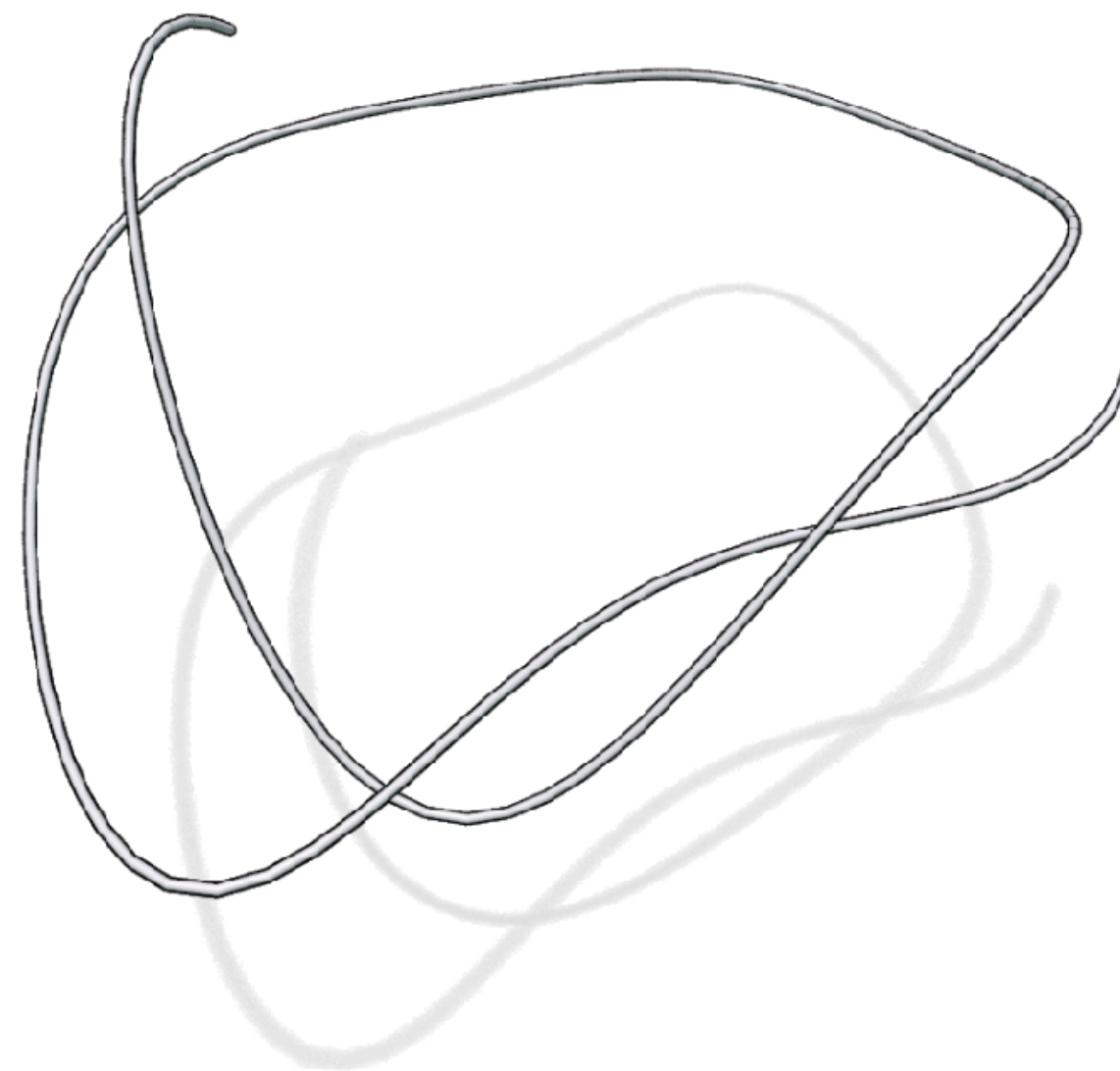
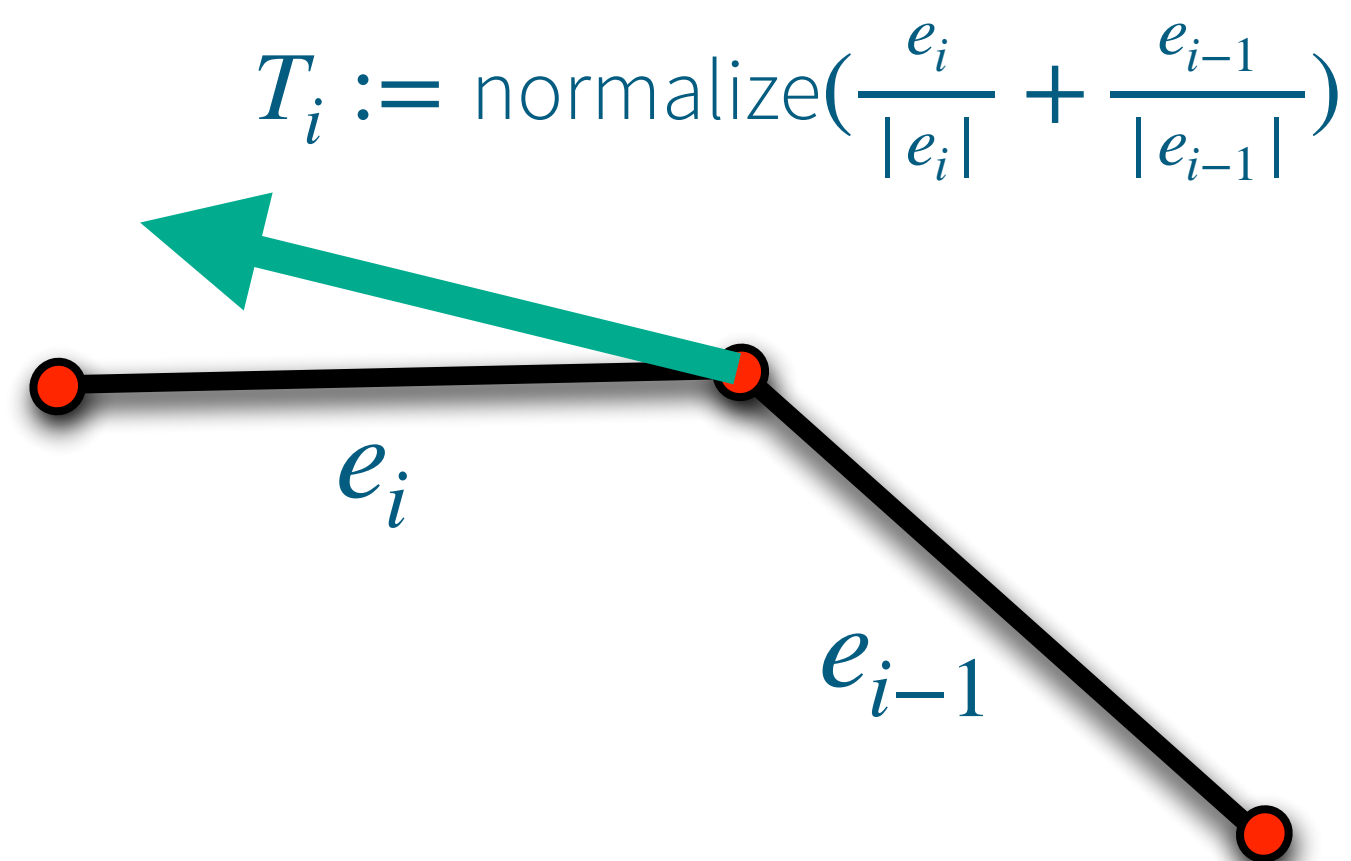
$$F: I \rightarrow \text{SO}(3)$$



FRENET-RAHMEN FÜR RAUMKURVEN

Eine Raumkurve ist eine Abbildung $\gamma: I \rightarrow \mathbb{R}^3$

Ein spezieller Rahmen $(T, N, B): I \rightarrow \text{SO}(3)$
is definiert durch



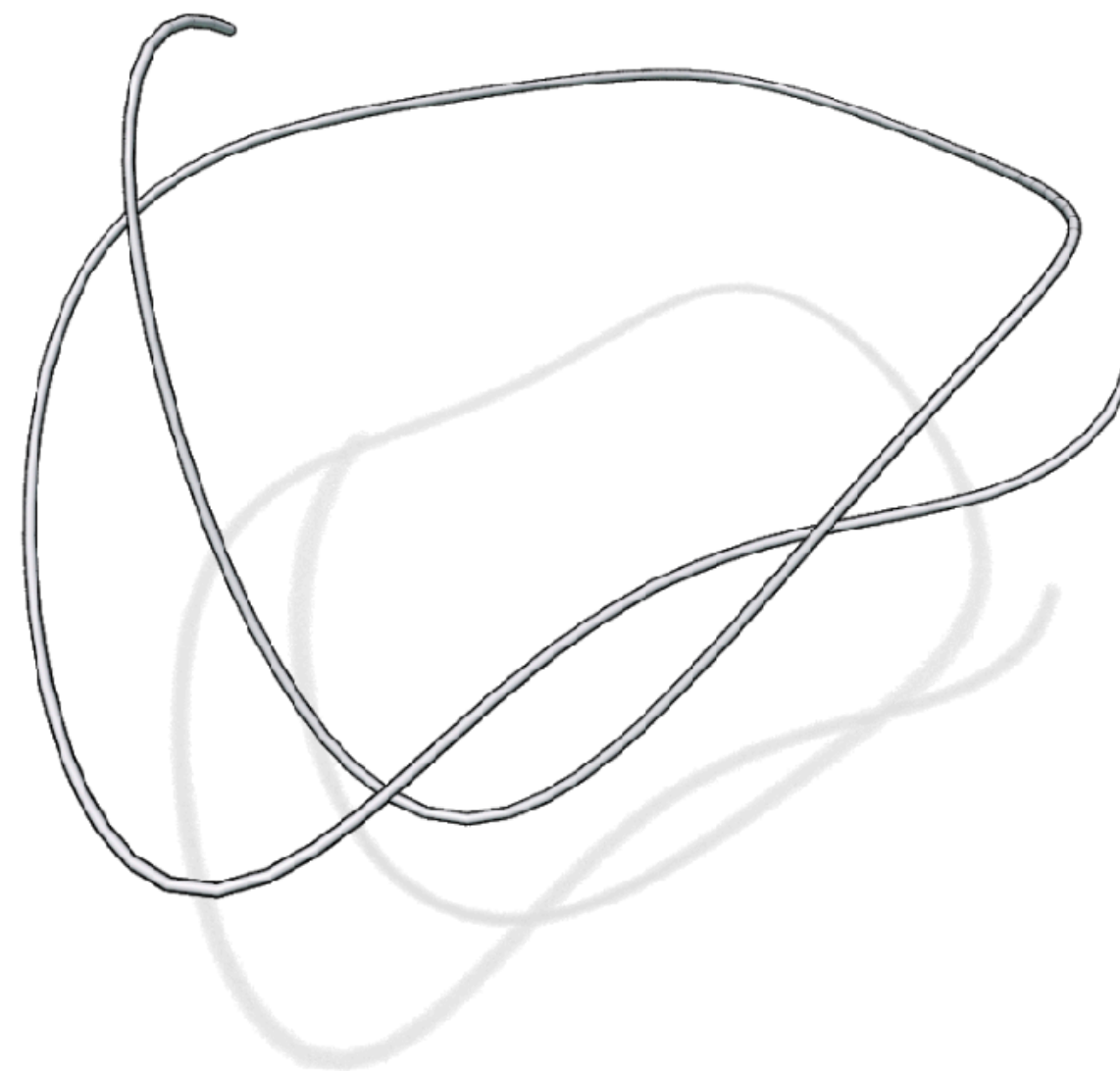
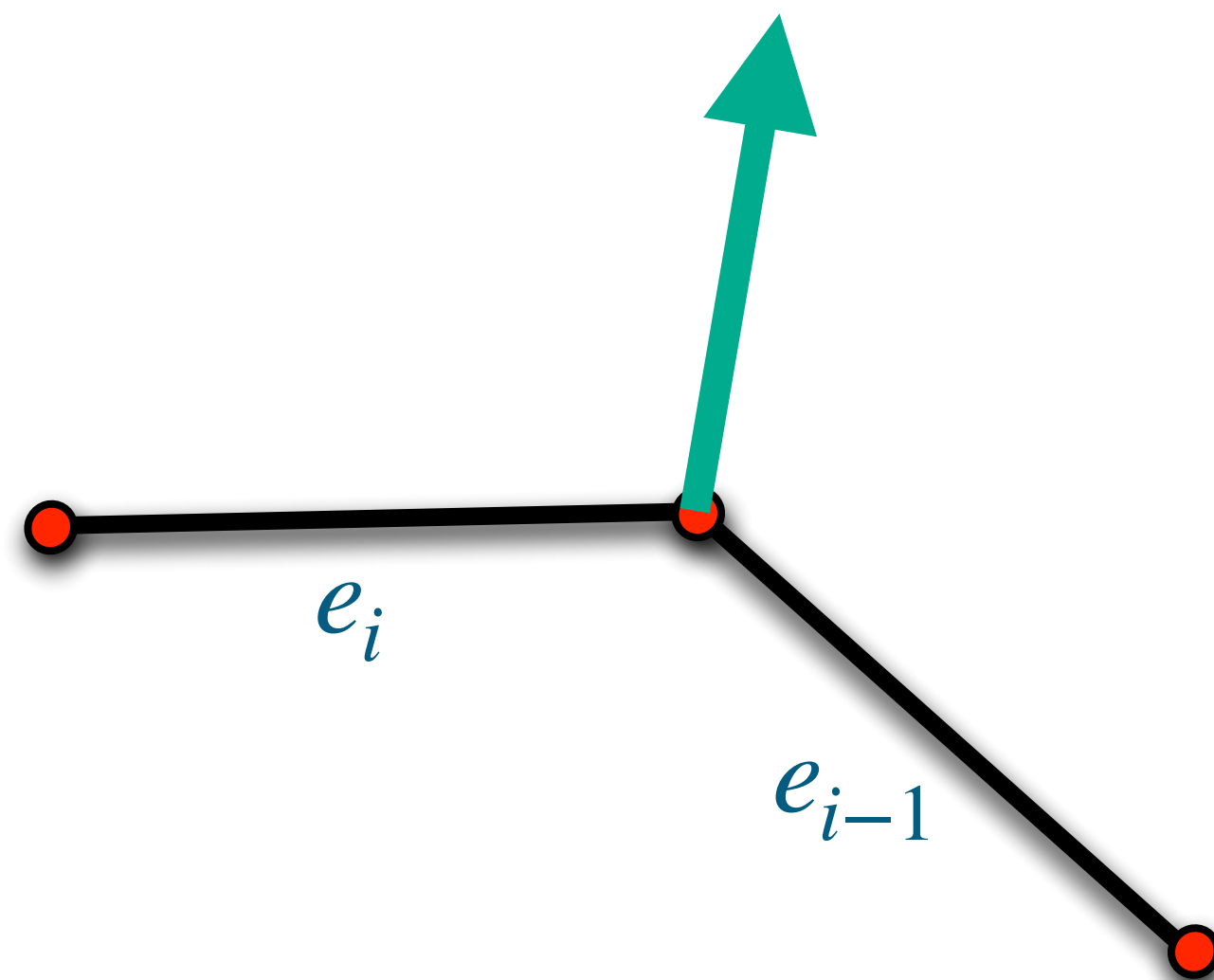
FRENET-RAHMEN FÜR RAUMKURVEN

Eine Raumkurve ist eine Abbildung $\gamma: I \rightarrow \mathbb{R}^3$

Ein spezieller Rahmen $(T, N, B): I \rightarrow \text{SO}(3)$
is definiert durch

$$T_i := \text{normalize}\left(\frac{e_i}{|e_i|} + \frac{e_{i-1}}{|e_{i-1}|}\right)$$

$$B_i := \text{normalize}\left(\frac{e_i}{|e_i|} \times \frac{e_{i-1}}{|e_{i-1}|}\right)$$



FRENET-RAHMEN FÜR RAUMKURVEN

Eine Raumkurve ist eine Abbildung $\gamma: I \rightarrow \mathbb{R}^3$

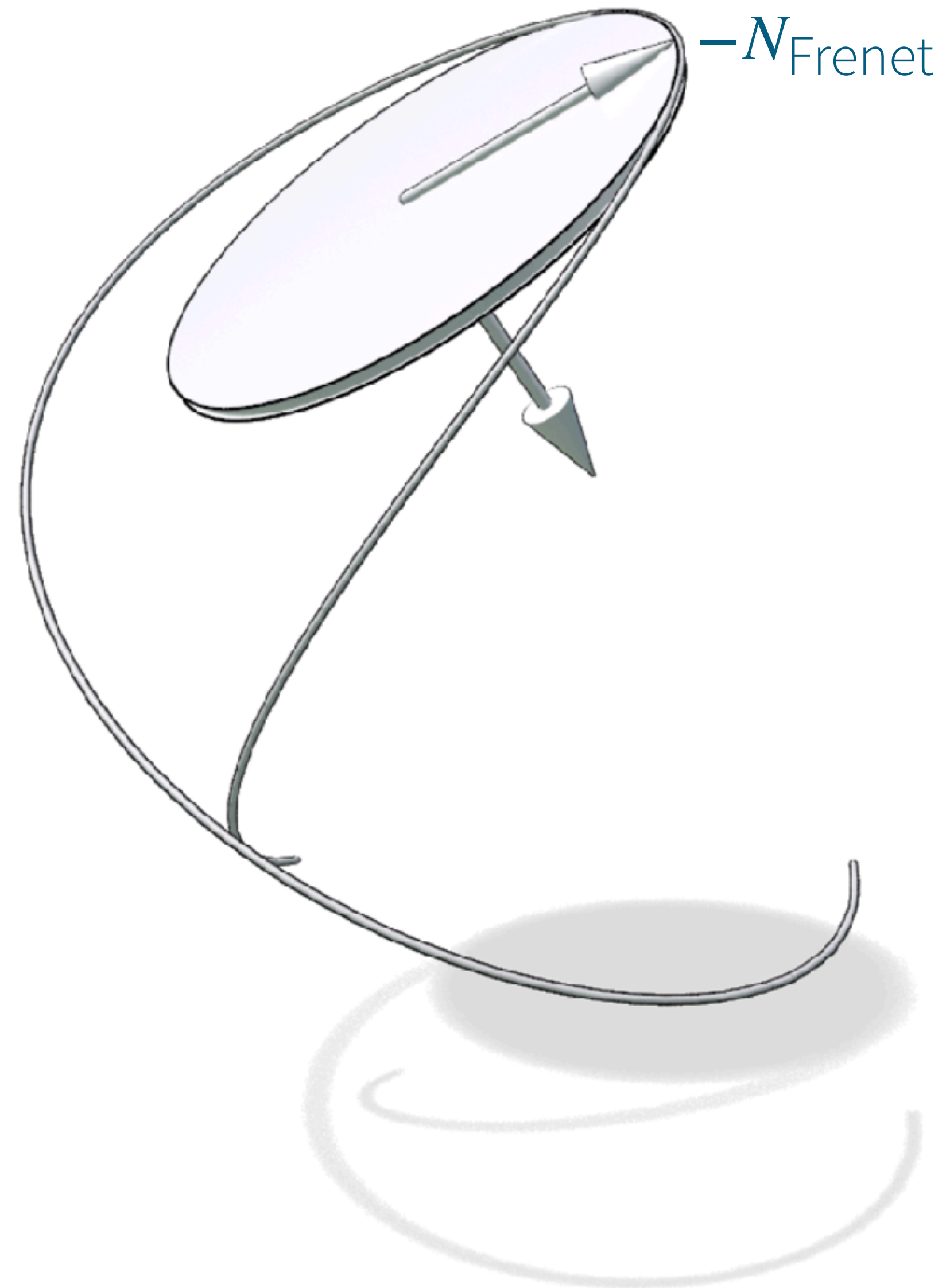
Ein spezieller Rahmen $(T, N, B): I \rightarrow \text{SO}(3)$
is definiert durch

$$T_i := \text{normalize}\left(\frac{e_i}{|e_i|} + \frac{e_{i-1}}{|e_{i-1}|}\right)$$

$$B_i := \text{normalize}\left(\frac{e_i}{|e_i|} \times \frac{e_{i-1}}{|e_{i-1}|}\right)$$

$$N_i \text{ definiert durch } B_i = T_i \times N_i$$

Frenet-Rahmen



FRENET-RAHMEN FÜR RAUMKURVEN

Eine Raumkurve ist eine Abbildung $\gamma: I \rightarrow \mathbb{R}^3$

Ein spezieller Rahmen $(T, N, B): I \rightarrow \text{SO}(3)$ ist definiert durch

$$T_i := \text{normalize}\left(\frac{e_i}{|e_i|} + \frac{e_{i-1}}{|e_{i-1}|}\right)$$

$$B_i := \text{normalize}\left(\frac{e_i}{|e_i|} \times \frac{e_{i-1}}{|e_{i-1}|}\right)$$

$$N_i \text{ definiert durch } B_i = T_i \times N_i$$

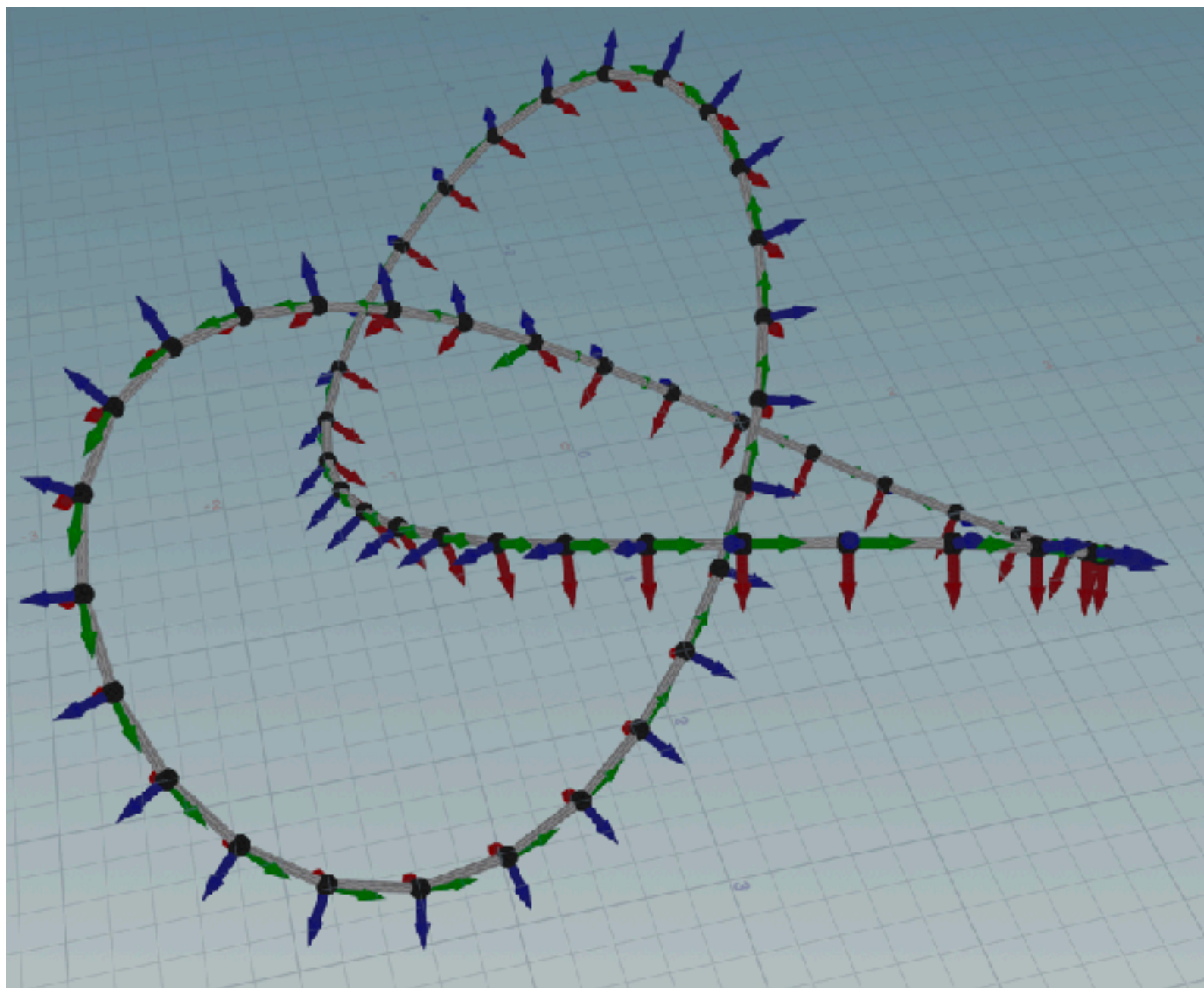
Frenet-Rahmen



RENDERING

Übung:

- a) Visualisiere den Frenet Rahmen einer geschlossenen Raumkurve mit Hilfe von einem “*Copy to Points*”-Knoten und den Attributen $p@orient$ und $f@pscale$



ANIMATIONEN

ANIMATIONEN

Eine Frame Abhängigkeit der aktuellen Szene kann für Animationen genutzt werden:



ANIMATIONEN

Eine Frame Abhängigkeit der aktuellen Szene kann für Animationen genutzt werden:



ANIMATIONEN

Eine Frame Abhängigkeit der aktuellen Szene kann für Animationen genutzt werden:

- Keyframes

→ über **option + Click** in den jeweiligen parameter



ANIMATIONEN

Eine Frame Abhängigkeit der aktuellen Szene kann für Animationen genutzt werden:

- Keyframes

→ über **option + Click** in den jeweiligen parameter



ANIMATIONEN

Eine Frame Abhängigkeit der aktuellen Szene kann für Animationen genutzt werden:

- Keyframes
- Hscript

→ über **\$F** in Parameter Variablen im Parameter view



ANIMATIONEN

Eine Frame Abhängigkeit der aktuellen Szene kann für Animationen genutzt werden:

- Keyframes
- Hscript

→ über **\$F** in Parameter Variablen im Parameter view



ANIMATIONEN

Eine Frame Abhängigkeit der aktuellen Szene kann für Animationen genutzt werden:

- Keyframes
- Hscript
- VEX

→ über **@Frame** in VEX-code



ANIMATIONEN

Eine Frame Abhängigkeit der aktuellen Szene kann für Animationen genutzt werden:

- Keyframes
- Hscript
- VEX

→ über **@Frame** in VEX-code



ANIMATIONEN

Eine Frame Abhängigkeit der aktuellen Szene kann für Animationen genutzt werden:

- Keyframes
- Hscript
- VEX
- Solver Knoten



ANIMATIONEN

Eine Frame Abhängigkeit der aktuellen Szene kann für Animationen genutzt werden:

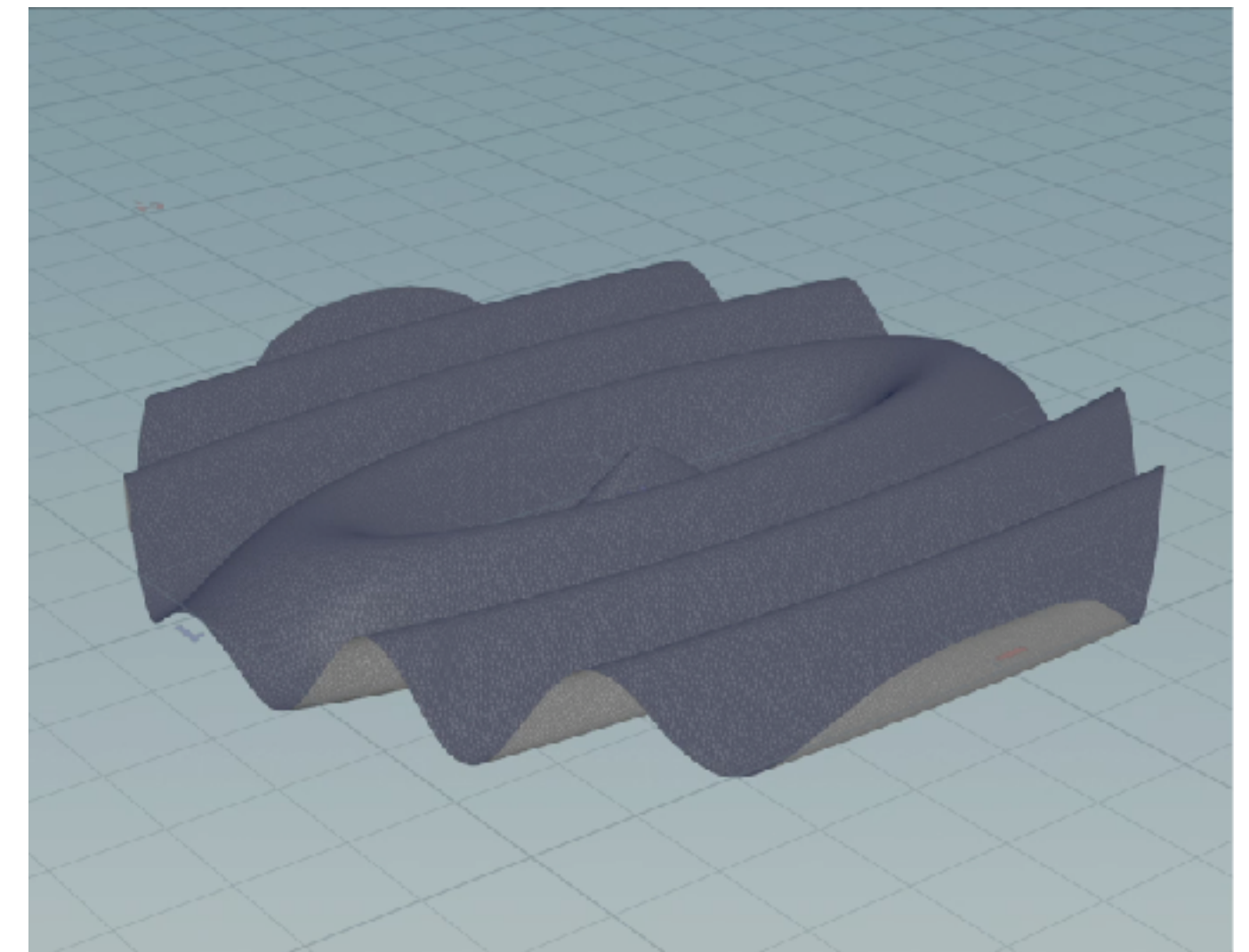
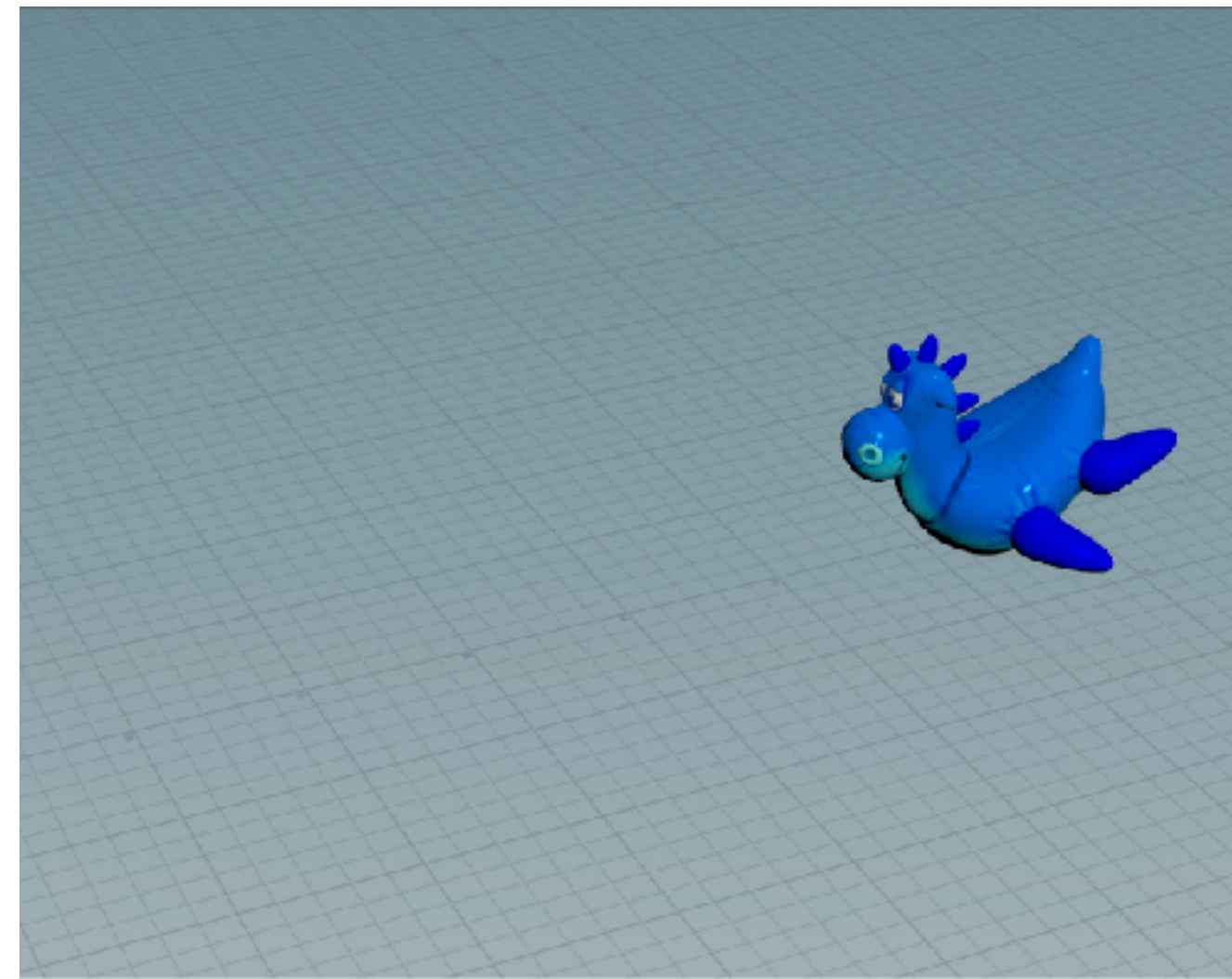
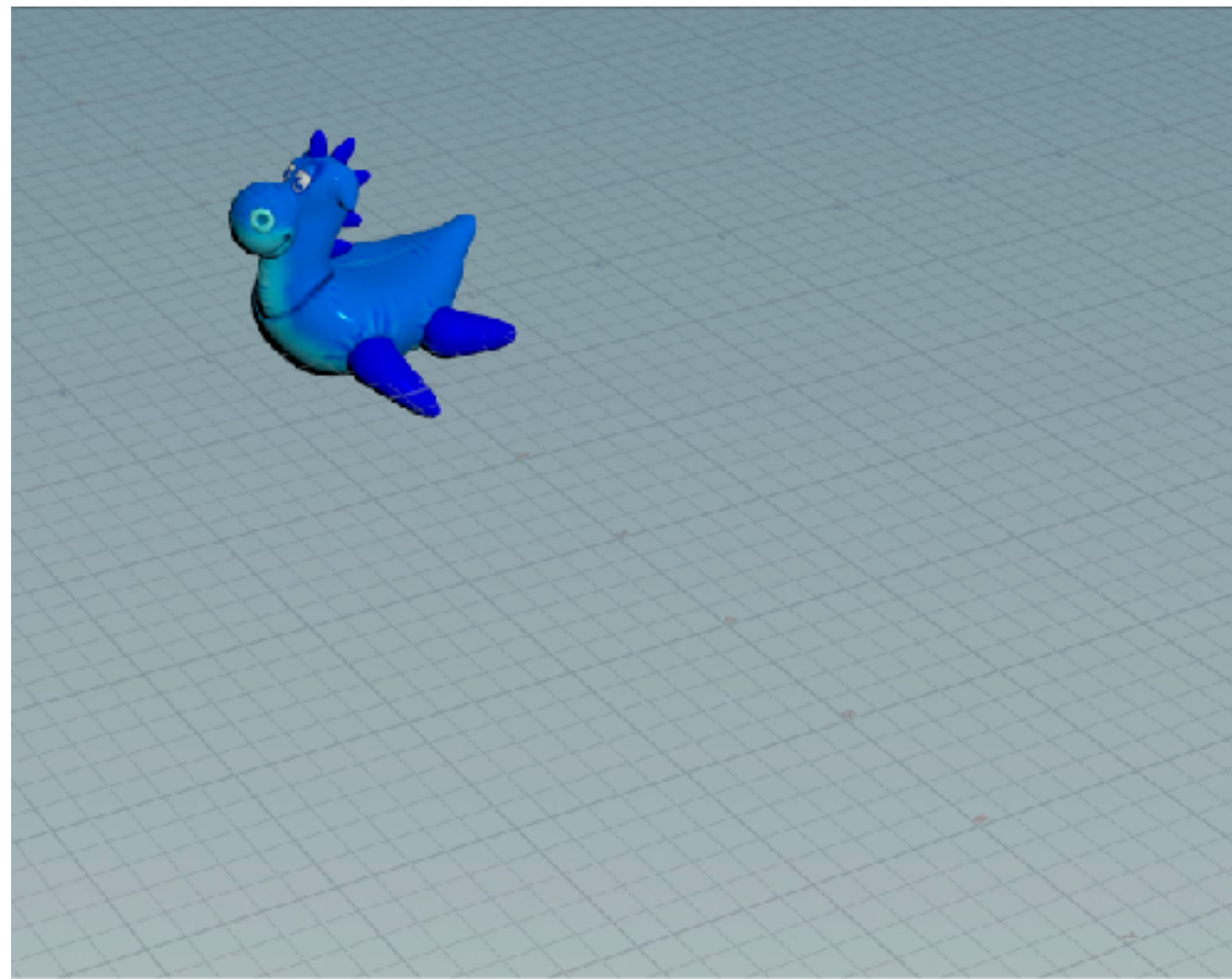
- Keyframes
- Hscript
- VEX
- Solver Knoten



ANIMATION

Aufgabe:

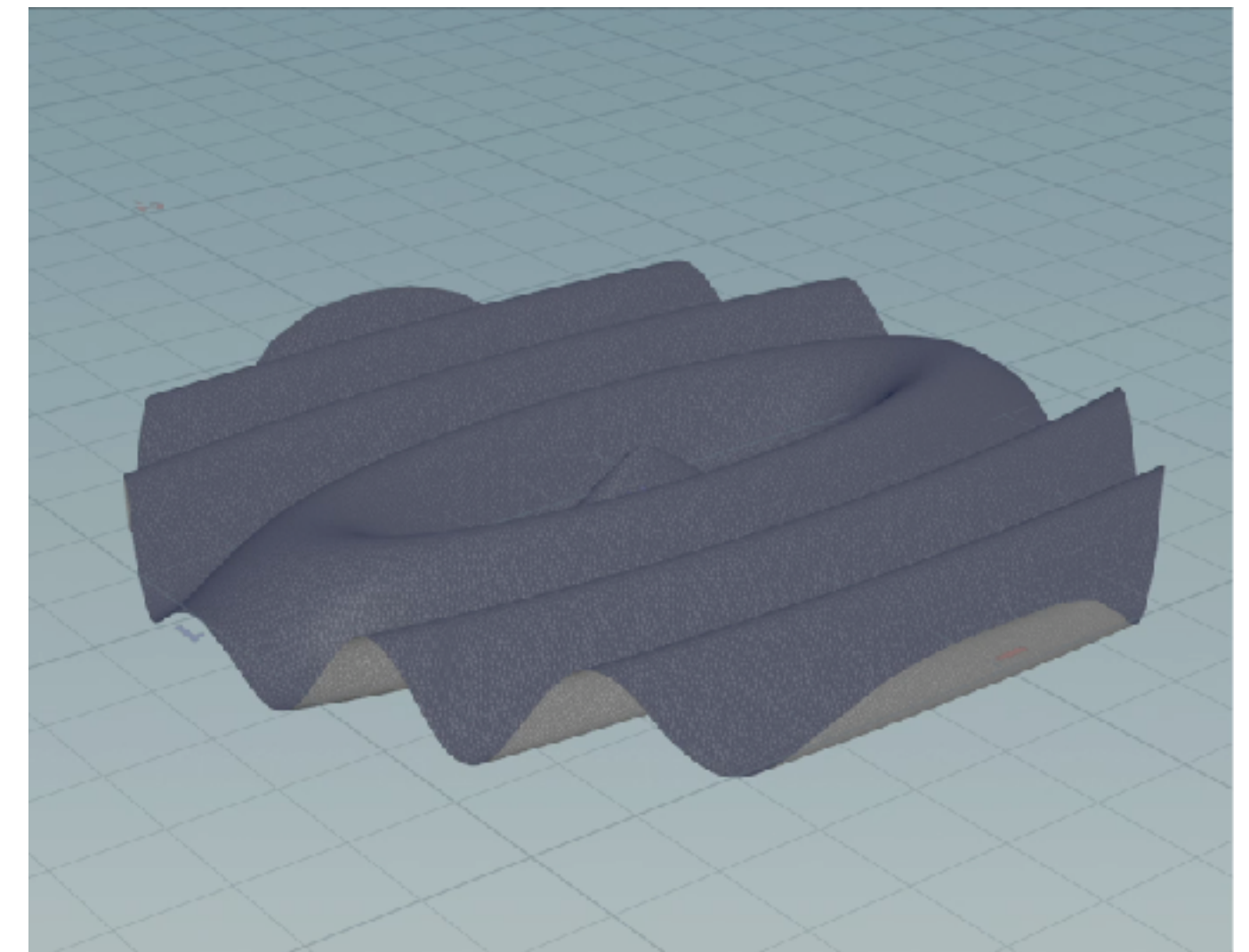
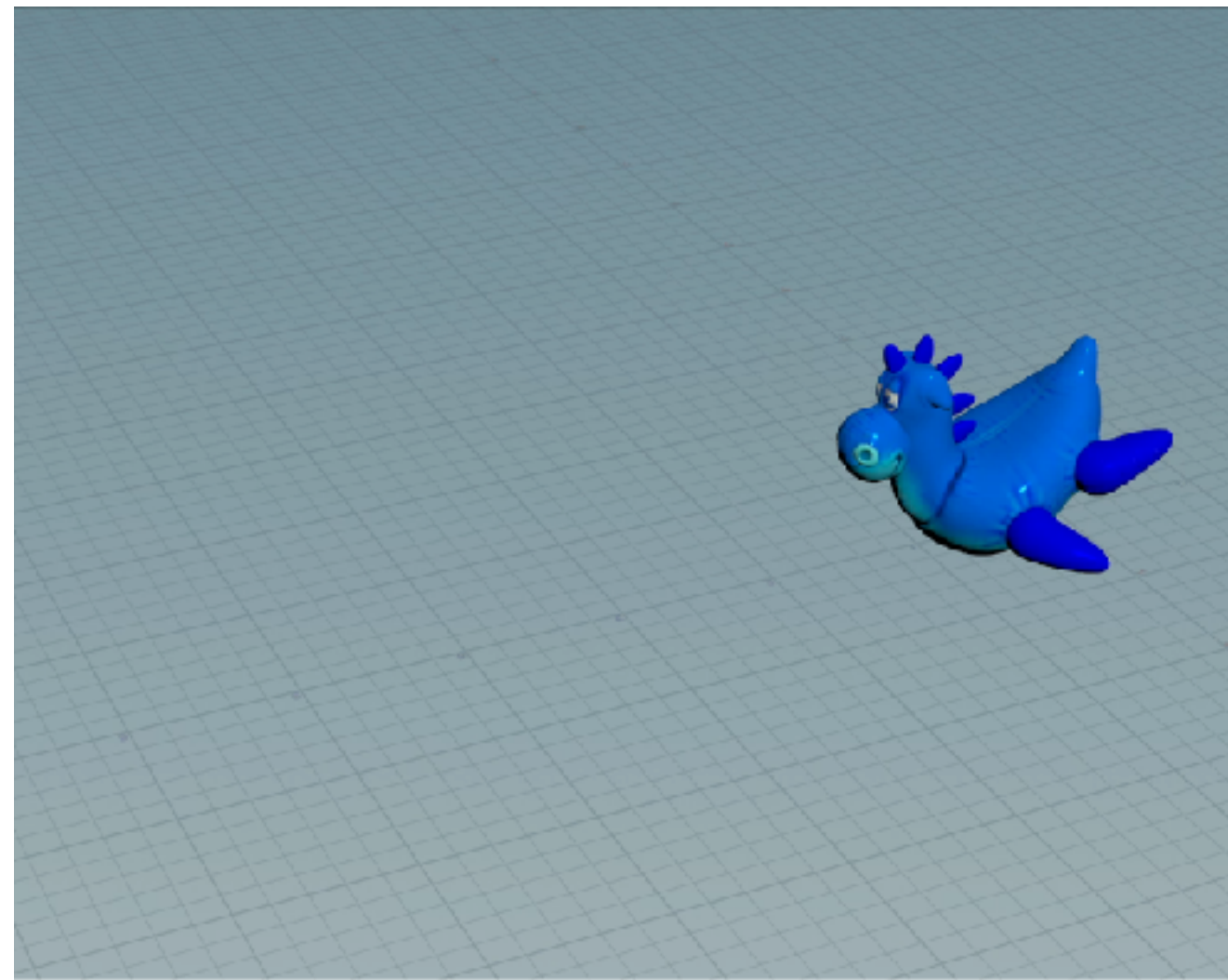
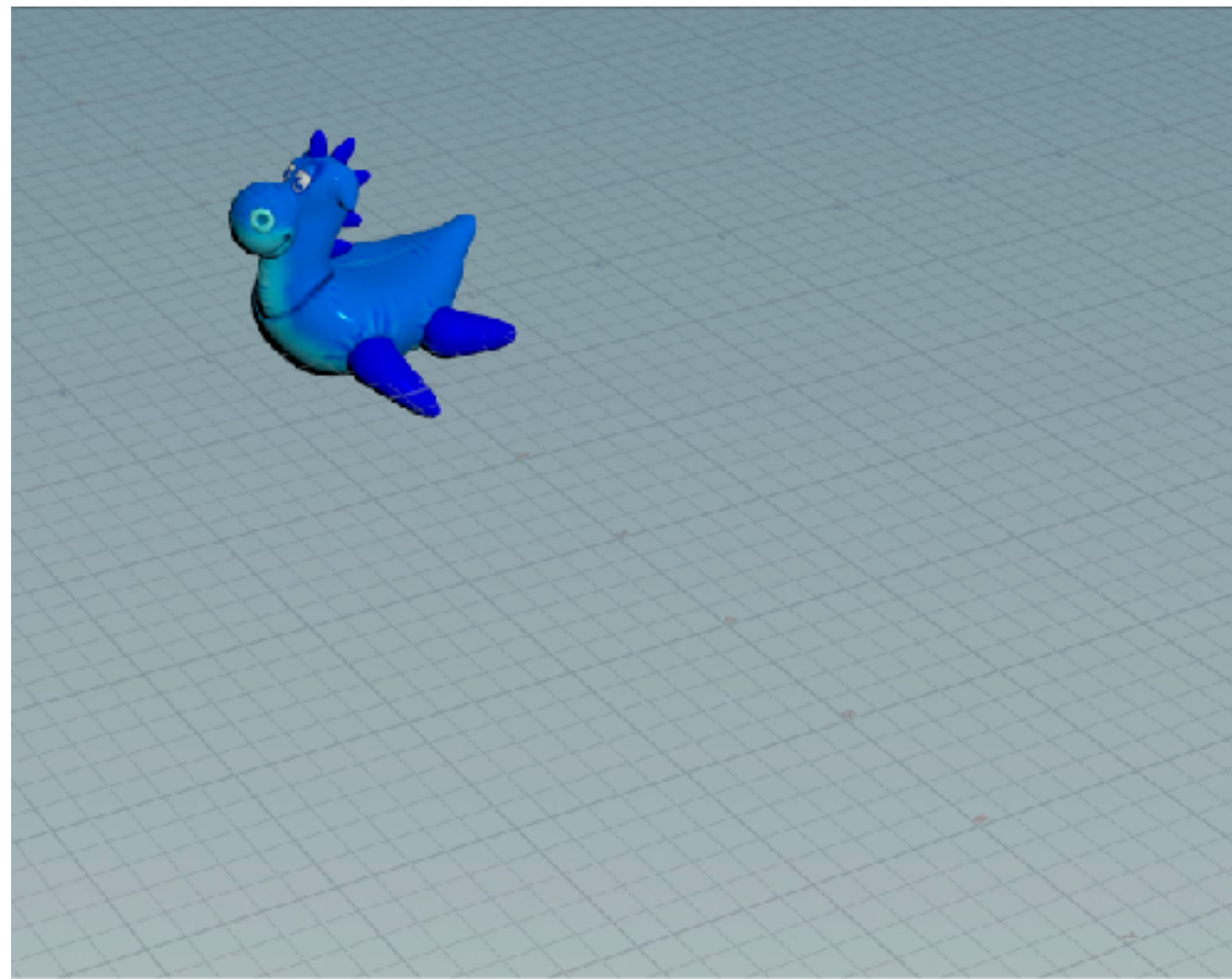
a) Animiere folgende Animationen



ANIMATION

Aufgabe:

a) Animiere folgende Animationen

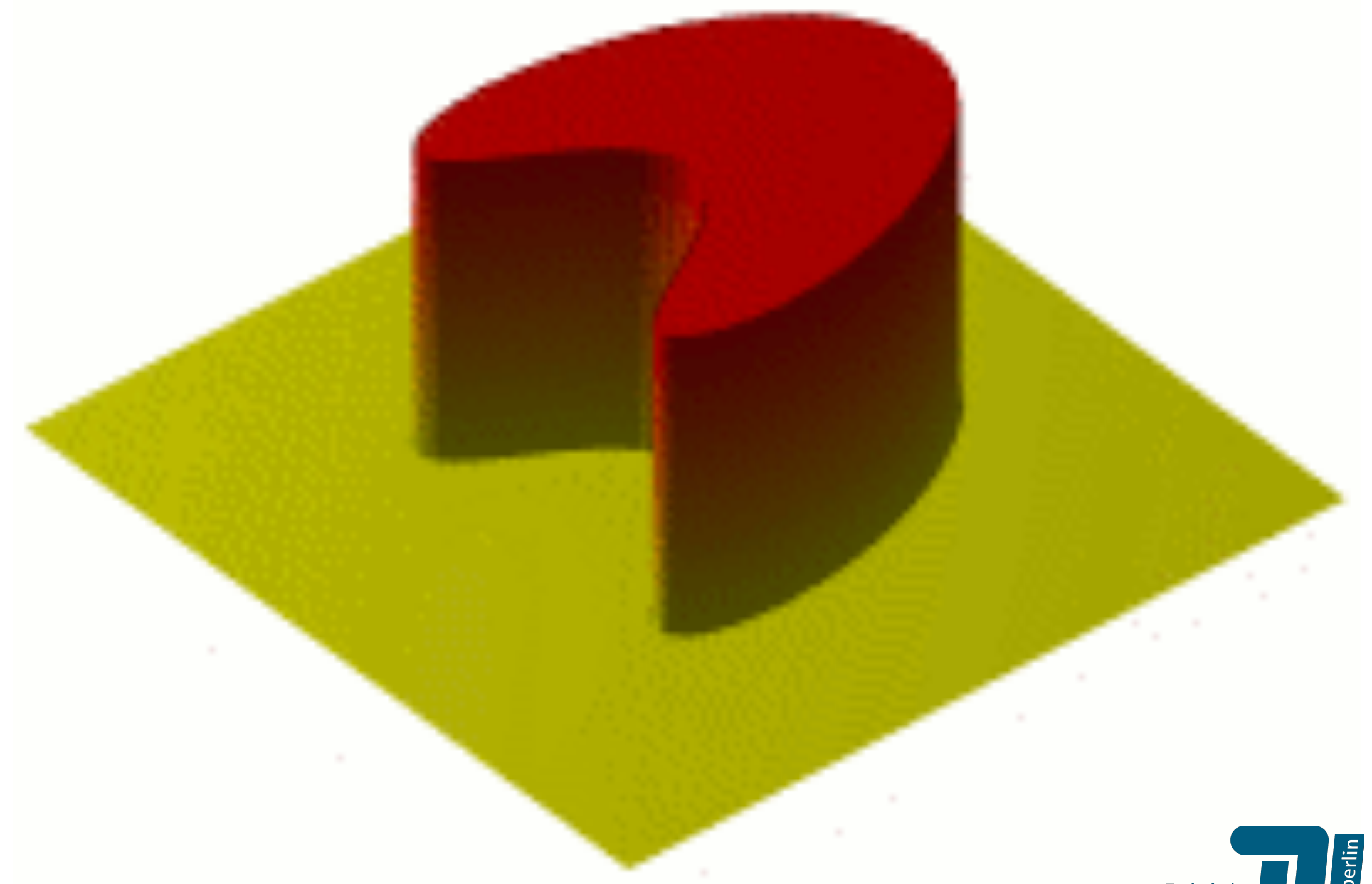


WÄRMELEITUNGSGLEICHUNG

Die Wärmeleitungsgleichung ist gegeben durch

$$\frac{\partial}{\partial t}u = \rho \Delta u,$$

wobei für ein $u: [a, b] \rightarrow \mathbb{R}$ ist $\Delta u = \frac{\partial^2}{\partial x^2}u$.

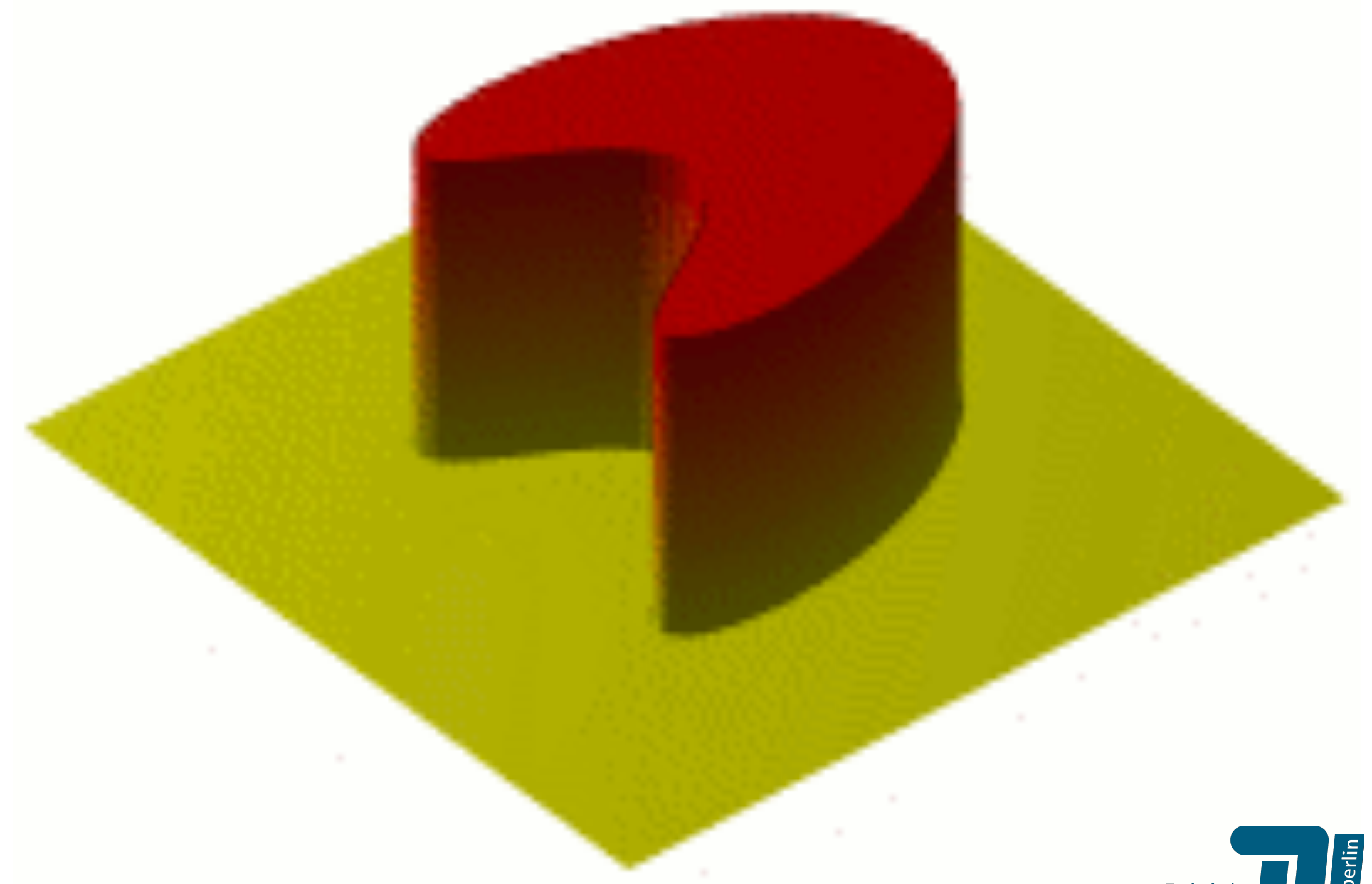


WÄRMELEITUNGSGLEICHUNG

Die Wärmeleitungsgleichung ist gegeben durch

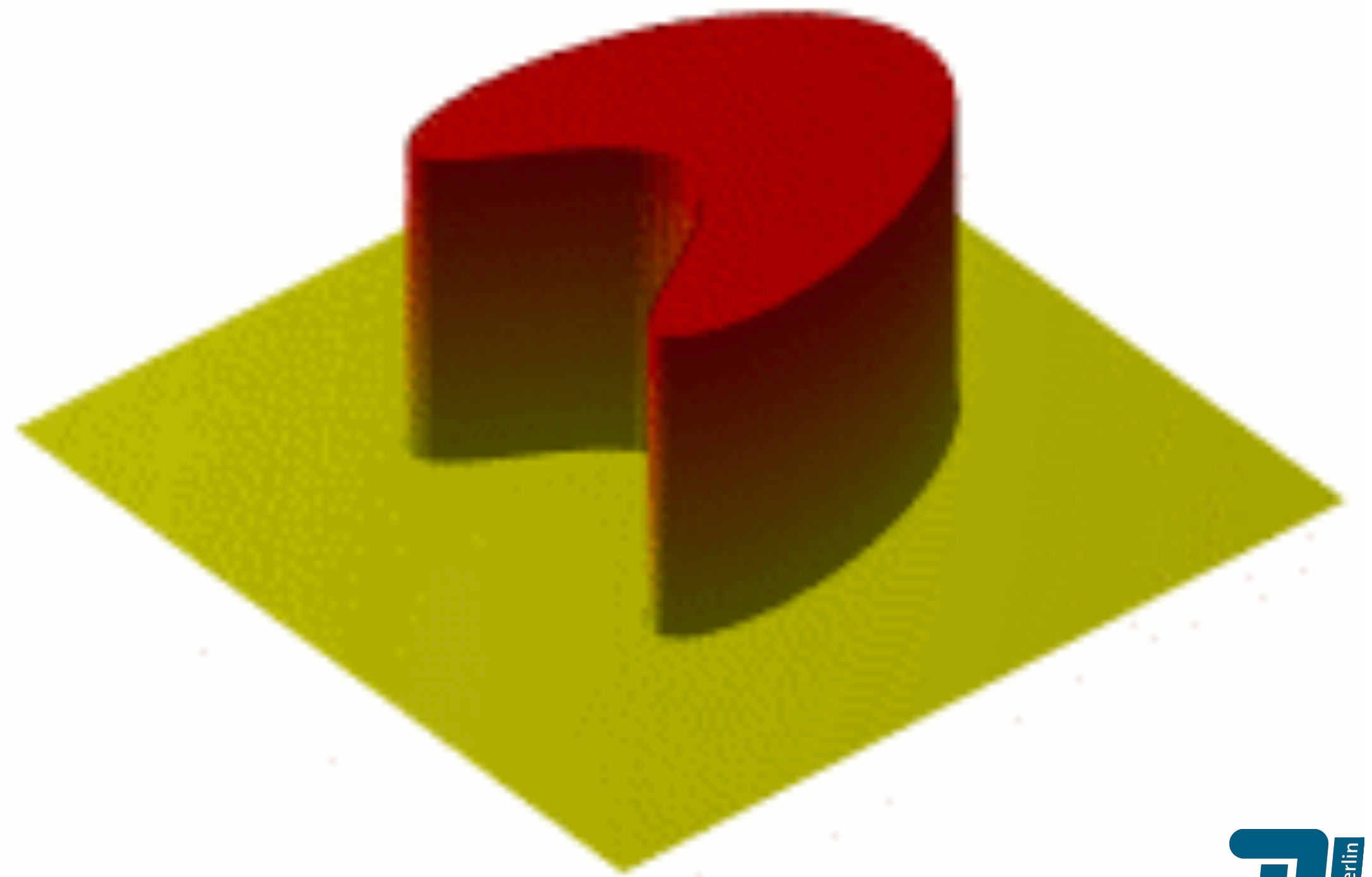
$$\frac{\partial}{\partial t}u = \rho \Delta u,$$

wobei für ein $u: [a, b] \rightarrow \mathbb{R}$ ist $\Delta u = \frac{\partial^2}{\partial x^2}u$.



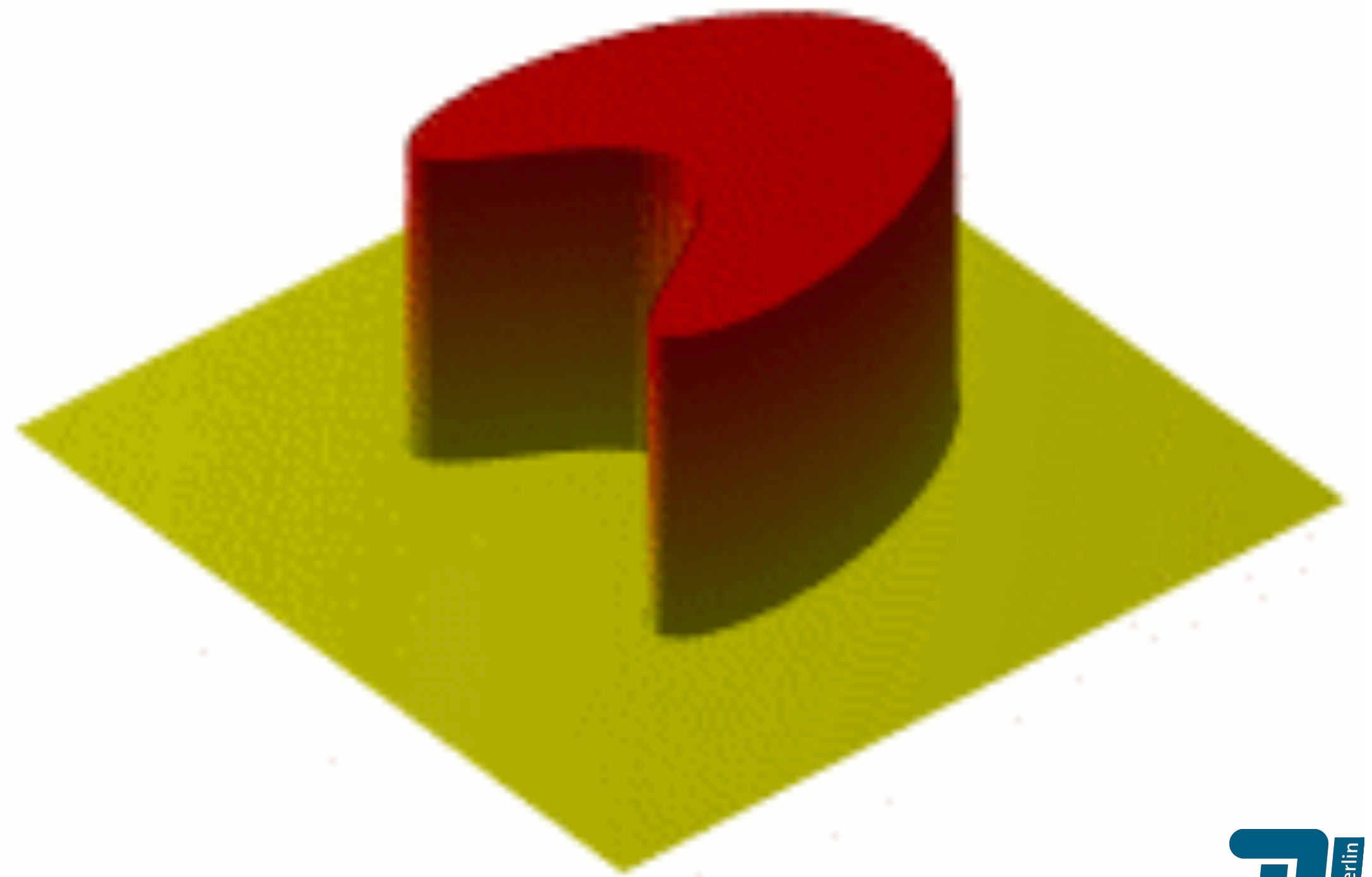
WÄRMELEITUNGSGLEICHUNG

$$\frac{\partial}{\partial t}u = \rho \frac{\partial^2}{\partial x^2}u$$



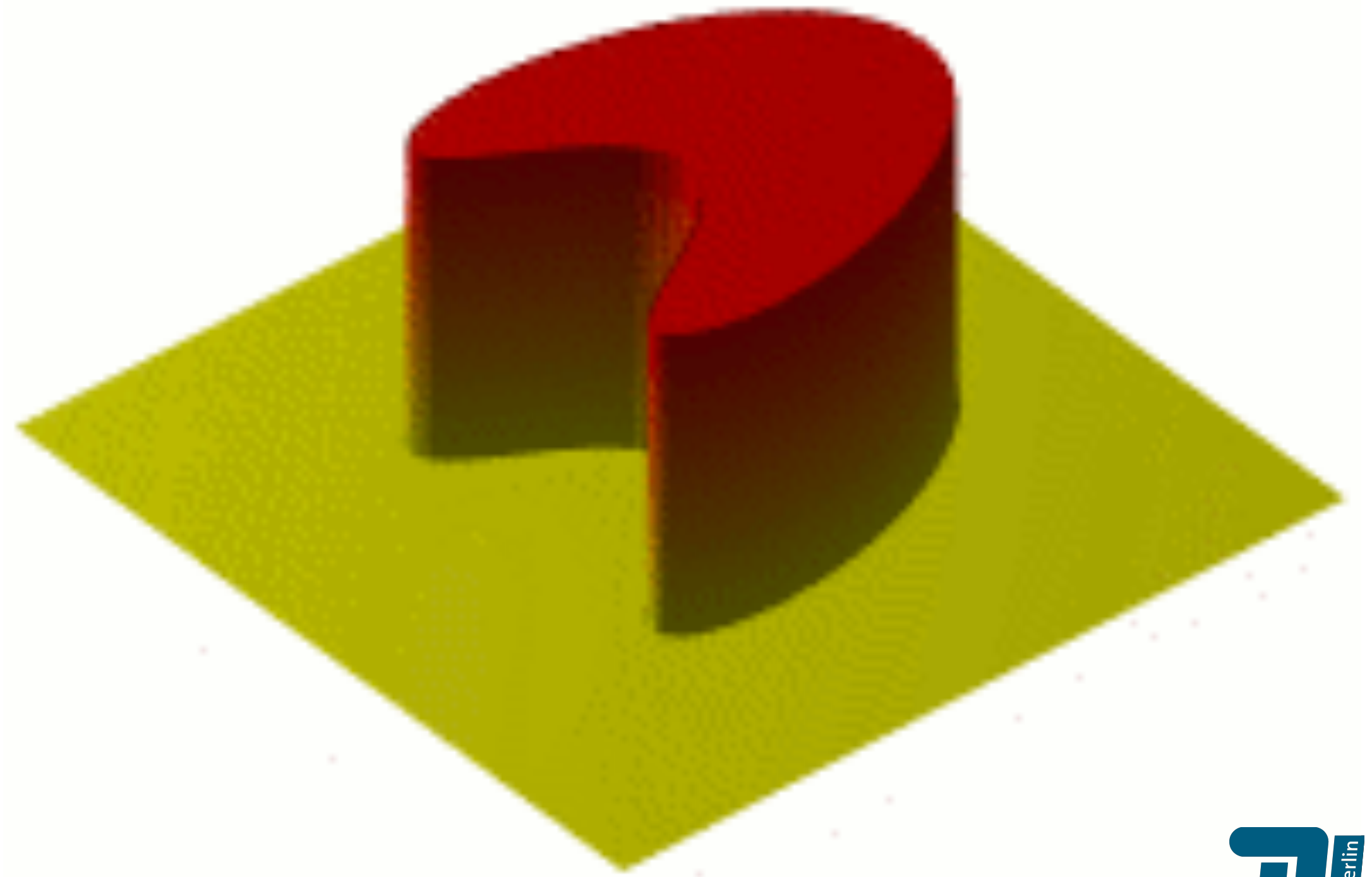
WÄRMELEITUNGSGLEICHUNG

$$\frac{\partial}{\partial t}u = \rho \frac{\partial^2}{\partial x^2}u$$



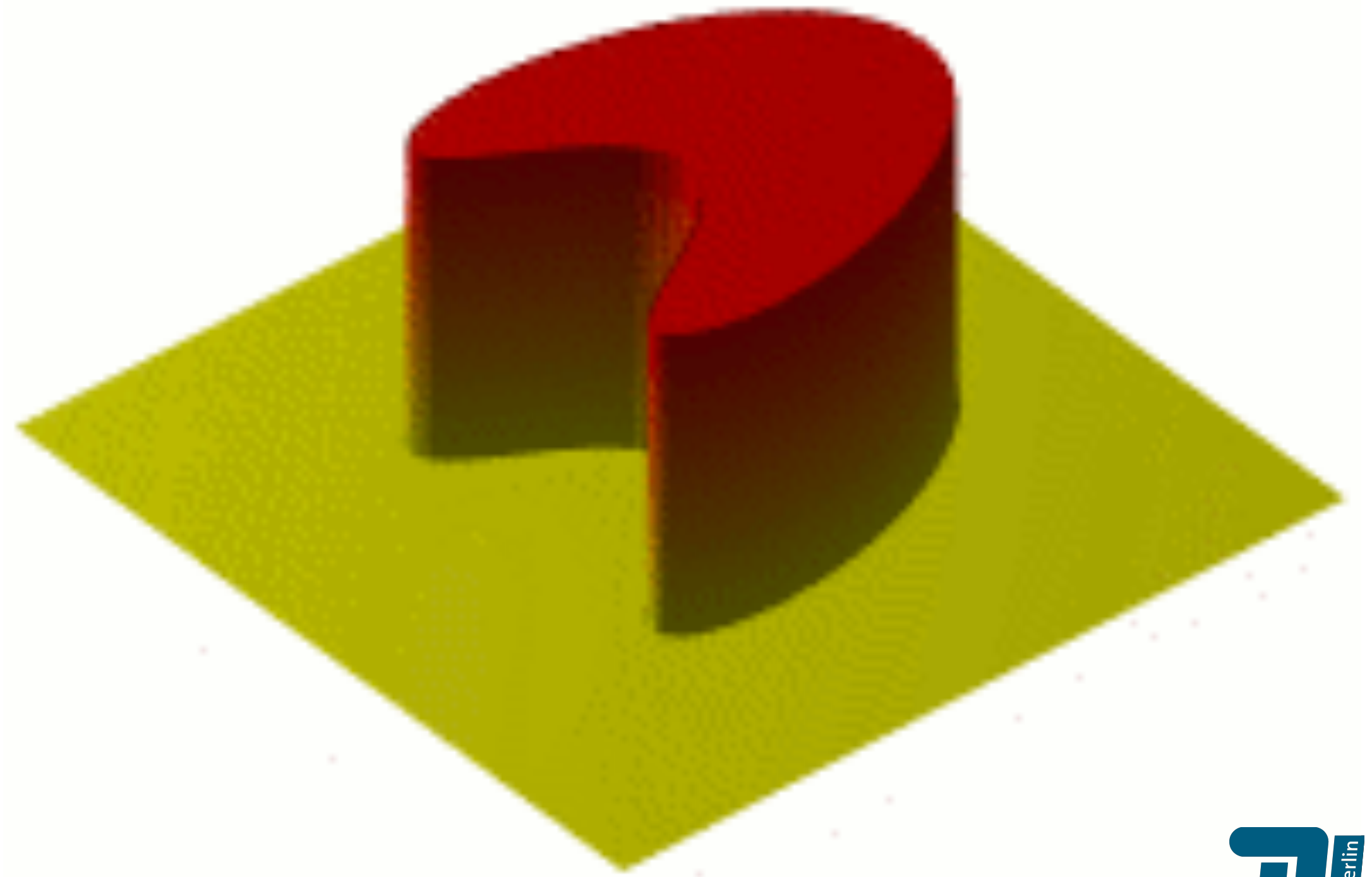
WÄRMELEITUNGSGLEICHUNG

$$\frac{u_x^{t+1} - u_x^t}{\Delta T} = \rho \frac{\partial^2}{\partial x^2} u$$



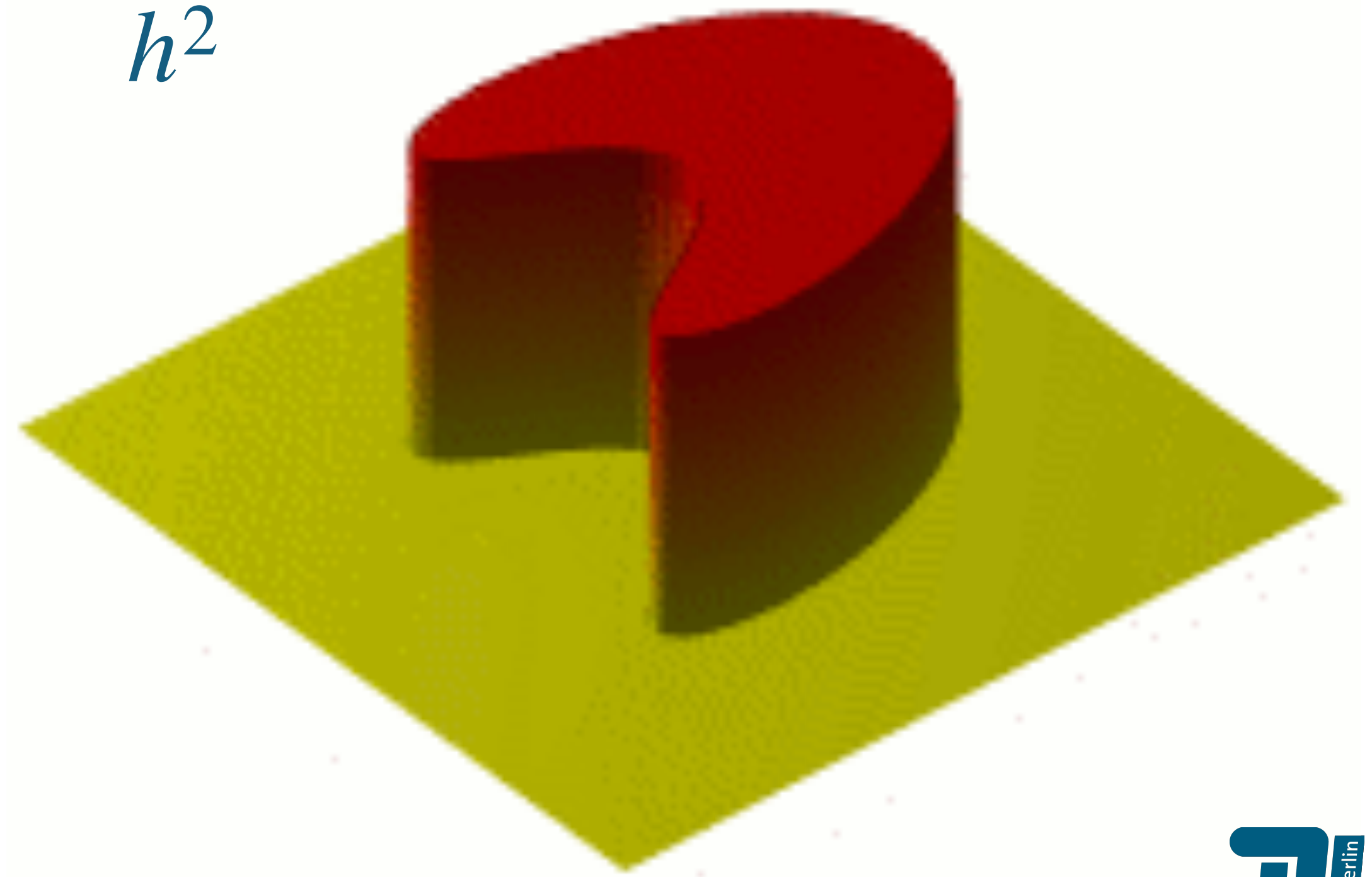
WÄRMELEITUNGSGLEICHUNG

$$\frac{u_x^{t+1} - u_x^t}{\Delta T} = \rho \frac{\partial^2}{\partial x^2} u$$



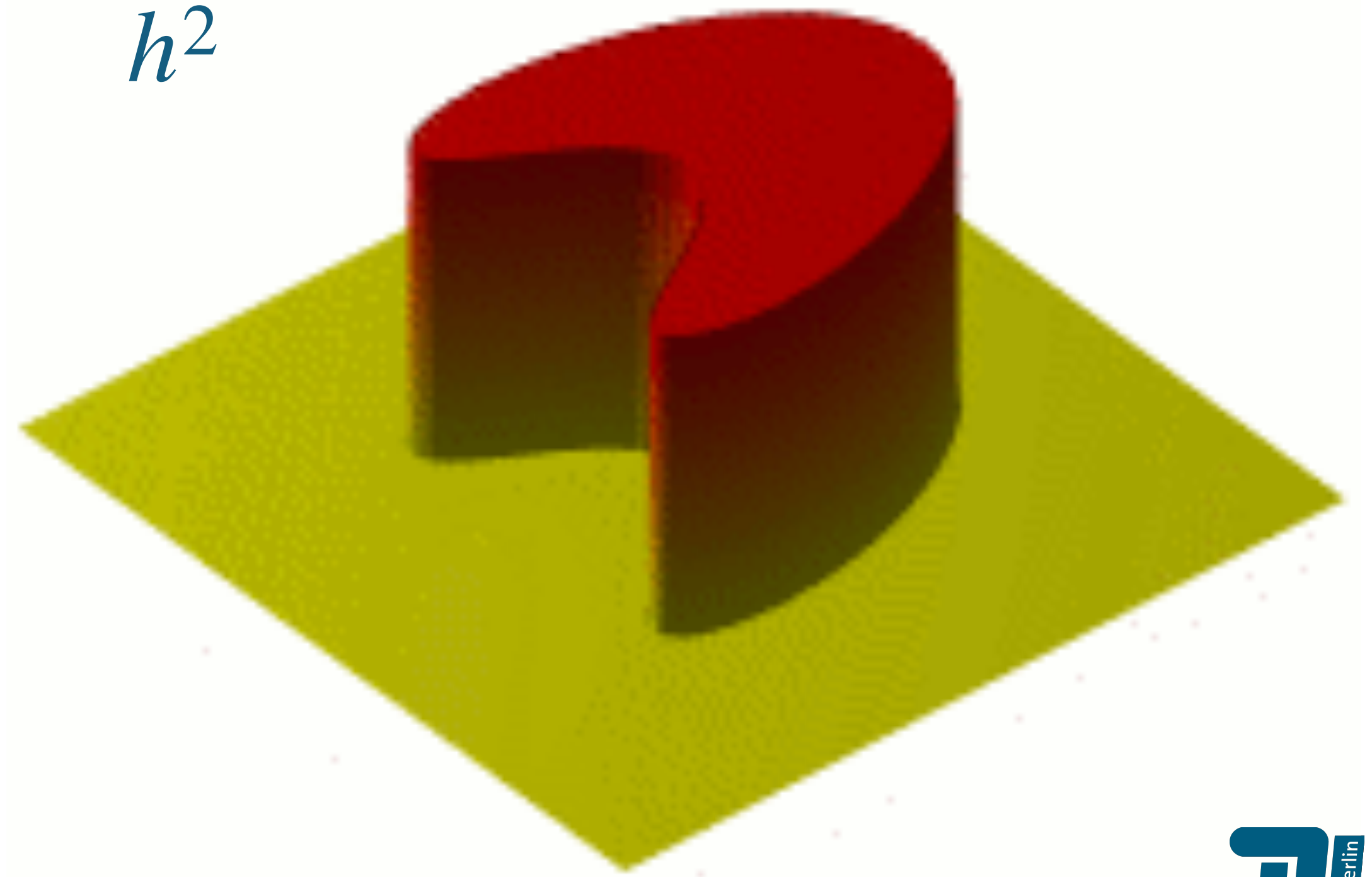
WÄRMELEITUNGSGLEICHUNG

$$\frac{u_x^{t+1} - u_x^t}{\Delta T} = \rho \frac{u_{x+1}^t - 2u_x^t + u_{x-1}^t}{h^2}$$



WÄRMELEITUNGSGLEICHUNG

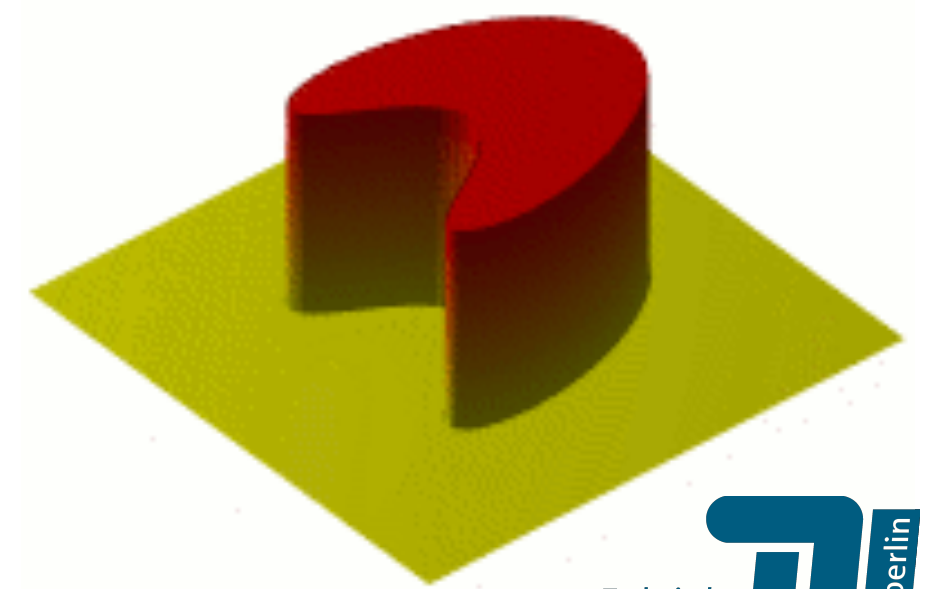
$$\frac{u_x^{t+1} - u_x^t}{\Delta T} = \rho \frac{u_{x+1}^t - 2u_x^t + u_{x-1}^t}{h^2}$$



WÄRMELEITUNGSGLEICHUNG

$$\frac{u_x^{t+1} - u_x^t}{\Delta T} = \rho \frac{u_{x+1}^t - 2u_x^t + u_{x-1}^t}{h^2}$$

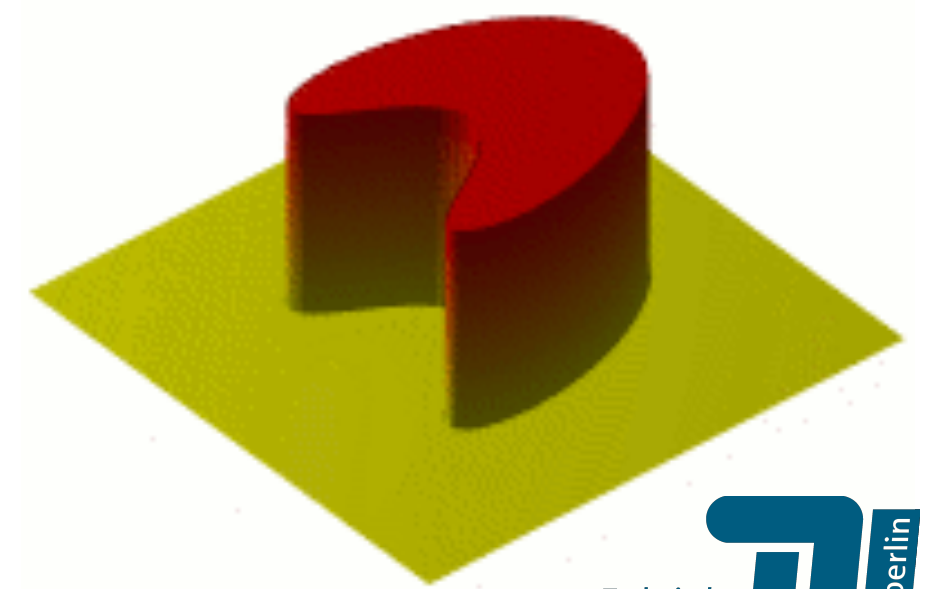
$$u_x^{t+1} = u_x^t + \frac{\rho \Delta T}{h^2} (u_{x+1}^t - 2u_x^t + u_{x-1}^t)$$



WÄRMELEITUNGSGLEICHUNG

$$\frac{u_x^{t+1} - u_x^t}{\Delta T} = \rho \frac{u_{x+1}^t - 2u_x^t + u_{x-1}^t}{h^2}$$

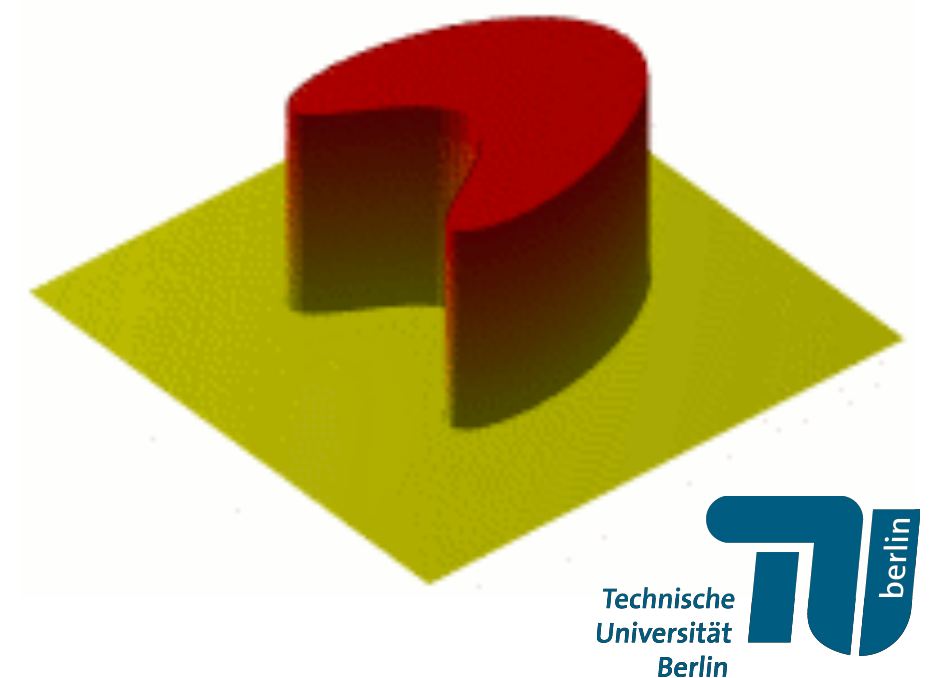
$$u_x^{t+1} = u_x^t + \frac{\rho \Delta T}{h^2} (u_{x+1}^t - 2u_x^t + u_{x-1}^t)$$



WÄRMELEITUNGSGLEICHUNG

$$u_x^{t+1} = u_x^t + k(u_{x+1}^t - 2u_x^t + u_{x-1}^t)$$

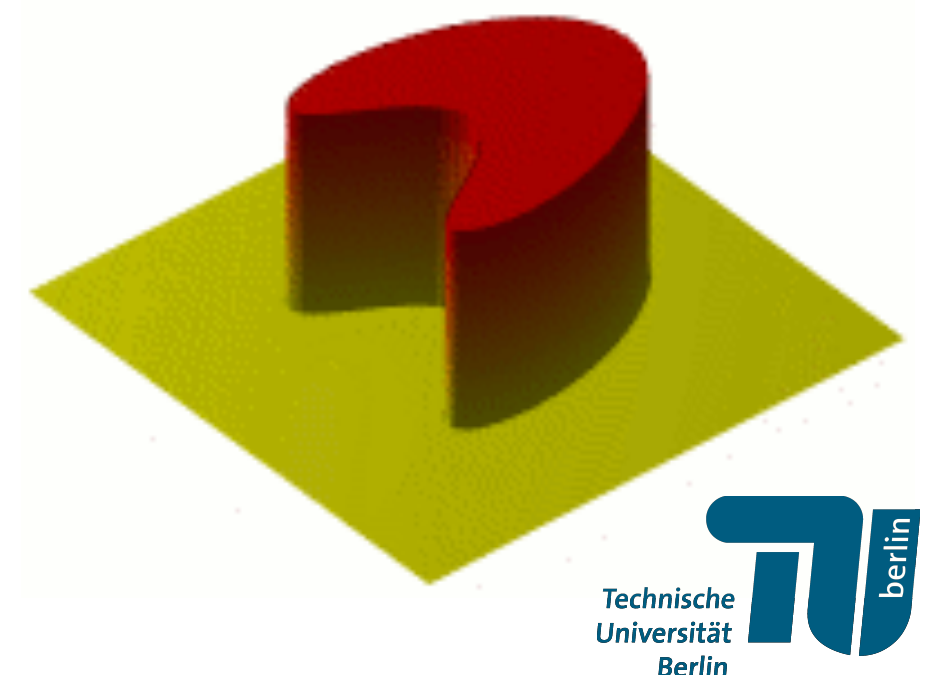
“Forward Euler”- Methode mit Schrittweite $k > 0$.



WÄRMELEITUNGSGLEICHUNG

$$u_x^{t+1} = u_x^t + k(u_{x+1}^t - 2u_x^t + u_{x-1}^t)$$

“Forward Euler”- Methode mit Schrittweite $k > 0$.

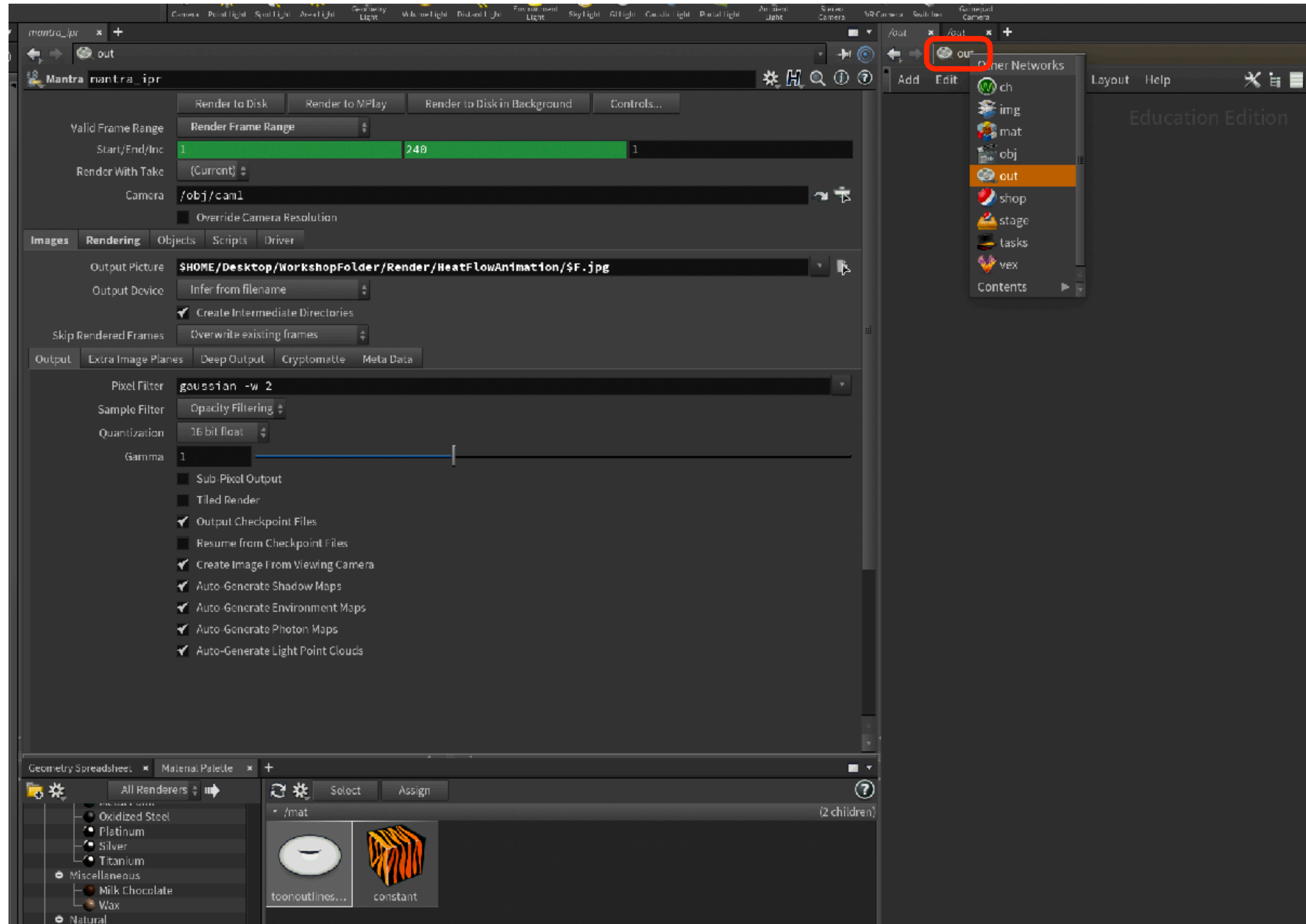


ANIMATION

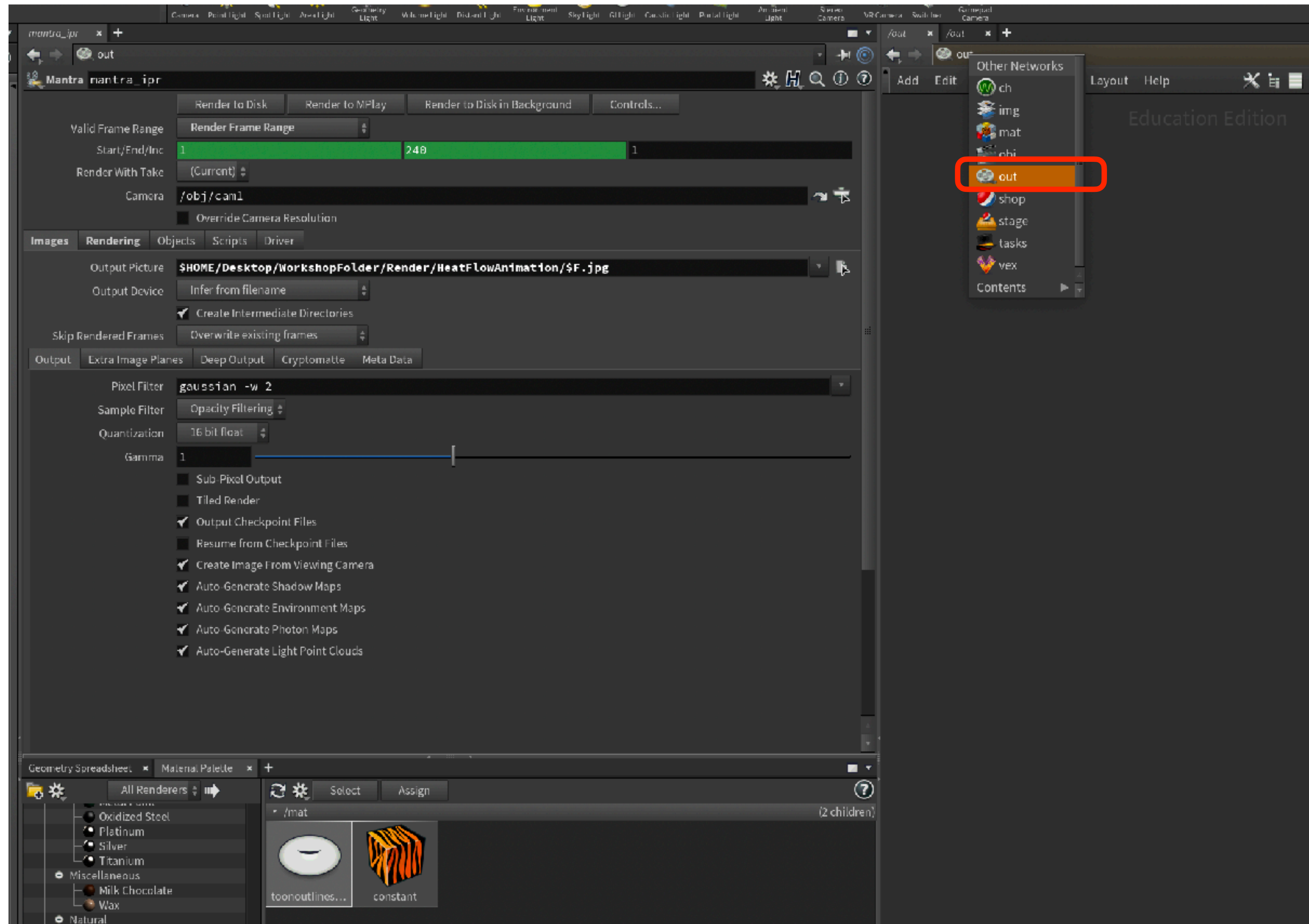
Übung:

- a) Nutze einen “Solver”-Knoten um forward-Euler heat flow in 1-D zu visualisieren.
- (1) Mit freier Randbedingung
 - (2) Mit festgehaltener Randbedingung
 - (3) Mit Periodischer Randbedingung

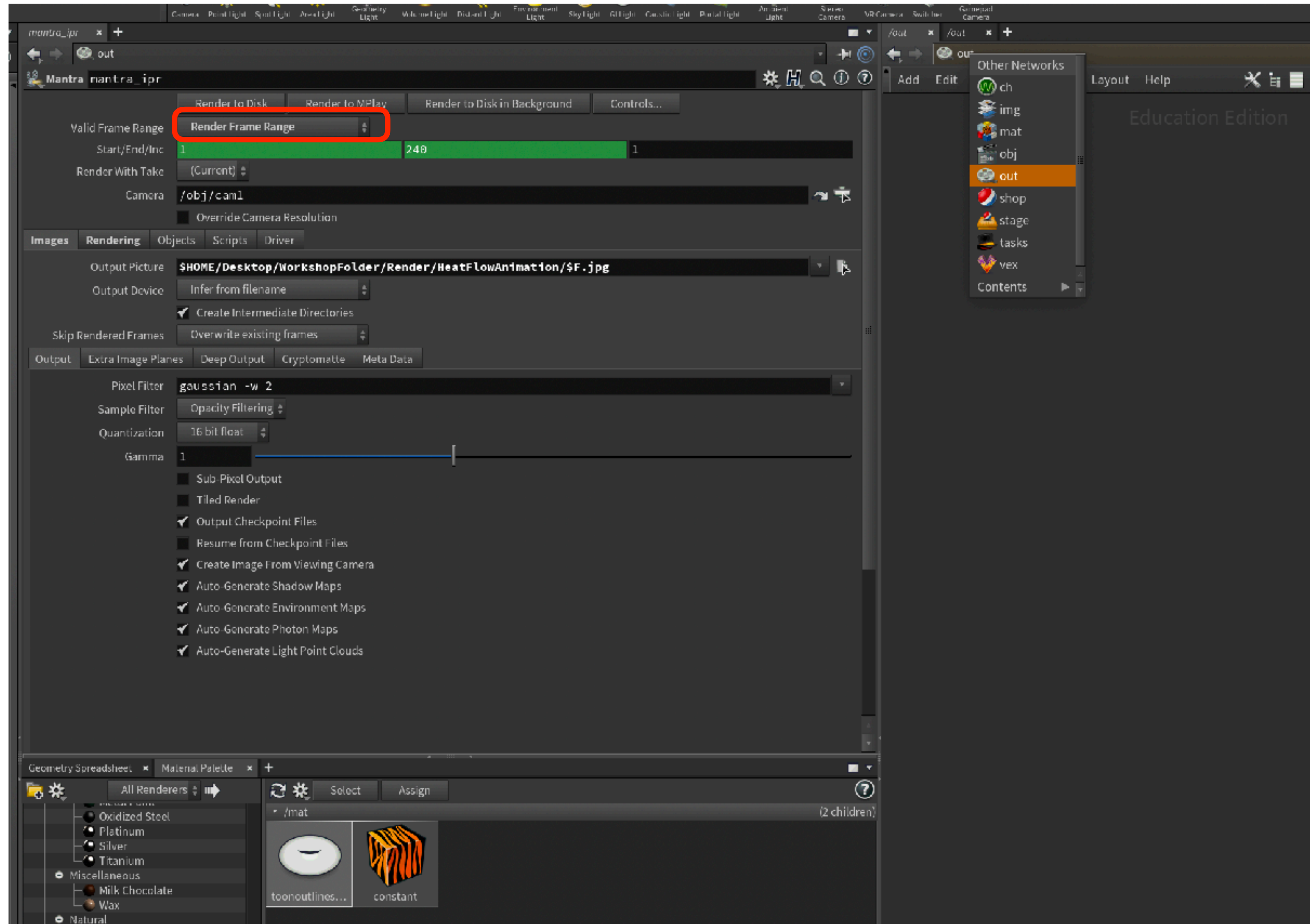
ANIMATIONEN RENDERN



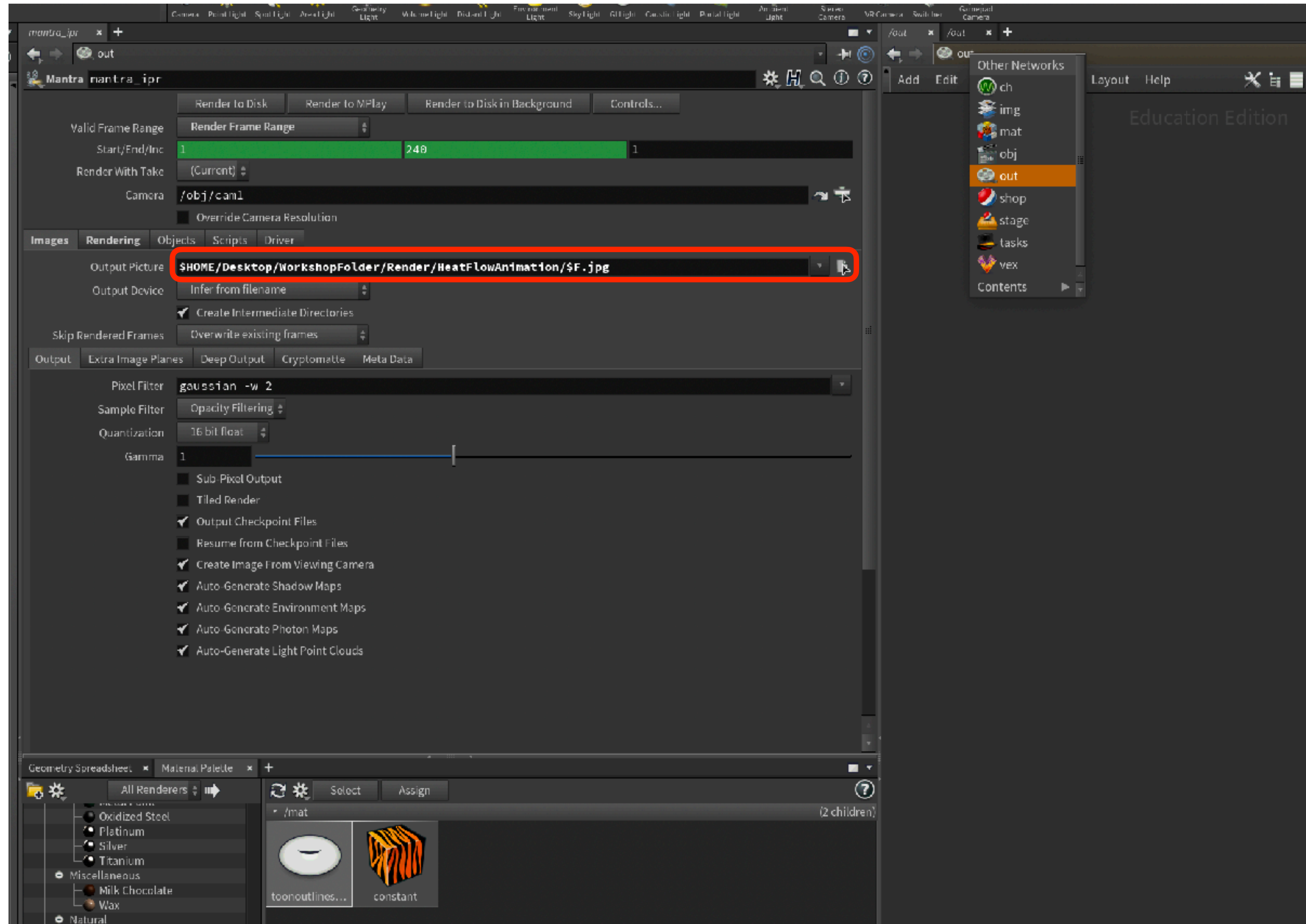
ANIMATIONEN RENDERN



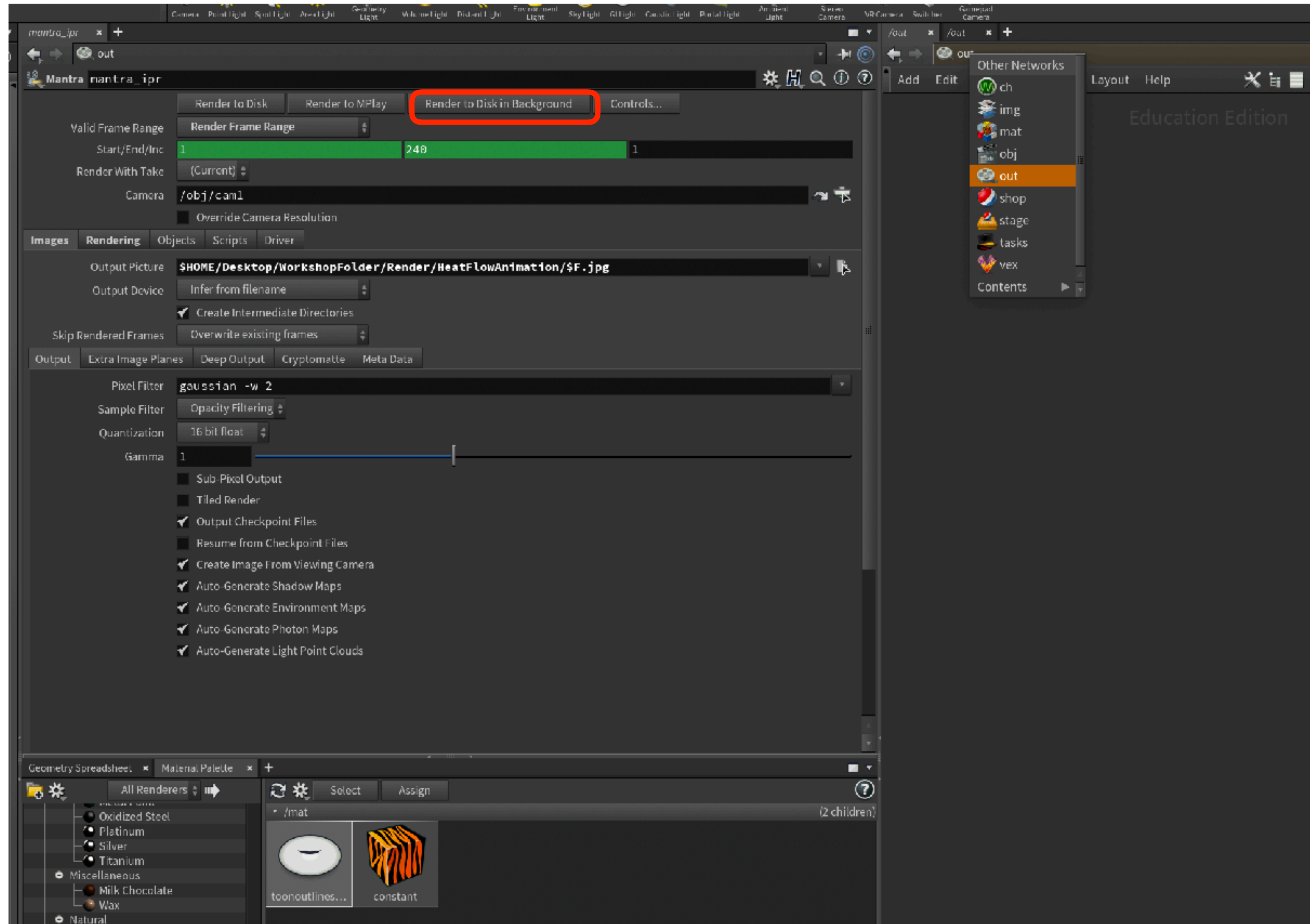
ANIMATIONEN RENDERN



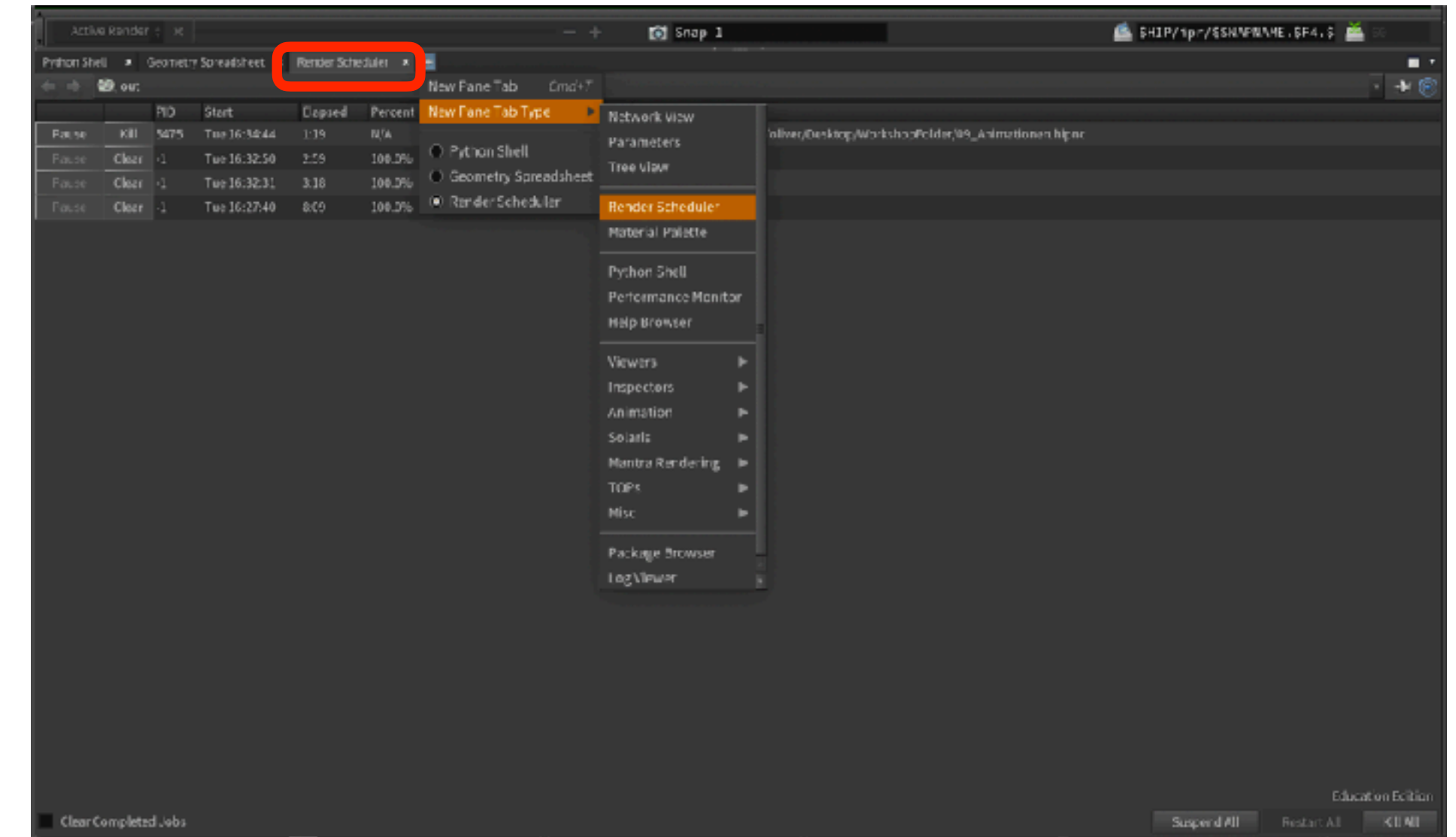
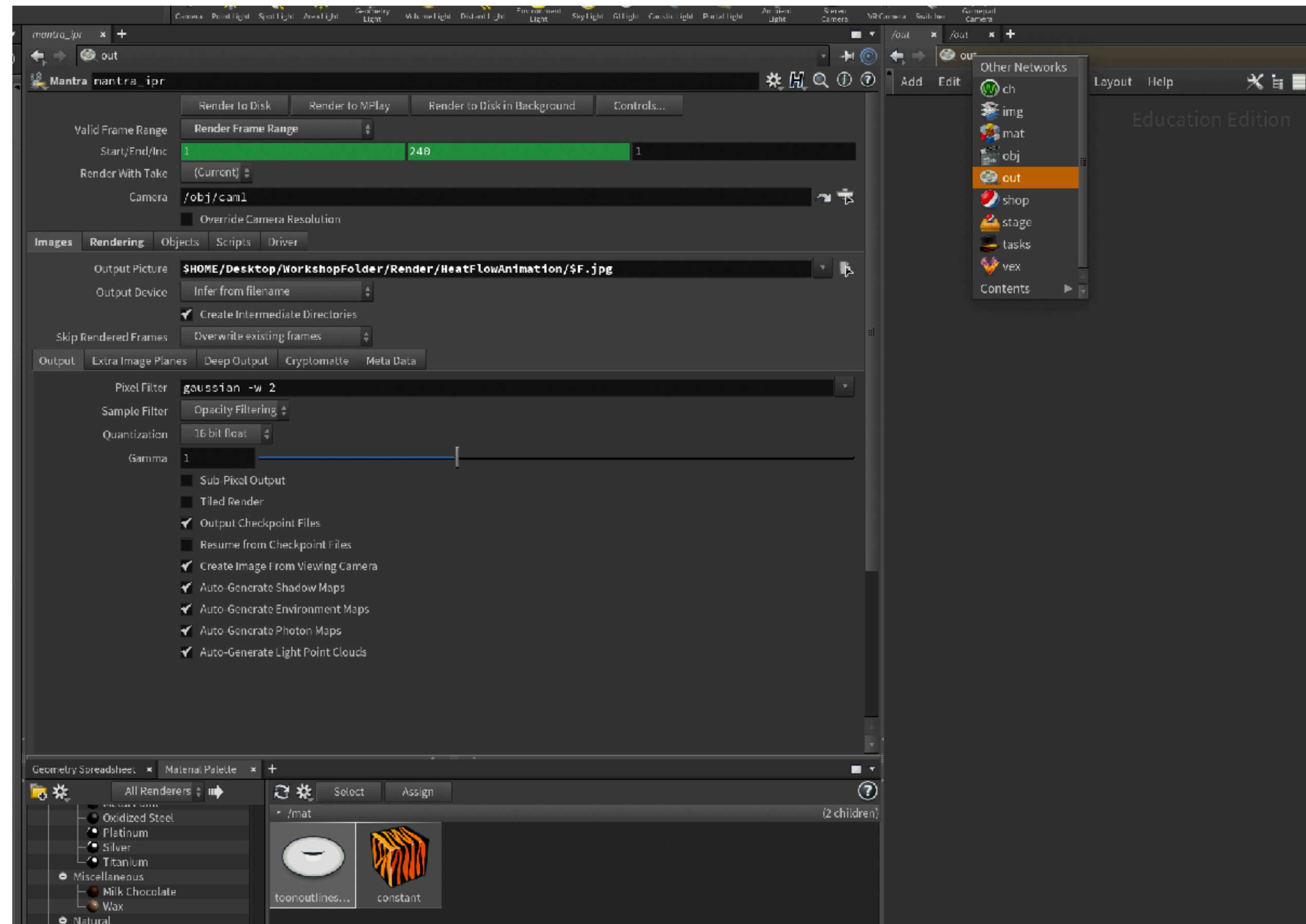
ANIMATIONEN RENDERN



ANIMATIONEN RENDERN



ANIMATIONEN RENDERN

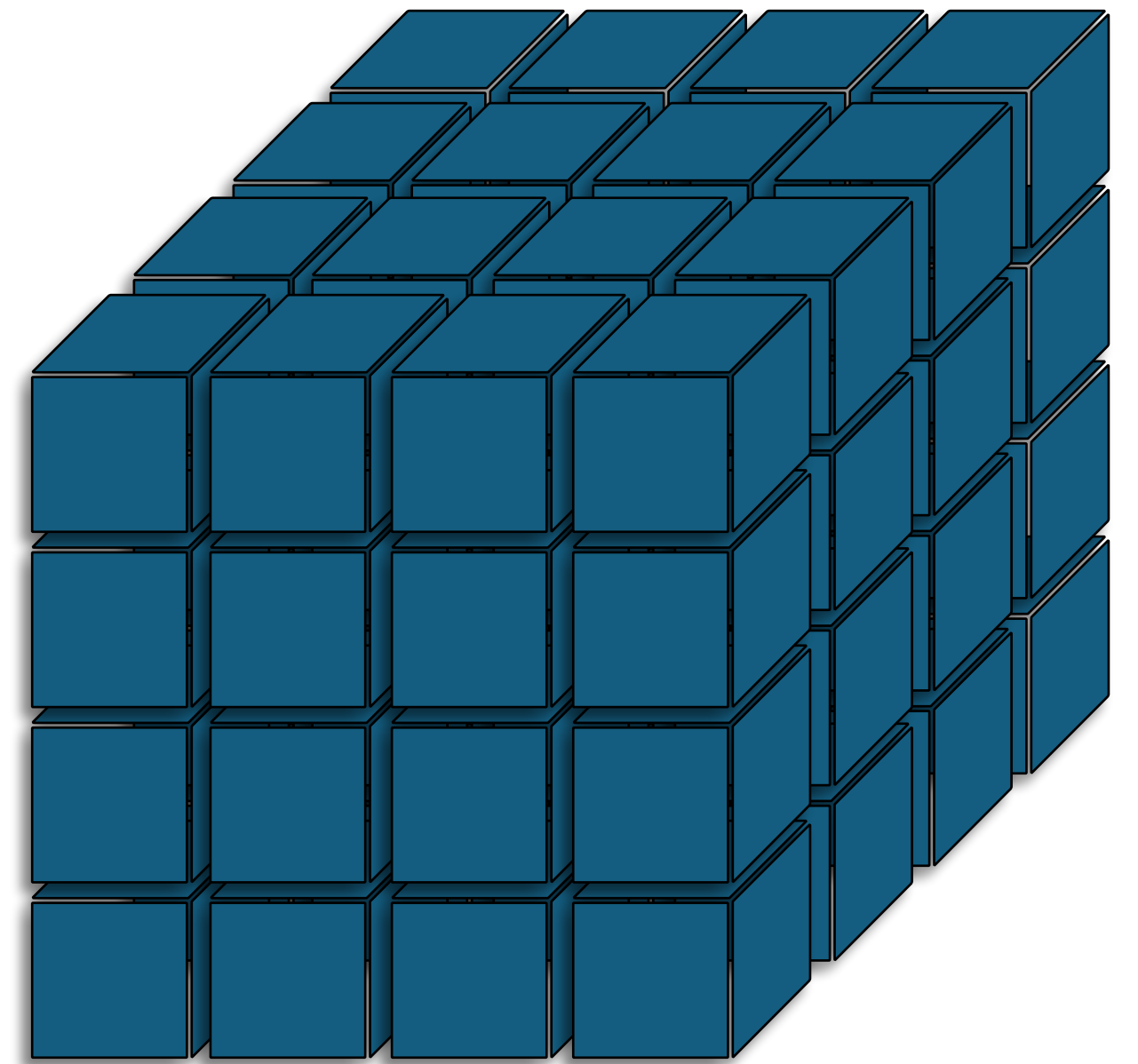


PAUSE

VOLUMEN

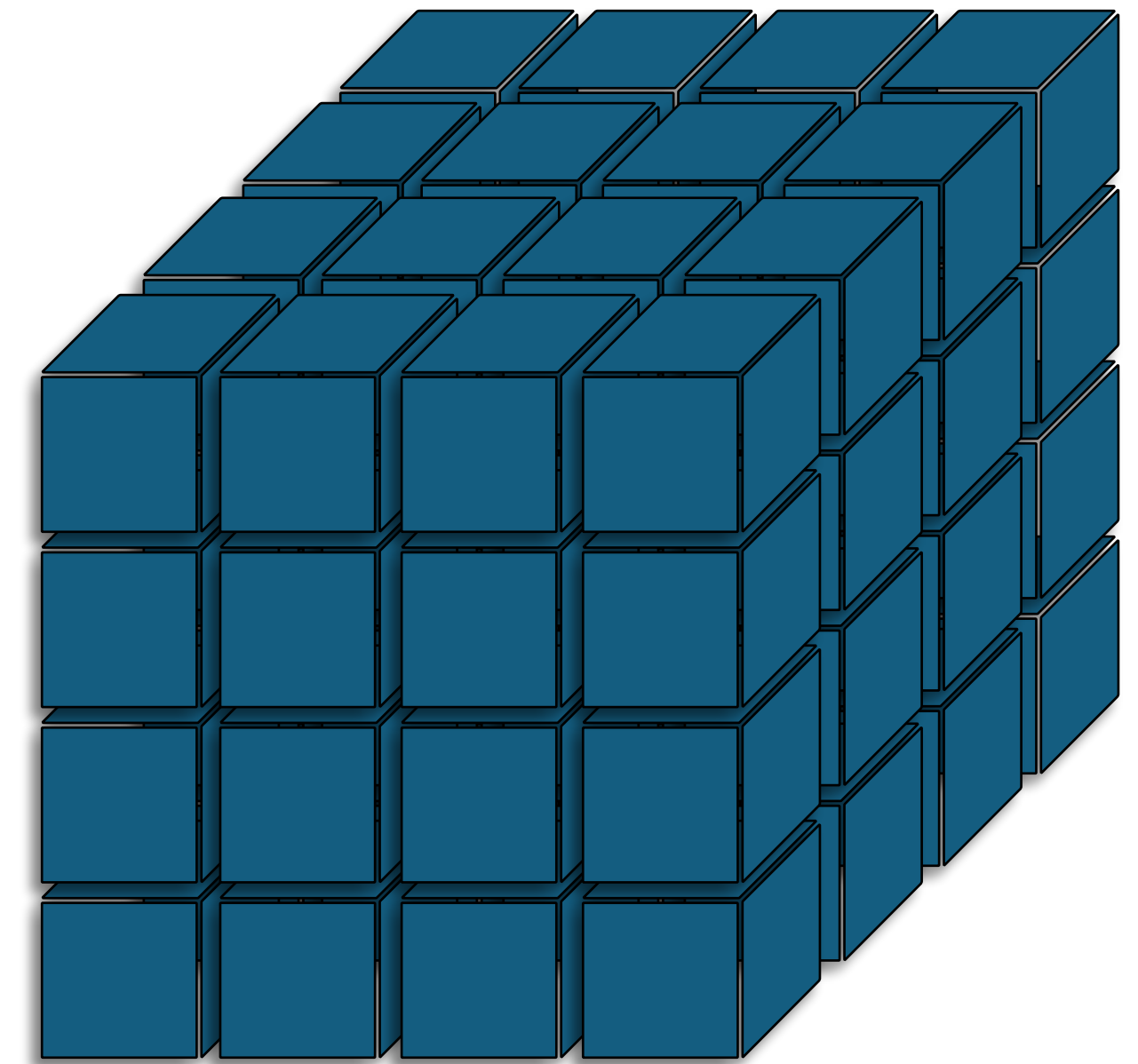
VOLUMEN

- Für volumetrische Visualisierungen können wir “Houdini Volumes” benutzen.



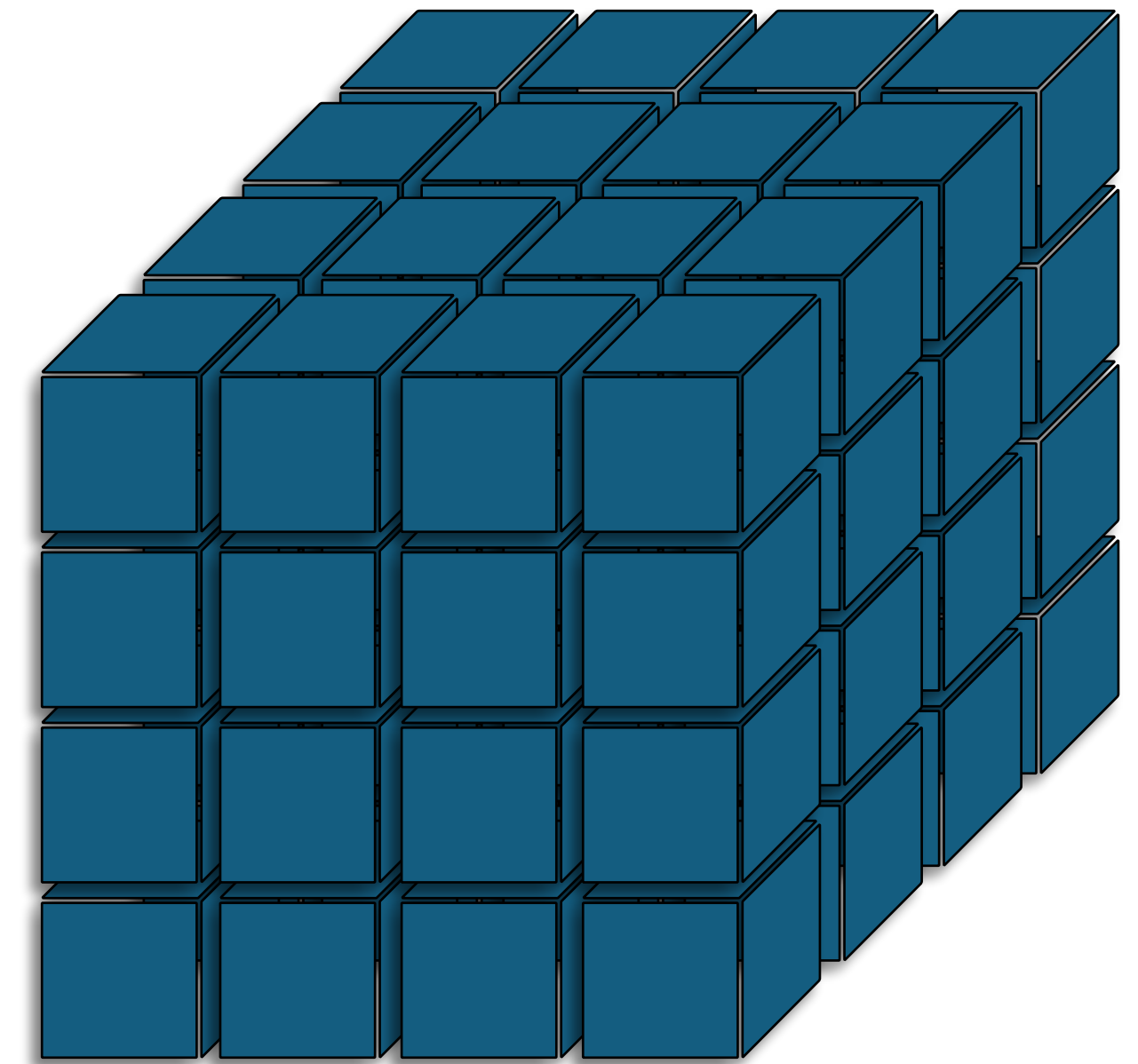
VOLUMEN

- Für volumetrische Visualisierungen können wir “Houdini Volumes” benutzen.
 - Sie repräsentieren ein 3D-grid bestehend aus “Voxeln”.



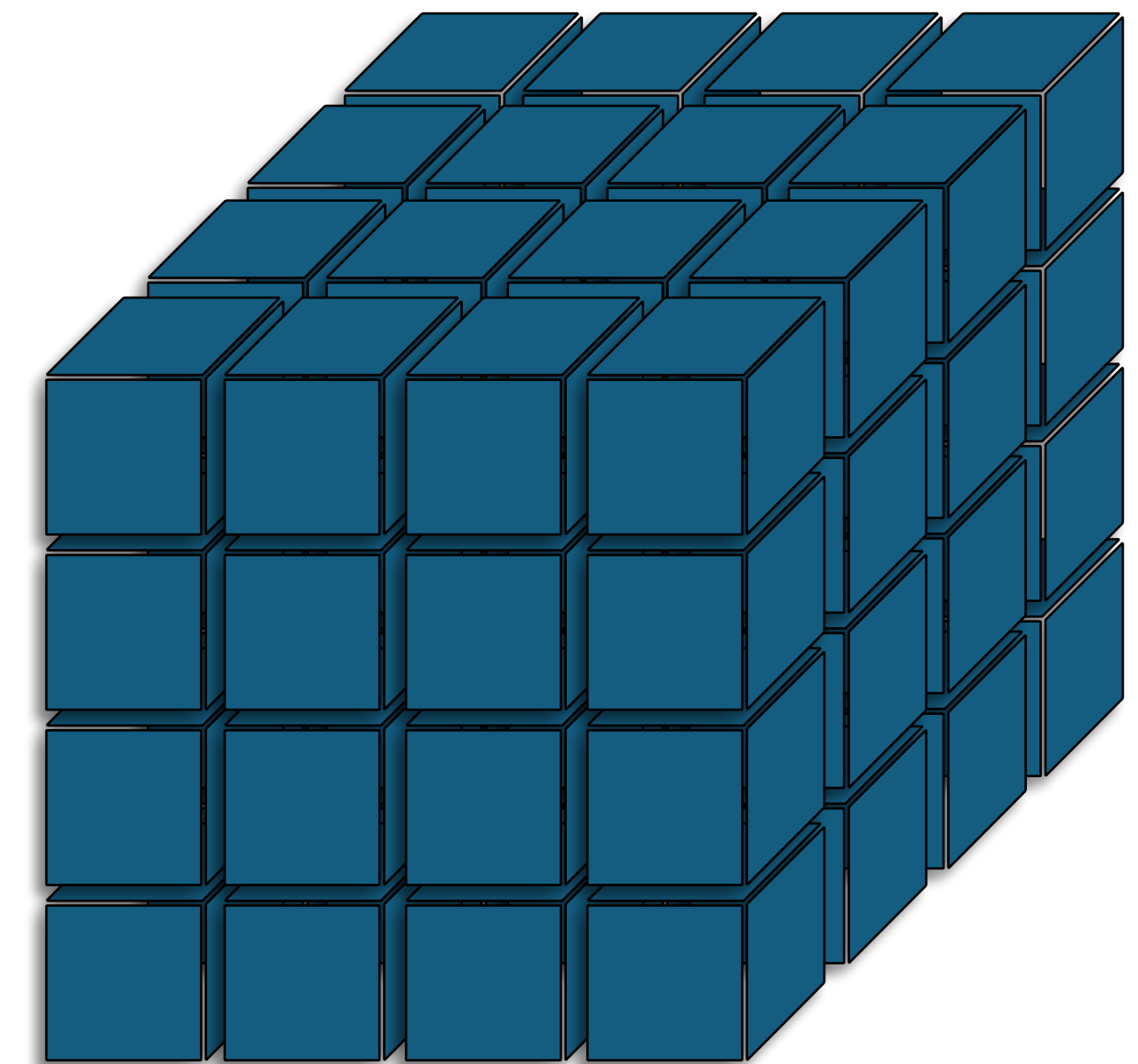
VOLUMEN

- Für volumetrische Visualisierungen können wir “Houdini Volumes” benutzen.
 - Sie repräsentieren ein 3D-grid bestehend aus “Voxeln”.
 - Es wird unterschieden zwischen Skalar- und Vektor-wertigen Volumen



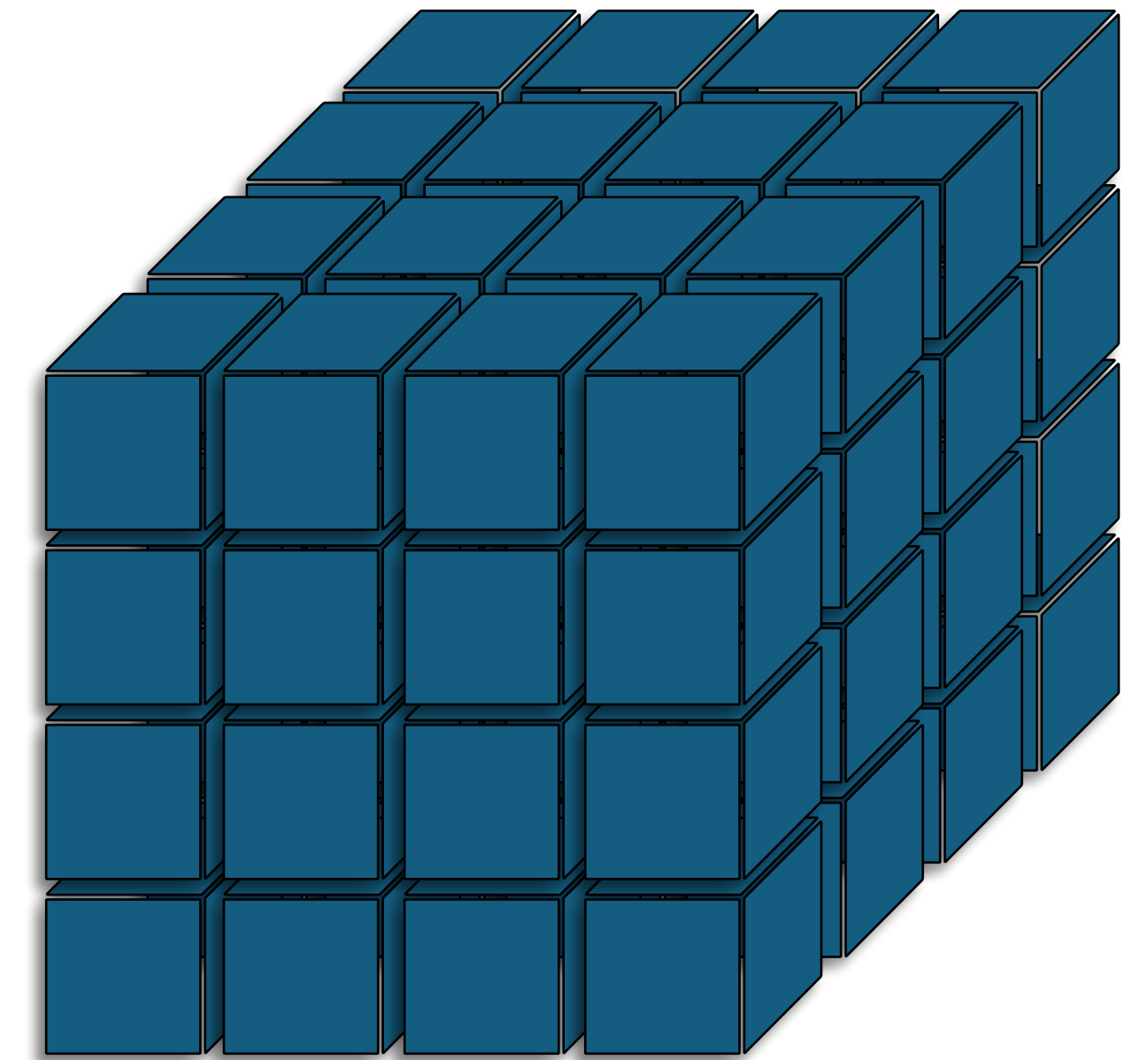
VOLUMEN

- Für volumetrische Visualisierungen können wir “Houdini Volumes” benutzen.
- Wir iterieren mit einem “volumewrangle”
(for each voxel do:...)



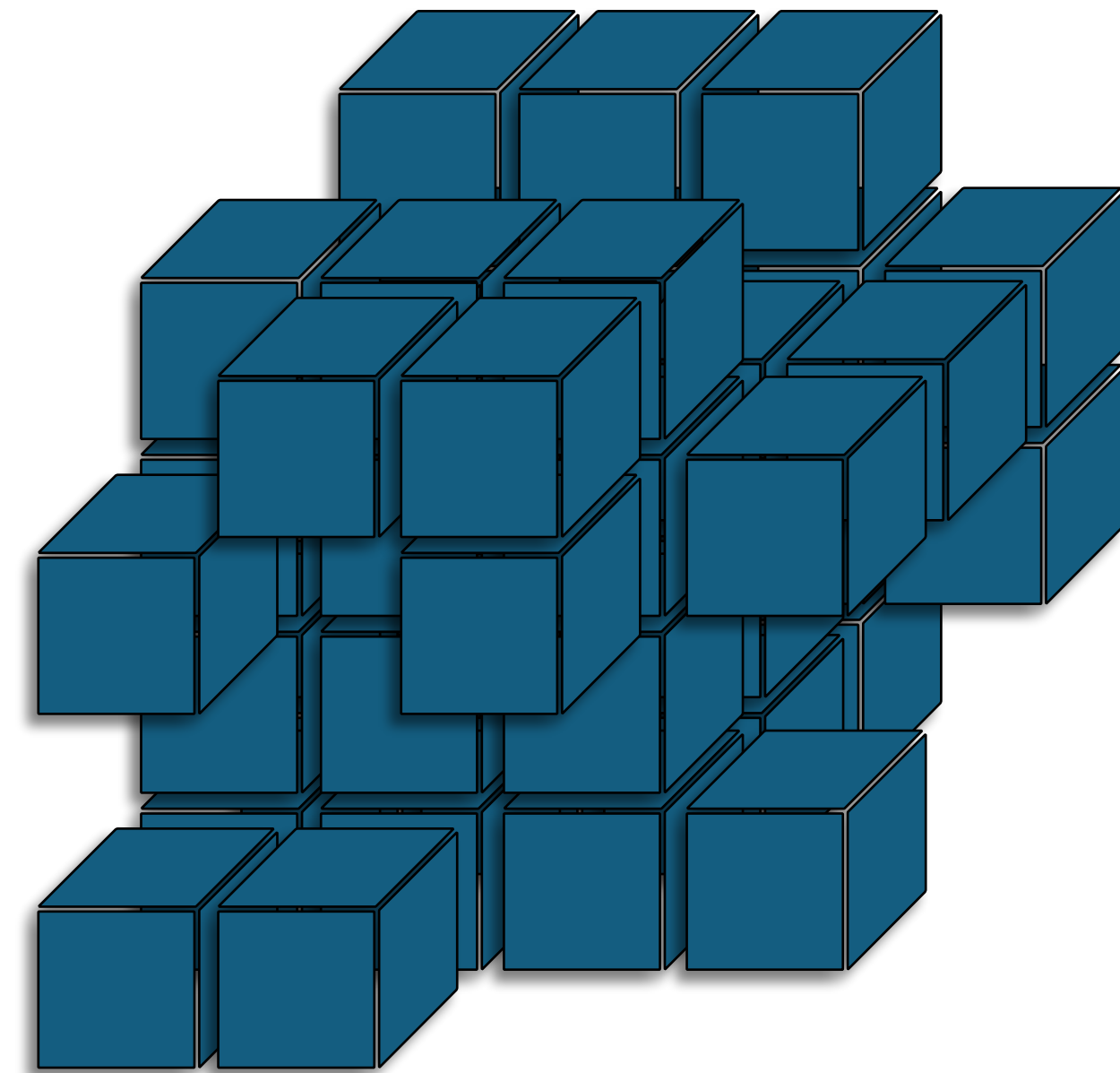
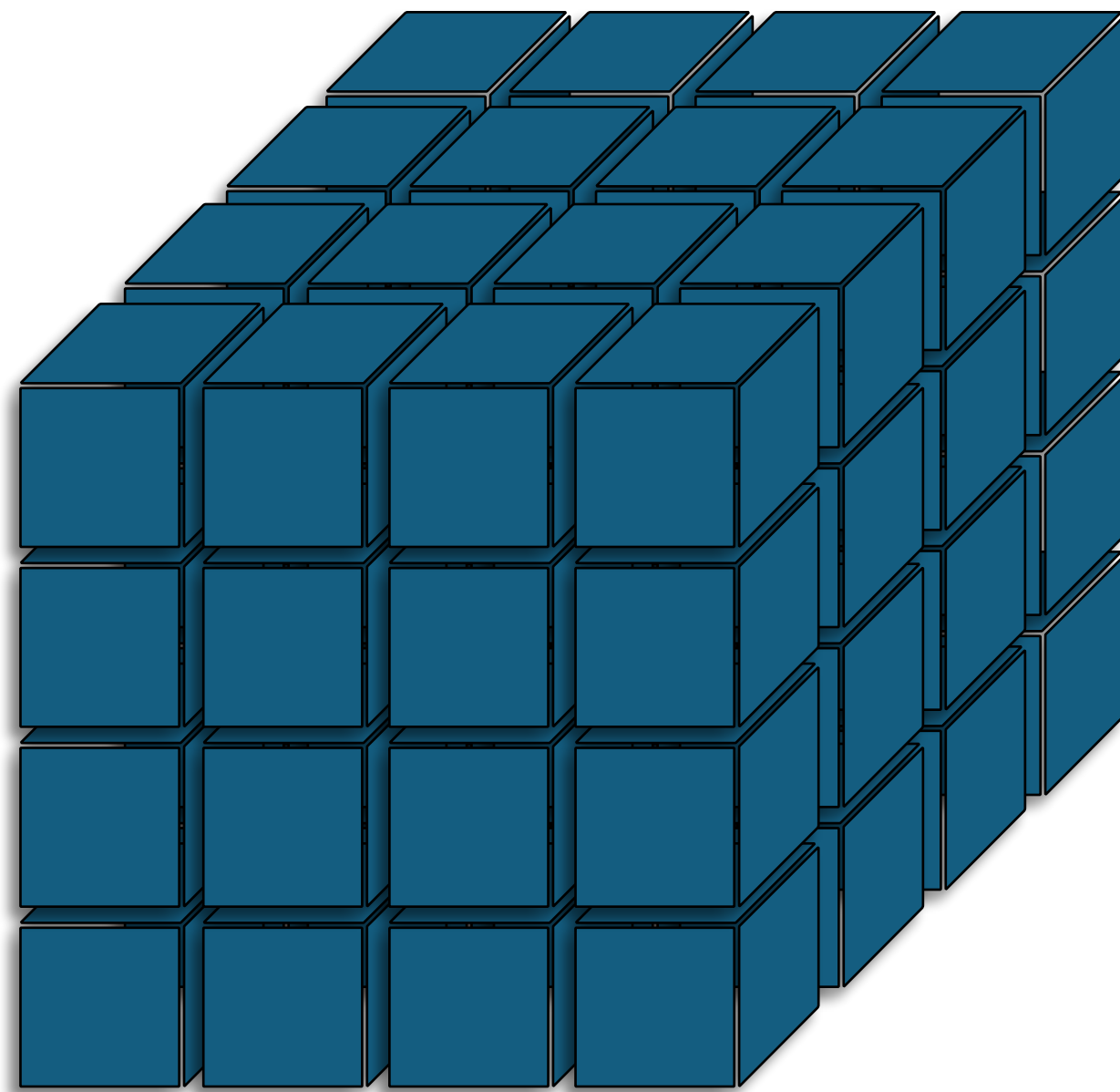
VOLUMEN

- Für volumetrische Visualisierungen können wir “Houdini Volumes” benutzen.
- Wir iterieren mit einem “volumewrangle” (for each voxel do:...)
- Visualisierung von Vektorfeldern durch “volume trail” oder “volume slice” Knoten



VOLUMEN

- Für volumetrische Visualisierungen können wir “Houdini Volumes” benutzen.
- Effizientere Alternative: VDB-Volumes (etwas komplexer)



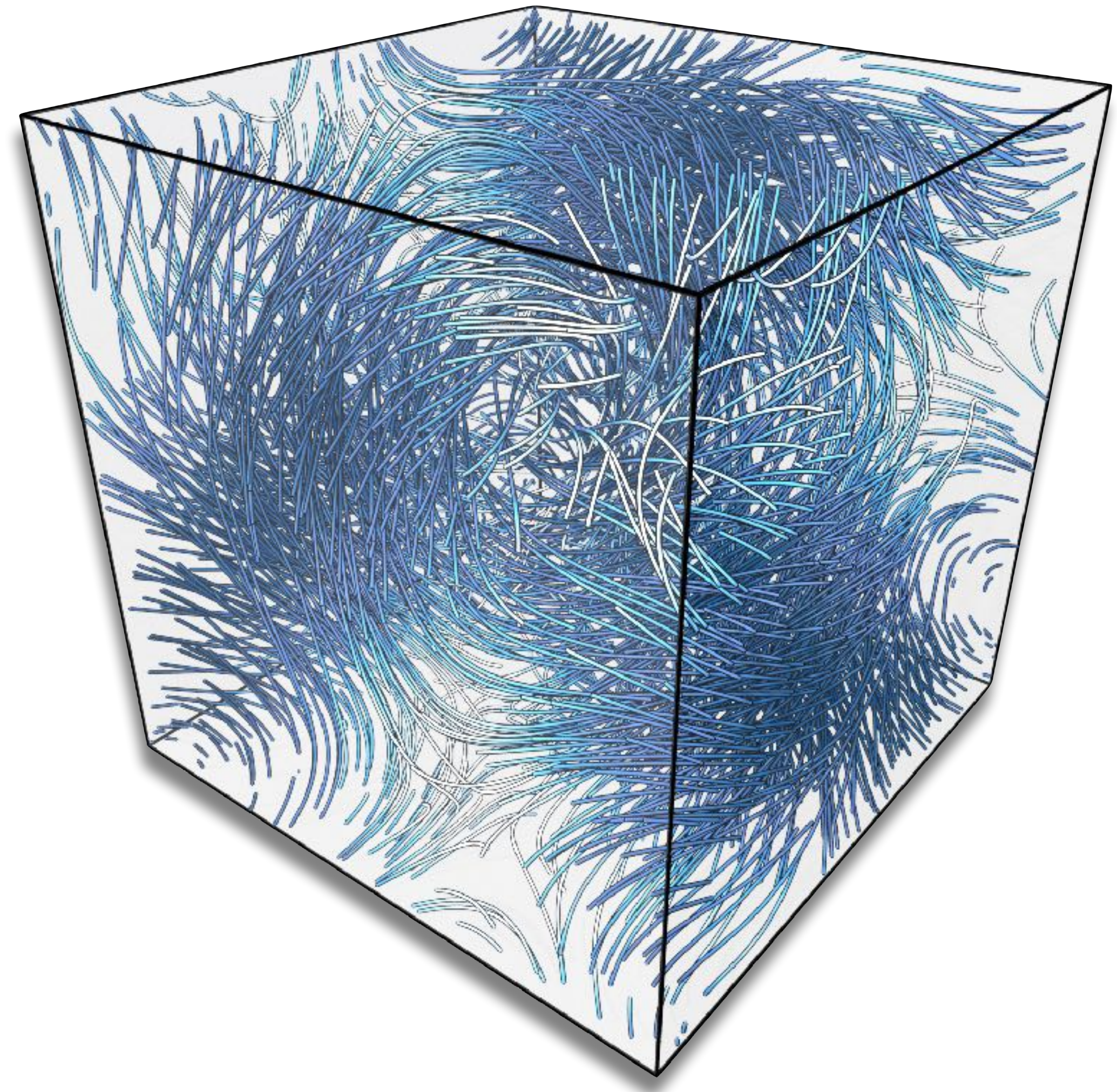
ANIMATION

Übung:

- a) Visualisiere den “ABC-Flow” gegeben durch

$$\begin{bmatrix} \dot{x} \\ \dot{y} \\ \dot{z} \end{bmatrix} = \begin{bmatrix} A \sin(z) + C \cos(y) \\ B \sin(x) + A \cos(z) \\ C \sin(y) + B \cos(x) \end{bmatrix}$$

für freie Parameter $A, B, C \in [0,1]$.



WIE GEHT ES WEITER?

WIE GEHT ES WEITER?

In der begrenzten Zeit kratzen wir natürlich nur an der Oberfläche.

Nicht angesprochen haben wir z.B.:

- “Sinnvolle Projekte”

WIE GEHT ES WEITER?

In der begrenzten Zeit kratzen wir natürlich nur an der Oberfläche.

Nicht angesprochen haben wir z.B.:

- “Sinnvolle Projekte”
- Python-Knoten → SciPy

WIE GEHT ES WEITER?

In der begrenzten Zeit kratzen wir natürlich nur an der Oberfläche.

Nicht angesprochen haben wir z.B.:

- “Sinnvolle Projekte”
- Python-Knoten → SciPy

Weiteres Übungsmaterial findet ihr z.B. hier:

- Mathematische Visualisierung TU Berlin (einfach googeln)

WIE GEHT ES WEITER?

In der begrenzten Zeit kratzen wir natürlich nur an der Oberfläche.

Nicht angesprochen haben wir z.B.:

- “Sinnvolle Projekte”
- Python-Knoten → SciPy

Weiteres Übungsmaterial findet ihr z.B. hier:

- **Mathematische Visualisierung TU Berlin** (einfach googeln)
- **Houdini Tech-Blog** (<http://wordpress.discretization.de/houdini/>)

ABER WAS IST MÖGLICH?

Wir haben gesehen, dass Houdini für professionelle Zwecke z.B. in der Computergrafik genutzt wird.

- Genutzt für Code bei z.B. ACM SIGGRAPH
 - Geometry Processing
 - Physics / Fluid Simulation
 - Rendering



Filament Based Plasma

Filament Based Plasma

Motion from Shape Change

Oliver
Gross

TU Berlin

Yousuf
Soliman

Caltech

Marcel
Padilla

TU Berlin

Felix
Knöppel

TU Berlin

Ulrich
Pinkall

TU Berlin

Peter
Schröder

Caltech

Motion from Shape Change

Oliver
Gross

TU Berlin

Yousuf
Soliman

Caltech

Marcel
Padilla

TU Berlin

Felix
Knöppel

TU Berlin

Ulrich
Pinkall

TU Berlin

Peter
Schröder

Caltech

VIELEN DANK!

